

ISSN 0201-8489

Физиологический
журнал

Том XXIX
1983

5

АКАДЕМИЯ НАУК УКРАИНСКОЙ ССР
ИНСТИТУТ ФИЗИОЛОГИИ им. А. А. БОГОМОЛЬЦА

ФИЗИОЛОГИЧЕСКИЙ ЖУРНАЛ

Том XXIX, № 5, 1983

СЕНТЯБРЬ — ОКТЯБРЬ

*Научно-теоретический журнал
Выходит 1 раз в 2 месяца
Основан в 1955 г.*

КИЕВ

НАУКОВА ДУМКА



УДК 577.15:591.1

В. М. Гусев

НЕПЕРЕМЕШИВ

РЕДАКЦИОННАЯ КОЛЛЕГИЯ

Ф. Н. Серков (главный редактор)

В. А. Березовский, Н. В. Братусь, М. И. Гуревич, Б. Е. Есипенко, Н. В. Ильчевич,
Н. Н. Зайко, П. Г. Костюк, А. А. Мойбенко (зам. главного редактора),
В. В. Фролькис, В. А. Черкес, З. А. Сорокина (ответственный секретарь)

Редакционный совет

П. В. Бирюкович	А. В. Квасницкий	Е. Н. Панасюк
Г. М. Бутенко	К. В. Кованов	В. С. Райцес
Ф. П. Ведяев	В. П. Комисаренко	П. И. Сябро
Н. Н. Горев	В. О. Навакатикян	Г. И. Федорович
З. С. Донцова	В. Н. Никитин	Г. А. Хасабов
В. Н. Казаков		А. И. Хомазюк

Адрес редакции: 252024 Киев 24, ул. Богомольца, 4
тел. 91 20 84

Редактор В. В. Войтенко

Художественный редактор Т. М. Немировская

Технический редактор О. В. Дивуля

Корректоры В. С. Гладка, Н. А. Деревянко

Сдано в набор 28.06.83. Подп. в печ. 30.08.83. БФ 01297. Формат 70×108/16. Вып. печ. Усл. печ.
л. 11,2. Усл. кр.-отт. 11,7. Уч.-изд. л. 12,55. Тираж 950 экз. Заказ 3-496.

Киевская книжная типография научной книги. 252004 Киев 4. Репина, 4.

© Издательство «Наукова думка», «Физиологический журнал», 1983

В настоящее время и клеток с окружающими концепция неперемешивающих на поверхности биленным диффузионным сне. Первоначально возникла используется очень цины. Однако, несмотря на слоях оказалось весьма основания для критической

Цель настоящей статьи — изучение аспектов этой концепции (роли зависимых от клеточных поверхностей и слоев на процессы ферментации различных веществ.

Современные представления о протекании мембранных процессов в тонкой кишке требуют исходных субстратов на поверхность клеточной мембраны, ферменты и системы акта через апикальную мембрану.

Ранее считалось, что структурами ее поверхности являются конвективными потоками, моторики кишки и движение счет принудительного переноса (*in vitro*). Поэтому при исследовании полагалось, что получены параметры, описывающие вещества, непосредственно в мембранных системах.

Однако в последние годы проблема премембранных слоев существенно влияет на обмен средой, подчас до неизвестных (например, кинетические параметры обычно приписываются к числовым величинам, касающимся установленными [1, 3, 5, 11].

Между поверхностью и объемной фазой существуют перемешиваемый водный слой, который не конвективными и физическими (рис. 1).

Концентрация веществ или всасыванию, может зависеть от объемной фазы к поверхности.

УДК 577.15:591.1

В. М. Гусев, А. А. Груздков, А. М. Уголев

НЕПЕРЕМЕШИВАЕМЫЕ ПРЕМЕМБРАННЫЕ СЛОИ

В настоящее время для интерпретации взаимоотношений тканей и клеток с окружающими средами все большее значение приобретает концепция неперемешиваемых слоев, то есть стационарных слоев жидкости на поверхности биологической мембраны, обладающих определенным диффузионным сопротивлением для потока веществ к мембране. Первоначально возникшая в гастроэнтерологии, эта концепция теперь используется очень широко в разных областях биологии и медицины. Однако, несмотря на то, что представление о неперемешиваемых слоях оказалось весьма полезным и плодотворным, имеются серьезные основания для критического пересмотра ряда устоявшихся положений.

Цель настоящей статьи состоит в критическом рассмотрении некоторых аспектов этой концепции и оценке (на примере эпителия тонкой кишки) роли зависимых от клеток потоков жидкости, а также геометрии клеточных поверхностей в модификации влияния неперемешиваемых слоев на процессы ферментативного гидролиза и активного транспорта различных веществ.

Современные представления о неперемешиваемых слоях. Нормальное протекание мембранныго гидролиза и всасывания пищевых веществ в тонкой кишке требует, как известно, непрерывного поступления исходных субстратов из полости кишки, или объемной фазы, на поверхность клеточной мембраны, где сосредоточены соответствующие ферменты и системы активного (или пассивного) транспорта веществ через апикальную мембрану энteroцита.

Ранее считалось, что обмен субстратами между полостью кишки и структурами ее поверхности в достаточной степени обеспечивается конвективными потоками, которые создаются в объемной фазе за счет моторики кишки и движения ворсинок (в условиях *in vivo*) или за счет принудительного перемешивания объемной фазы (в условиях *in vitro*). Поэтому при исследовании всасывания в тонкой кишке предполагалось, что полученные в эксперименте значения кинетических параметров, описывающих, например, активный транспорт какого-либо вещества, непосредственно отражают свойства самой транспортной системы.

Однако в последние годы внимание исследователей привлекла проблема премембранных слоев жидкости, которые, как выяснилось, существенно влияют на обмен субстратами между клетками и внеклеточной средой, подчас до неузнаваемости меняя те характеристики процессов (например, кинетические параметры гидролиза или транспорта), которые обычно приписываются самим клеткам. Некоторые факты и закономерности, касающиеся этой проблемы, в настоящее время считаются установленными [1, 3, 5, 11, 12, 16, 19, 20, 22].

Между поверхностью липопротеиновой клеточной мембраны и объемной фазой существует переходный слой — так называемый неперемешиваемый водный слой, где перемещение вещества определяется не конвективными потоками жидкости, а законами простой диффузии (рис. 1).

Концентрация веществ, подвергающихся мембранныму гидролизу или всасыванию, может существенно снижаться в направлении от объемной фазы к поверхности мембраны (рис. 1), что зависит от соот-

ношения скорости гидролиза или транспорта и скорости диффузии, определяемой диффузионным сопротивлением неперемешиваемого слоя.

Диффузионное сопротивление неперемешиваемого водного слоя зависит от его толщины, а также от константы диффузии для данного вещества. Толщина этого слоя, определенная с применением различных экспериментальных и теоретических подходов [8, 13, 14, 16, 19, 20], оценивается величиной порядка 100–300 мкм для условий *in vitro* и 500–1000 мкм для условий *in vivo*.

Определяемые по экспериментальным данным значения кинетических констант для мембранного гидролиза или транспорта — так называемые «кажущиеся» значения K_m (константы Михаэлиса) и V

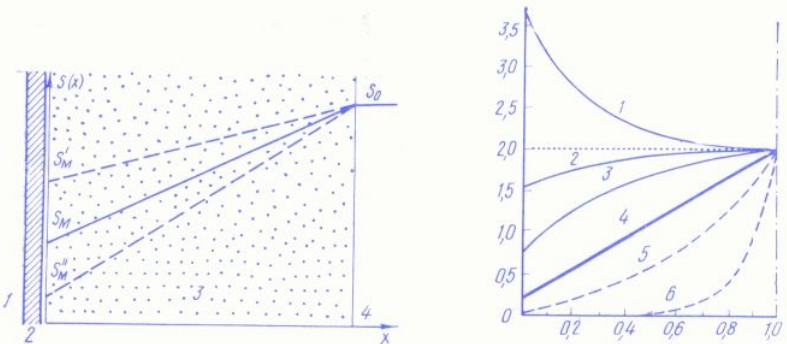


Рис. 1. Схематическое представление ферментативно-транспортной поверхности с неперемешиваемым слоем.

1 — внутриклеточная среда; 2 — апикальная мембрана; 3 — неперемешиваемый слой; 4 — объемная фаза. S_0 — концентрация субстрата в объемной фазе; S'_M , S_M , и S''_M — концентрации субстрата на поверхности мембраны при $\frac{V}{D} < \frac{V}{D'} < \frac{D''}{V'}$ соответственно, где V — максимальная скорость гидролиза (или активного транспорта); D — константа диффузии для данного субстрата.

Рис. 2. Влияние скорости трансмембранных потоков воды на распределение концентрации субстрата в автономном премембранным слое.

По горизонтали — относительное расстояние от мембрани (толщина премембранного слоя принята за 1); по вертикали — концентрация субстрата в премембранном слое (ммоль·л⁻¹). Кривые 1—6 соответствуют следующим скоростям трансмембранных потоков воды: 4к, 3к, 2к, 0, —2к, —8к, где $k = 1,67 \cdot 10^{-4}$ см · с⁻¹. Остальные параметры: константа диффузии $D = 5 \cdot 10^{-6}$ см² · с⁻¹; толщина премембранного слоя $d = 3 \cdot 10^{-2}$ см; константа Михаэлиса $K_m = 1$ ммоль · л⁻¹; максимальная скорость транспорта $V = 1,67 \cdot 10^{-6}$ ммоль · см⁻² · с⁻¹.

(максимальной скорости гидролиза или транспорта) являются в сущности физиологическими параметрами, зависящими от условий эксперимента, и могут весьма существенно отличаться от «истинных» значений этих констант [5, 11].

Существование диффузионного сопротивления неперемешиваемого слоя делает некорректным применение уравнения Михаэлиса — Ментен и его линейных преобразований для определения «истинных» значений кинетических констант (K_m и V) мембранного гидролиза или активного транспорта веществ: его использование может привести к значительным ошибкам в оценке указанных констант [9, 15, 16, 17, 19].

Как показали многочисленные экспериментальные исследования последних лет, учет неперемешиваемого слоя оказался необходимым для понимания не только физиологии, но и патологии гидролитических и транспортных процессов в тонкой кишке [10, 14, 17, 18, 21].

Вместе с тем анализ обширного экспериментального материала и ряда противоречивых фактов говорит о необходимости внесения определенных поправок в современную концепцию неперемешиваемых слоев.

Критика современной концепции неперемешиваемых слоев. С точки зрения физической химии неперемешиваемые слои — это слои, возникающие вследствие взаимодействия между собой молекул воды и молекул поверхности мембраны и первоначально рассматривавшиеся как

адгезионные. Теория неперемешиваемых слоев в динамических системах с межмолекулярными взаимодействиями слоя воды имеет толщину неперемешиваемого слоя толщиной, определяемой на препаратах, что означало бы существование воды, что трудно объяснить гидродинамики.

Не менее неожиданно было то, что слой такой большой толщины, действительно, основное назначение которого в том, чтобы из силы селективно, определенные диффузионные процессы, а также увеличения сродства, и транспорта [7]. Однако открытие неперемешиваемого слоя, наоборот, результату, эффективность процессов транспорта.

В определенной степени обстоятельство, что толщина слоя *in vivo*, оказывается значительно больше, чем это должно было бы означать для мембранного гидролиза и для обычного основных свойств *in vitro*, значительно ухудшает функционирование.

Некоторые слабости схемы проявляются и при исследовании пищеварительного тракта. С одной стороны, считается, что складки и т. п. в тонкой кишки способствуют резкому повышению эффективности процессов, благодаря значительной функционирующей поверхности кишки у холодноводных животных. Авторы, анализируя результаты исследования, пришли к выводу, что поверхность тонкой кишки совпадает с площадью цианофицированных ворсинок для пассивного всасывания 1/60 от площади липопротеиновых транспортируемых веществ на поверхности ворсинок как слоем и лишь частично — функции. Нетрудно понять, что направлении пересмотра слизистой и значения активных и транспортных активностей.

Наконец, общепринятая статическая и не учитывающая потоков воды, которые, как фиксируют условия мембранных слоев.

Концепция автономной мембраны. Суть рассматриваемой нами ранее [2, 3], состоит в расположении слоев между объектами действительности не является

адгезионные. Теория неперемешиваемых слоев и в макро-, и в микродинамических системах связана с явлениями внутреннего трения и межмолекулярных взаимодействий. Если принять, что мономолекулярный слой воды имеет толщину порядка нескольких ангстрем, то неперемешиваемый слой толщиной 100—300 мкм, экспериментально определяемый на препаратах *in vitro* с интенсивным перемешиванием, означал бы существование около 10^6 неподвижных мономерных слоев воды, что трудно объяснимо с точки зрения молекулярной физики и гидродинамики.

Не менее неожиданно и трудно объяснимо наличие неперемешиваемого слоя столь большой толщины с общебиологических позиций. Действительно, основное назначение активно транспортирующих систем состоит в том, чтобы из сильно разбавленных растворов извлекать, и при этом селективно, определенные вещества. Эволюция шла по линии замены диффузионных процессов процессами активного транспорта, а также увеличения сродства, и как следствие, возрастания эффективности транспорта [7]. Однако относительно высокое диффузионное сопротивление неперемешиваемого слоя, по-видимому, приводит к прямо противоположному результату, резко снижая «кажущееся» сродство и эффективность процессов транспорта.

В определенной степени парадоксальным является также то обстоятельство, что толщина неперемешиваемого слоя, определяемая *in vivo*, оказывается значительно больше, чем при определении *in vitro*, что должно было бы означать существенное снижение эффективности мембранныго гидролиза и транспорта. Вместе с тем хорошо известно, что обычно основные свойства биологических систем, определяемые *in vitro*, значительно ухудшаются по сравнению с выявляемыми в нормально функционирующей системе *in vivo*.

Некоторые слабости современной концепции неперемешиваемых слоев проявляются и при рассмотрении роли геометрических особенностей пищеварительно-всасывательной поверхности тонкой кишки. С одной стороны, считается общепризнанным, что появление ворсинок, складок и т. п. в тонкой кишке теплокровных животных способствует резкому повышению эффективности гидролитических и транспортных процессов, благодаря значительному (в 7—10 раз) увеличению площади функционирующей поверхности по сравнению с гладкой поверхностью кишки у холоднокровных животных. С другой стороны, ряд авторов, анализируя результаты экспериментов и математического моделирования, пришли к выводу о том, что эффективная всасывательная поверхность тонкой кишки млекопитающих мало отличается или почти совпадает с площадью цилиндрической поверхности на уровне верхушек ворсинок для пассивно всасываемых молекул и составляет только 1/60 от площади липопротеиновой клеточной мембрани для активно транспортируемых веществ [20, 22]. Другими словами, латеральные поверхности ворсинок как бы «экранированы» неперемешиваемым слоем и лишь частично выполняют пищеварительно-всасывательные функции. Нетрудно понять, что такая концепция является шагом в направлении пересмотра физиологической роли ворсинок кишечной слизистой и значения апикально-криптаильных градиентов ферментативных и транспортных активностей.

Наконец, общепринятая концепция неперемешиваемых слоев является статической и не учитывает существования трансэпителиальных потоков воды, которые, как будет показано ниже, существенно модифицируют условия мембранныго гидролиза и транспорта.

Концепция автономного премембранного слоя. Динамическая модель. Суть рассматриваемой здесь концепции, впервые обсуждавшейся нами ранее [2, 3], состоит в том, что неперемешиваемый водный слой, расположенный между объемной фазой и клеточной поверхностью, в действительности не является чисто диффузионной зоной вследствие су-

ществования потоков воды, направленных в клетку и из клетки, и, по-видимому, более корректно может быть охарактеризован как автономный премембранный слой.

Результирующий поток (J) исходного субстрата через этот слой в общем случае представляет собой сумму двух потоков, один из которых обусловлен диффузией (J_D), а другой — переносом вещества с потоком воды (J_W): $J = J_D + J_W$. При этом неперемешиваемый слой в

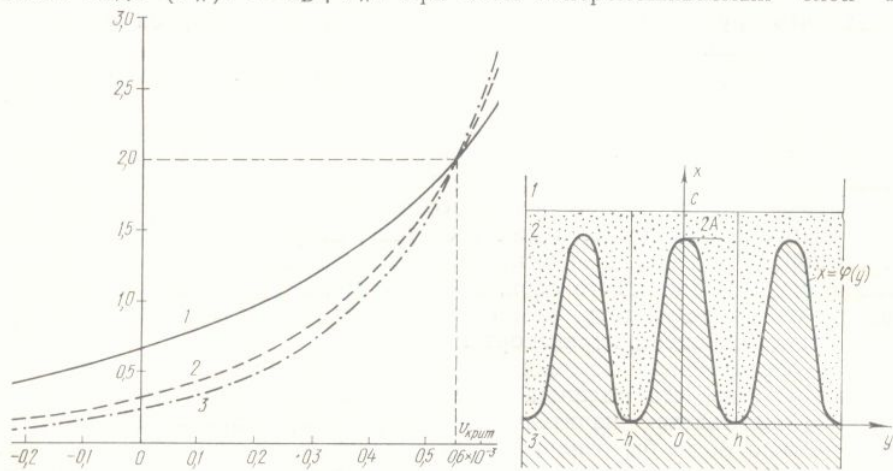


Рис. 3. Влияние скорости трансмембранных потоков воды на концентрацию субстрата на мембране.

По горизонтали — линейная скорость потока воды ($\text{см} \cdot \text{s}^{-1}$); по оси ординат — концентрация субстрата на мембране (ммоль). Кривые 1, 2 и 3 соответствуют толщине премембранного слоя, равной 0, 0,01 и 0,02 см. Данные получены при следующих значениях параметров модели: константа диффузии $D = 5 \cdot 10^{-6} \text{ см}^2 \cdot \text{s}^{-1}$; константа Михаэлиса $K_t = 1 \text{ ммоль}$; максимальная скорость транспорта $V = 1,67 \cdot 10^{-6} \text{ ммоль} \cdot \text{см}^{-2} \cdot \text{s}^{-1}$.

Рис. 4. Схематическое изображение складчатой поверхности как аналога поверхности слизистой тонкой кишки.

1 — объемная фаза (полость кишки); 2 — область неперемешиваемого слоя; 3 — область складок (ворсинок). Исследование модели проводилось для функции $x = \varphi(y) = A(1 + \cos \frac{\pi}{h} y)$ при $A = 0,05 \text{ см}$, $h = 0,03 \text{ см}$, $c = 0,105 \text{ см}$.

общепринятым пониманием (как зона простой диффузии) является лишь частным и, вероятно, крайне редким состоянием автономного премембранного слоя при результирующем трансепитиальном потоке воды равном нулю, то есть $J = J_D$.

Подробное математическое описание динамической модели активного транспорта через мембрану с учетом автономного премембранного слоя было дано нами ранее [2, 3]. В частности, было показано, что пространственное распределение концентрации субстрата в автономном премембранным слое описывается следующим уравнением:

$$s(x) = S_1 - \left(S_2 - \frac{V}{v} \frac{S_2}{K_t + S_2} \right) \left[\exp \left(-\frac{v}{D} d \right) - \exp \left(-\frac{v}{D} x \right) \right],$$

где S_1 и S_2 — концентрации субстрата в объемной фазе и на поверхности резорбирующей мембраны соответственно; D — константа диффузии для данного субстрата; K_t — константа Михаэлиса для транспорта; V — максимальная скорость транспорта; v — результирующая скорость трансмембранных потоков воды; d — толщина автономного премембранного слоя.

Связь между S_1 и S_2 определяется выражением:

$$S_2 = S_1 \exp \left(\frac{v}{D} d \right) - \frac{V}{v} \frac{S_2}{K_t + S_2} \left[\exp \left(\frac{v}{D} d \right) - 1 \right].$$

Исследование данной давать, что потоки воды деления исходного суб В частности, как пока внутрь клетки, приводя свою очередь отражает величины «кажущиеся» (K_t). В то же время «направленный из клетки» эффекты (рис. 2).

Проведенный нами явили некоторые новые мость концентрации суб ны трансмембранных в щины автономного прем

Как можно видеть, проявляется при максимуме концентрации всасывания трансмембранных в щины автономного прем

бльшой степени в слу

жет быть определено ис

$$\frac{V \cdot S_2}{K_t + S_2} - v S_2$$

Например, при $V = 1,67 \cdot 10^{-6} \text{ см} \cdot \text{s}^{-1}$, $v_{\text{крит}} = 0,55 \cdot 10^{-3} \text{ см}/\text{s}$.

Вероятно, в реальных условиях от $v_{\text{крит}}$. Однако при V и увеличении S_2 под му, не исключена возможное диффузионного сопротивления, ведет не к снижению, процессы.

Анализ динамического механизма, важных для почечного эпителия. Одни, заключается в том, что в этих потоках воды результирующей мембране расходится. При определении водных потоков, направление внутренней среды.

Другой механизм — автономный премембранный поток, но разные величины, но разные

В этом случае создание различных веществами различными константами субстрата (например, вешивается обратным путем проникновение на мембранные молекул — исключается)

Таким образом, доказать, что гомеостатическая регуляция возможно не имеющих ферментативного гулирования трансмембранных потоков.

Исследование данной динамической модели позволило продемонстрировать, что потоки воды могут существенно изменять характер распределения исходного субстрата в автономном премембранным слое. В частности, как показано на рис. 2, потоки воды, направленные внутрь клетки, приводят к повышению концентрации субстрата, что в свою очередь отражается на усилении активного транспорта и снижении величины «кажущейся» константы Михаэлиса для транспорта (K_t). В то же время «секреция» воды, то есть трансмембранный поток, направленный из клетки в объемную фазу, вызывает противоположные эффекты (рис. 2).

Проведенный нами дальнейший анализ динамической модели выявил некоторые новые закономерности. На рис. 3 показана зависимость концентрации субстрата на мембране от направления и величины трансмембранных водных потоков при различных значениях толщины автономного премембранного слоя.

Как можно видеть, влияние водных потоков в наибольшей степени проявляется при максимальной толщине слоя. При некоторой величине скорости потока всасывающейся воды, условно обозначенной нами $v_{\text{крит}}$, концентрация субстрата на мембране (S_2) и скорость активного транспорта (J) теоретически оказываются независящими от толщины автономного премембранного слоя, а при $v > v_{\text{крит}}$ они возрастают в большей степени в случае слоя большей толщины. Значение $v_{\text{крит}}$ может быть определено исходя из условия $S_1 = S_2$, т. е.

$$\frac{V \cdot S_2}{K_t + S_2} - vS_2 = 0, \text{ откуда } v_{\text{крит}} = \frac{V}{K_t + S_2}.$$

Например, при $V = 1,67 \cdot 10^{-6}$ моль/см²/с; $K_t = 1$ моль/л и $S_2 = 2$ моль/л, $v_{\text{крит}} = 0,55 \cdot 10^{-3}$ см/с.

Вероятно, в реальной кишке скорости всасывания воды обычно далеки от $v_{\text{крит}}$. Однако при определенных условиях, например снижении V и увеличении S_2 под влиянием тех или иных факторов, по-видимому, не исключена возможность работы в таком режиме, когда увеличение диффузионного сопротивления премембранного слоя жидкости приведет не к снижению, а к повышению эффективности транспортного процесса.

Анализ динамической модели дал возможность выявить два механизма, важных для понимания барьерных и нутритивных функций кишечного эпителия. Один из них — механизм гидродинамической защиты, заключается в том, что при достаточно интенсивных секретирующих потоках воды поступление исследуемого субстрата к транспортирующей мемbrane резко снижается или даже полностью прекращается. При определенных патологических условиях существование водных потоков, направленных из клетки, вероятно, обеспечивает защиту внутренней среды организма от проникновения вредных веществ.

Другой механизм — гомеостатирования потока субстрата через автономный премембранный слой — предполагает возможность равенства по величине, но разнонаправленности потоков J_D и J_W , т. е. $J_D = -J_W$.

В этом случае создаются условия для избирательного проникновения различных веществ к поверхности мембраны в соответствии со значениями их констант диффузии. В частности, если скорость переноса субстрата (например, димеров), обусловленная диффузией, уравновешивается обратным потоком воды, то это означает, что селективное проникновение на мембрану мономеров сохраняется, а более крупных молекул — исключается.

Таким образом, динамическая модель позволяет продемонстрировать, что гомеостатирование процессов мембранныго гидролиза и всасывания возможно не только посредством регулирования соответствующих ферментативных и транспортных активностей, но и путем регулирования трансмембранных потоков воды.

Важная роль трансэпителиальных водных потоков в обмене субстратами между полостью тонкой кишки и ее пищеварительно-всасывающей поверхностью получила недавно и экспериментальное подтверждение [13].

Следует, однако, отметить, что рассмотренная здесь динамическая модель страдает тем недостатком, что в ней, как и в большинстве других моделей, касающихся проблемы неперемешиваемых слоев, не учитывались особенности геометрии кишечной поверхности.

Геометрия кишечной поверхности и проблема неперемешиваемых слоев. Существование в тонкой кишке млекопитающих развитых складок или ворсинок различной формы (в зависимости от вида животных) является одной из характерных особенностей геометрии кишечной поверхности. В разработанной нами математической модели в качестве удобной аппроксимации была принята складчатая поверхность, имеющая в сечении вид синусоиды с варьируемыми параметрами: амплитудой A и периодом $2h$ (рис. 4). При этом сопоставлялись два случая: а) с высотой складки $2A=0,1$ см и ее шириной в основании $2h=0,06$ см; б) высотой складки $2A=0,002$ см и шириной в основании $2h=0,06$ см, что соответствует практически плоской поверхности.

Мы предположили, что рассматриваемые поверхности обладают системой активного транспорта, характеризующейся кинетикой с насыщением, т. е. $J = \frac{V \cdot S}{K_t + S}$, где S — концентрация транспортируемого субстрата на мембране, а остальные обозначения соответствуют приведенным выше.

Для удобства сопоставления складчатой и плоской поверхностей значения всех параметров, кроме высоты складки, задали идентичными для обоих вариантов модели.

Кроме того, в модели задано, что между складками поверхности, которые в первом приближении могут рассматриваться как аналоги кишечных ворсинок, а также над складками существует неперемешиваемый слой, через который исследуемое вещество перемещается в соответствии с законами простой диффузии. Толщина его определяется выражением $c=2A+d$, где $d=0,005$ см — толщина неперемешиваемого слоя над вершиной складки.

Перенос вещества через диффузионную зону в стационарном режиме может быть описан решением следующего уравнения: $D\left(\frac{\partial^2 S}{\partial x^2} + \frac{\partial^2 S}{\partial y^2}\right) = 0$ в ограниченной области $x \in [0, c]$, $y \in [0, h]$ при следующих граничных условиях: $S(x, y)|_{x=c} = S_0 = \text{const}$; $\frac{\partial S(x, y)}{\partial y}|_{y=h} = 0$; $\frac{\partial S(x, y)}{\partial y}|_{y=0} = 0$; и $\frac{\partial S(x, y)}{\partial n}|_{x,y \in \Phi} = \frac{bS(x, y)}{K + S(x, y)}|_{x,y \in \Phi}$, где $b = \frac{V}{D}$, V — максимальная скорость транспорта, D — коэффициент диффузии, n — нормаль к поверхности складки, задаваемой функцией $x = \varphi(y)$, $c = 2A + d$.

Подробное описание численной реализации модели на ЭВМ дано в приложении.

Рассмотрим полученные результаты. На рис. 5 представлена полученная на модели зависимость скорости транспорта через мембрану от концентрации субстрата в объемной фазе. Кривая 1 соответствует складчатой поверхности с соотношением высоты складки («ворсинки») к ее ширине у основания, равным 5:3. Кривая 2 соответствует случаю плоской поверхности.

Как можно видеть, при низких концентрациях субстрата скорости транспорта через складчатую и через плоскую поверхности близки, несмотря на то, что площадь последней в 3 раза меньше. Таким обра-

зом, если предположить, что ворсинчатой поверхности [что в случае низких концентраций сложной поверхности, проходящей вблизи допустимой.

Вместе с тем по мер-
ляются все большие разл-

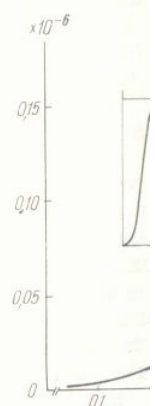


Рис. 5. Сопоставление скорости
плоской (2) поверхности

поверхностей. Это связа транспортных мощностей во все большей степени тогда как в случае пло процесса одинакова по в можно предположить, что ных поверхностей ворс спортивных процессах в зна сматриваемого субстрата фективная поверхность ваться. При этом средн роль своего рода «резер

Сопоставление привело к выводу о возможной толщины неперемешанных экспериментальных исследований выражением [11] для огневой модификации Смитсона

где d — толщина непереносимой; K_1 и K_2 — «какую» ответственно; D — константа транспорта.

зом, если предположить, что сходные закономерности справедливы для ворсинчатой поверхности реальной тонкой кишки, то следует признать, что в случае низких концентраций транспортируемого субстрата аппроксимация сложной поверхности кишечной гладкой цилиндрической поверхностью, проходящей вблизи верхушек ворсинок [20, 22], представляется допустимой.

Вместе с тем по мере повышения концентрации субстрата проявляются все большие различия между двумя типами рассматриваемых

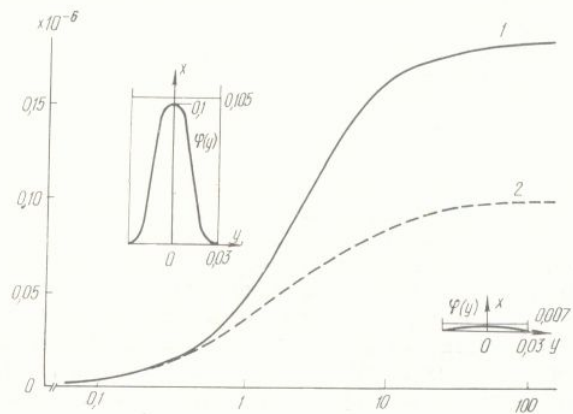


Рис. 5. Сопоставление скоростей транспорта субстрата на моделях складчатой (1) и плоской (2) поверхностей с учетом неперемешиваемого слоя.

По горизонтали — концентрация субстрата в объемной фазе ($\text{ммоль}\cdot\text{л}^{-1}$) (в логарифмическом масштабе); по вертикали — скорость транспорта, выраженная на единицу площади поверхности, проходящей в основании складки (при $x=0$), ($\text{ммоль}\cdot\text{см}^{-2}\cdot\text{с}^{-1}$). Данные получены при следующих значениях параметров модели: константа диффузии $D=5\cdot10^{-6} \text{ см}^2\cdot\text{с}^{-1}$; константа Михаэлиса $K_1=2 \text{ ммоль}\cdot\text{л}^{-1}$; толщина неперемешиваемого слоя над верхушкой складки $d=0,005 \text{ см}$; высота складки 1) 0,1 см; 2) 0,002 см; максимальная скорость транспорта, выраженная на единицу площади поверхности, проходящей в основании складки (при $x=0$): 1) $0,3\cdot10^{-6} \text{ ммоль}\cdot\text{см}^{-2}\cdot\text{с}^{-1}$; 2) $0,1\cdot10^{-6} \text{ ммоль}\cdot\text{см}^{-2}\cdot\text{с}^{-1}$; ширина складки — $2h=0,06 \text{ см}$.

поверхностей. Это связано с тем, что по мере насыщения субстратом транспортных мощностей на верхушках складок в процесс транспорта во все большей степени вовлекаются боковые поверхности складок, тогда как в случае плоской мембранны интенсивность транспортного процесса одинакова по всей поверхности. Анализируя эти результаты, можно предположить, что в реальной кишке степень участия латеральных поверхностей ворсинок в интенсивных гидролитических и транспортных процессах в значительной мере зависит от концентрации рассматриваемого субстрата в полости кишки, и при ее увеличении эффективная поверхность функционирующей мембранны будет увеличиваться. При этом средняя и криптальная области ворсинок играют роль своего рода «резервной зоны» кишечной поверхности.

Сопоставление приведенных на рис. 5 кривых позволяет также прийти к выводу о возможной причине получения завышенных значений толщины неперемешиваемого слоя при ее расчете по данным экспериментальных исследований. В самом деле, воспользуемся известным выражением [11] для определения толщины неперемешиваемого слоя в модификации Смитсона с соавт. [14]:

$$d = \frac{(K_1 - K_2) D}{0,5 V}, \quad (1)$$

где d — толщина неперемешиваемого водного слоя над плоской мембраной; K_1 и K_2 — «каждущаяся» и «истинная» константы Михаэлиса соответственно; D — константа диффузии; V — максимальная скорость транспорта.

Тогда для кривой 2 (рис. 5), соответствующей плоской поверхности, величина d оказывается равной 0,005 см, т. е. такой же, какая была задана в модели. В то же время для кривой 1, соответствующей складчатой поверхности, при том же заданном значении d , толщина неперемещиваемого слоя, определенная по выражению (1), оказывается равной 0,0185 см, то есть в 3,7 раза большей. И это при том условии, что в качестве V была взята из графика «каждущаяся» величина максимальной скорости транспорта, равная $1,9 \cdot 10^{-7}$ моль/см²·с вместо «истинной» величины V , принятой в рассматриваемых вариантах модели, равной $3,0 \cdot 10^{-7}$ моль/см²·с. (Константа V выражалась в модели в расчете на единицу площади плоской поверхности, проходящей под складками.) Если же расчет толщины неперемещиваемого слоя делать по «истинному» значению V , то определенная по выражению (1) величина d оказывается равной 0,1 см, т. е. в 20 раз больше заданного значения.

Таким образом, становится очевидным, что применение в отношении поверхностей сложной формы (каковой, в частности, является поверхность слизистой тонкой кишки млекопитающих) выражений, общепринятых в отношении плоских мембран, может приводить к весьма значительным погрешностям в оценке истинной толщины неперемещиваемого водного слоя. Возможно, что именно неучет особенностей геометрии поверхности тонкой кишки является одной из причин получения весьма высоких и трудно объяснимых с различных точек зрения значений толщины диффузионных слоев над кишечными ворсинками.

Вместе с тем нельзя исключать и роль некоторых клеточных и внеклеточных структур, в частности гликокаликса, как диффузионного сопротивления в отношении различных веществ [4, 6]. Аналогичная точка зрения была недавно высказана и другими исследователями [14].

Мы видим, таким образом, что концепция премембранных жидким слоев, которая уже сегодня играет важную роль в гастроэнтерологии для правильной интерпретации свойств биологических поверхностей, по-видимому, в будущем будет играть еще большую роль в биологии и ее отдельных областях. При этом, по всей вероятности, должны учитываться как статические, так и динамические свойства премембранных слоев и особенности микро- и макрогеометрии биологических поверхностей.

Рассмотрение не только диффузионных свойств премембранных слоев, но и трансмембранных потоков жидкости позволяет наряду с закономерностями субстратного регулирования ферментативно-транспортных функций эпителия учесть особенности ряда несубстратных влияний, например осмотических градиентов, на мембранные процессы.

Уже приведенные нами предварительные результаты по анализу влияния геометрических особенностей поверхности тонкой кишки и по характеристике динамики водных потоков показывают, что учет этих факторов открывает новые возможности в объяснении целого ряда непонятных и противоречивых экспериментальных результатов.

Приложение

Стационарное распределение концентрации субстрата за счет диффузии в зоне складки может быть аппроксимировано решением эллиптического уравнения:

$$\frac{\partial^2 S}{\partial x^2} + \frac{\partial^2 S}{\partial y^2} = 0 \quad (1)$$

для одной из возможных (рис. 4) в ограниченной для следующих граничных

$$S(y, x)|_{x=c} = S_0$$

$$\frac{\partial S(x, y)}{\partial n} \Big|_{x=\varphi(y)} = \frac{b \cdot S[\varphi(t)]}{K + S[\varphi(t)]}$$

$$x = \varphi(y), \quad \frac{\partial \varphi}{\partial y}|_{y=0} = \frac{\partial \varphi}{\partial y}|_{y=0}$$

непрерывные функции, задающие характеристики транспорта в соответствии с кинетикой

симальная скорость транспорта и коэффициент диффузии

Периодичность получаемая из граничных условий конечной складчатой поверхности

Собственные функции $S_\lambda = X(x) \cdot Y(y)$, что приводит к граничным уравнениям:

$$\frac{\partial^2 X(x)}{\partial x^2} = 0$$

с решениями: $X(x) = C_1 \sin(C_2 x) + C_3 \cos(C_4 x)$. Используя граничные

$$S_{\lambda_i} =$$

$$\text{где } \lambda_i = \frac{\pi}{h} i \quad (i = 0, 1, 2, \dots)$$

Общее решение задачи: $S(x, y) = \sum_{i=0}^{\infty} \cos(\lambda_i x) C_{2i} \sinh(\lambda_i y) + \sum_{i=0}^{\infty} \sin(\lambda_i x) C_{3i} \cosh(\lambda_i y)$. Используя граничные условия (2) при $x = 0$ и $y = h$, где $C_{20}' = \sinh(\lambda_0 h) C_{20}$. Тогда

$$S(x, y) = S_0 + C_{20}' \left(\frac{\sinh(\lambda_0 y)}{\sinh(\lambda_0 h)} \right)$$

Постоянные C_{20}' и C_{2i} (решения $S(x, y)$, находящиеся в субстрате на границе с

$$S_\Phi' (K + S_\Phi)$$

где

$$S_\Phi = S(\varphi(y), y) = S_0 + C_{20}' \left(\frac{\sinh(\lambda_0 y)}{\sinh(\lambda_0 h)} \right)$$

$$S_\Phi' = \frac{\partial S(x, y)}{\partial n} \Big|_{y=\varphi} = \frac{b \cdot S[\varphi(t)]}{K + S[\varphi(t)]}$$

для одной из возможных форм идеализации ворсинчатой поверхности (рис. 4) в ограниченной области $Q: x \in [0, c], y \in [0, h]$. Решение ищется для следующих граничных условий в Q :

$$S(y, x)|_{x=c} = S_0; \quad \frac{\partial S(y, x)}{\partial y} \Big|_{y=0} = 0; \quad \frac{\partial S(y, x)}{\partial y} \Big|_{y=h} = 0; \quad (2)$$

$\frac{\partial S(x, y)}{\partial n} \Big|_{x=\varphi(y)} = \frac{b \cdot S[\varphi(y), y]}{K + S[\varphi(y), y]}$, где n — нормаль к границе складки;
 $x = \varphi(y)$, $\frac{\partial \varphi}{\partial y}|_{y=0} = \frac{\partial \varphi}{\partial y}|_{y=h} = 0$, $\varphi(y) = \varphi(-y)$, $b(y) \cdot K(y)$ — некоторые непрерывные функции, заданные на поверхности ворсинки и описывающие характеристики транспорта субстрата в каждой точке поверхности складки в соответствии с кинетикой Михаэлиса—Ментен; $b(y) = \frac{V(y)}{D}$, $V(y)$ — максимальная скорость транспорта в данной точке поверхности складки; D — коэффициент диффузии среды.

Периодичность полученного решения $S(x, y)$ уравнения (1), следующая из граничных условий (2), позволяет использовать его для бесконечной складчатой поверхности при $y \in [\infty, \infty]$, $x \in [0, c]$.

Собственные функции уравнения (1) представляются в виде $S_\lambda = X(x) \cdot Y(y)$, что приводит к системе обыкновенных дифференциальных уравнений:

$$\frac{\partial^2 X(x)}{\partial x^2} - \lambda^2 X(x) = 0; \quad \frac{\partial^2 Y(y)}{\partial y^2} + \lambda^2 Y(y) = 0$$

с решениями: $X(x) = C_1 \operatorname{ch} \lambda x + C_2 \operatorname{sh} \lambda x$; $Y(y) = C_3 \cos \lambda y + C_4 \sin \lambda y$, где C_1, C_2, C_3, C_4 — произвольные постоянные.

Используя граничные условия (2) при $y = 0, h$, имеем:

$$S_{\lambda_i} = \cos \lambda_i y (C_{1i} \operatorname{ch} \lambda_i x + C_{2i} \operatorname{sh} \lambda_i x), \quad (3)$$

где $\lambda_i = \frac{\pi}{h} i$ ($i = 0, 1, 2 \dots$).

Общее решение задачи $S(x, y)$ находится суперпозицией собственных функций: $S(x, y) = \sum_{i=0}^{\infty} \cos \lambda_i y (C_{1i} \operatorname{ch} \lambda_i x + C_{2i} \operatorname{sh} \lambda_i x)$, а связь между произвольными постоянными C_{1i}, C_{2i} ($i = 0, 1, 2 \dots$) устанавливается из граничного условия (2) при $x = c$: $C_{1i} = C_{2i} \operatorname{th} \lambda_i c$ ($i = 1, 2, 3 \dots$); $C_{10} = S_0 - C'_{20}$, где $C'_{20} = \operatorname{sh} \lambda_0 c C_{20}$. Тогда

$$S(x, y) = S_0 + C'_{20} \left(\frac{x}{c} - 1 \right) + \sum_{i=1}^{\infty} C_{2i} \cos \lambda_i y (\operatorname{sh} \lambda_i x - \operatorname{th} \lambda_i c \operatorname{ch} \lambda_i x).$$

Постоянные C'_{20} и C_{2i} ($i = 1, 2, 3 \dots$) и вместе с ними окончательный вид решения $S(x, y)$, находятся из граничного условия (2) для транспорта субстрата на границе складки:

$$S'_\Phi (K + S_\Phi) - b S_\Phi = 0 \text{ для любого } y \in [0, h], \quad (4)$$

где

$$S_\Phi = S(\varphi(y), y) = S_0 + C'_{20} \left(\frac{\varphi}{c} - 1 \right) + \sum_{i=1}^{\infty} C_{2i} \cos \lambda_i y (\operatorname{Sh} \lambda_i \varphi - \operatorname{th} \lambda_i c \operatorname{Ch} \lambda_i \varphi);$$

$$S'_\Phi = \frac{\partial S(x, y)}{\partial n} \Big|_{y=\varphi} = (\sqrt{1 + (\varphi')^2})^{-1} \left\{ \frac{C'_{20}}{c} + \sum_{i=1}^{\infty} \lambda_i C_{2i} [\cos \lambda_i y (\operatorname{Ch} \lambda_i \varphi - \operatorname{th} \lambda_i c \operatorname{Sh} \lambda_i \varphi) - \sin \lambda_i y (\operatorname{Sh} \lambda_i \varphi - \operatorname{th} \lambda_i c \operatorname{Ch} \lambda_i \varphi)] \right\}$$

$$\left. - th\lambda_i c \cdot Sh\lambda_i \varphi + \varphi' \sin \lambda_i y (Sh\lambda_i \varphi - th\lambda_i c Ch\lambda_i \varphi) \right\}, \quad \varphi' = \frac{d\varphi}{dy}.$$

Для отыскания C_{20}' , C_{2i} ($i=1, 2, 3, \dots$) используется численный метод, основанный на поиске минимума функционала J :

$$J = \int_0^h [S_\varphi'(K + S_\varphi) - bS_\varphi]^2 dy = \min_{C_{20}', C_{2i}} \quad (5)$$

на одномерной сетке в области $y \in [0, h]$.

При реализации этого метода на ЭВМ условием отбрасывания лишних корней нелинейного уравнения (4) для C_{20}' , C_{2i} ($i=1, 2, \dots$) служит требование неотрицательности концентрации субстрата $S(x, y)$ у основания складки. Для формы складки, представленной на рис. 4, это условие имеет вид:

$$S(0, h) = S_0 - C_{20}' + \sum_{i=1}^{\infty} C_{2i} th\lambda_i c \geqslant 0. \quad (6)$$

Численное решение уравнения (4) осуществлялось для функции $\varphi(y) = A(1 + \cos \frac{\pi}{h} y)$; $b = \text{const}$; $K = \text{const}$.

Поиск минимума функционала (5) осуществлялся на сетке, содержащей 51 узел. Вычислялись первые три постоянные C_{20}' , C_{21} , C_{22} , так как влияние других постоянных на общее решение оказалось незначительным.

V. M. Gusev, A. A. Gruzdkov, A. M. Ugolev

UNSTIRRED PREMEMBRANE LAYERS

Summary

The modern concepts of the unstirred water layer effect on membrane hydrolysis and nutrient transport (as a model of exchange between the extracellular and intracellular media) are critically considered through the example of the small intestine epithelium. Mathematical models are developed which, along with diffusion properties of pre-membrane layers, take into account transepithelial water flows and peculiarities of geometry of the intestine surface. The direction and amount of transepithelial water flows are shown to have a significant influence on the barrier and nutritive functions of the intestine epithelium as well as on experimentally determined values of kinetic constants K_t and V . According to the simulation data an approximation of the intricate intestinal surface by a flat membrane does not seem to be correct and may lead to a considerable overestimation of the real thickness of unstirred water layer.

I. P. Pavlov Institute of Physiology, Leningrad

Список литературы

- Бреслер В. М., Никифоров А. А. Транспорт органических кислот через плазматические мембранные дифференцированных эпителиальных слоев у позвоночных.—Л.: Наука, 1981.—203 с.
- (Груздков А. А., Гусев В. М., Уголев А. М.) Gruzdkov A. A., Gusev V. M., Ugolev A. M. The three-compartmental enzyme system of the enterocyte relating to its digestive and barrier functions.—In: Advances in physiological sciences. Budapest: Akad. Kiadó, 1981, vol. 29. Gastrointestinal defence mechanisms, p. 303—314.
- Гусев В. М., Груздков А. А., Уголев А. М. Трехкомпонентная энзимная система энтероцита, относящаяся к его пищеварительным и защитным функциям.—Изв. АН СССР. Сер. биол., 1981, № 5, с. 721—731.
- Комиссарчик Я. Ю., Уголев А. М. Ультраструктура и возможное функциональное значение гликокаликса микроворсинок кишечных клеток.—Докл. АН СССР, 1970, 194, № 3, с. 731—733.
- Никольский Н. Н. Всасывание сахаров.—В кн.: Руководство по физиологии. Физиология всасывания. Л.: Наука, 1977, с. 249—284.

- Уголев А. М. Мембранные регуляции.—Л.: Наука, 1979.
- Шноль С. Э. Физико-химия 1979.—262 с.
- Diamond J. M. A rapid across membranes.—J. Physiol., 1976, 262, p. 407—430.
- Ryu Kyoo Hai, Grim E. Ur 1982, 242, N 4, p. 364—369.
- Smithson K. W., Miller D. Unstirred water layer or me p. 1241—1244.
- Thomson A. B. R. Limitati ne Biol., 1979, 47, N 1, p. 39
- Thomson A. B. R., Dietsc effects of unstirred water 1 ses in the intestine.—J. Ti
- Thomson A. B. R., Dietsch unstillred water layer on t cose in rabbit jejunum.—J
- Thomson A. B. R., Weinst intestinal mucosa. Rate o biopsies.—Digestive Dis. a
- Winne D. Unstirred layer, port.—Biochim. et biophys.
- Winne D. Correction of t layer, if a passive transpo 464, N 1, p. 118—126.
- Winne D., Kopf S., Ulmer phenylalanine in vivo.—Bi
- Wilson F. A., Dietschy J. M on active transport kinetic

Институт физиологии им. И. Павлова
Ленинград

6. Уголев А. М. Мембранные пищеварение. Полисубстратные процессы, организация и регуляция.—Л.: Наука, 1972.—358 с.
7. Шноль С. Э. Физико-химические факторы биологической эволюции.—М.: Наука, 1979.—262 с.
8. Diamond J. M. A rapid method for determining voltage—concentration relations across membranes.—J. Physiol., 1966, 183, N 1, p. 83—100.
9. Gardner M. L. G., Atkins G. L. Kinetics of intestinal transport.—Digestive Dis. and Sci., 1980, 25, N 6, p. 474—476.
10. Hajjar J. J., Schedl H. P. Amino acid influx across the mucosal border of the rat intestine *in vivo*.—Biochim. et biophys. acta, 1981, 649, N 3, p. 759—568.
11. Levin R. J. Fundamental concepts of structure and function of the intestinal epithelium.—In: Scientific basis of gastroenterology. Edinburgh etc.: Churchill Livingstone, 1979, p. 308—337.
12. Parsons D. S. Unstirred layer.—In: Intestinal ion transport. London: MTP Press, 1976, Ch. 21, p. 407—430.
13. Ryu Kyoo Hai, Grim E. Unstirred water layer in canine jejunum.—Amer. J. Physiol., 1982, 242, N 4, p. 364—369.
14. Smithson K. W., Miller D. B., Jacobs L. R., Gray G. M. Intestinal diffusion barriers unstirred water layer or membrane surface mucous coat?—Science, 1981, 214, N 4526, p. 1241—1244.
15. Thomson A. B. R. Limitations of the Eadie-Hofstee plot to estimate kinetic parameters of intestinal transport in the presence of an unstirred water layer.—J. Membrane Biol., 1979, 47, N 1, p. 39—57.
16. Thomson A. B. R., Dietschy J. M. Derivation of the equations that describe the effects of unstirred water layers on the kinetic parameters of active transport processes in the intestine.—J. Theor. Biol., 1977, 64, N 2, p. 277—292.
17. Thomson A. B. R., Dietschy J. M. Experimental demonstration of the effect of the unstirred water layer on the kinetic constants of the membrane transport of D-glucose in rabbit jejunum.—J. Membrane Biol., 1980, 54, N 1, p. 221—229.
18. Thomson A. B. R., Weinstein W. M. Transport kinetics of D-glucose in human small intestinal mucosa. Rate constants in histologically normal and abnormal mucosal biopsies.—Digestive Dis. and Sci., 1979, 24, N 6, p. 442—448.
19. Winne D. Unstirred layer, source of biased Michaelis constant in membrane transport.—Biochim. et biophys. acta, 1973, 298, N 1, p. 27—31.
20. Winne D. Correction of the apparent Michaelis constant, biased by an unstirred layer, if a passive transport component is present.—Biochim. et biophys. acta, 1977, 464, N 1, p. 118—126.
21. Winne D., Kopf S., Ulmer M.-L. Role of unstirred layer in intestinal absorption of phenylalanine *in vivo*.—Biochim. et biophys. acta, 1979, 550, N 1, p. 120—130.
22. Wilson F. A., Dietschy J. M. The intestinal unstirred layer: its surface area and effect on active transport kinetic.—Biochim. et biophys. acta, 1974, 363, N 1, p. 112—126.

Институт физиологии им. И. П. Павлова,
Ленинград

Поступила 09.03.83

УДК 591.1—612.8

Н. Н. Лебедев

НЕЙРОФИЗИОЛОГИЧЕСКИЕ АСПЕКТЫ ПЕРИОДИЧЕСКОЙ ДЕЯТЕЛЬНОСТИ ПИЩЕВАРИТЕЛЬНОГО ТРАКТА

С момента открытия в лаборатории И. П. Павлова периодической деятельности (ПД) в форме так называемых «голодных» сокращений желудка у собак [4, 24], ее нейрофизиологические аспекты вызывают неослабевающий интерес, обусловленный тем, что у человека и многих видов животных ПД желудочно-кишечного тракта (ЖКТ) наиболее четко обнаруживается вне пищеварения, и, по-видимому, каким-то образом связана с голодной мотивацией. Изучение электрической активности коры и подкорковых образований мозга при голода и насыщении выявило у голодных животных системы пищевого возбуждения, избирательно объединяющие корково-подкорковые элементы на основе холинергических механизмов [17, 21, 22]. В хронических опытах на бодрствующих собаках отмечено периодическое усиление активации коры мозга соответственно периодам сокращений желудка, что расценивалось как фактор, меняющий функциональное состояние структур пищевого центра и способствующий формированию определенных поведенческих реакций [3, 23]. Однако до настоящего времени не установлена связь голодной мотивации с какими-либо определенными компонентами ПД; ощущение голода у человека не связано с периодами «голодных» сокращений желудка и тонкой кишки [12, 13, 18, 33, 34].

С другой стороны, также в лаборатории И. П. Павлова, впервые было отмечено изменение глубины ночного сна у собак в разные фазы циклов ПД: наиболее глубокий сон в периоды покоя, переход к легкой дремоте или пробуждение перед началом периодов сокращений, иногда тотчас после их окончания [4]. В дальнейшем изменения функционального состояния центральной нервной системы (ЦНС) в дневные часы у собак при длительной регистрации ПД были отмечены в многочисленных работах [6, 13, 18]. У здоровых испытуемых соответственно периодам сокращений двенадцатиперстной кишки также наблюдали уменьшение глубины ночного сна [27].

Связующим звеном этих нейрофизиологических аспектов ПД явились данные, свидетельствующие о том, что у голодных собак, находящихся в состоянии спокойного бодрствования в дневные часы, в условиях относительной изоляции от внешних раздражителей, активация электрокортикограммы (ЭКоГ) наблюдается только соответственно периодам сокращений желудка, т. е. на протяжении 20—30 мин в 90 мин циклах ПД. В периодах покоя (остальные 60—70 мин) преобладает высокоамплитудная медленноволновая активность. Эти периодические изменения частотного спектра ЭКоГ в дневные часы близки по характеру к наблюдаемым в соответствующих стадиях сна в ночное время [10, 14, 15, 16]. Вместе с тем совпадение продолжительности циклов ПД ЖКТ и РЕМ сна пока обнаружено только у человека, тогда как у собак и других животных циклы РЕМ сна значительно короче циклов ПД [31, 35]. Поэтому проводить какие-либо параллели в данном случае можно только с большой осторожностью.

Поиску новых подходов к решению этих вопросов были посвящены исследования, результаты которых изложены в настоящей статье.

Методика исследований

Проанализировано более 700 ЭКоГ, полученных в хронических опытах на шести собаках с фистулами желудка и вживленными в кости черепа симметрично справа и слева тремя парами биполярных электродов. Автоматический анализ частот ЭКоГ осуществлялся с помощью анализатора МАФ-4 в блоке с энцефалографом Нихон Коден

с электродов, соответствующих I вом (Л) полушария одновременно пазонах (д) 2—4 (I), 4—8 (II); номерами они приводятся в пос контролем кимографической регистрации 3—5 ЭКоГ в период, длившемся с 10 до 18 ч запись период сокращений и период пок для условных рефлексов, еду по-

Для выяснения характера мозга с процессами ПД в орган проводили кормление молоком и на трех собаках вводили подкоже до начала опытов производили ного отдела с немедленным реа СДВ [1].

Статистическую обработку собаке, затем для группы собак продолжительность последовательных и периода покоя отдельно. сокращений. ЭКоГ раздельно по к деленным точкам циклов: 5 мин сокращений (точки, т. 1, 2, 3); за 5 мин до их окончания, т. е. 8, 9). В связи с удлиненными периодах покоя была десятая, с

Детали методики, обстановки результатов сообщались ранее [14,

Результаты

Учитывая, что на каждой собаке по фазам циклов проявляют внимание все детали, что электрическая активность у здоровых голодных собак одинаково в П и Л получила минимальный вклад в суммарную активность соответствующим образом сокращений желудка пиками максимальной пропорцией V д (рис. 1, I и V)ально общую с I д имею-

Рис. 1. Динамика изменений ЭКоГ в последовательных фазах здоровых собак в состоянии голодания.

Сверху вниз: анализируемые диапазоны II, III, IV, V (см. текст). Представляемый диапазон в правом полушарии (слева) (пунктирная линия) выражена в коэффициентах (% вклада от суммы активности), в масштабе по вертикальной оси — схема циклов ПМЖ от начала опыта (1, 2, 3, 4) в масштабе времени. Продолжительность каждого цикла сокращений (обозначены жирными точками 1, 2, 3... 8, 9 в каждом цикле ЭКоГ (см. текст)). Схема циклов для всех диапазонов частот позволяет динамику изменений частотного спектра в соответствии сонним вертикальным расположением ЭКоГ, наряду со значениями представлены соответствующими фазами последовательных

частот II и III фаз. Подобная четкая противоположность ЭКоГ, наряду с

с электродов, соответствующих проекции двигательных зон коры в правом (П) и левом (Л) полушариях одновременно по двум каналам. Частоты анализировали в диапазонах (д) 2—4 (I), 4—8 (II), 8—12 (III), 12—20 (IV) и 20—30 Гц (V) (под этими номерами они приводятся в последующем тексте и на рисунках). Под непрерывным контролем кимографической регистрации периодической моторики желудка (ПМЖ) записывали 3—5 ЭКоГ в периодах сокращений и 6—8 в периодах покоя. В опыте, длившемся с 10 до 18 ч записывали 4—6 циклов ПМЖ, каждый из которых включал период сокращений и период покоя, и не менее 30 ЭКоГ. Собаки находились в камере для условных рефлексов, еду получали накануне в 11 ч. В день опыта их не кормили.

Для выяснения характера и механизмов связи электрической активности коры мозга с процессами ПД в органах ЖКТ при изменениях уровня голодной мотивации проводили кормление молоком или его введение непосредственно в желудок. В опытах на трех собаках вводили подкожно 1 мг атропина. Из шести собак у двух за 5 мес до начала опытов производили циркулярную гастротомию в верхней трети фундального отдела с немедленным реанастомозом («селективную дистальную ваготомию», СДВ [1]).

Статистическую обработку проводили для серий однотипных опытов по каждой собаке, затем для группы собак, участвовавших в серии. Рассчитывали среднюю продолжительность последовательных циклов ПМЖ, в каждом цикле — периода сокращений и периода покоя отдельно. Циклы условно отсчитывали от начала периодов сокращений. ЭКоГ раздельно по каждому из каналов группировали соответственно определенным точкам циклов: 5 мин от начала, середина, 5 мин до окончания периодов сокращений (точки, т. 1, 2, 3); 5, 10, 20, 30, 40—50 мин от начала периодов покоя и за 5 мин до их окончания, т. е. за 5 мин до начала следующего цикла (т. 4, 5, 6, 7, 8, 9). В связи с удлиненными периодами покоя у собак с СДВ последней точкой в периодах покоя была десятая, соответствовавшая т. 9 у здоровых собак.

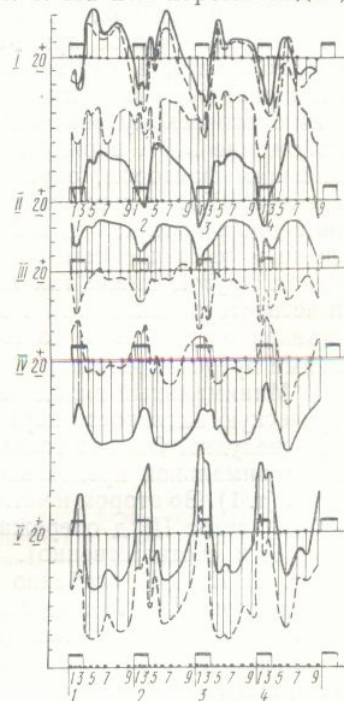
Детали методики, обстановки опытов, техники операции СДВ и обработки результатов сообщались ранее [14, 15, 16].

Результаты исследований и их обсуждение

Учитывая, что на каждую точку при группировке ЭКоГ здоровых собак по фазам циклов приходится не менее 12—14 определений, заслуживают внимания все детали кривых на рис. 1. На нем хорошо видно, что электрическая активность коры в 1 д у здоровых голодных собак изменяется одинаково в П и Л полушариях. Ее минимальный вклад в суммарную электрическую активность соответствует периодам сокращений желудка и совпадает с пиками максимальной представленности частот V д (рис. 1, I и V). Принципиально общую с I д имеют представления-

Рис. 1. Динамика изменений частотного спектра ЭКоГ в последовательных фазах циклов ПМЖ у здоровых собак в состоянии физиологического голодаания.

Сверху вниз: анализируемые диапазоны частот ЭКоГ I, II, III, IV, V (см. текст). Представленность каждого диапазона в правом полушарии (сплошная линия) и в левом (пунктирная) выражена в средних взвешенных коэффициентах (% вклада от суммарной электрической активности), в масштабе по вертикали, каждое деление соответствует 2 %, отсчет от представленности «20». Внизу — схема циклов ПМЖ от начала и до конца дневного опыта (1, 2, 3, 4) в масштабе времени по горизонтали. Продолжительность каждого цикла 90 мин, периодов сокращений (обозначены жирными прямоугольниками) — 20 мин. Точки 1, 2, 3 ... 8, 9 в каждом цикле — группировка ЭКоГ (см. текст). Схема циклов ПМЖ является общей для всех диапазонов частот и позволяет сопоставлять динамику изменений частотного спектра ЭКоГ соответственно тонким вертикальным линиям, соединяющим значения представленности соответствующих диапазонов в фазах последовательных циклов.



ности частот II и III диапазонов. Изменения IV и V д близки. Подобная четкая противофазность «медленных» и «быстрых» составляющих ЭКоГ, наряду со случайными, как казалось ранее, различия-

ми в деталях по циклам отмечена в предыдущих работах [14, 18]. Этот материал позволяет более подробно рассмотреть некоторые детали.

В динамике изменений частотного спектра ЭКоГ в V д наряду с хорошо выраженным пиками активации соответственно периодам сокращений, которые мы назвали «стационарными» (рис. 1, V), обращают на себя внимание как бы дополнительные волны активации, выраженные значительно слабее и чаще приуроченные к периодам покоя. В первом цикле такая волна видна в середине периода покоя (т. 7), во втором — в т. 5, которая соответствует 10 мин промежутку от начала периода покоя, в третьем — в т. 6 (20 мин от начала периода покоя). В четвертом цикле такие волны видны в т. 3 (конец периода сокращений) и в т. 7 периода покоя, т. е. там, где эта волна находилась в первом цикле. Таким образом, эти волны обнаруживаются в электрической активности коры П полушария в V д в периодах покоя всех последовательных циклов и в периоде сокращений — в четвертом цикле. Их расположение в периодах покоя (рис. 1, V д, П полушарие, первый цикл — т. 7, второй — т. 5, третий — т. 6 и четвертый — т. 7) свидетельствует, что на протяжении дневного опыта дополнительные волны как бы «перемещаются» по этой фазе циклов, а в четвертом цикле «проходят» через период сокращений. Ритм появления дополнительных волн от цикла к циклу не совпадает с ритмом ПМЖ и постепенно замедляется приблизительно с 75 мин в первом цикле до 120 мин в четвертом. Выраженность дополнительных волн активации различна в П и Л полушариях, особенно в третьем цикле, но она всегда значительно слабее, чем стационарных пиков. В отличие от последних дополнительные волны обозначены нами как «мигрирующая волна активации» — МВА. Ее происхождение пока неясно. Соотношения частот ЭКоГ при МВА сходны с наблюдаемым в стационарных пиках только в I и V диапазонах, тогда как в промежуточных диапазонах II, III, IV соотношения частот при МВА иные. Это обстоятельство позволяет предположить, в соответствии с литературными данными [2, 22], что стационарные пики активации и МВА различаются по своему генезу и физиологическому значению. Важно подчеркнуть, что переменное расположение МВА в ряду последовательных циклов ПМЖ является решающим фактором, обусловливающим «индивидуальность» частотного спектра ЭКоГ в каждом отдельном цикле. Так, например, МВА во втором цикле (рис. 1, V д, т. 5) сопровождается кратковременным противофазным соотношением частот II д справа и слева, которое больше ни в одном другом цикле так не выражено. В т. 7 периодов покоя первого и четвертого циклов МВА сопряжены с однотипными снижениями представленности I д и в то же время с совершенно различными изменениями представленности частот II д в П и Л полушариях.

Минимальный вклад частот II и III диапазонов в суммарную электрическую активность коры, в общем, приходится на периоды сокращений желудка. Однако только в периоде сокращений третьего цикла пики минимальной представленности этих диапазонов совпадают во времени (т. 1). Во втором и четвертом циклах пик минимальной представленности частот III д опережает таковой II д на 7—10 мин (т. 2 и 3 и т. 1 и 2 соответственно). В периоде сокращений четвертого цикла (рис. 1, III, II, I) особенно хорошо видно, что в электрической активности коры П и Л полушарий прежде всего снижается представленность α -подобного ритма (III д, т. 1), через несколько минут — представленность θ -ритма (II, т. 2) и еще через несколько минут — δ -ритма (I д, т. 3).

Эти регуляторные соотношения также тесно связаны с МВА. В динамике изменений представленности частот IV д в коре П полушария МВА обнаруживаются только в начале периода покоя третьего цикла (т. 5) и при этом опережает появление МВА в V д в П полушарии на несколько минут, где МВА находится в т. 6. В то же время в электри-

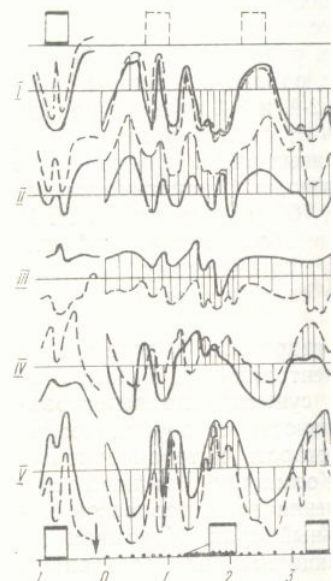
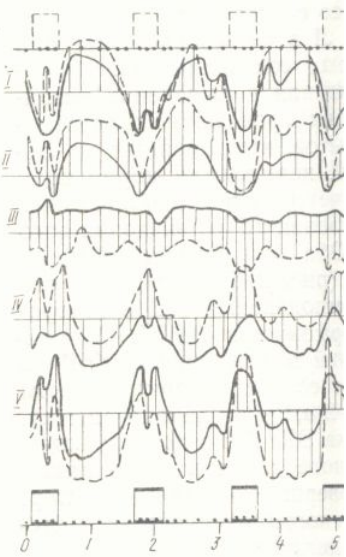


Рис. 2. Динамика изменений частот ПМЖ у собаки № 4 (среда (слева вверху), после кормленя посредством в желудок (слева внизу). Пунктирные прямоугольники вверху; прямые прямоугольники внизу — схема реагирования соответствует

ческой активности коры почти синфазно отражают IV, V, первый, второй и степенное нарастание представляемости частот III д справа и слева циклов. Оно интересно та-

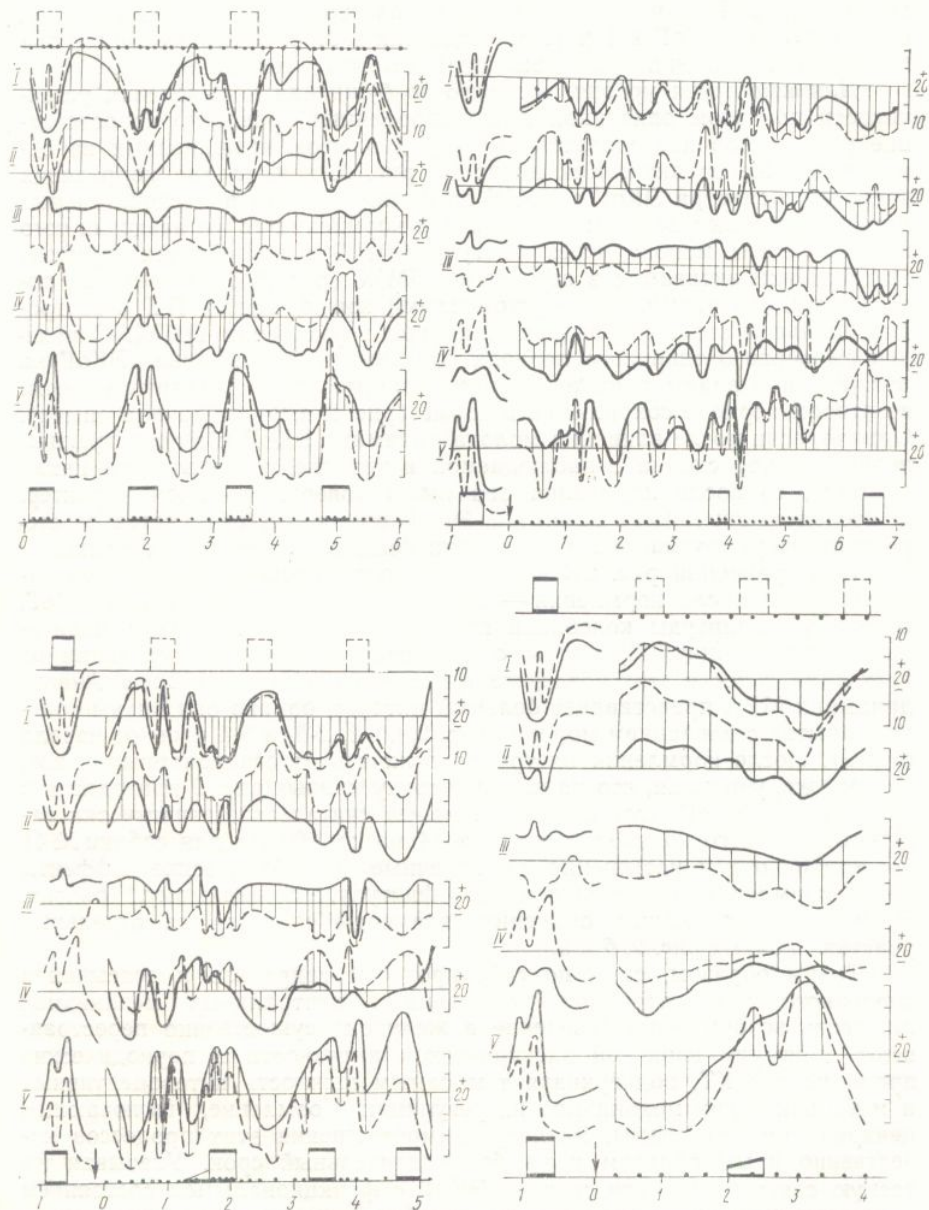


Рис. 2. Динамика изменений частотного спектра ЭКоГ в последовательных фазах циклов ПМЖ у собаки № 4 (средние из 5 опытов) в состоянии физиологического голода (слева вверху), после кормления молоком (справа вверху) и после его введения непосредственно в желудок (слева внизу), (справа внизу) — после введений атропина (стрелки).

Пунктирные прямоугольники вверху *a*, *b*, *c* — расчетная схема ПМЖ (для *b* — на *a*), жирные прямоугольники внизу — схема реальной ПМЖ в каждой серии. Масштаб по вертикали — каждое деление соответствует 5 %. Остальные обозначения те же, что на рис. 1.

ческой активности коры Л полушария МВА в IV диапазоне частот почти синфазно отражают таковые в ЭКоГ V д П полушария (рис. 1, IV, V, первый, второй и третий циклы). Можно отметить также постепенное нарастание противофазности в динамике представленности частот III д справа и слева в периодах покоя от первого до четвертого циклов. Оно интересно тем, что к концу опыта динамика представлена-

ности III д в П полушарии сохраняет сходство с динамикой медленных составляющих ЭКоГ в I и II д, тогда как в Л в четвертом цикле она приближается к динамике изменений быстрых составляющих.

Для изменения уровня пищевого возбуждения и выяснения устойчивости при этом описанной выше корреляции проведено сопоставление результатов последовательных серий опытов, выполненных на одних и тех же собаках. Как видно на рис. 2, нормальная корреляция частотного спектра ЭКоГ с ПМЖ по фазам четырех последовательных циклов (а) существенно меняется после кормления (б) и введения того же количества молока через фистулу (в). Оба воздействия тормозят ПМЖ. Пики активации в отсутствие ПМЖ (рис. 2, б, в) связаны, по-видимому, с другими, более устойчивыми компонентами ПД в гастро-дуоденальной зоне, сохраняющимися при торможении ПМЖ. С появлением первого типичного периода сокращений в динамике ЭКоГ на рис. 2, б и в видны пики активации, сходные со стационарным пиком во втором периоде сокращений в норме (рис. 2 а, 2 ч от начала опыта). Однако, если после вливания молока динамика ЭКоГ и в последующем периоде покоя сходна с наблюдавшейся в периоде покоя второго цикла в норме, то после кормления она имеет совершенно иной характер. В последующих циклах динамика ЭКоГ во многом отличается от стереотипа, формирующегося в состоянии физиологического голода.

При сравнении рис. 2 б и в также хорошо видны другие особенности ЭКоГ после кормления — выраженная общая активация ЭКоГ, снижение амплитуды колебаний представленности быстрых и медленных составляющих. При этом общее количество волн активации во всех циклах после этих воздействий в среднем равняется трем. Анализ динамики МВА представляет большой интерес, однако они видны только в опытах с вливанием молока (рис. 2, в, 1-й, 2-й, и 3-й часы от начала опыта). После кормления их трудно отличить от стационарных пиков. К тому же, учитывая, что на каждую точку кривых рис. 2 приходится в среднем три ЭКоГ, этот анализ не может считаться статистически надежным. Общего количества молока (4 мл/кг, 100 мл для собак № 4) недостаточно для насыщения, но конечные метаболические эффекты после кормления и введения через фистулу, по-видимому, близки. Этим, вероятно, можно объяснить элементы сходства на отдельных участках кривых рис. 2, б и в.

Таким образом, сами по себе процессы гидролиза и всасывания введенного нутриента при исключенных центральных механизмах пищевого возбуждения (введение в желудок) существенно перестраивают динамику корковой электрической активности и периодические процессы в ЖКТ, подчеркивая тем самым важность интероцептивных и метаболических механизмов их регуляции. Кормление, включающее центральные механизмы, меняет взаимоотношения этих процессов качественно иным образом и на более длительный срок. Указывая на тесную связь частотного спектра ЭКоГ с функциональным состоянием пищеварительного тракта, эта перестройка, очевидно, отражает также изменения уровня голодной мотивации.

Известно, что наряду со стереотипией ПД ЖКТ, в ней имеются различия в деталях в последовательных циклах. Особенно отчетливо индивидуальность каждого цикла обнаруживается в сочетании секреторных и двигательных компонентов ПД в различных отделах ЖКТ. Ритм и последовательность их появления в отдельных циклах не совпадают полностью [12, 13]. Ранее было высказано предположение [13], что эти индивидуальные особенности циклов могут являться основой энтерогастральных механизмов регуляции уровня голодной мотивации. Сочетание периодического стереотипа частотного спектра ЭКоГ с его «уникальностью» в последовательных циклах ПМЖ при пролонгированном физиологическом голодании и при пищеварении подтверждают это предположение. По-видимому, отражение определенного уровня

пищевого возбуждения в при строго определенных (ционального состояния корешевого центра). При другом совсем или являть быть эти сочетания, пока особенности ЭКоГ у гастро- и интероцептивное подавление голодной модальность [22].

Важность энтерогастр особенностей электрическ подтвердились в следую ветствии с общезвестны можение ПМЖ. У собакиных сокращений желудка 2 ч после введения, затем Изменения ЭКоГ после в тер: от введения до появления обладала медленноволновы период покоя. Соответствен тая волна активации (ри спектра ЭКоГ под влиянием возможности его централ низмом наблюдавшегося атропина тормозить не секреторную периодику о высвобождение многих б тидов, в том числе субстан атропин на длительный с кровью соответственно пер зит высвобождение панк так и в кишечной фазах, следнего с холецистокининавшиеся в наших опыта ладанию на ЭКоГ высок и значительно тормози собак, пищевое возбуждение механизмы обнаруженно терес и требуют специаль

Через 5 мес после С отсутствие четкой периода ЭКоГ по фазам циклов активация в середине и четвертого (рис. 3). В эти взаимоотношения частот полушарий наблюдались тически вся динамика из зона в П и Л полушарий исключением (рис. 3, II), с наблюдавшейся у здорового опыта в П и Л по активность в III д в Л «копирует» динамику IV синфазности в динамике собак, после СДВ в пре людается как синфазность ределяющий индивидуальных циклах, после

пищевого возбуждения в форме ощущения голода может возникать при строго определенных сочетаниях компонентов ПД в ЖКТ и функционального состояния коры мозга (а также подкорковых структур пищевого центра). При других сочетаниях это ощущение может не возникать совсем или являться подпороговым. Какими именно должны быть эти сочетания, пока трудно сказать с определенностью. В целом особенности ЭКоГ у голодных собак отражают нарастающую метаболическую и инteroцептивную стимуляцию и ослабевающее центральное подавление голодной мотивации, подтверждая ее специфическую модальность [22].

Важность энтерогастральных факторов в формировании некоторых особенностей электрической активности коры мозга у голодных собак подтвердилась в следующих сериях. Так, введение атропина в соответствии с общизвестными литературными данными вызывало торможение ПМЖ. У собаки № 4 (рис. 2, г) первая группа редуцированных сокращений желудка в среднем из 5 опытов появлялась через 2 ч после введения, затем сокращения отсутствовали до конца опыта. Изменения ЭКоГ после введения атропина носили двухфазный характер: от введения до появления группы слабых сокращений в ЭКоГ преобладала медленноволновая активность, как бы пролонгированный период покоя. Соответственно первым сокращениям появлялась растянутая волна активации (рис. 2, г). В механизме перестройки частотного спектра ЭКоГ под влиянием атропина нельзя полностью исключить возможность его центрального действия. Однако более важным механизмом наблюдавшегося «разобщения» представляется способность атропина тормозить не только моторику желудка и кишечника, но и секреторную периодику органов гастро-дуоденальной зоны, а также высвобождение многих биологически активных интестинальных пептидов, в том числе субстанции Р, гастрин и т. п. [13, 26, 28, 29]. Так, атропин на длительный срок устраняет повышение уровня мотилина в крови соответственно периодам сокращений у человека [35, 36], тормозит высвобождение панкреатического полипептида как в «вагусной», так и в кишечной фазах, что особенно интересно, учитывая связь последнего с холецистокинином [29]. В более высоких дозах, чем применявшиеся в наших опытах, атропин не только приводит к преобладанию на ЭКоГ высокоамплитудной медленноволновой активности, но и значительно тормозит, вплоть до полного отказа от еды голодных собак, пищевое возбуждение [22]. В этом отношении гормональные механизмы обнаруженной корреляции представляют значительный интерес и требуют специального изучения.

Через 5 мес после СДВ прежде всего обращает на себя внимание отсутствие четкой периодичности и нестабильность частотного спектра ЭКоГ по фазам циклов (рис. 3). Заметна также необычная общая активация в середине дневного опыта от т. 7 второго цикла до т. 7 четвертого (рис. 3). В то время, как у здоровых собак противофазные взаимоотношения частот II д в электрической активности коры П и Л полушиарий наблюдались в виде исключения (рис. 1), после СДВ практически вся динамика изменений представлена частотами этого диапазона в П и Л полушиариях протекает в противофазах, за редким исключением (рис. 3, II). В динамике III д имеется некоторое сходство с наблюдаемой у здоровых собак — нарастание противофазности по ходу опыта в П и Л полушиариях. Однако после СДВ электрическая активность в III д в Л полушиарии в течение всего опыта, в сущности, «копирует» динамику IV д в этом же полушиарии. В отличие от полной синфазности в динамике частот V д в П и Л полушиариях у здоровых собак, после СДВ в представленности частот V д справа и слева наблюдается как синфазность, так и противофазность. МВА — феномен, определяющий индивидуальность частотного спектра ЭКоГ в последовательных циклах, после СДВ трудно отличить от стационарных пиков

в связи с отсутствием четких амплитудных различий. Можно полагать, что их эквивалентами после СДВ являются так же хорошо выраженные, как и в периоды сокращений, волны активации в периодах покоя. Трудности выявления МВА и их миграции после операции СДВ свидетельствуют о дисбалансе нервно-гуморальных механизмов корреляции ПМЖ и частотного спектра ЭКоГ. Они отчасти могут быть связаны также с тем, что на каждую точку рис. 3 приходится в среднем 5 определений.

После СДВ наблюдались необычные сочетания частот ЭКоГ в точках 9 второго и третьего циклов: противофазные изменения частот II и V д в П и Л полушариях и синфазные повышения представленности частот I д справа и слева (рис. 3, V, II, I д). Подобные сочетания у здоровых собак никогда не наблюдались. В этих же точках пики минимальной представленности частот III д в П, и, особенно, в Л полушариях соответствуют пикам для II д в Л полушарии. Только через 25–30 мин после этих «спадов» наблюдаются пики минимальной представленности I д в П

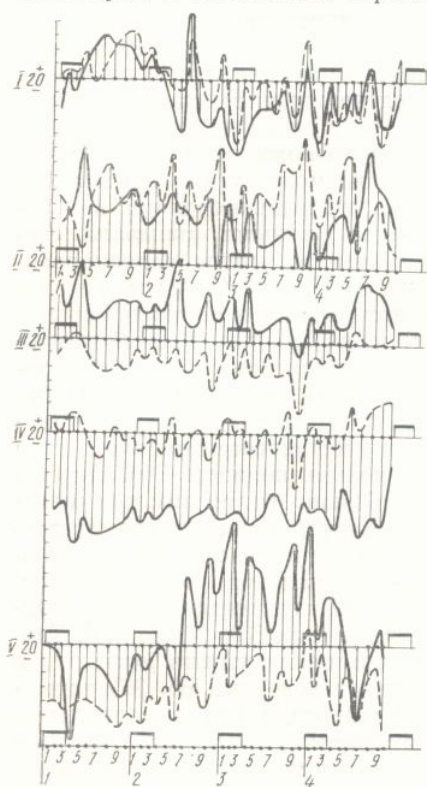


Рис. 3. Динамика изменений частотного спектра ЭКоГ в последовательных циклах у собак после операции СДВ.
Все обозначения те же, что на рис. 1.

и Л полушариях и максимальная активация коры П полушария (рис. 3, III, II, I, т. 1 и 2 периодов сокращений третьего и четвертого циклов).

Важно подчеркнуть, что по частотному спектру ЭКоГ в каждом цикле у этих собак в целом различаются три волны активации. У собак с денервацией органов гастро-дуоденальной зоны сохраняется, таким образом, индивидуальность частотного спектра в циклах. У них сохраняется и пищевое возбуждение. Однако регуляция его уровня осуществляется, по-видимому, преимущественно гуморальным путем с участием интестинальных гормонов.

В дневные часы в условиях физиологического голода ПД ЖКТ сопровождается изменениями функционального состояния висцеральных систем организма, наиболее полно изученными у человека и собак. Вегетативные сдвиги по fazам циклов проявляются в повышении артериального давления, температуры тела, учащении сердечного ритма, дыхания и т. д. до верхней границы физиологической нормы соответственно периодам сокращений желудка, снижении до нижней границы нормы в периоды его покоя [4, 12, 13, 20, 25]. Во время ночного сна ПД желудка и тонкой кишки у человека и собак сохраняется [4, 7, 8, 9, 32, 33, 34, 36]. Вегетативные сдвиги соответственно fazам циклов ПД ЖКТ в ночное время не изучались.

Детально изучены вегетативные сдвиги соответственно стадиям сна [5, 11, 19]. Сравнение двух групп литературных данных, получен-

ных независимо друг от при ПД ЖКТ в дневные часы, свидетельствует обные сдвиги в организме и валентны таковым для с этой стадии соответствует

Представляется веро по совокупности характере и изменениям ЭКоГ, ности коры процессов П мозга от внешних возд стояние физиологического видно, наиболее благопр периодических изменений ной для соответствующи ПД в дневные часы и и выми компонентами ПД, процессы в связи с переходом

Для проверки этого несоответствия продолж (30–40 [10, 31, 36] и 9 «уложилось» два-три ци ме стационарных пиков. Такими волнами у голов чески постоянное количе собак и собак после опе ности обнаружения МВА тать, что в цикле ПД у три, но не более, волнъ женностю, особенностя лярностью и выражено тификации волн активированно, требуется реги которая в наших опыта ными датчиками наруши рядке постановки вопр разработанностью вопрос трех последовательных той стационарный пик, хождения продолжител

Представляется пр связана ли стационарн либо компонентами ПД ские, или они отражают процессов. Для их реш риалов, подготовка с обработки результатов нальной асимметрии эл отчетливо выявляющей физиологических аспект настоящей статьи.

В заключение след мики ряда общих и час лого организма, ЦНС и ритм ПД ЖКТ и ее к му, переход организма ся процессом пищевар стоянием сна. Получен висимость электрическ

ных независимо друг от друга, относительно вегетативных сдвигов при ПД ЖКТ в дневные, и соответственно стадиям сна — вочные часы, свидетельствует об их однотипной направленности. Вегетативные сдвиги в организме во время периодов сокращений желудка эквивалентны таковым для стадии «быстрого» (РЕМ) сна. Считают, что этой стадии соответствует активация моторики ЖКТ.

Представляется вероятным предположение о том, что стадии сна, по совокупности характерных для них вегетативных сдвигов в организме и изменениям ЭКоГ, являются отражением в электрической активности коры процессов ПД вочные часы. Максимальное отключение мозга от внешних воздействий и естественно пролонгированное состояние физиологического голодания у человека, собак создают, очевидно, наиболее благоприятные условия для проявления в коре мозга периодических изменений частотного спектра ЭКоГ в форме, характерной для соответствующих стадий сна. В таком случае ЭКоГ корреляты ПД в дневные часы и ночью у собак можно было бы считать корковыми компонентами ПД организма, отражающими метаболические процессы в связи с переходом его на эндогенный тип питания.

Для проверки этого предположения необходимо выяснить причины несоответствия продолжительности циклов РЕМ сна и ПД у собак (30—40 [10, 31, 36] и 90 мин соответственно). Чтобы в 90 мин цикле «уложилось» два-три цикла РЕМ сна по 30—40 мин, необходимы, кроме стационарных пиков, одна-две дополнительные волны активации. Такими волнами у голодных здоровых собак являются МВА. Практически постоянное количество волн активации в циклах накормленных собак и собак после операции СДВ, равное трем (несмотря на трудности обнаружения МВА в последних двух случаях), позволяет считать, что в цикле ПД у собак, как правило, укладывается именно две-три, но не более, волны активации. Они различаются в норме выраженностью, особенностями частотного спектра ЭКоГ. Среди них регулярностью и выраженностью выделяется стационарный пик. Для идентификации волн активации в каждом цикле с РЕМ стадиями сна, естественно, требуется регистрация всех необходимых его атрибутов [30], которая в наших опытах не проводилась из-за опасения дополнительными датчиками нарушить стереотип ПД. Поэтому пока лишь в порядке постановки вопроса можно предположить, что недостаточной разработанностью вопроса о сходстве или различиях в деталях ЭКоГ трех последовательных стадий РЕМ сна у собак, условно считая первой стационарный пик, возможно, и объясняются существующие расхождения продолжительности у них циклов ПД ЖКТ и РЕМ сна.

Представляется преждевременным обсуждение вопросов о том, связаны ли стационарные пики активации и МВА только с какими-либо компонентами ПД в широком смысле, включая и метаболические, или они отражают также центральные механизмы регуляции этих процессов. Для их решения требуется дальнейшее накопление материалов, подготовка соответствующих программ для машинной обработки результатов и т. п. Обсуждение вопросов о роли функциональной асимметрии электрической активности коры П и Л полушария, отчетливо выявляющейся во всех сериях опытов, в разработке нейрофизиологических аспектов ПД, также, к сожалению, выходит за рамки настоящей статьи.

В заключение следует отметить, что сопоставление суточной динамики ряда общих и частных характеристик ритмических процессов центрального нервного синдрома и ЖКТ выявляет «сквозной» 90 мин (для собак) ритм ПД ЖКТ и ее корковых компонентов, отражающий, по-видимому, переход организма на эндогенное питание. Этот ритм модулируется процессом пищеварения и в какой-то, пока неизвестной форме, состоянием сна. Полученные результаты, демонстрируя значительную зависимость электрической активности коры мозга от функционального

состояния органов ЖКТ в условиях физиологического голода и при пищеварении, намечают новые подходы к изучению кортико-висцеральных взаимоотношений в процессе ПД и ее нейрофизиологических аспектов.

N. N. Lebedev

NEUROPHYSIOLOGICAL ASPECTS OF PERIODIC ACTIVITY OF DIGESTIVE TRACT

Summary

Periodic motility of stomach (PMS) was registered from fistulas in the fundal area and from the electrocorticogram (ECoG) from the bipolar electrodes implanted to cranium bones in chronic experiments on six dogs. An analysis of more than 700 ECoG showed that a stereotype corresponding to the cycle phases of PMS («stationary» activation peaks) as well as the uniqueness of frequency composition in each successive cycle due to a phenomenon of «additional migrating wave» of activation were revealed for 6 h of day experiments in dynamics of 5 ranges of frequency spectrum of ECoG from 2 to 30 Hz in the right and left hemispheres. Two-three activation waves were found in starving, fed and vagotomized dogs in 90 min cycles. A conclusion is made that ECoG essentially depends on the functional state of digestive organs. New approaches are determined for studying periodic ECoG activity interrelation with the level of starving motivation and sleep stages.

Institute of General Pathology and Pathologic Physiology,
Academy of Medical Sciences, USSR, Moscow

Список литературы

- Арипов У. А., Файн С. И. Селективная дистальная ваготомия.—В кн.: Фундаментальные проблемы гастроэнтерологии: Тез. докл. XIII Всесоюз. конф., Киев, сент. 1981. Киев: Изд-во Киев. ун-та, 1981, с. 15—16.
- Багашвили Т. И., Мествишивили Л. П. О природе реакции десинхронизации электрической активности коры больших полушарий.—В кн.: Материалы VIII Всесоюз. конф. по электрофизиологии ЦНС. Ереван: Изд-во АН АрмССР, 1980, с. 194—195.
- Бакурадзе А. Н., Чхенкели С. А. К вопросу о биологическом значении периодической моторной деятельности желудка.—В кн.: Материалы докл. III Укр. конф. по физиологии и патологии пищеварения. Одесса, 1969, с. 6—8.
- Болдырев В. Н. Периодическая работа пищеварительного аппарата при пустом желудке: Дис. на степень д-ра медицины.—СПб., 1904.—52 с.
- Гольбин А. Ц. Патологический сон у детей.—Л.: Медицина, 1979.—243 с.
- Гончарова А. Ф. Синхронные движения желудка и головы у собак.—В кн.: Условные рефлексы (материалы сравнит. физиологии высш. нерв. деятельности): Тр. Воронеж. мед. ин-та. Воронеж, 1948, т. 14, с. 163—166.
- Комаров Ф. И. К вопросу о влиянии сна на двигательную функцию двенадцатиперстной кишки у человека.—Тр. Воен.-морс. мед. акад., 1952, т. 38, с. 78—92.
- Комаров Ф. И., Лисовский Л. В., Захаров Л. В. Суточный ритм физиологических функций у здорового и больного человека.—Л.: Медицина, 1966.—200 с.
- Куфарева О. П. К вопросу о функциональном состоянии двенадцатиперстной кишки у человека. Сообщ. I. О двигательной и секреторной функции двенадцатиперстной кишки и их взаимоотношениях у здоровых людей.—Клин. медицина, 1948, 26, № 7, с. 45—56.
- Латаш Л. П., Шлык Г. Г., Дьякова С. Д. Полиграфическое исследование сна собаки.—Физиол. журн. СССР, 1975, 61, № 6, с. 878—887.
- Латаш Л. П. Вегетативная нервная система и сон.—В кн.: Физиология вегетативной нервной системы. Л.: Наука, 1981, с. 618—667.
- Лебедев Н. Н. Физиология и патология периодической деятельности пищеварительного тракта: Автореф. дис. ... д-ра мед. наук.—М., 1964.—35 с.
- Лебедев Н. Н. Физиология и патология периодической деятельности пищеварительного тракта.—Л.: Медицина, 1967.—159 с.
- Лебедев Н. Н., Двухшерстнов С. Д. Корреляция ритмов электроэнцефалограммы и периодической деятельности желудка у собак в условиях физиологического голода.—Бюл. эксперим. биологии и медицины, 1981, 91, № 1, с. 8—11.
- Лебедев Н. Н., Двухшерстнов С. Д. Кортико-висцеральные взаимоотношения в процессе периодической деятельности у собак.—В кн.: XI Всесоюз. конф. по физиологии и патологии кортико-висцеральных взаимоотношений: Тез. докл. Л., 1981, с. 138—140.
- Лебедев Н. Н. Кортико-висцеральные взаимоотношения в процессе периодической деятельности.—Физиол. журн. СССР, 1982, 68, № 4, с. 478—489.

- Мариц А. М. Влияние голода и ной формации и коры больших полушарий.—Сб. с. 889—892.
- Мордовцев А. И. Опыт анализа деятельности желудка.—Душанбе: Изд-во АИИ, 1978.
- Рахимджанов А. Р., Вейн А. А. Мозг.—Ташкент: Медицина, 1979.
- Смоленская Н. Н. К вопросу об аритмии сердца во время голодной клиники медицины: Тр. Томск. мед. ин-та, 1979, № 1, с. 10—15.
- Судаков К. В., Туренко А. И. передних отделов коры мозга конф. по пробл. физиологии и функционала систем. Иваново, 1968.
- Судаков К. В. Нейрофизиология дис. ... д-ра мед. наук.—М., 1968.
- Чхенкели С. А. Электрическая при периодической моторике желудка.—Журн. физиологии и экспериментальной биологии, 1968, 50, № 1, с. 227—232.
- Широких П. О. Дневник XI ст. 1901, № 10, с. 488.
- Boldyreff W. N. Die periodische Bedeutung.—Ergebn. der Physiol.
- Hirschowitz B. I., Gibson R., L. vagotomized dogs.—Gastroenterol.
- Ingram D. M., Catchpole B. N., and Exp. Pharmacol. and Physiol.
- Jaffe B. M., Akande B., Modifies release.—Digest. diseases and surg., 1981, 116, N 10, p. 1256—1261.
- Matsu E. Recognition of REM Clin. Neurophysiol., 1981, 52, N 1.
- Ruckebush Y., Bueno L. Electrical rhythm.—Proc. int. Union physiol. sci., 1981, 26, N 7, p. 64.
- Stanghellini C., Bennett J. R. Gastric motor activity in normal subjects.—Rev. roumaine de physiologie, 1981, 26, N 4, p. 500—506.
- Thompson D. G., Archer L., Gruber B. A. Changes in gut tone during a day of normal meals in healthy volunteers.—Gut, 1981, 22, N 7, p. 64.
- Wingate D. L. Backwards and forwards: The development of the study of the digestive motility of the duodenum.—Gut, 1981, 22, N 7, p. 62—66.

Институт общей патологии и патологической физиологии АМН

17. Мариц А. М. Влияние голода и насыщения на электрическую активность ретикулярной формации и коры больших полушарий головного мозга.—Там же, 1962, 48, № 8, с. 889—892.
18. Мордовцев А. И. Опыт анализа механизмов виепищеварительной моторной деятельности желудка.—Душанбе: Изд-во АН ТаджССР, 1959.—153 с.
19. Рахимджанов А. Р., Вейн А. М., Гафуров Б. Г. и др. Сон и патология головного мозга.—Ташкент: Медицина, 1980.—270 с.
20. Смоленская Н. К вопросу об участии вагуса в регуляции электрической активности сердца во время голодной периодики организма.—В кн.: Материалы теорет. и клин. медицины: Тр. Томск. мед. ин-та, 1962, вып. 4, с. 12—16.
21. Судаков К. И., Туренко А. И. Функциональные взаимоотношения гипоталамуса и передних отделов коры мозга при пищевом голодании.—В кн.: Материалы науч. конф. по пробл. физиологии и патологии кортико-висцеральн. взаимоотношений и функционал. систем. Иваново, 1965, т. 2, с. 321—325.
22. Судаков К. В. Нейрофизиологические механизмы пищевого возбуждения: Автореф. дис. ... д-ра мед. наук.—М., 1966.—30 с.
23. Чхенгели С. А. Электрическая активность коры и ретикулярной формации мозга при периодической моторике желудка и насыщении у собак.—Сообщ. АН ГрузССР, 1968, 50, № 1, с. 227—232.
24. Широких П. О. Дневник XI съезда русских естествоиспытателей и врачей.—СПб., 1901, № 10, с. 488.
25. Boldyreff W. N. Die periodische Täigkeit des Organismus und ihre phisiologische Bedeutung.—Ergebn. der Phisiologie, 1929, N 29, S. 485—645.
26. Hirschowitz B. I., Gibson R., Molina E. Atropin suppressed gastrin release by intact vagotomised dogs.—Gastroenterology, 1981, 81, N 5, p. 838—843.
27. Ingram D. M., Catchpole B. N. The control of fasting gastrointestinal activity.—Clin. and Exp. Pharmacol. and Physiol. 1980, 7, N 4, p. 413—414.
28. Jaffe B. M., Akande B., Modlin I. M. et al. Cholinergic modulation of substance P release.—Digest. diseases and sci., 1982, 27, N 1, p. 28—32.
29. Lonovics J., Derrit P., Watson L. C. et al. Pancreatic polypeptide (a review).—Arch. surg., 1981, 116, N 10, p. 1256—1264.
30. Matsuo E. Recognition of REM sleep in standard EEG.—Electroencephalography and Clin. Neurophysiol., 1981, 52, N 5, p. 490—493.
31. Ruckebush Y., Bueno L. Electrical spiking activity of small intestine as an ultradian rhythm.—Proc. int. Union physiol. sci., 1977, 12, N 3, p. 789—792.
32. Stangiu C., Bennett J. R. Gastro-duodenal motility: 24-hour continuous recordings in normal subjects.—Rev. roum. med. interne, 1978, 16, N 1, p. 51—60.
33. Thompson D. G., Wingate D. L., Archer L. et al. Normal patterns of human upper small bowel motor activity recorded by prolonged radiotelemetry.—Gut, 1980, 21, N 4, p. 500—506.
34. Thompson D. G., Archer L., Green W. J., Wingate D. L. Fasting motor activity during a day of normal meals in healthy subjects.—Gut, 1981, 22, N 6, p. 489—492.
35. Wingate D. L. Backwards and forwards with the migrating complex.—Digest. diseases and sci., 1981, 26, N 7, p. 641—666.
36. You Ch. H., Chey W. V., Lee K. Y. Studies plasma motilin concentration and interdigestive motility of the duodenum in human.—Gastroenterology, 1980, 79, N 1, p. 62—66.

Институт общей патологии
и патологической физиологии АМН СССР, Москва

Поступила 10.03.83

УДК 612.826:612.828

О. Д. Гречишко

ВЛИЯНИЕ РАЗДРАЖЕНИЯ НЕОСТРИАТУМА НА ЖЕЛУДОЧНУЮ СЕКРЕЦИЮ

За последнее время значительно расширились наши представления о функциях ядер стрио-паллидарной системы, однако вопрос о влиянии этих структур на вегетативные функции остается еще спорным. Одни исследователи полностью отрицают участие неостриатума в регуляции деятельности внутренних органов, другие, наоборот, видят в них специфический регулятор вегетативных функций [3, 4, 9, 10, 13, 20]. Особенno мало данных об участии стрио-паллидарной системы в регуляции деятельности пищеварительного тракта [1, 9, 17]. Между тем этот вопрос имеет важное значение для выяснения роли различных структур головного мозга в центральных механизмах регуляции деятельности пищеварительных желез. В наших предыдущих исследованиях на кошках было показано влияние повреждения головки хвостатого ядра (ГХЯ) на биоэлектрическую активность желудка и желудочную секрецию, вызванную гистамином [9].

Цель данной работы состояла в выяснении влияния раздражения неостриатума (хвостатого ядра и скролупы) на желудочную секрецию. Для этого изучали влияние раздражения неостриатума на pH желудочного содержимого натощак у кошек в условиях острого и хронического эксперимента, а также воздействие электростимуляции неостриатума на желудочную секрецию, вызванную скармливанием животным пищи. Таким образом, выясняли пусковое и корrigирующее влияние раздражения неостриатума на деятельность желудочных желез, которое в условиях хронического опыта сопоставляли с поведенческими реакциями животного.

Методика исследований

Исследования проведены в острой и хронических опытах на взрослых непородистых кошках массой 2—4 кг. Кошек брали в опыт через 12 ч после последнего кормления. В хронических опытах исследования проводили в условиях свободного передвижения животных в экспериментальной клетке. Пищевой режим кошек на протяжении постановки хронических опытов был примерно одинаковым и соответствовал установленным нормам.

В I серии изучали влияние раздражения неостриатума на pH желудочного содержимого натощак в 52 острой опытах на кошках с фистулой фундального отдела желудка и вживленными электродами в структуры мозга. Структуры мозга раздражали в условиях неглубокого наркоза (после внутрибрюшинного введения 80 мг/кг гексенала и восстановления глотательного рефлекса у животного).

Во II серии на четырех кошках с фистулой фундального отдела желудка в 48 хронических опытах изучали влияние стимуляции неостриатума на pH желудочного содержимого натощак. На этих же животных во время операции проводили острые опыты, что позволяло более точно сопоставлять результаты острой и хронических экспериментов.

В III серии на четырех кошках с малым желудочком по И. П. Павлову изучали влияние раздражения неостриатума на желудочную секрецию и качественный состав желудочного сока (pH и содержание пепсина в соке) при скармливании животным 25 г сырого молотого мяса; pH желудочного сока определяли на pH-метре ЛПУ-01 с датчиком ДЛ-1, в котором используется электродная система со стеклянным электродом. Прибор позволял производить измерение pH с точностью до 0,01. Содержание пепсина в желудочном соке определяли по микрометоду В. Н. Туголукова (1962).

Для введения электродов в мозг использовали стереотаксический аппарат венгерского производства. Вживляли 2—5 bipolarных электродов в головку, тело хвостатого ядра, скролупу и контрольные структуры (белое вещество больших полушарий головного мозга над хвостатыми ядрами). Электроды изготавливали из никромовой проволоки диаметром 0,3 мм с заводской эмалевой изоляцией, межэлектродное расстояние 0,5 мм, сопротивление между электродами 25—30 кОм. Структуры головного мозга раздражали с помощью импульсного элкомбинированного стимулятора I. В части опытов использовали рэлектростимуляции структур головы зовался импульсный ток следующий 10 мс, амплитуда от 1,5 до 10 В, ние 2 с с 2 с интервалами при различных сериях опытов 15—15 возможность изучать изменения и после его прекращения (последний кончиков электродов локализации кончиков электродов статистическую обработку.

Результаты

Из 26 острой опыта отмечался сдвиг pH желудочного содержимого в одном (3,9%) — вправо, в одном (3,9%) — влево, были в пределах средней ядра (ГХЯ) из 13 опытов вправо и в 7 (53,9%) — влево. Из 13 опытов с изменением pH менялся в кислую сторону в одном, в пределах средней ядра (ГХЯ) показали, что сдвиг вправо стороны отмечался в 11 опытах, в кислую сторону — в 2 опытах. Из 13 опытов с изменением pH были в пределах средней ядра (ГХЯ) показали, что сдвиг вправо стороны отмечался в 11 опытах, в кислую сторону — в 2 опытах.

Таким образом, изменение pH при раздражении неостриатума имеет направленный характер (были статистически недостоверны).

Сравнение результатов в условиях острого и хронического опыта животных эти изменения проявляются в условиях острого опыта на ГХЯ вправо, в хроническом — влево. Раздражение ГХЯ вправо вызывает двигательными эффектами сдвигом pH желудочного содержимого натощак в среднем на 0,5—1,0 pH (от 5,30 ± 1,95 до 5,80 ± 1,95). В остром опыте на ГХЯ изменения неостриатума имели место вправо, в хроническом — влево. У другого кота изменения pH желудочного содержимого неостриатума, а в хроническом — вправо.

Данные III серии о малом желудочке по И. П. Павлову изучали на кошке Кете. Кошка Кете была подвешена на взвешивающей скамье в скролупу (справа) и в головку (справа) (ГХЯ). При раздражении ГХЯ уменьшалось давление на скамью в начале опыта снижалась вправо, в скролупу (справа) и в головку (справа). При раздражении ГХЯ давление на скамью в начале опыта снижалось вправо, в скролупу (справа) и в головку (справа). Реакция сохранялась в течение 2 ч. При этом изменение давления на скамью в начале опыта снижалось вправо, в скролупу (справа) и в головку (справа). Реакция сохранялась в течение 2 ч.

жали с помощью импульсного электронного стимулятора (ИСЭ-01) или двухканального комбинированного стимулятора ДКЭС-4М с выносными радиочастотными приставками. В части опытов использовали разработанную нами методику длительной дистантной электростимуляции структур головного мозга у кошек [6]. Для раздражения использовался импульсный ток следующих параметров: частота 10 Гц, длительность импульса 10 мс, амплитуда от 1,5 до 10 В. Раздражение производили сериями импульсов в течение 2 с с 2 с интервалами при общей продолжительности стимуляции неостриатума в различных сериях опытов 15—120 мин. Длительное раздражение неостриатума давало возможность изучать изменения секреции как во время прерывистого раздражения, так и после его прекращения (последействие).

В конце опытов животных забивали и производили морфологический контроль локализации кончиков электродов в мозге после предварительной их маркировки.

Статистическую обработку числовых данных производили методом Стьюдента.

Результаты исследований и их обсуждение

Из 26 острых опытов I серии с раздражением ГХЯ в 16 (61,5 %) отмечался сдвиг рН желудочного содержимого натощак в кислую сторону, в одном (3,9 %) — в щелочную и в 9 (34,6 %) — колебания рН были в пределах средней ошибки. При стимуляции тела хвостатого ядра (ТХЯ) из 13 опытов в 6 (46,1 %) наблюдался сдвиг рН в кислую сторону и в 7 (53,9 %) — колебания рН были в пределах средней ошибки. Из 13 опытов с раздражением скорлупы в 5 (38,5 %) рН изменялся в кислую сторону, в 3 (23,0 %) — в щелочную и в 5 (38,5 %) — был в пределах средней ошибки. Сводные данные о раздражении разных структур неостриатума (головки, тела хвостатого ядра и скорлупы) показали, что сдвиг рН желудочного содержимого натощак в кислую сторону отмечался в 51,9, в щелочную — в 7,7 и в 40,4 % — колебания рН были в пределах средней ошибки.

Таким образом, изменения рН желудочного содержимого натощак при раздражении неостриатума в условиях острого опыта имели разнонаправленный характер (с преобладанием сдвига в кислую сторону) и были статистически недостоверными по сравнению с исходным уровнем.

Сравнение результатов, полученных на одних и тех же животных в условиях острого и хронического эксперимента показало, что у некоторых животных эти изменения однотипны, у других — они более отчетливо проявляются в условиях хронического опыта. Например, у кота Белого раздражение ГХЯ в хронических опытах наряду с типичными двигательными эффектами вызывало сдвиг рН желудочного содержимого натощак в среднем с $4,30 \pm 0,96$ до $3,00 \pm 0,58$; стимуляция скорлупы — с $5,30 \pm 1,95$ до $5,00 \pm 1,32$ (различия статистически недостоверны). В остром опыте на этом же животном изменения рН при стимуляции неостриатума имели ту же направленность, но были выражены слабее. У другого кота (Марса) в остром опыте не было обнаружено изменений рН желудочного содержимого натощак при стимуляции неостриатума, а в хронических опытах (в 50 %) рН изменялся.

Данные III серии опытов, проведенной на кошках с малым желудочком по И. П. Павлову, представлены в табл. 1, 2 и на рисунке. Кошка Кета была подвижная, ласковая с ярко выраженным ориентировочными рефлексами на обстановку. После вживления электродов в ГХЯ и скорлупу (справа) поведение животного не изменилось. Стимуляция ГХЯ (3,5—4,0 В) вызывала настороженность, поворот головы влево. При раздражении ГХЯ количество желудочного сока на мясо уменьшалось по сравнению с контролем, при этом рН желудочного сока в начале опыта снижался, а к концу — повышался (отмечался сдвиг рН в щелочную сторону). Общее количество желудочного сока за 8 ч опыта при раздражении ГХЯ уменьшалось с $7,50 \pm 0,70$ до $3,70 \text{ мл} \pm 0,80$ мл ($p < 0,01$). Раздражение скорлупы у кошки Кеты вызывало поворот головы влево при напряжении тока 1,5 В (т. е. порог раздражения был в два раза ниже, чем при раздражении ГХЯ). Слабая двигательная реакция сохранялась в течение длительной стимуляции скорлупы (до 2 ч). При этом изменения желудочной секреции выражались в более

№ п/п	Клички кошек	Количество исследований, <i>P</i>	Часовые порции желудочного сока,			мл (<i>M±m</i>)			при скармливании мяса кошкам	
			1	2	3	4	5	6		
1	Кета	Контроль	14	1,1±0,1	1,3±0,1	0,9±0,1	1,0±0,1	1,0±0,1	0,7±0,1	0,2±0,0 ^a
		Опыт	5	0,9±0,1	0,6±0,1	0,3±0,2	0,4±0,05	0,2±0,05	<0,001	
		<i>p</i>	<0,1	<0,01	<0,01	<0,001	<0,001	<0,001	<0,001	
2	Муха	Контроль	12	1,3±0,1	1,2±0,1	1,1±0,1	0,7±0,09	0,7±0,09	0,6±0,06	0,7±0,04
		Опыт	5	2,3±0,3	1,7±0,1	1,4±0,1	1,0±0,0	1,1±0,1	1,1±0,1	
		<i>p</i>	<0,01	<0,01	<0,05	<0,01	<0,01	<0,01	>0,05	
3	Мухтар	Контроль	12	0,5±0,03	0,5±0,07	0,4±0,05	0,3±0,03	0,3±0,04	0,2±0,02	0,1±0,0
		Опыт	5	0,3±0,07	0,1±0,02	0,1±0,0	0,1±0,0	0,1±0,0	0,1±0,0	
		<i>p</i>	<0,05	<0,001	<0,001	<0,001	<0,001	<0,001	<0,001	
4	Серко	Контроль	14	0,8±0,06	0,8±0,05	0,7±0,08	0,5±0,06	0,5±0,1	0,3±0,04	0,2±0,05
		Опыт	3	0,6±0,06	0,7±0,06	0,5±0,01	0,4±0,06	0,4±0,1	0,3±0,04	
		<i>p</i>	<0,01	<0,5	<0,5	<0,5	<0,5	>0,4	>0,4	

Влияние раздражения головки хвостатого ядра (ГХЯ) на pH желудочного сока

при скармливании мяса кошкам с ма

№ п/п	Клички кошек	Количество исследований, <i>P</i>	рН в часовых порциях желудочного сока (<i>M±m</i>)					1 3	
			1	2	3	4	5		
1	Кета	Контроль	14	1,35±0,28	1,0±0,001	1,00±0,001	1,00±0,01	1,21±0,11	1, 3
		Опыт	5	1,00±0,20	1,00±0,001	1,00±0,001	1,60±0,30	2,60±0,30	
		<i>p</i>	<0,2	>0,5	>0,5	<0,05	<0,001	<0,001	
2	Муха	Контроль	12	1,16±0,10	1,00±0,001	1,00±0,001	1,08±0,20	1,30±0,16	1, 1
		Опыт	5	1,00±0,00	1,00±0,001	1,00±0,001	1,80±0,20	3,00±0,001	
		<i>p</i>	<0,1	>0,5	>0,5	<0,01	<0,001	<0,001	
3	Мухтар	Контроль	12	2,50±0,47	1,75±0,14	2,16±0,16	2,40±0,23	2,80±0,15	3, 4
		Опыт	5	2,80±0,60	3,00±0,50	3,80±0,10	4,20±0,10	4,80±0,40	
		<i>p</i>	<0,5	<0,05	<0,001	<0,001	<0,001	<0,001	
4	Серко	Контроль	14	1,15±0,09	1,00±0,001	1,00±0,001	1,15±0,09	1,38±0,19	1, 1
		Опыт	3	1,00±0,01	1,00±0,001	1,00±0,001	1,00±0,001	1,00±0,00	
		<i>p</i>	<0,2	>0,5	>0,5	<0,2	<0,1	>0,05	

резком, чем при стимуляции ГХЯ, торможении, особенно в течение первого и второго часов опыта ($p<0,001$). Изменения рН желудочного сока в первые 4 ч опыта при раздражении скорлупы не были статистически достоверными, а на 5—8 ч они резко отличались от контроля ($p<0,001$) и характеризовались сдвигом в кислую сторону. В отдельных часовых порциях при раздражении скорлупы отмечались статистически достоверные изменения в содержании пепсина по сравнению с контролем. У двух других животных с малыми желудочками по И. П. Павлову (Мухтара и Серко) при раздражении неостриатума изменения желудочной секреции и качественного состава сока были сходными с наблюдаемыми у кошки Кеты. Четвертая кошка (Муха) была спокойная, ласковая со слабо выраженным ориентировочно-исследовательскими реакциями на обстановку. После вживления электродов в

ГХЯ и скорлупу (справа) лягушка ГХЯ при напряжении влево. При даче пищи и раздражении ГХЯ кошка поворачивала голову вправо от пищи и поворачивалась с раздражением ГХЯ к грудной реакции. Электроэнергетическую двигательную реакцию при раздражении ГХЯ, но проявлялась (2,5—3,0 В). У кошки Мухи наблюдалось статистически достоверное сокращение сократительной способности сократительной мышцы при раздражении ГХЯ у

Таблица 1
при скармливании мяса кошкам с малым желудочком по И. П. Павлову

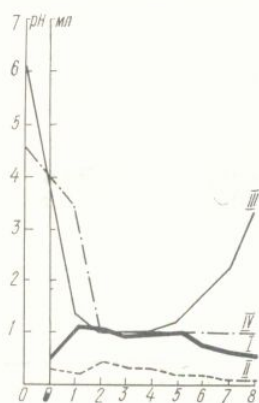
кошка	мл ($M \pm m$)					Общее количество сока в мл за 8 ч
	4	5	6	7	8	
,1	1,0±0,1	1,0±0,1	0,7±0,1	0,6±0,1	0,6±0,1	7,5±0,7
,2	0,4±0,05	0,2±0,05	0,2±0,03	0,2±0,04	0,1±0,02	3,7±0,8
1	<0,001	<0,001	<0,001	<0,001	<0,001	<0,01
,1	0,7±0,09	0,7±0,09	0,6±0,06	0,4±0,04	0,4±0,04	6,7±0,5
,1	1,0±0,0	1,1±0,1	0,7±0,04	0,5±0,05	0,4±0,04	9,0±0,3
5	<0,01	<0,01	<0,1	<0,2	<0,2	<0,01
			>0,05	>0,1	>0,1	
,05	0,3±0,03	0,3±0,04	0,2±0,02	0,2±0,02	0,2±0,02	2,6±1,0
,0	0,1±0,0	0,1±0,0	0,1±0,0	0,1±0,0	0,1±0,01	1,0±0,09
11	<0,001	<0,001	<0,001	<0,001	<0,001	<0,001
08	0,5±0,06	0,5±0,1	0,3±0,04	0,3±0,07	0,3±0,05	4,2±0,5
01	0,4±0,06	0,4±0,1	0,2±0,07	0,2±0,07	0,2±0,06	3,2±0,6
	<0,5	<0,5	<0,5	<0,5	<0,5	<0,5
	>0,4	>0,4	>0,4	>0,4	>0,4	>0,4

Таблица 2

вещество	желудочного сока ($M \pm m$)				
	4	5	6	7	8
1	1,00±0,01	1,21±0,11	1,78±0,16	2,24±0,18	3,42±0,23
	1,60±0,30	2,60±0,30	3,60±0,30	4,60±0,45	6,20±0,20
	<0,05	<0,001	<0,001	<0,001	<0,001
1,08±0,20	1,30±0,16	1,90±0,09	2,50±0,18	3,25±0,16	
1,80±0,20	3,00±0,001	3,40±0,30	4,00±0,001	5,00±0,25	
<0,01	<0,001	<0,001	<0,001	<0,001	
2,40±0,23	2,80±0,15	3,30±0,29	4,00±0,22	4,16±0,28	
4,20±0,10	4,80±0,40	5,40±0,30	5,60±0,30	5,80±0,20	
<0,001	<0,001	<0,001	<0,001	<0,001	
1,15±0,09	1,38±0,19	1,77±0,21	2,27±0,75	3,00±0,43	
1,00±0,001	1,00±0,00	1,30±0,37	1,60±0,75	2,30±0,95	
<0,2	<0,1	<0,5	<0,5	<0,5	
>0,1	>0,05	>0,4	>0,4	>0,4	

ГХЯ и скорлупу (справа) поведение животного не изменилось. Стимуляция ГХЯ при напряжении тока 4,0—5,0 В вызывала поворот головы влево. При даче пищи и раздражении ГХЯ кошка активно ела и только изредка поворачивала голову влево; по мере насыщения она чаще отрывалась от пищи и поворачивала голову влево. В отдельных опытах с раздражением ГХЯ кошка не доедала мяса из-за усиления двигательной реакции. Электростимуляция скорлупы у Мухи вызывала сходную двигательную реакцию по сравнению с наблюдаемой при раздражении ГХЯ, но проявлялась она при более низком напряжении тока (2,5—3,0 В). У кошки Мухи при раздражении ГХЯ и скорлупы отмечалось статистически достоверное увеличение количества желудочного сока на протяжении всех 8 ч опыта. Изменения рН желудочного сока при раздражении ГХЯ у этой кошки характеризовались сдвигом в ще-

лочную сторону по сравнению с контролем, начиная с 5 ч опыта. Стимуляция скорлупы, наоборот, вызывала изменения рН желудочного сока в эти же часы опыта в кислую сторону. В III серии хронических опытов на кошках с малым желудочком по И. П. Павлову по сравнению с предыдущими двумя сериями исследований изменения желудочной секреции и качественного состава сока при раздражении неостриатума носили более четкий характер и в большинстве случаев были статистически достоверными. Таким образом, корректирующие влияния на желудочную секрецию, вызванную скармливанием животным пищи, при раздражении неостриатума, были более отчетливо выражены, чем пусковые.



Влияние раздражения скролупы на количество и pH желудочного сока при скармливании кошке Кете (с малым желудочком по И. П. Павлову) 25 г мяса (средние данные из 14 контролей и 5 опытов).

В литературе имеется лишь единичное упоминание о тормозящем эффекте раздражения скорлупы на секреторную функцию желудочных желез [1]. Биологический смысл этого торможения желудочной секреции может быть понятен в связи с участием неостриатума в висцеросоматической интеграции. Известно, что электростимуляция неостриатума вызывает двигательные реакции и их вегетативное обеспечение (усиление деятельности сердца и дыхания). В свою очередь усиленная мышечная деятельность может привести к торможению желудочной секреции [2, 12]. Таким образом, функция внутренних органов, принимающих непосредственное участие в вегетативном обеспечении моторных эффектов, усиливается, а деятельность других функциональных систем (пищеварительной, выделительной) может при этом, наоборот, затормаживаться.

Реализация влияния с неостриатум на желудочные железы осуществляется, по-видимому, не только через гипotalамус, но и через черную субстанцию и ретикулярную формацию ствола мозга, а затем по блуждающим и симпатическим нервам [7], что подтверждается обнаружением в хвостатом ядре вызванных потенциалов при раздражении этих нервов [14]. Определенную роль неостриатума в регуляции секреторной деятельности желудка следует рассматривать не как самостоятельную функцию данной структуры, а как результат действия через другие структуры мозга, т. е. как компонент сложной сомато-вегетативной реакции. Согласно данным Черкеса [16], неостриатум относится к комплексу АНГМ (включающему также ассоциативную кору, гиппокамп и миндалину), который имеет большое значение в осуществлении сложных поведенческих реакций, включающих двигательный, эмоциональный и вегетативный компоненты. В наших предыдущих исследованиях было показано, что подпороговые (по отношению к двигательным реакциям) раздражения ГХЯ не вызывают изменений биоэлектрической активности желудка [9]. В данной работе пороговое раздражение неостриатума в условиях острого и хронического опыта оказывало слабое активирующее влияние на деятельность фундальных желез желудка, находящихся в состоянии относительного покоя. Более отчетливо проявлялись эффекты стимуляции неостриатума в условиях хронического эксперимента на желудочную секрецию, вызванную скармли-

Влияние раздражения неостриатул

ванием животным пищи. В гласовании деятельности пативными функциями и движением. На основании литературы острота в «пищевом»

Полученные нами результаты подтверждают, что неотложного компонента сложного обеспечения [8, 11], что включает в себя как научных исследований и клинических

Результаты наших опытов участии неостриатума в регуляции определенный практике ими механизмов вегетативных подкорковых ядер переднего

1. Электростимуляция неос острых и хронических опыт статистически недостоверна тощак преимущественно в к
 2. При раздражении неост проведенных на одних и т рН желудочного содержим в условиях хронического (реакций.
 3. Электростимуляция неос тирирующее влияние на де жез желудка, находящи тощак).
 4. При раздражении неос с малым желудочком по И даются статистически дост го сока на мясо, величине |
 5. Корректирующие влияния раздражении неостриatum пусковыми эффектами.

EFFECT C ON

Acute and chronic experiments according to Pavlov showed that date nucleus and shell) from 15 inconstant changes of a quantitative nature. Cats with marked motor reactions towards acid side more frequently. Irritation of neostriatum exerts called forth by feeding in conditions of relative peace (on an empty stomach).

Department of Normal Physiology
Medical Institute, Voroshilovgrad
Pedagogical Institute, Voroshilov

ванием животным пищи. Возможно, роль неостриатума состоит в согласовании деятельности пищеварительной системы с другими вегетативными функциями и двигательными компонентами поведенческих актов. На основании литературных данных можно допустить участие неостриатума в «пищевом» поведении [1, 14].

Полученные нами результаты находятся в соответствии с представлением о том, что неостриатум участвует в формировании двигательного компонента сложных поведенческих реакций и их вегетативного обеспечения [8, 11], что подтверждается данными экспериментальных исследований и клинических наблюдений [3, 5, 9, 13].

Результаты наших опытов подтверждают литературные данные об участии неостриатума в регуляции вегетативных функций и представляют определенный практический интерес для клиницистов при анализе ими механизмов вегетативных расстройств у больных с поражением подкорковых ядер переднего мозга [5, 18].

Выводы

1. Электростимуляция неостриатума (хвостатого ядра и скорлупы) в острых и хронических опытах на кошках вызывает разнонаправленные статистически недостоверные сдвиги рН желудочного содержимого натощак преимущественно в кислую сторону.
2. При раздражении неостриатума в острых и хронических опытах, проведенных на одних и тех же животных, более отчетливые сдвиги рН желудочного содержимого натощак в кислую сторону отмечаются в условиях хронического опыта при наличии у кошек двигательных реакций.
3. Электростимуляция неостриатума оказывает слабо выраженное активирующее влияние на деятельность обкладочных клеток фундальных желез желудка, находящихся в состоянии относительного покоя (натощак).
4. При раздражении неостриатума в хронических опытах на кошках с малым желудочком по И. П. Павлову в большинстве случаев наблюдаются статистически достоверные изменения в количестве желудочно-го сока на мясо, величине рН и содержании в соке пепсина.
5. Корректирующие влияния на деятельность желудочных желез при раздражении неостриатума выражены более отчетливо по сравнению с пусковыми эффектами.

O. D. Grechishkina

EFFECT OF NEOSTRIATUM IRRITATION ON STOMACH SECRETION

Summary

Acute and chronic experiments on cats with fistule of stomach and with ventricule according to Pavlov showed that prolonged irritation of neostriatum (head, body of caudate nucleus and shell) from 15 minutes to 2 hours gave rise to differently directed and inconstant changes of a quantity and pH of gastric juice. In chronic experiments on cats with marked motor reactions pH of gastric content on an empty stomach varied towards acid side more frequently than in acute experiments on the same cats. The irritation of neostriatum exerts more distinct corrective influence on gastric secretion called forth by feeding in comparison with starting action on gastric glands under conditions of relative peace (on an empty stomach).

Department of Normal Physiology,
Medical Institute, Voroshilovgrad;
Pedagogical Institute, Voroshilovgrad

Список литературы

1. Бакурадзе А. Н. Секреторный механизм желудочных желез.— Тбилиси : Мецниереба, 1976.— 153 с.
 2. Богач П. Г. Соотношение центральных и периферических механизмов в регуляции функций пищеварительного тракта.— В кн.: Тез. докл. 13 Всесоюз. конф. «Фундаментальные проблемы гастроэнтерологии», сент., 1981. Киев. Киев : Изд-во Киев. ун-та, 1981, с. 39—40.
 3. Вальдамирова Е. П., Ткачев Ю. А. Влияние электрической стимуляции хвостатых ядер на диурез и выведение хлоридов.— Физиол. журн., 1980, 26, № 5, с. 678—680.
 4. Винниченко Н. С. Влияние двухстороннего повреждения головки хвостатого ядра на углеводную функцию печени.— Физiol. журн., 1976, 22, № 6, с. 273—274.
 5. Войтына С. В. Вегетативные расстройства при некоторых формах экстрапирамидных заболеваний и их изменениях после стереотаксических операций на базальных ганглиях мозга.— Вопр. клин. неврологии и психиатрии, 1971, вып. 8, с. 159—161.
 6. Гречишникова А. П., Мищенко А. А., Гречишникова О. Д. Методика длительной дистантной электростимуляции структур головного мозга.— Физиол. журн. СССР, 1980, 66, № 8, с. 1264—1267.
 7. Косенко А. Ф. Роль гипоталамуса в регуляции секреторной деятельности желудка.— Киев : Вища школа, 1977.— 166 с.
 8. Лагутина Н. И. Стріопалідарна система ядер як рівень регуляції вісцеральних функцій.— В кн.: Тези доп. 10 з'їзду Укр. фізiol. т-ва, Одеса, 1977. Київ : Наук. думка, 1977, с. 192.
 9. Лагутина Н. И., Редько Н. И., Тимохина А. В. и др. Исследование висцеральных функций хвостатых ядер стриопаллидарной системы.— В кн.: Тез. науч. сообщ. 13 съезда Всесоюз. физиол. о-ва им. И. П. Павлова, посвящ. 150-летию со дня рождения И. М. Сеченова, Алма-Ата, 1979. Л. : Наука, 1979, с. 56—57.
 10. Луханина Е. П. Влияние раздражения и разрушения ядер переднего мозга на периферические вегетативные показатели : Автореф. дис.... канд. мед. наук.—Киев, 1969.— 24 с.
 11. Рожанский Н. А., Лагутина Н. И. К вопросу о значении ядер стриопаллидарной системы.— Физиол. журн. СССР, 1957, 43, № 7, с. 622—628.
 12. Свистун Т. И. Секреция пищеварительных желез во время мышечной деятельности.— Киев : Наук. думка, 1975.— 222 с.
 13. Стремоусов Б. А., Редько Н. И. Изменения сердечного ритма и дыхания при поведенческих реакциях, вызванных электростимуляцией хвостатого ядра и гипоталамуса.— Физиол. журн., 1979, 25, № 1, с. 9—15.
 14. Суворов Н. Ф. Стриарная система и поведение.— Л. : Наука, 1980.— 278 с.
 15. Хасабов Г. А. Нейрофизиология связей коры больших полушарий приматов.— М. : Наука, 1978.— 166 с.
 16. Черкес В. А. Передний мозг и элементы поведения.— Киев : Наук. думка, 1978.— 174 с.
 17. Шухат А. П., Волжина Н. С. Рентгенологические наблюдения над моторной функцией желудочно-кишечного тракта у щенков после удаления у них подкорковых образований (хвостатых тел).— Патол. физиология и эксперим. терапия, 1962, 6, № 5, с. 67—68.
 18. Bunney B. S., Grace A. A., Hommer D. W. Channging concepts of nigral dopamine-system function within the basal ganglia: relevance to extrapyramidal disorders.— J. Neurol. Transm., 1980, Suppl., N 16, p. 17—23.
 19. Divac I. Functions of the caudate nucleus.— Acta biol. exp., 1968, 28, N 2, p. 107—120.
 20. Driesel K. Die Funktionen eines grosshirn und striatum losen Hundes.— Klin. Wochenschr., 1924, 49, S. 2231—2233.

Кафедра нормальной физиологии
Ворошиловградского медицинского института;
Ворошиловградский педагогический институт

Поступила 05.07.82

УДК 612.822.5.612.821.8.612.391

А. Ф. Косенко, Г.

УЧАСТ И СУПРАОПТИКО-ГИ СИСТЕМЫ В СЕКРЕЦИИ, СТИ

Вопрос о механизмах на желудочную секрецию, особенно в отношении ции, и, в частности, инсулин. 30 мин желудочную секрецию наибольшего снижения продолжается 1,5–2 ч и может бывов или введением глюкозы.

Важная роль в стимуле погликемии отводится странными путями тесно связанных. Введение инсулина усиливает повышает выделение антилин синаптическим путем регулирующие энергетические

В литературе есть данную активность гипоталам-желудочной железы и гипостемы [1].

Задачу настоящего ис-
талаамуса в регуляции моз-
гового анализа гипоталамических
цизий нами были проведены
нний между изменением пофизарной нейросекреторной
лизированной инсулином же-

M₄

Исследования проводились лудка: на белых крысах-самцах в гипоталамическую область [4] кормления. Секрецию желудочного сока в дозе 0,30—0,33 ед/г у синтеза через равномерные промежутки дочного сока в мл, определяли Ханту, а затем вычисляли деби с исследованием желудочной с глюкозы в крови ортотоллуидин.

Раздражение гипоталамического стимулятора ЭСЛ-1 с частотой 50 Гц инсулином желудочной секреции

Для изучения влияния эле-
секрецию вне периода пищевар-
кремии на протяжении 1 ч без
медиальные и мамиллярные яд-
желудочной секреции.

Для исследования СГНС и гипофиз, фиксировали в смеси окрашивали по Гомори — Габу

паратах исследовали строение нейроцитов супраоптического ядра, структуру и локализацию в них нейросекреторного вещества. Оценку функционального состояния СГНС производили сопоставлением процентного соотношения различных типов нейроцитов [5], размеров клеток, ядер и ядрышек [10], количества нейросекреторного вещества в различных отделах системы. Изучали состояние сосудов. Результаты экспериментов обработаны статистически.

Результаты исследований и их обсуждение

Исследования по изучению влияния инсулина на желудочную секрецию показали, что через 28–30 мин после внутривенного введения инсулина начиналась секреция кислого активного желудочного сока, которая достигала максимума через 45–60 мин, а к началу третьего часа заканчивалась (табл. 1). Наиболее низкий уровень глюкозы в крови наблюдался через 45 мин после введения инсулина. В это же время объем выделившегося желудочного сока, содержание свободной соляной кислоты и пепсина были наибольшими. К концу третьего часа уровень глюкозы возвращался к исходному.

Таблица 1

Секреция желудочного сока и свойства его 15 мин порций при внутривенном введении инсулина (0,30—0,33 кг, $n=10$)

Показатели секреции желудка	Статистические показатели	Время после введения инсулина, мин							
		0—15	16—30	31—45	45—60	61—75	76—90	91—106	106—120
Количество желудочно-го сока, мл	M $\pm m$	— —	17,5 2,5	45,5 6,2	21,9 3,1	24,3 5,2	19,3 5,2	10,4 0,6	6,5 2,2
Дебит свободной соляной кислоты, мэкв/л	M $\pm m$	— —	3,5 0,9	7,6 0,8	6,5 0,7	5,6 0,8	2,9 0,7	1,2 0,3	0,5 0,1
Дебит пепсина, мг	M $\pm m$	— —	2,5 0,8	3,1 0,5	3,2 0,5	2,8 0,8	2,0 0,6	1,9 0,8	1,8 0,8

Раздражение вентромедиальных ядер гипоталамуса в первые 30 мин после введения инсулина, когда отсутствует желудочная секреция, не приводило к изменениям длительности тормозной фазы, но вызывало достоверное уменьшение общего количества желудочного сока по сравнению с секрецией, вызванной введением инсулина. Дебит свободной соляной кислоты и дебит пепсина при этом изменялся незначительно. Раздражение вентромедиальных ядер гипоталамуса в период секреции приводило к уменьшению валового количества желудочного сока, уменьшению дебита соляной кислоты и незначительным изменениям в содержании пепсина. Наиболее выраженные изменения всех секреторных показателей наблюдались при раздражении вентромедиального гипоталамуса через 27—30 мин после введения инсулина (табл. 2), объем желудочного сока уменьшался на 33,4 %, дебит свободной соляной кислоты на 56,4 %. Меньше всего при раздражении гипоталамуса изменялся дебит пепсина.

Раздражение вентромедиальных ядер гипоталамуса, произведенное на высоте желудочной секреции (через 37—40 мин после введения инсулина) приводило к незначительным изменениям секреторных показателей на инсулин. Дебит свободной соляной кислоты и дебит пепсина в желудочном соке оставались неизмененными, уменьшалась только интенсивность выделения желудочного сока. Так, валовый объем желудочного сока уменьшился на 9,3 %.

Раздражение мамиллялярного эпителия инсулином. В одних случаях показатели, в других отмечены сокращение содержания соляной

Влияние электрического разряда (60 Гц; 0,05—0,1 мА; 1 м)

Показатели секреции же- лудка	Статис- тические показа- тели		
		0—15	16
Количество желудочно- го сока, мл	M $\pm m$ p	— — 0,05	1
Дебит свободной соляной кислоты, мэкв/л	M $\pm m$ p	— — 0,05	
Дебит пепсина, мг	M $\pm m$ p	— — 0,05	

С целью выявления дражения вентромедиаль инсулином желудочную с влияния раздражения ги введения подпороговых дс

Результаты исследований ядер одновременно и также раздражение через секреции кислого желудка

Таким образом, пол электрическое раздражение водит к уменьшению количества соляной кислоты, независимо от секреции желудочной сократительной мускулатуры на все секреторные линии желудочной секреции с данными, имеющимися в литературе. Установлено, что раздражение приводило к уменьшению секреции, стимулированной желудочными сокращениями. В своих опытах для стимуляции секреции использовали симпатическую дозу инсулина, существовавшую в организме гипоталамуса. Желудочная секреция, обладающая высокой протеолитической активностью, типична для желудка в момент значительного сокращения желудка.

Раздражение мамиллярных ядер гипоталамуса не оказывало постоянного эффекта на секрецию желудочного сока, стимулированную инсулином. В одних случаях не наблюдались изменения секреторных показателей, в других отмечалось статистически недостоверное уменьшение содержания соляной кислоты и пепсина.

Таблица 2

Влияние электрического раздражения вентромедиальных ядер гипоталамуса (60 Гц; 0,05—0,1 мА; 1 мин) на желудочную секрецию, стимулированную инсулином ($n=10$)

Показатели секреции желудка	Статистические показатели	Время после раздражения гипоталамуса, мин							
		0—15	16—30	31—45	46—60	61—75	76—90	91—105	106—120
Количество желудочно-го сока, мл	M	—	12,1	26,1	21,0	13,9	12,1	8,8	2,9
	$\pm m$	—	1,9	4,7	4,2	3,8	3,0	2,8	1,2
	p	0,05	>	<	>	>	>	>	>
Дебит свободной соляной кислоты, мэкв/л	M	—	1,6	4,0	3,1	1,9	1,0	0,6	0,2
	$\pm m$	—	0,9	0,9	0,8	0,6	0,4	0,1	0,1
	p	0,05	<	<	<	<	<	>	>
Дебит пепсина, мг	M	—	2,0	2,8	2,9	2,7	2,0	1,8	1,8
	$\pm m$	—	0,7	0,4	0,5	0,8	0,4	0,7	0,6
	p	0,05	>	>	>	>	>	>	>

С целью выявления возможного потенцирующего действия раздражения вентромедиальных ядер гипоталамуса на стимулированную инсулином желудочную секрецию были проведены опыты с изучением влияния раздражения гипоталамуса на желудочную секрецию после введения подпороговых доз инсулина.

Результаты исследований показали, что раздражение вентромедиальных ядер одновременно с введением инсулина в дозе 0,18—0,19 ед/кг, а также раздражение через 27—30 мин после введения не приводило к секреции кислого желудочного сока.

Таким образом, полученные данные свидетельствуют о том, что электрическое раздражение вентромедиальных ядер гипоталамуса приводит к уменьшению количества желудочного сока, секреции свободной соляной кислоты, незначительному уменьшению дебита пепсина, стимулированных инсулином, существенно не изменяя форму кривой желудочной секреции на введение инсулина. Это позволяет предположить о функциональном тормозном влиянии с вентромедиального гипоталамуса на все секреторные клетки, участвующие в стимулированной инсулином желудочной секреции. Полученные нами результаты согласуются с данными, имеющимися в литературе. В опытах на крысах [14] было установлено, что раздражение вентромедиальных ядер гипоталамуса приводило к уменьшению базальной секреции желудочного сока и секреции, стимулированной инсулином, а разрушение этих структур вызывало увеличение уровня базальной секреции [16, 17], но не изменяло желудочную секрецию на введение инсулина [14]. Однако авторы в своих опытах для стимуляции желудочной секреции использовали максимальную дозу инсулина (0,4 ед/кг), что могло быть причиной отсутствия увеличения желудочной секреции на инсулин после разрушения гипоталамуса. Желудочный сок, отделяемый железами под воздействием инсулина, обладает высокой концентрацией соляной кислоты и высокой протеолитической активностью и напоминает во всех отношениях типичный вагусный сок [8, 9]. Начало секреции совпадает с моментом значительного падения уровня глюкозы в крови, а выделение желудочного сока может быть прекращено внутривенным или

пероральным введением глюкозы. Поэтому стимулирующим фактором на желудочную секрецию при введении инсулина считается вызываемая им гипогликемия. Поскольку стимулирующий эффект инсулина блокируется ваготомией и М-холинолитиками, считаются, что гипогликемия реализует свое действие через возбуждение блуждающих нервов. Дорсальные ядра блуждающих нервов ассоциативными путями тесно связаны с гипоталамическими ядрами, значение которых в регуляции глюкозы крови признается многими авторами. Большое внимание уделяется глюкостатической теории Мейера [12], согласно которой в гипоталамусе расположены глюкорецепторы, реагирующие на изменения концентрации глюкозы. Другие исследователи предполагают, что глюкорецепторы расположены в вентромедиальном и вентролатеральном гипоталамусе [15].

Таблица 3

Процентное соотношение различных типов нейроцитов и изменение диаметра ядер, ядрышек и тел нейроцитов супраоптического ядра гипоталамуса у белых крыс, получавших инсулин (мкм, 0,28 ед/100 г)

Время после введения инсулина, мин	Типы клеток					Диаметр		
	Ia	II	Ib	II	III	Ядрышка	Ядра	Тела нейроцитов
Контрольные	10,44	7,46	59,70	22,38	—	2,63±0,15	6,41±0,42	15,52±0,26
30	90,22	5,22	4,5	—	—	2,98±0,14	10,86±0,51*	20,53±0,80*
60	74,57	16,87	8,54	—	—	3,25±0,11*	10,47±0,45*	22,97±1,00*
90	58,72	14,94	16,92	5,42	4,0	2,97±0,15	9,37±0,52*	18,67±0,59*
120	42,88	13,02	25,31	11,38	8,40	2,69±0,19	8,31±0,58*	14,37±0,17*

* Достоверность различий между данными, полученными на животных до и после введения инсулина обозначена звездочкой.

Механизмы угнетения стимулированной инсулином желудочной секреции при раздражении вентромедиального гипоталамуса неизвестны. Литературные данные и результаты, полученные нами, свидетельствуют о существовании сложных взаимоотношений как внутри гипоталамуса, так и между гипоталамическими структурами и вагусом. Можно предположить, что торможение желудочной секреции в этом случае осуществляется по принципу реципрокных взаимоотношений вентромедиального и латерального гипоталамуса. По данным Оомура и др. [15], в вентромедиальном гипоталамусе определяются глюкорецепторы, реагирующие на повышение уровня глюкозы в крови, а в латеральном гипоталамусе обнаружены глюкорецепторы, реагирующие как на повышение, так и на снижение уровня глюкозы. При раздражении вентромедиального гипоталамуса многие авторы не наблюдали выделения кислого желудочного сока [3, 14]. Раздражение латеральных отделов гипоталамуса в большинстве случаев приводило к реализации возбуждающих влияний на желудочную секрецию [3, 6, 14]. Вероятно, вентромедиальные ядра гипоталамуса при электрическом раздражении оказывают угнетающее влияние на латеральный гипоталамус, стимулирующий выделение желудочного сока через вагус. Снижение уровня глюкозы в крови после введения инсулина может восприниматься глюкорецепторами латерального гипоталамуса и приводить к его возбуждению и последующему возбуждению вагуса.

Таким образом, полученные нами данные позволяют заключить, что на цefалическую фазу секреции, стимулированную инсулином, вентромедиальные ядра гипоталамуса оказывают тормозное влияние.

Изучение функциональной активности супраоптико-гипофизарной нейросекреторной системы и желудочной секреции при одноразовом

введении инсулина показывает инсулину на фоне гипогликемии желудочного сока нейрогормонов в общую диуретическую активность.

Через 1 ч после введения инсулина показывает инсулину на фоне гипогликемии желудочного сока нейрогормонов и усиление оптического ядра. Уровень чистоты и кислотность же

Через 1,5–2 ч отмечается оптико-гипофизарной нейрогормонов и усиление циркуляции, некоторое усиление секреции активного ядра.

Полученные данные показывают, что на фоне гипогликемии усиливается секреция активности СГНС, что является усиленiem желудочного

1. Гипоталамические механизмы желудочной секреции, стимулирующие секрецию, стимулирующие секрецию.

2. Раздражение вентральной тормозное влияние на ядро латерального.

3. Между активностью системы и динамикой желудочного, существует прямая:

A. F. Kosenko, C.

PARTICIPATION OF HYPOTHALAMIC NEUROSECRETORY SYSTEM IN THE SECRETION OF GASTRIC JUICE

Functional activity of suprachiasmatic nucleus and activity of gastric juice studied in chronic experiments on the insulin-stimulated secretion of the acid secretion caused by insulin implanted into the hypothalamus.

It was established that the inhibitory effect on the acid secretion caused by insulin is accompanied by an increase of SHNS activity is ac-

Institute of Physiology of the T. G. Shevchenko University, Kiev

1. Авакимян С. В. Изменение нейросекреторной системы гипоталамуса, гистологии и эмбриологии.— Тбилиси: Мецнире, 1956, 42, № 5, с. 988–992.

2. Андрианова Ф. И. Применение лукса и его побочные действия.— Тбилиси: Мецнире, 1956, 42, № 5, с. 988–992.

3. Асатиани А. Б., Бакурадзе Н. Н. Изменение нейросекреторной системы гипоталамуса, гистологии и эмбриологии.— Тбилиси: Мецнире, 1956, 42, № 5, с. 988–992.

4. Богач П. Г., Косенко А. Ф. Изменение нейросекреторной системы гипоталамуса, гистологии и эмбриологии.— Тбилиси: Мецнире, 1956, 42, № 5, с. 988–992.

5. Кнорре З. Д., Поленов А. А. Изменение нейросекреторной системы в различных

введении инсулина показало, что у крыс через 30 мин после введения инсулина на фоне гипогликемии усиливается секреция кислого активного желудочного сока и происходит быстрый массированный сброс нейрогормонов в общую циркуляцию, что приводит к высокой антидиуретической активности крови (табл. 3).

Через 1 ч после введения инсулина в супраоптико-гипофизарной нейросекреторной системе отмечены признаки снижения оттока нейрогормонов и усиление синтетических процессов в нейроцитах супраптического ядра. Уровень глюкозы оставался ниже исходного, количества и кислотность желудочного сока продолжали нарастать.

Через 1,5—2 ч отмечено снижение оттока нейрогормонов из супраоптико-гипофизарной нейросекреторной системы в портальную и общую циркуляцию, некоторое увеличение уровня глюкозы в крови, уменьшение секреции активного желудочного сока.

Полученные данные позволили установить зависимость между динамикой желудочной секреции, стимулированной инсулином, и изменением активности СГНС — увеличение активности СГНС сопровождается усилением желудочной секреции.

Выводы

1. Гипоталамические механизмы принимают участие в регуляции желудочной секреции, стимулированной инсулином.
2. Раздражение вентромедиальных ядер гипоталамуса оказывает тормозное влияние на желудочную секрецию, стимулированную инсулином.
3. Между активностью супраоптико-гипофизарной нейросекреторной системы и динамикой желудочной секреции, стимулированной инсулином, существует прямая зависимость.

A. F. Kosenko, G. P. Gushinetz, L. A. Kozhevnikova

PARTICIPATION OF HYPOTHALAMUS AND SUPRAOPTICOHYPOPHYSEAL NEUROSECRETORY SYSTEM IN GASTRIC INSULIN-STIMULATED SECRETION REGULATION

Summary

Functional activity of supraopticohypophyseal neurosecretory system (SHNS), quantity and activity of gastric juice, blood glucose level under the insulin injection were studied in chronic experiments on albino rats. Effect of ventromedial nuclei stimulation on the insulin-stimulated secretion of gastric juice was studied on dogs with electrodes implanted into the hypothalamus.

It was established that the stimulation of ventromedial hypothalamic nuclei exerted the inhibitory effect on the gastric insulin-stimulated secretion. The dynamics of gastric secretion caused by insulin directly depends on the functional activity of SHNS, the increase of SHNS activity is accompanied by the intensification of gastric secretion.

Institute of Physiology of the T. G. Shevchenko State University, Kiev

Список литературы

1. Авакимян С. В. Изменение функциональной активности гипоталамо-гипофизарной нейросекреторной системы при остром экспериментальном панкреатите. — Арх. анатомии, гистологии и эмбриологии. 1977, 72, № 1, с. 44—49.
2. Андрианова Ф. И. Применение инсулина для исследования секреторной функции желудка и его побочные действия. — Терапевт. арх., 1971, 63, вып. 8, с. 116—117.
3. Асатиани А. Б., Бакурадзе А. Н. Нейро-гуморальные механизмы пищевой деятельности. — Тбилиси : Меццинереба, 1975.— 195 с.
4. Богач П. Г., Косенко А. Ф. Наложение многополюсных электродов на гипоталамическую область у собак для хронических экспериментов. — Физiol. журн. СССР, 1956, 42, № 5, с. 988—992.
5. Кнорре З. Д., Поленов А. Л., Пропп М. В. Гипоталамо-гипофизарная нейросекреторная система в различных фазах нормального эстрального цикла : при постоянной

- течке и овариэктомии у крыс.—Арх. анатомии, гистологии и эмбриологии, 1969, 7, вып. 7, с. 17—26.
6. Косенко А. Ф. Роль гипоталамуса в регуляции секреторной деятельности желудка.—К.: Вища школа, 1977.—165 с.
 7. Пинчук Л. М. Функциональное состояние гипоталамо-гипофизарной надпочечниковой системы при инсулиновой гипогликемии.—Бюл. эксперим. биологии и медицины, 1973, № 5, с. 27—31.
 8. Поляк О. И., Фишер А. А. Инсулиновая гипогликемия и ее влияние на желудок.—Клиническая медицина, 1972, 140, № 1, с. 19—23.
 9. Постолов П. М., Наумов Б. А. Физиологические механизмы и критерии оценки инсулинового теста.—Хирургия, 1973, № 4, с. 119—123.
 10. Хесин Я. Е. Размеры ядер и функциональное состояние клеток.—М.: Наука, 1967.—120 с.
 11. Isenberg J. J., Stening G., Grossman S., Morton J.—Relation of gastric secretory response in man to dose of insulin.—Gastroenterology, 1969, 57, N 4, p. 395—398.
 12. Mayer J., Sudsanen S. Mechanism of hypothalamic control of gastric contractions in the rat.—Amer. J. Physiol., 1969, 197, N 2, p. 274—280.
 13. Mielkiewski K., Kozik M. Neurosecrecia jader podwzgorza u krolika po wsrrasach insulinoowych.—Endocrinol. polska, 1967, 18, N 3, s. 249—261.
 14. Mishler A., Brooks F. P. Electrical stimulation of hypothalamus and gastric secretion in the albino rat.—Amer. J. Physiol., 1966, 211, N 2, p. 403—406.
 15. Oomura Y., Ono T., Ooyama H., Wayner M. J. Glucose and osmosensitive neurons of the rat hypothalamus.—Nature, 1969, 222, N 5190, p. 282—284.
 16. Ridley P. T., Brooks F. P. Alterations in gastric secretion following hypothalamic lesions producing hyperphagia.—Amer. J. Physiol., 1965, 209, N 2, p. 319—329.
 17. Weingarten H. P., Powley T. Ventromedial hypothalamic lesions elevate basal and cephalic phase of gastric acid output.—Amer. J. Physiol., 1980, 239, N 3, p. 221—229.

Институт физиологии
Киевского университета

Поступила 10.03.83

УДК 612.32/33:616.33/34

ВЛИЯНИЕ СЕРТОТОНИНА НА ДВИГАТЕЛЬНУЮ АКТИВНОСТЬ ПИЩЕВАРИТЕЛЬНОГО ТРАКТА

Желудочно-кишечный тракт под влиянием нервных и гуморальных факторов [5, 6] показали, что серотонин, адреналина и питуитропина взаимоотношение разных уровней.

В последние годы большинство исследований активного вещества деятельности пищеварительного тракта показали, что серотонин может играть роль в регуляции рефлекторной деятельности пищеварительного тракта, неясна.

Мы изучали характер и механизм действия серотонина на желудок и тонкого кишечника в крови и двигательные рефлексы серотонина после предварительного введения.

Материалы и методы

Исследования проводились на крысах и кошках. Для изучения деятельности пищеварительного тракта использовали метод Серотонина (молекулярный фаг) (молекулярный вес 405), 0,2 мг/кг, а для подкожных рефлексов — 0,05 мг/кг. До и после введения серотонина определяли время раздражения желудка и тонкого кишечника в виде времени раздражения баллов прямой кишки раздражением.

Результаты

Взаимодействие внутренних факторов на моторику пищеварительного тракта. Внутренние факторы, такие как гормоны и нейромедиаторы, могут влиять на моторику пищеварительного тракта. Серотонин, выделяемый из нервных окончаний в стенке кишечника, может стимулировать или ингибировать различные виды моторики. Так, серотонин может стимулировать перистальтику (движение мышц кишечника), что способствует продвижению пищи по тракту. Однако, в некоторых случаях серотонин может ингибировать моторику, например, при гиперактивности кишечника.

Кормление животного. Кормление животного является важным фактором, который регулирует моторику пищеварительного тракта. Кормление через зонд или трубку может вызвать различные реакции, включая усиление или ослабление моторики. Время, когда кормление происходит, также может влиять на моторику.

УДК 612.32/33:616.33/34

Л. А. Коваль

ВЛИЯНИЕ СЕРОТОНИНА НА РЕФЛЕКТОРНЫЕ ДВИГАТЕЛЬНЫЕ РЕАКЦИИ ЖЕЛУДКА И ТОНКОГО КИШЕЧНИКА

Желудочно-кишечный тракт обладает высокой чувствительностью к нервным и гуморальным влияниям. Ранее проведенные нами исследования [5, 6] показали, что изменение в крови содержания ацетилхолина, адреналина и пируитрина значительно влияет на рефлекторное взаимоотношение разных участков пищеварительного тракта.

В последние годы большое внимание уделяется изучению роли биологически активного вещества серотонина в регуляции двигательной деятельности пищеварительного аппарата [1—4, 7—13]. Однако возможная роль серотонина как фактора, участвующего в механизмах рефлекторной регуляции двигательной деятельности пищеварительного тракта, неясна.

Мы изучали характер рефлекторных воздействий (акт еды, раздражение механоцепторов желудка или прямой кишки) на моторику желудка и тонкого кишечника при повышенных концентрациях серотонина в крови и двигательные реакции пищеварительного тракта на введение серотонина после предварительного рефлекторного воздействия.

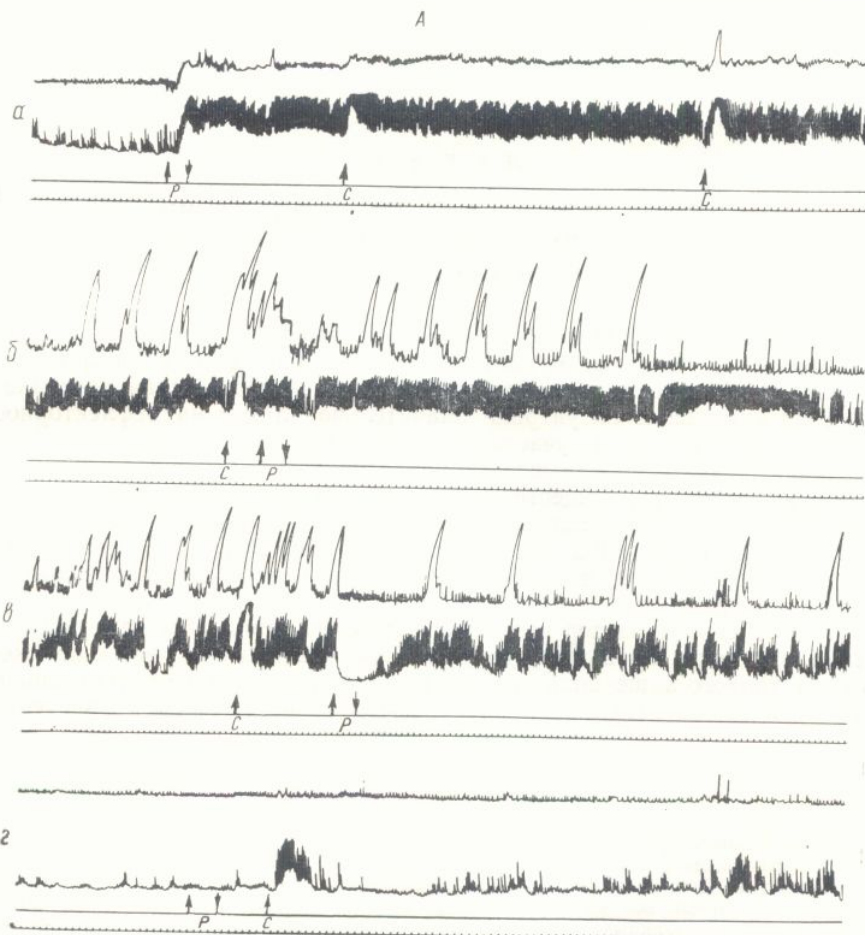
Методика исследований

Исследования проводились в хронических опытах на 6 собаках. Двигательную деятельность пищеварительного аппарата регистрировали баллонно-графическим методом. Серотонин (молекулярный вес 176) использовали в виде серотонинкретин-сульфата (молекулярный вес 405). Для внутривенных инъекций применяли дозы 0,01—0,2 мг/кг, а для подкожных — 0,05—0,1 мг/кг. Рефлекторное раздражение проводилось до и после введения серотонина. В части опытов введение амина совпадало с воздействием рефлекторного раздражителя: акт еды (200 г мяса), раздражение механоцепторов желудка раздуванием баллона до 300—500 мл воздуха, раздражение механоцепторов прямой кишки раздуванием баллона до создания давления 30—80 мм рт. ст.

Результаты исследований

Взаимодействие внутривенного введения серотонина и рефлекторных влияний на моторику желудочно-кишечного тракта. Предварительно были изучены реакции желудочно-кишечного тракта на рефлекторные воздействия и при введении серотонина. Кормление животного через 1—2 мин после введения животному 0,01 мг/кг серотонина вызывает несколько отличную от нормы двигательную реакцию тонкого кишечника. Отличие состоит в уменьшении торможения кишечных сокращений во время акта еды и усилении возбуждающего эффекта после него. Кормление через 3—5 мин после введения серотонина вызывает противоположный эффект: усиление тормозной фазы во время кормления и уменьшение или исчезновение возбуждения кишечных сокращений в первые 1—2 мин после кормления. Наблюданное отличие объясняется тем, что кормление животного в первом случае производилось во время усиления кишечной моторики, обусловленной введением серотонина, а во втором случае — во время ее ослабления.

Кормление животного одновременно с введением серотонина в период покоя устраняет спазматическое сокращение желудка на серотонин. Более того, спустя 4—6 мин после кормления животного спазм-

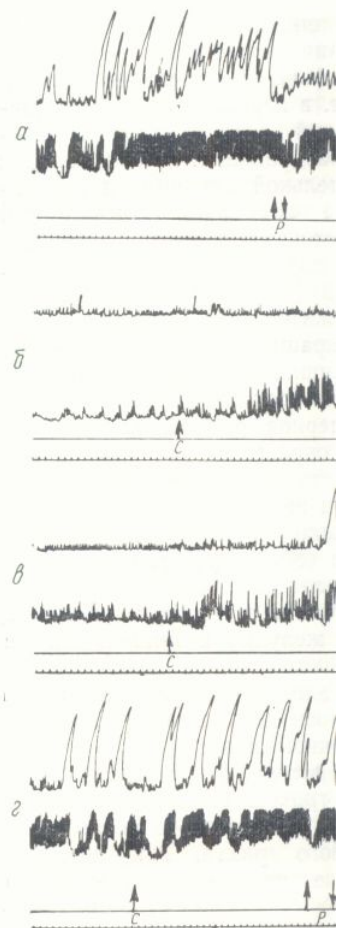


Моторика желудка и кишечника при сочетанном раздражении введения серотонина желудка (300 мл), *в, г* — раздражение механоцепторов прямой кишки (40 мм рт. ст.).
отметка раздражения, отметка
A — внутривенное введение 0,01 мг/кг серотонина,

тическое сокращение желудка на серотонин также может не возникать, но оно наблюдается в более поздний промежуток времени (рисунок, *A, a*). В кишечнике спазматическое сокращение с постепенным восстановлением кишечных сокращений отмечается в любое время после кормления животного (см. рисунок, *A, a*). Продолжительность такого спазматического сокращения достигает 60—90 с. Ослабления или торможения после него не наблюдается.

При одновременном раздражении механоцепторов желудка с введением 0,01 мг/кг серотонина (введение совпадает с началом раздражения желудка) в период покоя пищеварительного тракта мы не смогли наблюдать спазматического сокращения желудка, которое всегда выступает четко без дополнительного раздражения его механоцепторов. В кишечнике при этом сохраняется волнообразная реакция. Спустя 6—8 мин после введения серотонина моторный эффект кишечника на раздражение механоцепторов желудка может быть ослаблен по сравнению с нормой.

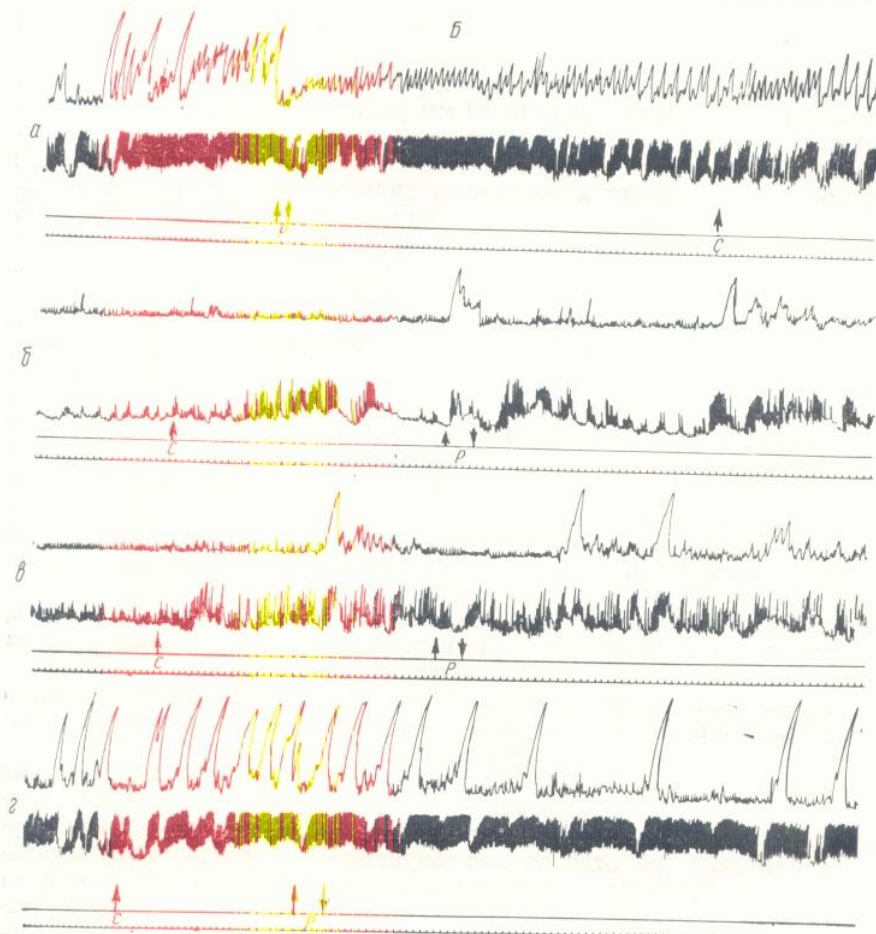
Усиленные желудочные сокращения, обусловленные повышенной концентрацией серотонина в крови, могут быть ослаблены дополнительным раздражением механоцепторов желудка (см. рисунок, *A, б*). Следует указать, что раздражающий баллон в желудке находился



(*c*) и рефлекторного воздействия.
Обозначение кривых сверху вниз
времени — один интервал равен
B — под кожное введение, 0,065 мг/кг

каудальней баллона для руки при изолированном раздражении. Стрировали тормозную реа- при раздражении желудка кровью значительно слабее, не изменена. Серотонин та-ния, обусловленного раздраже-

Раздражение прямой кишки одновременно или через 1 мин введение серотонина как в период покоя работы (см. рисунок, *A, в*) и в период покоя тонин почти не изменился. Механоцепторов прямой кишки (6 мг/кг) несколько ослаблен (спустя 3—4 мин после введения). Введение механоцепторов прямой кишки вызывает тормозную реакцию (получения тормозного эффекта) в течение достаточно времени



(c) и рефлекторного воздействия (*p*): *a* — акт еды, *б* — раздражение механоцепторов
Обозначение кривых сверху вниз: моторика желудка, моторика тонкого кишечника,
времени — один интервал равен 8 с.
Б — подкожное введение, 0,065 мг/кг серотонина.

каудальней баллона для регистрации желудочных сокращений. Поэтому при изолированном раздражении механоцепторов желудка мы регистрировали тормозную реакцию. Торможение желудочных сокращений при раздражении желудка при повышенной концентрации серотонина в крови значительно слабее, чем в норме, а моторика кишечника почти не изменена. Серотонин также выводит желудок из тормозного состояния, обусловленного раздражением его механоцепторов.

Раздражение прямой кишки раздуванием баллона до 40 мм рт. ст. одновременно или через 15—19 с после внутривенного введения серотонина как в период покоя пищеварительного тракта, так и в период работы (см. рисунок, А, в) приводило к исчезновению заметного тормозного влияния с прямой кишки, в результате чего реакция на серотонин почти не изменилась. При более сильном раздражении механоцепторов прямой кишки (60—80 мм рт. ст.) в этот период реакция на серотонин несколько ослабляется. Во вторую фазу действия серотонина (спустя 3—4 мин после введения), если она и не выражена, раздражение механоцепторов прямой кишки (50—60 мм рт. ст.) вызывает четкую тормозную реакцию (см. рисунок, А, в). Отметим, что часто для получения тормозного эффекта желудочно-кишечного тракта в это время достаточно применить слабое раздражение (25—30 мм рт. ст.).

Раздражение механоцепторов прямой кишки влияет на моторный эффект желудка и кишечника после введения серотонина. Так, внутривенное введение 0,01 мг/кг серотонина на фоне раздражения прямой кишки раздуванием баллона до 40 мм рт. ст. в период покоя желудочно-кишечного тракта не вызывает сокращений желудка (см. рисунок, А, г), тогда как без предварительного раздражения прямой кишки серотонин всегда ведет к появлению двигательной активности желудка. Однако раздражение прямой кишки не подавляет сокращений тонкой кишки, возникших под влиянием серотонина. В этом случае серотонин вызывает резкое повышение тонуса последней и усиление или появление сильных ритмических сокращений (см. рисунок, А, г). Отличительной чертой является менее продолжительная первая фаза. Кроме того, отсутствует спазматическое сокращение, что, вероятно, определяется тормозным влиянием прямой кишки на моторику тонкого кишечника. Применение двух раздражителей (рефлекторного и гуморального) в такой последовательности в период работы желудочно-кишечного тракта ведет к восстановлению сокращений желудка и кишечника. При этом в желудке может возникать небольшое спазматическое сокращение, которое наблюдается и при введении серотонина без предварительного раздражения прямой кишки. С увеличением силы раздражения механоцепторов прямой кишки (80 мм рт. ст.), нанесенного в начале периода работы желудка, появляется длительное и сильное торможение двигательной деятельности желудка и кишечника, которое почти подавляет моторный эффект желудка и кишечника на внутривенное введение 0,01 мг/кг серотонина.

Приведенные реакции можно объяснить алгебраической суммацией возбуждающего действия серотонина и тормозного влияния раздражения прямой кишки на сокращения желудка и кишечника.

Взаимодействие подкожного введения серотонина и рефлекторных влияний на моторику желудочно-кишечного тракта. Подкожное введение серотонина также оказывает влияние на последующее рефлекторное взаимодействие отделов пищеварительного тракта. Так, подкожное введение 0,065 мг/кг серотонина в начале периода покоя желудка вызывает постепенное усиление двигательной активности пищеварительного тракта. Кормление животного на этом фоне подавляло сокращение желудка, хотя тонус его при этом повышался. Моторика кишечника в это время часто усиливается: повышается тонус и увеличивается амплитуда ритмических сокращений. Введение серотонина в такой же дозе на 70—80 мин периода покоя желудка (перед началом работы желудка) способствует быстрому возникновению его периода работы с более высокой частотой сокращений. Кормление животных на таком фоне вызывало торможение желудочных сокращений (см. рисунок, Б, а). Моторика кишечника при этом могла не изменяться. Однако, если спустя 15—20 мин после кормления (т. е. на фоне пищевой моторики) опять ввести серотонин, то лишь иногда в течение 2—4 мин увеличивается частота желудочных сокращений. Кишечная моторика при введении серотонина во время пищевой моторики заметных изменений не претерпевает (см. рисунок, Б, а). Подкожное введение серотонина через 6—8 мин после кормления животного в период покоя желудка и слабой двигательной деятельности кишечника вызывает дальнейшее постепенное повышение тонуса желудка, т. е. на фоне пищевой моторики действие подкожно введенного серотонина проследить трудно.

Раздражение механоцепторов желудка 300 мл воздуха после предварительного введения серотонина в период покоя желудочно-кишечного тракта затормаживало возникновение сокращений желудка (см. рисунок, Б, б), которые возникали через 20—25 мин после подкожного введения серотонина, тогда как без раздражения желудка латентный период моторной реакции составлял 8—15 мин. Моторная реакция желудка также была менее продолжительной (6—8 мин) по

сравнению с реакцией при нина (10—18 мин). Кишечния механоцепторов желуд серотонин вводили в пери последующее раздражение ляло его сокращения при

Раздражение механоц до 40 мм рт. ст. на фоне с серотонина в период по двигательную деятельность А) и кишечника (см. рису действия в период работы мой кишки не вызывает т (см. рисунок, Б, г).

Наши исследования флекторных влияний и серка и тонких кишок мото. Стимулирующие рефлекто ханоцепторов желудка на руются с возбуждающим венное введение серотонин тормо сокращений вызыва шает ее тонус, максимал щений. В таких опытах и стальтические сокращения

Тормозные рефлектор рецептивная релаксация возбуждающим действии влияние рефлекторного в действии серотонина мож Особенno уменьшается то механоцепторов действие баллона в ампуле прямой затормозить сокращения за). Рецептивная релакса эффект применяемых на мало или вовсе не влияет кишки. Однако в последни, иногда наблюдается р

1. Внутривенное и по тер рефлекторных реакци в усиление или ослабле лекторным воздействием, ритического тракта во вр шения между введением силы и характера (торможителя, дозировки серотонина после р и кишечника при сочетан ли суммация односторонне

2. При комбинирована раздражения в желудке компоненту, а в кишечнике. Последнее согласу значимости гуморальных чем в регуляции моторной

сравнению с реакцией при изолированном подкожном введении серотонина (10—18 мин). Кишечные сокращения под воздействием раздражения механоцепторов желудка на фоне серотонина усиливались. Если серотонин вводили в период работы желудочно-кишечного тракта, то последующее раздражение механоцепторов желудка полностью подавляло его сокращения при повышении тонуса тонкого кишечника.

Раздражение механоцепторов прямой кишки раздуванием баллона до 40 мм рт. ст. на фоне сокращений, вызванных подкожным введением серотонина в период покоя желудочно-кишечного тракта, тормозит двигательную деятельность желудка (выпадение 1—2 сокращений типа А) и кишечника (см. рисунок, Б, в). При таком комбинированном воздействии в период работы пищеварительного тракта раздражение прямой кишки не вызывает тормозной реакции ни желудка, ни кишечника (см. рисунок, Б, г).

Наши исследования показали, что при сочетанном действии рефлекторных влияний и серотонина на двигательную активность желудка и тонких кишок моторный эффект зависит от характера первых. Стимулирующие рефлекторные влияния акта еды и раздражения механоцепторов желудка на моторику пищеварительного тракта суммируются с возбуждающим влиянием введенного серотонина. Внутривенное введение серотонина на фоне спонтанных или вызванных рефлекторно сокращений вызывает спазматическое сокращение кишки, повышает ее тонус, максимально усиливает амплитуду ритмических сокращений. В таких опытах нередко наблюдались четко выраженные перистальтические сокращения тонкой кишки.

Тормозные рефлекторные влияния с прямой кишки и рефлекторная рецептивная релаксация для желудка алгебраически суммируются с возбуждающим действием серотонина. В результате этого тормозное влияние рефлекторного воздействия на моторику желудка и кишки при действии серотонина может не проявляться или резко уменьшаться. Особенно уменьшается тормозное влияние раздражения ректальных механоцепторов действием серотонина при слабой силе раздувания баллона в ампуле прямой кишки. Раздражением прямой кишки трудно затормозить сокращения тонкой кишки, вызванные серотонином (I фаза). Рецептивная релаксация, как правило, тормозила возбуждающий эффект применяемых нами доз серотонина на моторику желудка, но мало или вовсе не влияла на вызванную серотонином моторику тощей кишки. Однако в последней, без предварительного введения серотонина, иногда наблюдается рецептивная релаксация.

Выходы

1. Внутривенное и подкожное введение серотонина изменяет характер рефлекторных реакций пищеварительного тракта, что выражается в усилении или ослаблении моторного эффекта, обусловленного рефлекторным воздействием, которое зависит: от исходного фона пищеварительного тракта во время введения серотонина, временного соотношения между введением серотонина и рефлекторным воздействием, силы и характера (тормозный, возбуждающий) рефлекторного раздражителя, дозировки серотонина. Эти же условия играют роль при введении серотонина после рефлекторных воздействий. Реакции желудка и кишечника при сочетанном раздражении зависят от того, происходит ли суммация односторонних или разнонаправленных процессов.

2. При комбинированном действии серотонина и рефлекторного раздражения в желудке ведущая роль принадлежит рефлекторному компоненту, а в кишечнике более четко проявляется действие серотонина. Последнее согласуется с указанием ряда авторов о большей значимости гуморальных факторов в регуляции моторики кишечника, чем в регуляции моторной деятельности желудка.

L. A. Koval

SEROTONIN EFFECT ON THE REFLEX MOTOR REACTIONS
OF STOMACH AND SMALL INTESTINE

Summary

It is shown in the chronic experiment on dogs with fistulas that the intravenous and subcutaneous serotonin injection either increases or weakens the motor effects of digestive tract, conditioned by the reflex actions (eating, stimulation of stomach and rectum mechanoceptors). The latter depends on the initial background of digestive tract during serotonin injection, time interrelation between the serotonin injection and reflex influence, serotonin doze, strength and character (inhibitory, stimulating) of reflex stimuli. These conditions are significant during the serotonin injection after the reflex effects. The algebraic sum of motor effects of digestive tract with the combined application of serotonin and reflex stimulations is found.

Institute of Physiology,
of the T. G. Shevchenko State University, Kiev

Список литературы

1. Абрамец И. И., Комиссаров И. В., Самойлович И. М., Шовтута В. И. О действии серотонина на гладкие мышцы.—Бюл. эксперим. биологии и медицины, 1977, 83, № 2, с. 173—175.
2. Богач П. Г., Коваль Л. А. Реферативная информация о законченных научно-исследовательских работах в вузах УССР.—Биология, 1974, вып. 8, с. 22—23.
3. Дедашев Я. П. Влияние серотонина на моторную функцию желудка и кишечника у овец.—В кн.: IX конф. по физиологии пищеварения: Тез. докл. Одесса, 1967, с. 83—84.
4. Климов П. К. Функциональные взаимосвязи в пищеварительной системе.—Л.: Наука, 1976.—270 с.
5. Коваль Л. А. О роли адреналина и ацетилхолина в регуляции моторной функции тонкого кишечника: Автореф. дис. ... канд. биол. наук.—К., 1961.—16 с.
6. Коваль Л. А. Значение изменений содержания пинтуитрина в крови для осуществления рефлекторных двигательных реакций тонкого кишечника.—В кн.: Физиология и патология тонкого кишечника: Тез. докл. Рига, 1970, с. 284—286.
7. Коваль Л. А., Лященко П. С. Влияние серотонина на моторную функцию пищеварительного аппарата и секреторную деятельность печени.—Физиол. журн. СССР, 1982, 68, № 9, с. 1240—1245.
8. Лебедев Н. Н. Влияние серотонина на моторную периодическую деятельность желудочно-кишечного тракта.—В кн.: Физиология и патология пищеварения: Тез. докл. конф. Львов, 1965, с. 154—156.
9. Меньшиков В. В., Бассалык Л. С., Голубкина М. П. Серотонин в гастроэнтерологии.—Терапевт. арх., 1968, 40, № 2, с. 11—18.
10. Bülbbring E., Crema A. The action of 5-hydroxytryptamine, 5-hydroxytryptophan and reserpine in intestinal peristalsis in anaesthetised guinea-pigs.—J. Physiol. (London), 1959, 146, N 1, p. 29—53.
11. Kedzierska L. The influence of serotonin and histamine on contractility of the smooth muscle of the digestive tract in experimental animals.—Arch. immunol. et ther. exp., 1970, 18, N 2, p. 239—257.
12. Misiewicz J. J., Waller S. L., Eisner M. Motor responses of human gastro-intestinal tract to 5-hydroxytryptamine in vivo and in vitro.—Gut, Brit. Soc. Gastroenterol., 1966, 7, N 3, p. 208—216.
13. Murrell T. G. C., Wangel G., Deller D. J. Intestinal motility in man. IV. Effect of serotonin on intestinal motility in subjects with diarrhea and constipation.—Gastroenterology, 1966, 51, N 5, Part. 1, p. 656—663.

Институт физиологии
Киевского университета

Поступила 10.03.83

УДК 612.3:612.014

О РОЛИ ИОНОВ
ЖЕЛЕЗИСТЫХ КЛЕТ

Все большее распространение об ионах Са, к уровню реакции на воздействие активных веществ том, что ионы Са служат сия, и наружный кальций секреции железистых клеток в растворе возбудите секреции в париетальных [1] потенцирующее действие вызванную гистамином, в растворе секреция ацинарных потенциалы [4]. Вопрос о электрические реакции железистые процессы секреции, ма

Мы изучали влияния Кребса и растворов, содержащих электрическую активность.

Ме

Исследования проводились желудок помещали в камеру, че растворе 37 °C.

Электрические потенциалы ка регистрировали методом внутрь электродов. Электрические потенциалы (УПТ-2), затем на векторэлектр реакций железистых клеток о

Для выяснения механизма изменились гипокальциевые (1 и 0,5 моль). Действие Рингера—Локка. В качестве ве нных клеток, применяли гистамины париетальных клеток.

Полученные результаты об

Рез

Как видно из рис. 1 (10⁻⁴ моль), вызывает в З переполяризацию мембраны $p < 0.05$. Она регистрирует потенциал которых составляет мембранный потенциала. Поскольку гистамин вызывает торные процессы, есть ослабление поляризационный эффект яв

Уменьшение концентрации значительному уменьшению железистых клеток, вы

УДК 612.3:612.014

Ж. П. Смирнова

О РОЛИ ИОНОВ СА В ЭЛЕКТРИЧЕСКОМ ОТВЕТЕ ЖЕЛЕЗИСТЫХ КЛЕТОК ЖЕЛУДКА КРЫСЫ НА ГИСТАМИН

Все большее распространение в последнее время получает представление об ионах Са, как факторе, обеспечивающем на клеточном уровне реакции на воздействие гормонов, нейромедиаторов и биологически активных веществ. Сейчас имеется много данных [6, 7, 10] о том, что ионы Са служат связующим фактором в цепи стимул — секреция, и наружный кальций может играть важную роль в активации секреции железистых клеток. В частности, установлено, что в бескальциевом растворе возбудители желудочного сокращения не вызывают секреции в париетальных клетках желудочных желез [2, 11]. Описано [1] потенцирующее действие ионов Са на секрецию желудочных желез, вызванную гистамином. Значительно подавляются в бескальциевом растворе секреция ацинарных клеток слюнных желез и их секреторные потенциалы [4]. Вопрос о влиянии внеклеточных ионов Са на электрические реакции железистых клеток желудочных желез, сопровождающие процессы секреции, мало исследован.

Мы изучали влияния гипокальциевых, бескальциевого растворов Кребса и растворов, содержащих блокаторы кальциевого тока, на электрическую активность железистых клеток.

Методика исследований

Исследования проводились в опытах *in vitro* на желудке крысы. Изолированный желудок помещали в камеру, через которую пропускали раствор Кребса. Температура раствора 37 °С.

Электрические потенциалы клеток фундального отдела слизистой оболочки желудка регистрировали методом внутриклеточных отведений с помощью стеклянных микрэлектродов. Электрические потенциалы подавали на вход усилителя постоянного тока (УПТ-2), затем на векторэлектрокардиоскоп (ВЭКС-01М). Регистрацию электрических реакций железистых клеток осуществляли с помощью лентопротяжного механизма.

Для выяснения механизмов секреторных потенциалов железистых клеток использовали гипокальциевые (1 и 0,5 ммоль), бескальциевый (не содержащий ЭГТА) растворы Кребса и блокаторы кальциевого тока: ионы Со, Cd, Ni (1 ммоль) и верапамил ($5 \cdot 10^{-6}$, 10^{-4} моль). Действие блокаторов кальциевого тока исследовали в растворе Рингера—Локка. В качестве вещества, вызывающего электрические реакции железистых клеток, применяли гистамин (10^{-4} моль), который является возбудителем секреции париетальных клеток.

Полученные результаты обрабатывали вариационно-статистическим методом.

Результаты исследований

Как видно из рис. 1, раствор Кребса, содержащий гистамин (10^{-4} моль), вызывает в 36—38 % случаев отведений значительную гиперполяризацию мембранны железистых клеток, на $(20,3 \pm 1,1)$ мВ, $p < 0,05$. Она регистрируется, как правило, в клетках, мембранный потенциал которых составляет 20—25 мВ. При более высоком уровне мембранных потенциала гиперполяризация мембранны не возникает. Поскольку гистамин вызывает в железистых клетках желудка секреторные процессы, есть основание считать, что наблюдаемый гиперполяризационный эффект является секреторным потенциалом этих клеток.

Уменьшение концентрации ионов Са в растворе Кребса приводит к значительному уменьшению величины гиперполяризационного эффекта железистых клеток, вызванного применением гистамина. В растворе

Кребса с 1 ммоль CaCl_2 она составляет $(11,7 \pm 0,3)$ мВ ($p < 0,05$), а в растворе с 0,5 ммоль CaCl_2 — $(7,3 \pm 0,4)$ мВ; (рис. 2, а, б). Кроме того, гиперполяризационный эффект железистых клеток в таких растворах регистрируется реже, чем в норме. В растворе Кребса с 1 ммоль CaCl_2 он наблюдается в 20 %, а в растворе Кребса с 0,5 ммоль CaCl_2 — в 17 % случаев отведений.

Влияние гипокальциевых растворов на гиперполяризационный эффект железистых клеток, вызванный гистамином, имеет обратимый

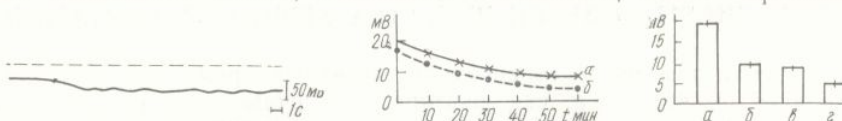


Рис. 1. Гиперполяризационный эффект железистой клетки желудка крысы, вызванный применением гистамина (10^{-4} моль). Скачок вниз в начале кривой — введение микроэлектрода. Гиперполяризация — отклонение вниз. Калибровка — 1 с, 50 мВ.

Рис. 2. Зависимость изменений величины гиперполяризационного эффекта железистых клеток желудка от времени пребывания их в гипокальциевых растворах. а — в растворе Кребса с 1, б — с 0,5 ммоль CaCl_2 .

Рис. 3. Изменения величины гиперполяризационных железистых клеток желудка, вызванных применением гистамина, в растворах Рингера — Локка, содержащих блокаторы кальциевого тока.

а — в нормальном растворе Кребса; б — в растворе Кребса, содержащем ионы Ni; в — ионы Cd, г — ионы Co.

характер, и после отмывания слизистой оболочки желудка в растворе Кребса с нормальным содержанием ионов Са гистамин вызывает гиперполяризацию мембранны железистых клеток на $(18,7 \pm 0,8)$ мВ, $p < 0,05$.

В бескальциевом растворе Кребса, не содержащем ЭГТА, гиперполяризационный эффект железистых клеток в ответ на гистамин не регистрируется уже на 20 мин действия. Этот эффект бескальциевого раствора на электрическую активность железистых клеток желудка имеет также обратимый характер.

Значительно уменьшается гиперполяризационный эффект железистых клеток в растворе Рингера — Локка, содержащем блокаторы кальциевого тока.

Как видно из рис. 3, если в растворе Рингера — Локка в этой серии опытов амплитуда гиперполяризационного эффекта железистых клеток в ответ на гистамин составляет $(19,1 \pm 0,7)$ мВ, $p < 0,05$, то в растворе Рингера — Локка, содержащем ионы Cd — $(8,0 \pm 0,7)$ мВ, $p < 0,05$, ионы Co — $(5,2 \pm 0,6)$ мВ, $p < 0,05$ и ионы Ni — $(9,6 \pm 0,8)$ мВ, $p < 0,05$.

Такое резкое уменьшение величины гиперполяризационного эффекта железистых клеток в ответ на гистамин наблюдается в течение 30—40 мин действия блокаторов кальциевого тока, после чего происходит полное его подавление. Столь длительное действие ионов Co оказывается необратимым.

Действие ионов Cd и Ni на электрическую активность железистых клеток желудка, в отличие от ионов Co, имеют обратимый характер. По степени угнетающего воздействия блокаторов кальциевого тока на электрическую активность железистых клеток их можно расположить следующим образом: $\text{Co} > \text{Cd} > \text{Ni}$.

Применение верапамила — органического блокатора кальциевого тока в концентрациях $5 \cdot 10^{-6}$ и 10^{-4} моль также сопровождается значительным уменьшением гиперполяризационного эффекта железистых клеток в ответ на гистамин.

В растворе Кребса с верапамилом в концентрации $5 \cdot 10^{-6}$ моль он составляет $(13,8 \pm 0,7)$ мВ, $p < 0,05$ и на 40 мин действия блокатора не регистрируется вообще.

Еще более значительный эффект железистых клеток в растворе Кребса, содержащем $\pm 1,1$ мВ, $p < 0,05$. На 30 минность этих клеток необрати

Обсуждение

Вызванный гистамином гиперполяризационный эффект рассеянного потенциала. По конфигурации он схож с тем, который имеется в ацинарных клетках печени [5]. С уменьшением концентрации ионов Са в растворе гиперполяризационный эффект уменьшается и подавляется полностью.

Вопрос о значении ионов Са в активности железистых клеток является в исследовании на слюнных железах не было обнаружено замедления. Вывод [10], что наружным для осуществления секреции является поджелудочная железа, в связи с тем, что секреция клеток из внутриклеточных запасов действия возбудителей сечения железы нужно учитывать источников, и Са²⁺ пространства.

В отличие от Гинсборо [11] в опытах на изолированных слюнных железах млекопитающих не было обнаружено замедления в ответ на действие гистамина в растворе, содержащем ионы Cd, что позволило придать Са²⁺ в секреторном ответе на гистамин.

В наших исследованиях нельзя исключить того факта, что гистамин вызывает процессы секреции Берглиндт и сотр. [2], знающие концентрации ионов Са.

Тот факт, что гистамин не может замедлить гиперполяризацию, что гиперполяризация секреции и также характеризует клетку.

Что же является истинной причиной ионов Са, необходимой для секреции?

Результаты наших исследований показывают, что гистамином для железистых клеток является источником ионов Са, который не может быть блокирован кальциевыми блокаторами. Гиперполяризация на гистамин подавляется в растворе, содержащем ионы Cd, что свидетельствует о том, что Са²⁺, несущий реакций железистых клеток, проходит через кальциевые каналы в клетку через кальциевые каналы.

Еще более значительное уменьшение гиперполяризационного эффекта железистых клеток в ответ на гистамин наблюдается в растворе Кребса, содержащем верапамил в концентрации 10^{-4} моль ($9,9 \pm 1,1$) мВ, $p < 0,05$. На 30 мин действия раствора электрическая активность этих клеток необратимо подавляется.

Обсуждение результатов исследований

Вызванный гистамином в железистых клетках желудка гиперполяризационный эффект рассматривается в качестве их секреторного потенциала. По конфигурации и величине он подобен эффекту, регистрируемому в ацинарных клетках слюнных желез [4, 8] и гепатоцитах печени [5]. С уменьшением концентрации ионов Са в растворе гиперполяризационный эффект железистых клеток желудка заметно уменьшается и подавляется полностью в бескальциевом растворе.

Вопрос о значении наружного кальция для секреции железистых клеток является в известной степени дискуссионным. В исследованиях на слюнных железах и поджелудочной железе насекомых [3, 10] не было обнаружено заметных изменений уровня вызванной секреции клеток с удалением ионов Са из раствора. На этом основании был сделан вывод [10], что наружный Ca^{2+} не является обязательным фактором для осуществления секреторных процессов в железистых клетках поджелудочной железы, вызванных применением возбудителей секреции, и, что секреция клеток поджелудочной железы использует Ca^{2+} из внутриклеточных запасов. По мнению Петерсена [8], при анализе действия возбудителей секреции на ацинарные клетки поджелудочной железы нужно учитывать и Ca^{2+} , поступающий из внутренних клеточных источников, и Ca^{2+} , поступающий в клетку из внеклеточного пространства.

В отличие от Гинсборга и Хауза [3], Берглиндт с сотр. [2] и Солл [11] в опытах на изолированных париетальных клетках желудочных желез млекопитающих не наблюдали в бескальциевом растворе секрецию в ответ на действие гастринина и гистамина. Подавлялась секреция и в растворе, содержащем такой блокатор кальциевого тока, как лантан, что позволило прийти к заключению об участии внеклеточного Ca^{2+} в секреторном ответе железистых клеток желудка на гастрин и гистамин.

В наших исследованиях также применялся гистамин. Поэтому нельзя исключить того факта, что в железистых клетках желудка он вызывает процессы секреции, сопровождающиеся, как это показали Берглиндт и сотр. [2], значительным повышением внутриклеточной концентрации ионов Са.

Тот факт, что гистамин вызывает в ряде железистых клеток желудка заметную гиперполяризацию мембранны, дает нам основание предположить, что гиперполяризационный эффект сопутствует процессам секреции и также характеризуется увеличенным потоком ионов Са в клетку.

Что же является источником, повышающим внутриклеточную концентрацию ионов Са, необходимую для возникновения этой электрической реакции?

Результаты наших исследований позволяют говорить о том, что таким источником для железистых клеток желудка является Ca^{2+} наружного раствора. Гиперполяризационный эффект этих клеток в ответ на гистамин подавляется не только в бескальциевом растворе, но и в растворе, содержащем блокаторы кальциевого тока. Поскольку последние блокируют кальциевые каналы, этот факт может свидетельствовать о том, что Ca^{2+} , необходимый для осуществления электрических реакций железистых клеток на гистамин, поступает из наружного раствора в клетку через кальциевые каналы.

Этот вывод очень важен для понимания природы гиперполяризационного эффекта, вызванного гистамином. Известно [3, 9], что повышение внутриклеточной концентрации Ca^{2+} ведет к увеличению калиевой проницаемости мембраны железистых клеток. Поэтому можно предположить, что гиперполяризационный эффект, вызванный гистамином и характеризующийся усилением входящего в клетку потока Ca^{2+} , возникает вследствие повышения калиевой проницаемости мембраны.

Zh. P. Smirnova

THE ROLE OF Ca IONS IN THE ELECTRICAL RESPONSE
OF GLANDULAR STOMACH CELLS OF RAT TO HISTAMINE

Summary

The effect of Ca ions on electrical responses of gastric gland cells to histamine was investigated using intracellular glass microelectrodes. It was established that in hypocalcium solutions histamine-induced hyperpolarization decreased. In Ca-free solution and in solution with blocking agents of calcium currents the hyperpolarization evoked by histamine was not observed. It was suggested that the Ca ions are necessary for hyperpolarizing responses caused by histamine action on gastric glandular cells.

Institute of Physiology of the T. G. Shevchenko
State University, Kiev

Список литературы

1. Ивашкин В. Т. Метаболическая организация функций желудка.—Л.: Наука, 1981.—214 с.
2. Berglindh T., Sachs G., Takeguchi N. Ca^{2+} -dependent secretagogue stimulation in isolated rabbit gastric glands. Amer. J. Physiol., 1980, 239, N 2, G90—G94.
3. Ginsborg B. L., House C. R. Stimulus-response coupling in gland cells.—Ann. Rev. Biophys. Bioeng., 1980, 9, p. 55—80.
4. Ginsborg B. L., House C. R., Mitchell M. R. On the role of calcium in the electrical responses of cockroach salivary gland cells to dopamine.—J. Physiol., 1980, 303, p. 325—335.
5. Graf J., Petersen O. H. Cell membrane potential and resistance in liver.—J. Physiol., 1978, 284, p. 105—126.
6. Jiron C., Ruiz M. Ch., Michelangeli F. Role of Ca^{++} in stimulus-secretion coupling in the gastric oxyntic cell: effect of A23187.—Cell. Calcium, 1981, № 2, p. 573—585.
7. O'Doherty J., Stark R. J. Transmembrane and transepithelial movement of calcium during stimulus-secretion coupling.—Amer. J. Physiol., 1981, 241, N 2, G. 150—G. 158.
8. Petersen O. H. Electrophysiology of mammalian gland cells.—Physiol. Rev., 1976, 56, N 3, p. 535—575.
9. Rasmussen H., Goodman D. Relationships between calcium and cyclic nucleotides in cell activation.—Physiol. Rev., 1977, 57, N 3, p. 422—509.
10. Schulz G., Stolze H. H. The exocrine pancreas: the role of secretagogues cyclic nucleotides and calcium in enzyme secretion.—Ann. Rev. Physiol., 1980, 42, p. 127—156.
11. Soll A. H. Extracellular calcium and cholinergic stimulation of isolated canine parietal cell.—J. Clin. Invest., 1981, 68, N 1, p. 270—278.

Институт физиологии
Киевского университета

Поступила 10.03.83

УДК 612.323:612.453

В. И. Гр

СРАВНЕНИЕ ВЛИЯНИЯ
НА ВЫДЕЛЕНИЕ МУ

В существующем преджелудка, способном противому фактору, важная роль при Главной составной частью имеющим ее характерные фи протеин высокого молекуля равных субъединиц, соедин римая слизь желудка пред и более глубокого распада мукополисахаридов желудочного с желез. Растворенные мукс ного сока только осаждены участия в образовании защищавших этот барьер. Чрез растворимой слизи обусловлено еще далеко невыясненное действие мукопротеаз можно фактора Касла.

Регуляция выделения интенсивно изучается, поскольку теоретического, еще и важным является выделение онейрогуморальной системы реализации их эффекта в дешенная активность гипоталамуса при стрессе является важна желудка. Ульцерогенный элементально и клинически, остается неясным. В связи с веществ в желудке в адреналэктомированных со

Ме

Опыты проводили на 22 беспородных собаках. У 16 собак была произведена операция: 25 мг гидрокортизона и 0,2 ляли на две группы: I — без за семь собак). Введение всех кортикотропинов начинали на 8 сут после стояния животных было удовлетворительно (табл. 1). С момента появления прекращали; II — с заместительной парциальной выключение минеральных). На 3 сут после адреналэктомии в те же сроки, что и в I группе, ставился уровень этих гормонов до

Для выяснения неспецифичности показателя были проведены серия

УДК 612.323:612.453

В. И. Гриднева, Н. А. Кривова

СРАВНЕНИЕ ВЛИЯНИЯ ГЛЮКО- И МИНЕРАЛОКОРТИКОИДОВ НА ВЫДЕЛЕНИЕ МУКОИДНЫХ ВЕЩЕСТВ В ЖЕЛУДКЕ

В существующем представлении о защитном слизистом барьере желудка, способном противостоять агрессивному кислотно-пептическому фактору, важная роль принадлежит выделению мукоидных веществ. Главной составной частью видимой слизи и компонентом, обеспечивающим ее характерные физико-химические свойства, является гликопротеин высокого молекулярного веса ($2 \cdot 10^6$), состоящий из четырех равных субъединиц, соединенных дисульфидными мостиками. Растворимая слизь желудка представляет собой продукты деполимеризации и более глубокого распада слизи покровного эпителия под действием муколизинов желудочного сока, а также секрет слизистых клеток шеек желез. Растворенные мукоидные вещества отделяются от желудочного сока только осаждением. Они не принимают непосредственного участия в образовании защитного слизистого барьера, однако по количеству мукопротеаз можно судить о деятельности муколизинов, разрушающих этот барьер. Чрезвычайно многообразный химический состав растворимой слизи обусловлен широким спектром ее функций, во многом еще далеко невыясненных. Наиболее изученным компонентом растворимой слизи является растворенный мукопротеин (железистый мукопротеин, гастромукопротеин), обладающий активностью внутреннего фактора Касла.

Регуляция выделения мукоидов в желудке в настоящее время интенсивно изучается, поскольку решение этого вопроса имеет, помимо теоретического, еще и важное практическое значение. Вполне оправданым является выделение отдельных звеньев функционально единой нейрогуморальной системы регуляции, что помогает выяснить пути реализации их эффекта в деятельности того или иного органа. Повышенная активность гипоталамо-гипофизарно-надпочечниковой системы при стрессе является важным фактором в патогенезе язвенной болезни желудка. Ульцерогенный эффект кортикостероидов доказан экспериментально и клинически, но механизм стероидного язвообразования остается неясным. В связи с этим мы исследовали выделение мукоидных веществ в желудке в условиях хронического эксперимента на адреналэктомированных собаках.

Методика исследований

Опыты проводили на 22 беспородных собаках-самцах с малыми желудочками по Павлову. У 16 собак была произведена одномоментная билатеральная адреналэктомия. В первые 3—4 дня после операции эти собаки получали заместительную гормонотерапию: 25 мг гидрокортизона и 0,2 мл 0,5 % раствора ДОКА. Далее животных разделяли на две группы: I — без заместительной терапии — полная адреналэктомия (восьмь собак). Введение всех кортикостероидов отменяли на 3—4 сут после операции, опыты начинали на 8 сут после адреналэктомии; в течение всего периода опытов состояние животных было удовлетворительным; 11-ОКС в крови их не обнаружены (табл. 1). С момента появления анорексии, на 16—17 сут после операции, опыты прекращали; II — с заместительным введением гидрокортизона по 25 мг ежедневно — парциальное выключение минералокортикоидной функции надпочечников (восемь собак). На 3 сут после адреналэктомии отменяли только введение ДОКА, опыты проводили в те же сроки, что и в I группе, содержание 11-ОКС в течение опытов соответствовало уровню этих гормонов до адреналэктомии (табл. 1).

Для выяснения неспецифического влияния операционного стресса на изучаемые показатели была проведена серия опытов на шести собаках, подвергнутых ложной адре-

Содержание общих 11-ОКС в периферической крови собак ($M \pm m$)

Условия опы- тов	Концентрация 11-ОКС у интакт- ных собак (нмоль/л)	Концентрация 11-ОКС после адреналэктомии (нмоль/л)		
		1—4 сут	5—7 сут	после 8 сут
Полная адре- налэктомия	$319,2 \pm 62,7$ <i>n</i> =44	$711,3 \pm 144,6$ <i>n</i> =25	$262,4 \pm 104,9$ <i>n</i> =26	следы <i>n</i> =38
Дефицит минерало- кортикоидов	$475,6 \pm 67,8$ <i>n</i> =24	$779,1 \pm 206,9$ <i>n</i> =18	$434,8 \pm 127,5$ <i>n</i> =16	$397,3 \pm 140,7$ <i>n</i> =40
Ложная адре- налэктомия	$165,1 \pm 11,5$ <i>n</i> =18			$153,9 \pm 10,6$ <i>n</i> =25

налэктомии. Состояние желудочной секреции в опытах на тех же собаках до адреналэктомии считалось контрольным. Для ее возбуждения собакам вводили подкожно гистамина гидрохлорид (1 мл 0,1% раствора) и скармливали мясо (150 г). В каждом опыте определяли объем сока и слизи и пересчитывали их в мл/кг массы тела собаки. Общие НГ-ОКС определяли по [5]. Муконидные вещества желудочного секрета разделяли на мукин видимой слизи, растворимые мукопротеины и мукопротеазы по [8]. В настоящее время термины «мукин», «мукониды» и т. п. вызывают возражения, поскольку установлена структура видимой слизи и поэтому правильнее употреблять термин «гликопротеин слизи». Однако сложная структура растворимой слизи желудка остается почти неизученной и в настоящее время поддается разделению лишь по функциональным признакам. К преимуществам метода [8] относятся разделение основных групп растворимой и нерастворимой слизи, сравнительная простота, достаточная надежность, поэтому мы сочли себя вправе использовать возможности этого метода и сохранить терминологию авторов.

Результаты исследований и их обсуждение

На основании полученных данных можно заключить, что именно первичный дефицит кортикоэстероидов оказывает выраженное влияние на выделение мукопротеинов желудочного сокрета, поскольку выделение их у ложноадреналэктомированных собак не обнаруживает достоверных различий с контрольным уровнем (табл. 2, 3).

Таблица 2

Выделение желудочного сока, видимой слизи и муцина видимой слизи

Вид стимуляции желудочно-кишечной секреции	Интактные собаки	Адреналектомированные собаки		Ложная адреналектомия	
		полная адреналэктомия	дефицит минералокортикоидов	Интактные собаки	Ложнооперированные собаки
Количество желудочного сока (мл/кг)					
Гистамин	1,76±0,18 <i>n</i> =32	1,64±0,18 <i>n</i> =17	1,34±0,10* <i>n</i> =22	1,44±0,05 <i>n</i> =8	1,45±0,03 <i>n</i> =10
Мясо	2,51±0,50 <i>n</i> =36	1,37±0,23* <i>n</i> =25	1,21±0,22 <i>n</i> =20	1,07±0,12 <i>n</i> =16	0,97±0,07 <i>n</i> =20
Количество видимой слизи (мл/кг)					
Гистамин	0,034±0,013 <i>n</i> =32	0 <i>n</i> =17	0,047±0,008 <i>n</i> =22	0,017±0,002 <i>n</i> =8	0,013±0,003 <i>n</i> =10
Мясо	0,148±0,014 <i>n</i> =35	0,280±0,040* <i>n</i> =25	0,120±0,010 <i>n</i> =20	0,100±0,020 <i>n</i> =16	0,090±0,020 <i>n</i> =20
Количество муцина видимой слизи (мкг/кг)					
Гистамин	2,2±0,09	0	2,2±0,07	0	0
Мясо	75,2±17,8	223,0±70,20*	67,4±17,6	101,0±23,7	90,3±9,9

Примечание к табл. 2, 3. n — число опытов; * — результаты достоверно ($p < 0,05$) отличаются от исходных величин у интактных животных.

Сравнение влияния

После удаления на кормлении животных мяс наблюдалось у собак с эктомированных собак гидрокортизона объем виля на дефицит минерал муцина видимой слизи (частица, но и концентрации две причины увеличения рете: 1) увеличение ее обного эпителия и, следовательно, слизистого барьера; 2) уязвимости от стенки желудка и, стого барьера.

Выдел

Вид сти- муляции желудоч- ной секре- ции	Интактные со- баки	Адре- Полна: надэз
Гиста- мин	181,5±25,0	178,8±
Мясо	1824,0±238,5	998,6±
Гиста- мин	427,6±53,0	213,9±
Мясо	546,6±52,1	668,8±

В наших опытахуве ловлено первой причиной секрета. Об этом свидетельствуют стенки желудка и целостность новленное при вскрытии согласуются с данными автора, что развитие язвенного процесса в желудке не зависит от введения их в кишечник не столько в усилении как жжения тканевой сопротивляемости к патогенным воздействиям из организма при слизистой, о чем косвенно свидетельствует наличие мукопептидной слизи и ее муцина, адреналектомированный на фоновый уровень. Все растворимой слизи проникает в ткани и, видимо, факт, по нашему мнению, разделить зону влияния и секрецию.

При стимуляции сенсорных областей в фоновых опытах состоящее выделяется у собак съедение мясом, а количество

После удаления надпочечников количество видимой слизи при кормлении животных мясом увеличивается почти вдвое по сравнению с наблюдаемым у собак с интактными надпочечниками. Но у адреналектомированных собак II группы при заместительном введении им гидрокортизона объем видимой слизи соответствует контролю, несмотря на дефицит минералокортикоидов. Аналогичное изменение дебита муцина видимой слизи обусловлено не только увеличением ее количества, но и концентрации муцина в ней (табл. 2). Следует различать две причины увеличения количества видимой слизи в желудочном секрете: 1) увеличение ее образования цилиндрическими клетками покровного эпителия и, следовательно, увеличение образования защитного слизистого барьера; 2) увеличение процессов отщепления видимой слизи от стенки желудка и, следовательно, нарушение защитного слизистого барьера.

Таблица 3

Выделение фракций растворимой слизи

Вид стимуляции желудочной секреции	Интактные собаки	Адреналектомированные собаки		Ложная адреналектомия	
		Полная адреналэктомия	Дефицит минералокортикоидов	Интактные собаки	Ложнооперированные собаки
Мукопротеины (мкг/кг)					
Гистамин	181,5±25,0	178,8±33,5	19,1±8,9*	225,4±56,9	237,1±74,3
Мясо	1824,0±238,5	998,6±104,9*	629,4±143,0*	2003,7±229,5	1687,3±155,9
Мукопротеозы (мкг/кг)					
Гистамин	427,6±53,0	213,9±62,0*	328,2±88,2	452,7±92,7	330,8±62,4
Мясо	546,6±52,1	668,8±39,0	288,9±55,6*	760,7±92,6	752,4±36,8

В наших опытах увеличение выделения видимой слизи было обусловлено первой причиной, т. е. усиленным образованием мукопротеинов. Об этом свидетельствует отсутствие каких-либо нарушений стенки желудка и целостности покрывающего ее слизистого слоя, установленное при вскрытии подопытных собак. Эти результаты полностью согласуются с данными о том [3], что удаление надпочечников тормозит развитие язвенного процесса на экспериментальной модели у крыс. Автор считает, что роль глюокортикоидов вульцерогенезе (при длительном введении их крысам с интактными надпочечниками) состоит не столько в усиливании кислотно-пептического фактора, сколько в снижении тканевой сопротивляемости слизистой, что делает ее более уязвимой к патогенным воздействиям. И, наоборот, удаление глюокортикоидов из организма приводит к увеличению тканевой сопротивляемости слизистой, о чем косвенно свидетельствует увеличение количества видимой слизи и ее муцина. Заместительное введение гидрокортизона адреналектомированным собакам возвращает выделение видимой слизи на фоновый уровень. Все эти изменения в образовании и выделении нерастворимой слизи происходят независимо от дефицита минералокортикоидов и, видимо, контролируются только глюокортикоидами. Этот факт, по нашему мнению, весьма интересен, поскольку он позволяет разделить зону влияния глюко- и минералокортикоидов на желудочную секрецию.

При стимуляции секреции гистамином выделение видимой слизи в фоновых опытах составляет менее 23 % от того ее количества, которое выделяется у собак с интактными надпочечниками в ответ на кормление мясом, а количество муцина видимой слизи не превышает 3 %

от количества муцина при скармливании мяса (табл. 2). Следовательно, гистамин у здоровых собак не стимулирует или почти не стимулирует выделение видимой слизи и уменьшает концентрацию муцина в ней. Результаты наших исследований согласуются с данными о том, что количество видимой слизи варьирует в зависимости от того, вызывается ли секреция мнимым кормлением мясом или подкожным введением гистамина [1]. Секреция слизи при мнимом кормлении была в несколько раз выше, чем при введении гистамина. Мнение об отсутствии стимулирующего влияния гистамина на образование видимой слизи разделяют и другие авторы [2, 6].

Выделение видимой слизи в ответ на введение гистамина не отражает истинной картины и при дефиците кортикостероидов. Если принять выделение видимой слизи в ответ на кормление мясом за показатель, характеризующий состояние слизистого барьера, то очевидно, что выделение слизи под влиянием гистамина ни в коей мере не совпадает с ним. Возможно, при введении гистамина или увеличении его образования и высвобождения в организме нарушается динамическое равновесие в слизистой между кислотно-пептическим фактором и образованием защитного слизистого барьера, что может привести к деструктивным изменениям слизистой.

По сравнению с секрецией в ответ на кормление мясом выделение мукопroteина после введения гистамина намного меньше (табл. 3). После кормления мясом продукция мукопротеинов уменьшается при дефиците минералокортикоидов почти в три раза, а при дефиците всех кортикоидов — только в два раза по сравнению с контрольным уровнем (табл. 3). Следовательно, дефицит глюкокортикоидов способствует увеличению образования мукопротеина, но недостаток минералокортикоидов уменьшает их выделение в полость желудка. Эти изменения однозначны с изменениями сокоотделения, причем это справедливо для любого вида стимуляции секреции (табл. 2, 3).

Фракция растворимых мукопротеинов образуется из продуктов расщепления видимой слизи муколизинами. В опытах с кормлением мясом было обнаружено некоторое увеличение количества мукопротеинов при полной адреналэктомии и достоверное увеличение этого показателя при дефиците минералокортикоидов (табл. 3). Если рассчитать соотношение между количеством муцина видимой слизи и мукопротеинов, то получится, что активность ферментов, расщепляющих видимую связь, уменьшается как при дефиците глюкокортикоидов, так и при дефиците минералокортикоидов. Стимуляция желудочной секреции гистамином не позволяет обнаружить эти изменения в образовании мукопротеинов при дефиците кортикоидов (табл. 3).

Таким образом, можно заключить, что две основные группы гормонов коры надпочечников глюко- и минералокортикоидного действия оказывают различное влияние на выделение мукопротеинов в желудке. Отсутствие глюкокортикоидов усиливает образование видимой слизи, при этом происходит перераспределение соотношения растворимых и нерастворимых мукопротеинов в сторону усиления образования защитного слизистого барьера. Одновременно уменьшается и активность муколизинов. Влияние только минералокортикоидов на выделение мукопротеинов ранее исследовалось лишь в отдельных работах: наблюдалось торможение ультерации в желудке при воздействии атофаном после введения ДОКА [7], а также отмечалось влияние ДОКА на трофическую слизистую и её структуру [4]. Наши данные свидетельствуют об уменьшении активности муколизинов в отсутствии минералокортикоидов, о влиянии этой группы гормонов на выделение фракций растворимой слизи, но не подтверждают прямого влияния минералокортикоидов на выделение нерастворимой слизи.

- Недостаточность гормональному увеличению выделению животных мяса не имеет дефицит глюкокортикоидов
- Отсутствие глюкокортикоидов растворимых мукопротеинов тормозит их транспортировку нералокортикоидов вызывает
- Гистамин не является токсикантом в желудке.

V. I. C

A COMPARISON
MINERALOCORTICOIDS
SUBSTANCES

Bilateral adrenalectomy was nonsoluble mucoids with the deafferentation of hydronephrosis. Glucocorticoid deficiency causes mineralocorticoid deficiency than of gluco- and mineralocorticoid response to histamine administration with a response to animal feeding with a

Institute of Biology and Biophysics
University, Tomsk

- Бабкин Б. П. Секреторный механизм пищеварения. С. 777.
- Беркос О. Б. Желудочная Физиология пищеварения. Л.
- Липовский С. М. Эндокринная креция, структуру и развитие. 154 с.
- Мосин В. И., Радбиль О. С., леваниях органов пищеварения
- Панков Ю. А., Усватова И. Г. Минералокортикоиды в плазме периферии, 1965, вып. 3, с. 137—142.
- Попелюк П. Ф., Вдовиченко П. Ф. Желудке при некоторых заболеваниях. Конф. «Фундаментальные проблемы гастроэнтерологии», 1965, с. 210.
- Хамори А. Этиология и патология желудка. № 1, с. 3—15.
- Glass G. B. J., Boud L. J. *Gastroenterology*, 1949, 12, N

Институт биологии и биофизики
при Томском университете

Выводы

1. Недостаточность гормонов коры надпочечников приводит к значительному увеличению выделения видимой слизи и её муцина в ответ на кормление животных мясом, преимущественное значение в этом процессе имеет дефицит глюокортикоидов.
2. Отсутствие глюокортикоидов приводит к усилению образования мукопротеина растворимой слизи, недостаточность минералокортикоидов тормозит их транспорт в полость желудка. Дефицит глюко- и минералокортикоидов вызывает уменьшение активности муколизинов.
3. Гистамин не является адекватным раздражителем мукоидных клеток в желудке.

V. I. Gridneva, N. A. Krivova

A COMPARISON OF THE EFFECT OF GLUKO- AND
MINERALOCORTICOIDS ON THE SECRETION OF MUCOID
SUBSTANCES IN THE STOMACH

Summary

Bilateral adrenalectomy was made in dogs for studying secretion of soluble and nonsoluble mucoids with the deficiency of all corticosteroids. Adrenalectomy and substitutive administration of hydrocortisone were followed by a deficiency of mineralocorticoids. Glucocorticoid deficiency induced an increase of the visible mucus excretion, mineralocorticoid deficiency changes the excretion of soluble mucoid fractions. Deficiency of gluco- and mineralocorticoids changes mucolysine activity. Mucoid secretion in response to histamine administration does not correspond to the secretion of mucoids in response to animal feeding with meat.

Institute of Biology and Biophysics of the State
University, Tomsk

Список литературы

1. Бабкин Б. П. Секреторный механизм пищеварительных желез.—Л.: Медгиз, 1960.—777 с.
2. Беркос О. Б. Желудочная слизь. Регуляция образования и выделения.—В кн.: Физиология пищеварения. Л.: Наука, 1974, с. 212—227.
3. Липовский С. М. Эндокринные железы и желудок (инкреторные воздействия на секрецию, структуру и развитие экспериментальной язвы).—Л.: Медицина, 1969.—154 с.
4. Мосин В. И., Радбиль О. С., Смагин В. Г. Лечебное применение гормонов при заболеваниях органов пищеварения.—М.: Изд-во ВНИМИ, 1975.—112 с.
5. Панков Ю. А., Усватова И. Я. Флуориметрический метод определения 11-оксикортикоидов в плазме периферической крови.—Тр. по новой аппаратуре и методикам, 1965, вып. 3, с. 137—142.
6. Попелюк П. Ф., Вдовиченко В. И., Ковалев Ю. М. Состояние слизеобразования в желудке при некоторых заболеваниях органов пищеварения.—В кн.: Материалы 12 Всесоюз. конф. «Фундаментальные проблемы гастроэнтерологии». Львов, 1977, с. 210.
7. Хамори А. Этнология и патогенез пептической язвы.—Венгер. фармакотерапия, 1970, № 1, с. 3—15.
8. Glass G. B. J., Boud L. J. The three main components of the human gastric mucin.—Gastroenterology, 1949, 12, N 5, p. 821—832.

Институт биологии и биофизики
при Томском университете

Поступила 24.12.81

УДК 612.32:616.33

С. Д. Грайсман, В. А. Губкин, Т. В. Береговая

О ПРИРОДЕ ОСТАТОЧНОЙ ИНСУЛИНОВОЙ СЕКРЕТОРНОЙ РЕАКЦИИ ПРИ СЕЛЕКТИВНОЙ ПРОКСИМАЛЬНОЙ ВАГОТОМИИ

Селективная проксимальная ваготомия (СПВ) прочно вошла в арсенал антиязвенных операций. Однако, как это иногда бывает, практическое применение этой операции в определенной степени опередило теоретическое осмысливание вызываемых ею сдвигов в физиологическом направлении функций желудка. Как известно, основная цель ваготомии — понижение секреторного потенциала желудка, устранение гиперсекреции, часто встречающейся у больных язвенной болезнью. В связи с этим проводилось довольно много исследований влияния СПВ на базальную и стимулированную секрецию желудка у человека. В целом различные авторы сходятся на том, что СПВ угнетает инсулиновую, т. е. вагальную секрецию на 60—80 %, причем, по данным одних исследователей, глубина угнетения со временем уменьшается в незначительной степени [1, 3, 5], другие [7] сообщают о значительном восстановлении секреторного потенциала через 10—12 мес после операции.

В литературе нет единого мнения о природе остающихся 20—40 % секреторной реакции желудка на инсулин. Высказываются две точки зрения. Согласно первой, этот секреторный эффект определяется гастрином, высвобождающимся в слизистой оболочке антравального отдела [10], другие авторы [4, 6] отрицают указанный механизм, не разрабатывая альтернативной гипотезы.

Собаки, перенесшие СПВ, представляют собой прекрасную модель для выяснения механизмов регуляции секреторной функции желудка. Однако, если обратиться к имеющейся в этом отношении литературе, то окажется, что подобных работ не очень много и большая часть их посвящена выяснению механизма гиперсекреции гейденгайновских желудочек после разных типов ваготомии или влиянию СПВ на секрецию павловских желудочек [4]. Менее изучена секреция самого желудка, подвергшегося оперативному вмешательству, хотя она, по нашему мнению, представляет наибольший интерес с теоретической и практической точки зрения.

Методика исследований

Исследования проводили на 12 собаках, из которых 4 были контрольными, у 6 была проведена СПВ и у 2 — стволовая ваготомия в грудной полости. Так как одновременно с проведением СПВ собакам накладывали fistулы желудка, то для контроля использовали результаты, полученные у собак с целыми блуждающими нервами. В связи с этим для всех серий опытов были подобраны собаки приблизительно одинакового веса — 13—15 кг, за исключением собаки № 3, которая весила 22 кг.

С целью вагальной денервации фундального отдела и тела желудка у собак во время лапаротомии осуществляли полное скелетирование малой кривизны, начиная от места впадения нервов Латарже в антравальный отдел («гусиные лапки») и до кардиального отдела. Особое внимание уделяли выявлению и пересечению кранионального нерва Грасси, единственной ветви вагуса, которая на уровне кардии направляется к большой кривизне. Мы не проводили ушивание малой кривизны, которая у собак в отличие от человека более толстая и лучше васкуляризована. При стволовой ваготомии блуждающие нервы перерезали в грудной полости над диафрагмой.

Опыты начинали через 2 нед после оперативного вмешательства и проводили в течение 10—22 мес. Собак брали в эксперимент 1—2 раза в неделю. У них исследовали секреторные реакции на подкожное введение инсулина (0,5 ед./кг) и пентагастрина (6 мкг/кг). В получасовых сроках желудочного сока определяли объем выделившегося сока, концентрацию в нем кислоты и пепсина. Затем рассчитывали дебит кислоты в

мэкв HCl. Концентрацию кислоты NaOH до pH 7 (индикатор фенс Ханти, использовав в качестве Собак брали в опыт только в базальной секреции. С этой целью винный рацион, и на ночь им не

Резу

На сводной табл. 1 приведены влияние СПВ в первые 3 мес после операции на все исследовавшиеся в этих опытах показатели. СПВ интенсивность желудочного сока в последующем этот показатель остается практически неизменным на протяжении первого года с угнетением интенсивности секреции желудочного сока кислоты составляли 84 и 64 %. Эффекта концентрация соляной кислоты в желудочном соке по сравнению с нормой было 14—15 %.

Влияние селективной проксимальной ваготомии на секрецию желудочного сока

Серия опытов	Объем желудочного сока, мл
Норма	
<i>n</i> =25	164,3±2,8
3 мес после	
СПВ	
<i>n</i> =24	44,0±4,50
4—22 мес	
после СПВ	
<i>n</i> =45	69,38±1,54

Анализ результатов, полученных в первые 3 мес после операции, показывает, что интенсивность секреции желудочного сока уменьшилась в 3,7 раза (табл. 1).

1. Рост секреторной активности желудка в первые 3 мес после операции. Увеличение интенсивности инсулиновой секреции, в которой участвуют блуждающие нервы, интенсивность которой уменьшилась в 3,7 раза.

2. Спустя 3 мес после операции интенсивность секреции желудочного сока уменьшилась в 3,7 раза (табл. 2), у остальных собак интенсивность желудочного сока уменьшилась в 3,7 раза (табл. 2). Интенсивность секреции желудочного сока уменьшилась в 3,7 раза (табл. 2).

У собак, перенесших стволовую ваготомию, секреция желудочного сока не изменилась или оставалась неизменной.

мэкв HCl. Концентрацию кислоты в желудочном соке определяли титрованием 0,1 н. NaOH до pH 7 (индикатор фенолфталеин). Концентрацию пепсина устанавливали по Ханту, использовав в качестве субстрата высушеннную плазму человеческой крови. Собак брали в опыт только в том случае, если желудок у них был пуст и не было базальной секреции. С этой целью за день до эксперимента собак переводили на поливинилный рацион, и на ночь им не оставляли корма.

Результаты исследований

На сводной табл. 1 представлены обобщенные результаты, отражающие влияние СПВ в первые 3 мес после операции и в последующий период на все исследовавшиеся показатели желудочной секреции. Анализ этих данных показывает, что если в течение первых 3 мес после СПВ интенсивность желудочной секреции была угнетена на 75 %, то в последующем этот показатель уменьшался до 50 % и оставался стабильным на протяжении последующих 8—19 мес. Так как одновременно с угнетением интенсивности желудочной секреции понижалась кислотность желудочного сока, то те же показатели для дебита соляной кислоты составляли 84 и 64 %. В стабильной фазе послеоперационного эффекта концентрация соляной кислоты и пепсина в желудочном соке по сравнению с нормой уменьшалась в одинаковой степени — на 14—15 %.

Таблица 1

Влияние селективной проксимальной vagотомии на секрецию желудка, вызванную 0,5 ед./кг инсулина

Серия опытов	Объем желудочного сока, мл	Концентрация соляной кислоты, мэкв/л	Дебит соляной кислоты, мэкв	Концентрация пепсина, мг/мл	Дебит пепсина, лг
Норма <i>n</i> =25	164,3±2,8	0,116±0,013	19,05±0,38	0,101±0,08	16,59±0,47
3 мес после СПВ <i>n</i> =24	44,0±4,50	0,070±0,008	3,09±0,64	0,087±0,008	3,83±0,60
4-22 мес после СПВ <i>n</i> =45	69,38±1,54	0,100±0,005	6,92±0,15	0,085±0,002	5,92±0,13

Анализ результатов, полученных у каждой собаки на протяжении всего периода исследований, выявил ряд существенных особенностей эффекта СПВ на желудочную секрецию. Главные из них следующие:

1. Рост секреторной активности желудка в течение первых трех послеоперационных месяцев происходил не за счет постепенного увеличения интенсивности инсулиновой желудочной секреции, а благодаря учащению опытов, в которых введение инсулина стимулировало секрецию, интенсивность которой была такой же, как спустя 3-4 мес после СПВ.

ле СГВ.

2. Спустя 3 мес после операции у половины собак (№ 1, 5, 7) уставновившийся уровень секреции отличался относительной стабильностью (табл. 2), у остальных собак (№ 2, 3, 6) из двух-трех опытов в одном интенсивность желудочной секреции увеличивалась и могла достигать 70—90 % от нормы (табл. 3). Появление опытов с повышенной секреторной реакцией не подчинялось четкой периодичности. В те дни, когда интенсивность инсулиновой секреции желудка усиливалась, кислотность желудочного сока росла, а концентрация пепсина чаще уменьшалась или оставалась неизменной.

У собак, перенесших стволовую ваготомию, инсулин в течение 3 ч опыта не вызывал секреции кислого желудочного сока. Отделялась только слизь в незначительных количествах.

Таблица 2

Влияние селективной проксимальной ваготомии на секрецию желудка, вызванную 0,5 ед./кг инсулина у собаки № 5 (операция 25.11.81)

Исследуемые показатели	12.05.82	08.06.82	30.06.82	07.07.82	12.07.82	20.08.82	24.09.82	11.10.82	28.01.83
Объем желудочного сока, мл	49,0	74,0	63,5	52,0	75,5	64,0	75,5	49,0	77,0
Концентрация соляной кислоты, мэкв/л	0,043	0,076	0,073	0,021	0,053	0,043	0,071	0,063	0,034
Дебит соляной кислоты, мэкв	2,10	5,62	4,66	1,07	3,97	2,73	5,32	3,08	2,60
Концентрация пепсина мг/мл	0,184	0,166	0,085	0,085	0,069	0,045	0,067	0,052	0,062
Дебит пепсина, мг	9,00	12,27	5,39	4,41	5,19	2,90	3,43	3,28	4,81

Таблица 3

Влияние селективной проксимальной ваготомии на секрецию желудка, вызванную 0,5 ед./кг инсулина у собаки № 6 (операция 19.05.82)

Исследуемые показатели	24. 09. 82	01. 10. 82	11. 10. 82	20. 10. 82	26. 10. 82	17. 11. 82	06. 12. 82	17. 12. 82	29. 12. 82	14. 01. 83
Объем желудочного сока, мл	62,0	73,5	101,5	125,0	85,0	67,0	151,0	84,0	63,0	47,5
Концентрация соляной кислоты, мэкв/л	0,124	0,120	0,130	0,140	0,111	0,128	0,140	0,124	0,112	0,088
Дебит соляной кислоты, мэкв	7,66	8,84	13,23	17,47	9,44	8,58	21,08	10,40	7,09	4,19
Концентрация пепсина мг/мл	0,093	0,079	0,074	0,111	0,073	0,170	0,071	0,166	0,073	0,077
Дебит пепсина, мг	5,78	5,83	7,52	13,87	6,19	11,40	10,69	13,96	4,59	3,64

Таблица 4

Влияние селективной проксимальной ваготомии на секрецию желудка, вызванную 6,0 мкг/кг пентагастрина

Серия опытов	Объем желудочного сока, мл	Концентрация соляной кислоты, мэкв/л	Дебит соляной кислоты, мэкв	Концентрация пепсина, мг/мл	Дебит пепсина, мг
Норма n=15	141,13±10,56	0,134±0,002	18,90±1,43	0,060±0,005	8,48±1,02
После СПВ n=34	79,68±2,34	0,116±0,004	9,26±0,27	0,066±0,002	5,29±0,16

Гастриновую желудочную после СПВ. При этом оказал интенсивность желудочной концентрация кислоты в желудке также, что если до СПВ давало относительно стабильные с уменьшением общего секреции «качания» уровня секреции изменения интенсивности сдвиги эффекты на пентагастриновой СПВ на инсулиновую секрецию являются более глубокое угнетение и противоположный эффект и тела желудка на концентрации инсулина в возбуждении желудка гастрином — 10 % повышение.

Обсуждение

Представленный в данных исследованиях. Во-первых, он является адекватности операции СПВ, торного потенциала желудка фект, так и чувствительности цефалическая, так и желудка сильно уровня этого угнетения было получено в наблюдении восстановления инсулиновой течение первых трех после операции на уровне, который не проявляла тенденции к дальнейшему. Можем согласиться с выводами, что наблюдается значительная угнетение желудка.

Следует обратить внимание на то, что после СПВ в части опытов с разных ответов на инсулин, даже вряд ли зависел от недавно проведенная у тех же сильного и антравального отдела вагальной денервации. Этих «вспышек» секреторной деятельности СПВ не ясна. Скорее в нальными особенностями это влияние конституции на секрецию, что именно этот феномен больных, перенесших операцию. Действительно, если [14] права в своем утверждении, что тем более опасны, что перерезанного нерва и со временем «обсеменить» значительная СПВ по технике своего осуществления такой ошибки, ибо это происходит максимально блокируется иннервированным нервации остальной площади вагальной иннервации. Во-

Гастриновую желудочную секрецию мы исследовали спустя 3 мес после СПВ. При этом оказалось (табл. 4), что по сравнению с нормой интенсивность желудочной секреции у собак уменьшалась на 44 %, концентрация кислоты в желудочном соке уменьшалась на 14 %, а концентрация пепсина в желудочном соке увеличилась на 10 %. Характерно также, что если до СПВ введение пентагастролина из опыта в опыт давало относительно стабильные результаты, то после операции наряду с уменьшением общего секреторного потенциала отмечались значительные «качания» уровня секреторных ответов, достигавшие двукратного изменения интенсивности секреторной реакции. Если сопоставить эти эффекты на пентагастриновую желудочную секрецию с эффектами СПВ на инсулиновую секрецию, то основными различиями между ними являются более глубокое угнетение инсулиновой желудочной секреции и противоположный эффект вагальной денервации фундального отдела и тела желудка на концентрацию пепсина в желудочном соке: при инсулиновом возбуждении желудочной секреции 15 % угнетение, при гастриновом — 10 % повышение.

Обсуждение результатов исследований

Представленный в данной работе материал интересен в двух отношениях. Во-первых, он является естественнонаучным подтверждением адекватности операции СПВ, целью которой является понижение секреторного потенциала желудка, причем ослабляется как вагальный эффект, так и чувствительность желудочных желез к гастрину, т. е. как цефалическая, так и желудочная фазы секреции. Наши данные относительно уровня этого угнетения в основном соответствуют тому, что было получено в наблюдениях на человеке [1, 3, 5]. После небольшого восстановления инсулиновой секреции желудка, которое происходило в течение первых трех послеоперационных месяцев, она стабилизировалась на уровне, который не достигал половины дооперационного, и не проявляла тенденций к дальнейшему росту. В этом отношении мы не можем согласиться с выводами [7] о том, что спустя 12 мес после СПВ наблюдается значительная нормализация инсулиновой секреции желудка.

Следует обратить внимание на то, что у половины собак через 3 мес после СПВ в части опытов отмечалось значительное усиление секреторных ответов на инсулин, достигавшее 70—90 % от нормы. Этот феномен вряд ли зависел от недостаточной полноты ваготомии, так как ранее проведенная у тех же собак регистрация моторной активности фундального и антравального отделов желудка свидетельствовала о полной вагальной денервации фундального отдела [2]. Точная природа этих «вспышек» секреторной активности у небольшой части собак после СПВ не ясна. Скорее всего она связана с какими-то конституционными особенностями этих животных. У человека также описано влияние конституции на секреторные эффекты после СПВ [13]. Возможно, что именно этот феномен лежит в основе рецидирования язвы у больных, перенесших операцию СПВ, а не недостаточная полнота ваготомии. Действительно, если Легро и Гриффит [11], а также Себус [14] правы в своем утверждении, что реиннервационные явления в желудке тем более опасны, чем проксимальнее расположен участок неперерезанного нерва и соответственно этот неперерезанный ствол может «обсеменить» значительный участок желудочной стенки, то операция СПВ по технике своего выполнения должна исключить возможность такой ошибки, ибо при проведении операции СПВ денервация происходит максимально близко к желудочной стенке, и если участок ее останется иннервированным, то это не может быть предпосылкой к реиннервации остальной площади желудочной стенки, полностью лишенней вагальной иннервации. Во всяком случае, наши данные подтверждают

концепцию Легро и Гриффитса [11] в том отношении, что сохранение вагальной иннервации изолированного участка желудка не приводит к реиннервации остальной площади слизистой оболочки желудка. Мы также не обнаружили восстановления иннервации желудочных желез посредством компенсаторных перестроек в мейнеровском сплетении, подобных тем, которые были ранее описаны нами в ауэрбаховском сплетении при исследовании влияния СПВ на моторику фундального и антравального отделов желудка [2]. В этом отношении между ауэрбаховским и мейнеровским сплетениями, по-видимому, имеется принципиальное различие, которое определяется их функциональными особенностями: ауэрбаховское сплетение не только воспринимает информацию, передаваемую вагальными преганглионарами, но и способствует восстановлению вагального тонуса в денервированных участках желудка, включая ретроградное распространение этого эффекта, мейнеровское сплетение выступает только как передатчик, дискретные участки которого обеспечивают определенные зоны слизистой оболочки.

Ничего нет необычного в том, что описанный феномен «вспышек» нормализованной инсулиновой секреции не был замечен ранее у людей. Предпосылка для его выявления — это регулярно повторяемые исследования, проводимые на одном и том же животном, что практически невозможно на человеке.

В связи с вышеизложенным мы подошли ко второму аспекту значимости полученных материалов. Несмотря на то, что феномен сохранения 1/3 секреторной активности на инсулиновый раздражитель неоднократно наблюдался, мнения о природе его остаются спорными. Если исходить из того, что операция СПВ предусматривает полную вагальную денервацию кислотопродуцирующих зон желудка, фундального отдела и тела и сохранение иннервации антравального отдела, в котором соляная кислота не вырабатывается, то естественно предположить, что секреция париетальной области стимулируется каким-то гуморальным фактором, и таким фактором, как первый предположил Холле [10], может быть гастрин. То, что возбуждение блуждающих нервов стимулирует высвобождение гастрэина в слизистой оболочке антравального отдела, было открыто 40 лет тому назад [15], однако какой доле секреторной инсулиновой реакции соответствует гастриновый эффект, пока неизвестно. Операция СПВ позволяет предположить — не менее 1/3. В пользу гипотезы Холле говорит следующее соображение: после операции СПВ концентрация пепсина в инсулиновом желудочном соке уменьшается, а в гастриновом — растет. СПВ уменьшает также концентрацию пепсина в желудочном соке, секреция которого стимулирована 2-деокси-D-глюкозой [6], действующей, подобно инсулину, через возбуждение блуждающих нервов. Рост концентрации пепсина в гастриновом желудочном соке, по-видимому, определяется более значительным угнетением интенсивности секреции соляной кислоты, чем пепсина — феномен вымывания. Что же касается уменьшения концентрации пепсина при еще более глубоком понижении интенсивности инсулиновой секреции, то это, надо полагать, является следствием частичного или полного устранения прямого действия парасимпатического медиатора на железы желудка. Как известно [12], гастрин сильнее стимулирует секрецию соляной кислоты, чем пепсина, а ацетилхолин является самым мощным активатором главных клеток желудочных желез. Мы не склонны считать этот вопрос окончательно решенным. Для нас, например, остался неясным механизм возбуждения инсулиновой желудочной секреции в те опытные дни, когда у собак, перенесших СПВ, она достигает 70—90 % от нормы. В эти дни мы не наблюдали выраженного повышения пептической активности желудочного сока, которое бы свидетельствовало об изменении природы медиатора; в то же время нелегко себе представить, чтобы антравальный гастрин мог обеспечить столь мощный секреторный эффект. С другой стороны, следует учитывать,

что СПВ, согласно наши лей [8, 9], понижает чувствительность на 45 %. Поэтому точной инсулиновой секреции у этих собак, как эффекта, должно у соба ровать секреторный эффект 75 %. Маловероятно, что эффекта в инсулиновой с тически возможный мак факторами, как: 1) пред ток, возбужденных прямым влиянием кислоты с перстной кишки на высо тельные исследования и

Не вызывает сомнен личие от СПВ стволова линовой секреции, можн чиной остаточной инсули антравальные ветви нерво или волокна блуждающ ральным путем в стенке неясной причина того, п стивная и проксимальная ослабление инсулиновой наконец, учитывая то, ч только парасимпатическу ты со стволовой вагото ющего действия симпати

1. Селективная прок кое угнетение дебита со лудка на 64 %, при пе

2. Угнетение инсули на 15 %, а пентагастрин пепсина в желудочном со

3. Стволовая вагото новой секреции желудка.

4. Высказывается пр собак, перенесших опер стимулирует желудочную гастрин в антравальном

S. D. Groisman

ON THE NATURE OF
UNDER THE

The investigations were conducted with the fistulas in the fundal vagotomy (SPV) was fulfilled. 4 dogs served as control. It was found that the gastric secretion which in 2/3 of the level, under which the decrease in response to pentagastrin decreased, and pentagastrin was accom

что СПВ, согласно нашим данным и результатам других исследователей [8, 9], понижает чувствительность париетальных клеток к пентагастрину на 45 %. Поэтому если гипотеза о гастриновой природе остаточной инсулиновой секреции верна, то количество гастрина, выделившегося у этих собак, которое вызывает 1/3 нормального секреторного эффекта, должно у собак с целыми блуждающими нервами стимулировать секреторный эффект, составляющий 0,33:0,45, что достигает 75 %. Маловероятно, чтобы в реальных условиях доля гастринового эффекта в инсулиновой секреции была столь велика, это скорее теоретически возможный максимальный эффект, не ограниченный такими факторами, как: 1) предел секреторной способности обкладочных клеток, возбужденных прямым влиянием блуждающих нервов, 2) тормозным влиянием кислоты с антрального отдела и луковицы двенадцатиперстной кишки на высвобождение гастрина. Здесь требуются дополнительные исследования и аргументы.

Не вызывает сомнения другой аспект данной проблемы: т. к. в отличие от СПВ стволовая vagotomy вызывает полное угнетение инсулиновой секреции, можно с полной уверенностью утверждать, что причиной остаточной инсулиновой секреции после СПВ являются только антральные ветви нервов Латарже, а не спинальный парасимпатик или волокна блуждающих нервов, достигающие желудка по интрамуральным путем в стенке пищевода. В свете сказанного нам остается неясной причина того, почему все 3 типа vagotomии — стволовая, селективная и проксимальная селективная — в одинаковой степени вызывают ослабление инсулиновой секреции в павловских желудочках [4]. И, наконец, учитывая то, что инсулиновая гипогликемия стимулирует не только парасимпатическую, но и симпатическую нервную систему, опыты со стволовой vagotomiей свидетельствуют об отсутствии возбуждающего действия симпатических нервов на секрецию кислоты в желудке.

Выводы

1. Селективная проксимальная vagotomy у собак вызывает стойкое угнетение дебита соляной кислоты при инсулиновой секреции желудка на 64 %, при пентагастриновой секреции — на 51 %.
2. Угнетение инсулиновой секреции сопровождается уменьшением на 15 %, а пентагастриновой — увеличением на 10 % концентрации пепсина в желудочном соке.
3. Стволовая vagotomy приводит к полному устранению инсулиновой секреции желудка.
4. Высказывается предположение, что инсулиновая гипогликемия у собак, перенесших операцию селективной проксимальной vagotomy, стимулирует желудочную секрецию опосредованно через высвобождение гастрина в антральном отделе желудка.

S. D. Groisman, V. A. Gubkin, T. V. Beregovaya

ON THE NATURE OF RESIDUAL INSULIN SECRETORY REACTION UNDER THE SELECTIVE PROXIMAL VAGOTOMY

Summary

The investigations were carried out on 12 dogs with the same weight (13-15 kg) with the fistulas in the fundal part of stomach. The operation of selective proximal vagotomy (SPV) was fulfilled in 6 dogs, truncal vagotomy — in two dogs, the rest 4 dogs served as control. It was found that the SPV caused deep suppression of insulin gastric secretion which in 2-3 months became a little weaker and then stabilized on the level, under which the debit of HCl corresponds to 1/3 of the norm. The secretory response to pentagastrin decreases by half. The lowering of secretory response to insulin and pentagastrin was accompanied in the first case by a 15 % decrease and in the

second — by a 10 % increase of pepsine concentration in gastric juice, respectively. After bilateral truncal vagotomy insulin did not stimulate gastric secretion. The hypothesis about the gastrin nature of residual stomach secretion of insulin after SPV is supported.

Institute of Physiology of the T. G. Shevchenko State University, Kiev

Список литературы

- Гринберг А. А., Столярова Л. Ф. Влияние селективной проксимальной ваготомии на кислотопродуцирующую функцию желудка.—Клин. хирургия, 1982, № 1, с. 32—36.
 - Гройсман С. Д., Вирченко С. Б., Красильщиков К. Б., Харченко Н. М. Исследование механизмов нормализации моторной и эвакуаторной функций желудка после селективной проксимальной ваготомии.—В кн.: Хирургия язвенной болезни и заболеваний оперированного желудка. Ташкент: Медицина, 1982, с. 169—170.
 - Зубеев П. С., Чернявский А. А., Михайлов Н. Г. Изменения кислотопродуцирующей и ощелачивающей функций желудка после селективной проксимальной ваготомии.—Там же, с. 186—188.
 - Матросова Е. М., Курыгин А. А., Гройсман С. Д. Ваготомия.—Л.: Наука, 1981.—212 с.
 - Саенко В. Ф., Полинкевич Б. С., Терзова Т. Б., Булах А. П. Изменение кислотно-протеолитической активности и некоторых защитных факторов желудочной секреции после селективной проксимальной ваготомии: Тез. Всесоюз. конф. по органо-сохраняющим операциям (ваготомии) при язвенной болезни желудка и двенадцатиперстной кишки. М., 1978, с. 46—47.
 - Boiselle J. C., Kozé C., Vatier E. Action du 2-desoxyglucose sur la sécrétion gastrique et la contraction musculaire antrale anant et après vagotomie supra-sélective chez le chien.—Biol. et gastro-enterol., 1976 (1977), 9, N 4, p. 297.
 - Faxen A., Kewenter J., Kock N. Gastric emptying and acid secretion during first postoperative year after parietal cell vagotomy.—Scand. J. Gastroenter., 1978, 14, N 5, p. 551—556.
 - Gottrup F., Orusholt J., Andersen D. Effect of two types—adrenergic blockade on gastric acid secretion during pentagastrin stimulation in non-vagotomized and vagotomized gastric fistulae dogs.—Scand. J. Gastroenterol., 1979, 14, N 7, p. 857—864.
 - Grossman M. I. Does vagotomy reduce maximal acid secretion in man.—Gastroenterology, 1972, 63, N 2, p. 383—384.
 - Holle F., Kissler K., Schöneich R. Effect of SPV on gastric secretion in dogs in insulin tests and sham feeding.—Vagotomy. Latest advances with special reference to gastric and duodenal ulcers disease. Berlin etc., 1974, p. 68—71.
 - Legros G., Griffith C. A. The permanence of adequate incomplete vagotomy: a preliminary study in dogs.—Surgery, 1970, 67, N 4, p. 654—657.
 - Modlin I. M., Sank A., Albert D. Current aspects of gut hormone.—Journ. Surg. Research., 1981, 30, N 3, p. 602—618.
 - Ornsholt J., Parmeggiani A., Andersen D., Amstrup E. Gastric acid secretion capacity before, at 3 months and 1 year following parietal cell vagotomy and selective gastric vagotomy.—Scand. J. Gastroenterol., 1977, 12, Suppl. 115, p. 115.
 - Sebus J., Charbon G. A. Partial vagotomy and gastric secretion in dogs.—Gastroenterology, 1963, 44, N 3, p. 311—315.
 - Utnäs B. The part played by the pyloric region in the cephalic phase of gastric secretion.—Acta physiol. scand., 1942, Suppl. 13, p. 1—86.

Институт физиологии Киевского университета

Поступила 10.03.83

ФИЗИОЛОГИЧЕСКИЙ ЖУРНАЛ

УДК 612.826.4;612.825+612.826;612.3:612.0

З. А. Д о б р о в о л ь с

АМИГДАЛО-ГИ В РЕГУЛЯЦИИ МОТО- ПИЩЕВ.

Исследованиями в остратах установлено, что гипомоторной функции желудка интенсивное изучение участия в частности, ядер миндалины деятельности пищеварительного аппарата между гипоталамусом и мимикческими связями [14, 15] показано существование [17]. Кроме того, получены действий этих структур и приема пищи и воды [3], имеющих ядер миндалины гуляции моторной активности. Вопросу не было уделено внимания образований центральной регуляции эвакуаторной функции. Время выяснение этих вопросов центральных механизмов ного тракта.

Мы изучали влияния муса, проявляющиеся в работе желудочно-кишечной

M

Опыты проводили в условиях желудка, тонкого и толстого кишечника, баллонно-графическим методом у накормленных со-
($d=7-10$ мм, $l=2$ см) или ши-
веком 1,1. При этом регистриро-
вали на 10 см, или вычисляли сред-
нюю длину подвздошной кишки,
на 20—30 см дистальнее первой

Изучаемые структуры мо-
(сила — 0,05—0,3 мА, частота —
чении влияния миндалевидных
кузин желудочно-кишечного
миндалевидного комплекса и п.
Локализацию электродов опре-
деленной обработки в сопоставле-

Результаты

В результате экспериментального раздражения гипоталамуса тонус желудка, тонус раздражение структур ядра, туберальные ядра

УДК 612.826.4:612.825+612.826;612.3:612.018

З. А. Д обровольская, В. А. Губкин, В. А. М отузный

АМИГДАЛО-ГИПОТАЛАМИЧЕСКИЕ ВЛИЯНИЯ В РЕГУЛЯЦИИ МОТОРНОЙ И ЭВАКУАТОРНОЙ ФУНКЦИЙ ПИЩЕВАРИТЕЛЬНОГО ТРАКТА

Исследованиями в острых [10, 18] и хронических [2, 7] экспериментах установлено, что гипоталамус играет важную роль в регуляции моторной функции желудочно-кишечного тракта. Проводится также интенсивное изучение участия структур лимбической системы мозга и, в частности, ядер миндалевидного комплекса в регуляции двигательной деятельности пищеварительного аппарата [4, 11, 12, 19]. Как известно, между гипоталамусом и миндалевидными ядрами имеются тесные анатомические связи [14, 15]. В электрофизиологических исследованиях показано существование гипоталамо-амигдалярных взаимосвязей [8, 17]. Кроме того, получены данные о наличии функциональных взаимодействий этих структур мозга в регуляции поведенческих реакций [9] и приема пищи и воды [3, 16]. Что же касается функциональных взаимоотношений ядер миндалевидного комплекса и гипоталамуса в регуляции моторной активности желудочно-кишечного тракта, то этому вопросу не было уделено внимания. Совсем не изучалась роль указанных образований центральной нервной системы и их взаимодействие в регуляции эвакуаторной функции пищеварительного аппарата. В то же время выяснение этих вопросов имеет большое значение для понимания центральных механизмов регуляции деятельности желудочно-кишечного тракта.

Мы изучали влияния миндалевидных ядер на структуры гипоталамуса, проявляющиеся в регуляции моторной и эвакуаторной деятельности желудочно-кишечного тракта.

Методика исследований

Опыты проводили в условиях хронического эксперимента на собаках с фистулами желудка, тонкого и толстого кишечника и электродами, вживленными в гипоталамус и миндалевидные ядра [5, 6]. Моторную деятельность у голодных животных регистрировали баллонно-графическим методом. Скорость продвижения химуса по тонкому кишечнику у накормленных собак определяли с помощью полиуретанового болюса ($d=7-10$ мм, $l=2$ см) или шариков из пищевой резины ($d=1-1,5$ мм) с удельным весом 1,1. При этом регистрировали время, за которое болюс продвигался по кишке на 10 см, или вычисляли среднюю скорость продвижения 10 шариков, введенных в фистулу подвздошной кишки, по времени появления их из фистулы, расположенной на 20–30 см дистальнее первой.

Изучаемые структуры мозга раздражали синусоидальным электрическим током (сила — 0,05–0,3 мА, частота — 50 Гц, длительность раздражения — 1 мин). При изучении влияния миндалевидных ядер на гипоталамическую регуляцию моторики и эвакуации желудочно-кишечного тракта применяли предварительное раздражение ядер миндалевидного комплекса и последующее (через 15–30 с) раздражение гипоталамуса. Локализацию электродов определяли после окончания опытов с помощью стереометрической обработки в сопоставлении с картами мозга собаки по [1 и 13].

Результаты исследований и их обсуждение

В результате экспериментов по изучению влияний раздельного раздражения гипоталамуса и миндалевидных ядер на двигательную деятельность желудка, тонкого и толстого кишечника установлено, что раздражение структур среднего гипоталамуса (вентромедиальные ядра, туберальные ядра, средняя часть латерального гипоталамуса)

током 0,1—0,3 мА на фоне покоя пищеварительного аппарата приводит к возбуждению моторики желудка, тонкого и толстого кишечника (рис. 1, а). При раздражении этих же частей гипоталамуса во время работы желудочно-кишечного тракта наблюдается кратковременное торможение сокращений всех его отделов с последующим их усиливанием. Раздражение структур заднего гипоталамуса (мамиллярные ядра, каудальная часть латерального гипоталамуса) током 0,1—0,3 мА

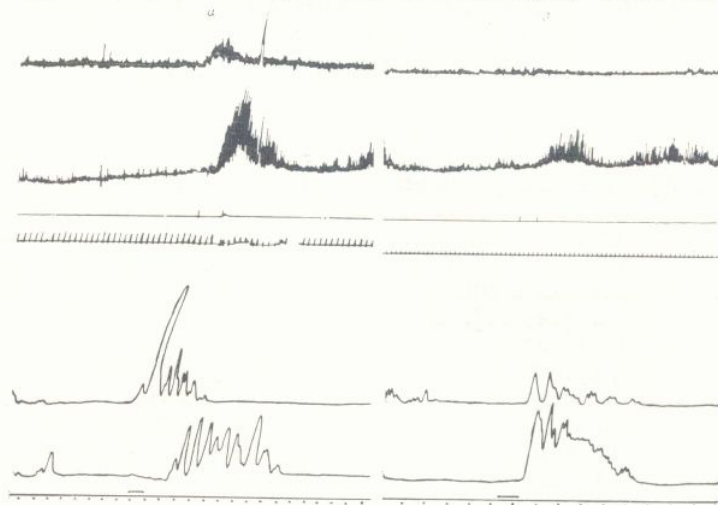


Рис. 1. Влияние раздражения структур среднего гипоталамуса током 0,2 мА (а) и мелкоклеточных базальных ядер миндалевидного комплекса током 0,2 мА (б) на моторику желудочно-кишечного тракта.

Сверху вниз: сокращения желудка, сокращения тонкого кишечника, отметка раздражения, отметка времени (10 с), сокращения проксимального, сокращения дистального отдела толстой кишки, отметка раздражения, отметка времени (60 с).

в период покоя пищеварительного аппарата не вызывало сокращений желудка, тонкого и толстого кишечника, а на фоне работы тормозило их моторику (рис. 3, а).

При раздражении кортикальных, медиальных и центральных ядер миндалевидного комплекса током 0,1—0,3 мА наблюдалось в основном возбуждение моторной активности во время покоя и торможение сокращений на фоне работы. Возбуждающие реакции моторики в период покоя или слабой моторной активности (рис. 1, б) и ее тормозные эффекты во время работы пищеварительного тракта возникали в большинстве случаев также при стимуляции мелкоклеточных базальных ядер.

При раздражении крупноклеточных базальных ядер не наблюдалось четких изменений сократительной деятельности, хотя при этом легче проявлялись усиливающие эффекты моторики на фоне слабой моторной активности желудка и кишечника и тормозные реакции во время их работы.

Результаты опытов по изучению влияний миндалевидных ядер на гипоталамическую регуляцию моторики пищеварительного аппарата показали, что предварительное раздражение кортикальных, медиальных или мелкоклеточных базальных ядер током 0,1—0,3 мА и последующее (через 30 с) раздражение структур среднего гипоталамуса током такой же силы во время покоя желудочно-кишечного тракта вызывало возбуждение его двигательной деятельности. Это возбуждение было более продолжительным, чем наблюдавшееся при раздельном раздражении указанных структур мозга. Оно начиналось в момент раздражения миндалевидных ядер и продолжалось после выключения раздражения гипоталамуса (рис. 2).

При таком же раздражении мелкоклеточных базальных ядер него гипоталамуса на фоне раздражения каудальной части латерального гипоталамуса наблюдалось торможение его моторики. При раздражении структур среднего гипоталамуса током 0,1—0,3 мА наблюдалось усиление сокращений.

Рис. 2. Влияние предварительного раздражения мелкоклеточных базальных ядер миндалевидного комплекса током 0,2 мА и последующего раздражения структур среднего гипоталамуса током 0,2 мА на моторику желудочно-кишечного тракта.

Обозначения см. рис. 1.

После предварительного раздражения ядер миндалевидного комплекса током 0,2 мА моторика желудочно-кишечного тракта возбуждена.

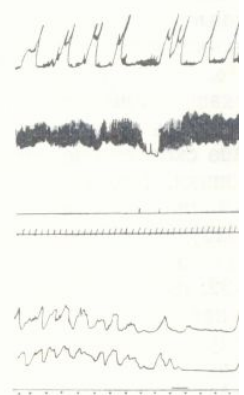


Рис. 2. Влияние предварительного раздражения мелкоклеточных базальных ядер миндалевидного комплекса током 0,2 мА и последующего раздражения структур среднего гипоталамуса током 0,2 мА.

в период покоя и работы пищеварительного аппарата моторика желудка и кишечника усиливается.

Раздражение структур среднего гипоталамуса током 0,1—0,3 мА приводит к торможению моторики желудка и кишечника.

При таком же раздражении кортикальных, медиальных или мелкоклеточных базальных ядер миндалевидного комплекса и структур среднего гипоталамуса на фоне работы пищеварительного аппарата наблюдалось торможение его моторики, начинавшееся при раздражении миндалевидных ядер и продолжавшееся (1—3 мин) после выключения раздражения гипоталамуса. Далее это торможение сменялось усиливением сокращений.

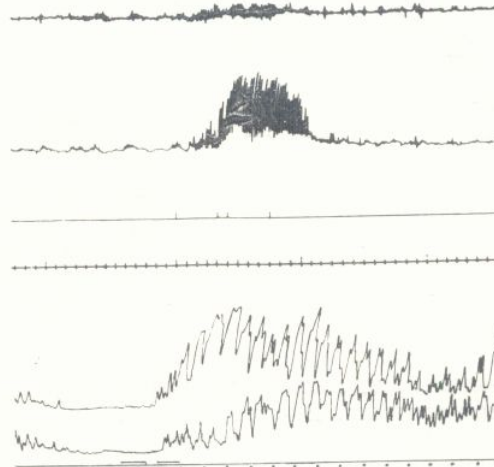


Рис. 2. Влияние предварительного раздражения мелкоклеточных базальных ядер миндалевидного комплекса током 0,2 мА и последующего раздражения структур среднего гипоталамуса током 0,2 мА на моторику желудочно-кишечного тракта.
Обозначения см. рис. 1.

После предварительного раздражения крупноклеточных базальных ядер миндалевидного комплекса током 0,1—0,2 мА последующая стимуляция средней части латерального гипоталамуса током 0,1—0,3 мА

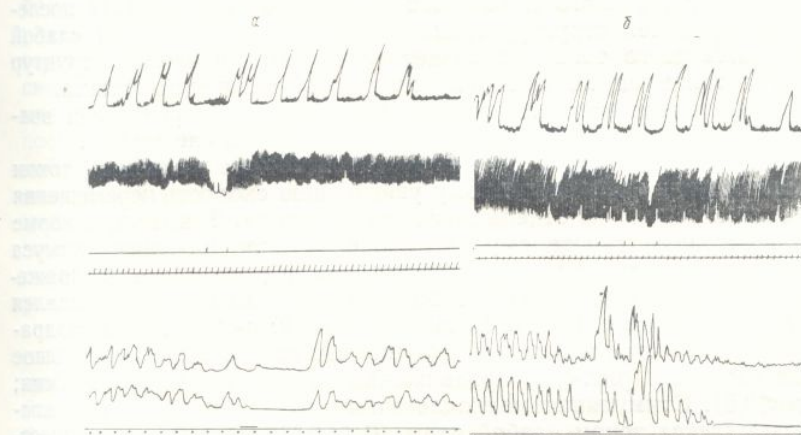


Рис. 3. Влияние раздражения мамиллярных ядер гипоталамуса током 0,2 мА (а), предварительного раздражения мелкоклеточных базальных ядер миндалевидного комплекса током 0,08 мА и последующего раздражения мамиллярных ядер гипоталамуса током 0,2 мА (б) на моторику желудочно-кишечного тракта.
Обозначения см. рис. 1.

в период покоя и работы желудочно-кишечного тракта вызывала реакции моторики желудка и кишечника, которые существенно не отличались от наблюдавшихся при раздельном раздражении гипоталамуса.

Раздражение структур заднего гипоталамуса и, в частности, мамиллярных ядер током 0,1—0,3 мА во время покоя пищеварительного аппарата после предварительного раздражения кортикальных, медиаль-

ных или мелкоклеточных базальных ядер миндалевидного комплекса возбуждало моторику кишечника и реже желудка, тогда как при изолированном раздражении этих структур гипоталамуса такой реакции не наблюдалось.

После предварительного слабого ($0,05-0,1$ мА) раздражения указанных выше структур миндалевидного комплекса не наблюдалось торможения моторики желудка и кишечника, обычно возникавшего при раздражении мамиллярных ядер на фоне активной сократительной

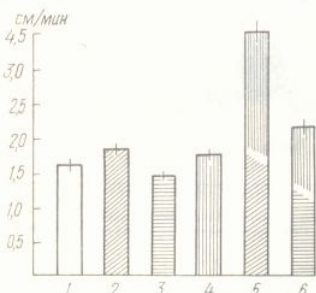


Рис. 4. Влияние раздражения гипоталамуса и миндалевидных ядер на скорость продвижения химуса по тонкому кишечнику.

1 — скорость продвижения химуса в норме, 2 — при раздражении вентромедиальных ядер гипоталамуса ($0,05$ мА), 3 — при раздражении мамиллярных ядер гипоталамуса ($0,1-0,2$ мА), 4 — при раздражении мелкоклеточных базальных ядер миндалевидного комплекса ($0,05$ мА), 5 — при предварительном раздражении мелкоклеточных базальных ядер и последующем раздражении вентромедиальных ядер, 6 — при предварительном раздражении мелкоклеточных базальных ядер и последующем раздражении мамиллярных ядер.

деятельности пищеварительного аппарата (рис. 3, б), или оно было незначительным. В опытах, где применялась более сильная стимуляция мелкоклеточных базальных ядер ($0,2-0,3$ мА), ослабляющая моторную активность желудочно-кишечного тракта, последующее раздражение мамиллярных ядер приводило к резкому торможению моторики желудка, тонкого и толстого кишечника.

Таким образом, предварительное раздражение группы кортико-медиальных и мелкоклеточных базальных ядер миндалевидного комплекса приводит к усилению возбуждающих и тормозных двигательных реакций желудка, тонкого и толстого кишечника, вызываемых последующей стимуляцией структур среднего гипоталамуса, и (при слабой силе раздражающего тока) ослабляет тормозные влияния структур заднего гипоталамуса на моторику желудочно-кишечного тракта.

Изучение влияний исследуемых структур мозга в регуляции эвакуаторной деятельности тонкого кишечника показало следующее.

Раздражение структур среднего гипоталамуса слабым током $0,05$ мА приводит к незначительному увеличению скорости перемещения химуса в проксимальном отделе подвздошной кишки. Так, если в норме (без раздражения гипоталамуса) скорость продвижения химуса (рис. 4, 1) составляла $1,63 \pm 0,18$ см/мин ($n=112$), то после раздражения вентромедиальных ядер гипоталамуса химус перемещался (рис. 4, 2) со скоростью $1,84 \pm 0,19$ см/мин ($n=32$; $p<0,5$). При раздражении мамиллярных ядер током $0,1-0,2$ мА наблюдалось небольшое снижение скорости (рис. 4, 3) продвижения химуса ($1,44 \pm 0,13$ см/мин; $n=40$; $p<0,5$). Стимуляция мелкоклеточных базальных ядер миндалевидного комплекса током слабой силы ($0,05$ мА) не вызывала существенных изменений скорости перемещения химуса ($1,73 \pm 0,17$ см/мин; $n=32$; $p>0,5$) в подвздошной кишке (рис. 4, 4).

При раздражении среднего гипоталамуса после предварительной стимуляции миндалевидных ядер наблюдалось значительное по сравнению с раздельным раздражением гипоталамуса увеличение скорости продвижения химуса ($3,51 \pm 0,31$ см/мин; $n=24$; $p<0,001$; рис. 4, 5).

После предварительного раздражения мелкоклеточных базальных ядер стимуляции мамиллярных ядер не вызывала снижения скорости перемещения химуса как изолированное их раздражение, а напротив, при таком раздражении отмечалось увеличение скорости продвижения химуса ($2,13 \pm 0,23$ см/мин; $n=24$; $p<0,01$; рис. 4, 6).

Следовательно, предварительные раздражения ядер миндалевидного комплекса тонкого кишечника, ламуса, поникающие скопления.

Результаты проведенного исследования, что не только гипоталамус, но и другие структуры среднего гипоталамуса принимают участие в регуляции желудочно-кишечного тракта.

Усиление реакции вегетативного аппарата в период покоя и желудочно-кишечного тракта, химуса в тонком кишечнике, гипоталамуса после раздражения медиальных или мелкоклеточных базальных ядер миндалевидного комплекса, указывает на манипулирующее влияние на двигательную и нервную тракты.

Крупноклеточные базальные структуры латерального и медиального края тонкого кишечника, между которыми регистрируются манулы, возникающие при раздражении гипоталамуса.

Наблюданное ослабление деятельности пищеварительного аппарата в тонком кишечнике при раздражении вентромедиальных ядер миндалевидного комплекса, указанные миндалевидные структуры гипоталамуса, свойственных им тормозящие химуса в желудочно-кишечном тракте, последовательности раздражения наблюдаться возбуждая аппарат и усиливая эвакуацию, позволяет предположить, что моторику и эвакуацию усиливает эти функции.

Результаты наших отдельных исследований Каадыции при раздражении базального ядра, тогда базального ядра имели бы также результаты экспериментальных моторных реакций тонкого кишечника, кортикальных медиальных комплексов.

В то же время эти данные [12], который на основе которых пришел к выводу, что изменения кровяного давления, тонкого кишечника и мочевого канала миндалевидных ядер, возникающие на которые структуры, дулирующее влияние.

Следовательно, предварительное раздражение мелкоклеточных базальных ядер миндалевидного комплекса стимулирует активность структур среднего гипоталамуса, усиливающих эвакуаторную деятельность тонкого кишечника, и угнетает структуры заднего отдела гипоталамуса, понижающие скорость продвижения химуса в кишечнике.

Результаты проведенных нами исследований свидетельствуют о том, что не только гипоталамус, но и ядра миндалевидного комплекса принимают участие в регуляции моторной и эвакуаторной функций желудочно-кишечного тракта, находясь в определенной функциональной связи.

Усиление реакции возбуждения моторики пищеварительного аппарата в период покоя и реакции торможения во время работы желудочно-кишечного тракта, а также увеличение скорости продвижения химуса в тонком кишечнике, вызванные раздражением структур среднего гипоталамуса после предварительной стимуляции кортикальных, медиальных или мелкоклеточных базальных ядер миндалевидного комплекса, указывает на то, что миндалевидные ядра оказывают стимулирующее влияние на структуры среднего гипоталамуса, регулирующие двигательную и эвакуаторную деятельность желудочно-кишечного тракта.

Крупноклеточные базальные ядра миндалевидного комплекса и структуры латерального гипоталамуса, по-видимому, функционально мало связаны между собой, так как при их последовательном раздражении регистрируются моторные реакции желудка и кишечника, подобные возникающим при раздражении только структур латерального гипоталамуса.

Наблюданное ослабление или устранение торможения двигательной деятельности пищеварительного тракта и эвакуации в тонком кишечнике при раздражении структур заднего гипоталамуса после предварительной слабой стимуляции кортикомедиальных и мелкоклеточных базальных ядер миндалевидного комплекса позволяет заключить, что указанные миндалевидные ядра оказывают угнетающее влияние на эти структуры гипоталамуса, вследствие чего и происходит ослабление свойственных им тормозных влияний на моторику и скорость продвижения химуса в желудочно-кишечном тракте. Тот факт, что при такой последовательности раздражения указанных структур мозга могут наблюдаться возбуждающие реакции моторики пищеварительного аппарата и усиление эвакуаторной деятельности тонкого кишечника, позволяет предположить, что, вероятно, в условиях угнетения тормозящих моторику и эвакуацию структур заднего гипоталамуса облегчается проявление активности тех гипоталамических структур, которые усиливают эти функции желудочно-кишечного тракта.

Результаты наших опытов в определенной мере подтверждают данные исследований Каады и сотр. [11], наблюдавших вегетативные реакции при раздражении кортикомедиальных ядер и медиальной части базального ядра, тогда как латеральные ядра и латеральная часть базального ядра имели большее отношение к поведенческим реакциям, а также результаты экспериментов Ростада [19], отмечавшего четкие моторные реакции толстой кишки у кошек только при стимуляции медиальных, кортикальных и мелкоклеточных базальных ядер миндалевидного комплекса.

В то же время эти данные согласуются с заключением Койкегами [12], который на основании анализа своих и литературных данных пришел к выводу, что изменения уровня сахара в крови, секреции слюны, кровяного давления, сократительной деятельности желудочно-кишечного тракта и мочевого пузыря, наблюдавшиеся при раздражении миндалевидных ядер, возникают при участии гипоталамических центров, на которые структуры миндалевидного комплекса оказывают модулирующее влияние.

Итак, на основании полученного экспериментального материала можно прийти к выводу, что регуляция моторной и эвакуаторной деятельности пищеварительного аппарата осуществляется совместными влияниями структур гипоталамуса и миндалевидного комплекса. При этом кортикомедиальная группа и мелкоклеточные базальные ядра миндалины оказывают облегчающее влияние на структуры среднего гипоталамуса, возбуждающие двигательную и эвакуаторную деятельность желудочно-кишечного тракта, и ослабляют активность механизмов заднего гипоталамуса, тормозящих эти функции пищеварительного аппарата.

Список литературы

1. Адрианов О. С., Меринг Т. А. Атлас мозга собаки.—М.: Медгиз, 1959.—237 с.
2. Богач П. Г. Механизмы нервной регуляции моторной функции тонкого кишечника.—Киев : Изд-во Киев. ун-та, 1961.—343 с.
3. Богач П. Г., Каревина Т. Г. Об участии миндалевидных ядер в регуляции потребления воды.—Пробл. физиологии гипоталамуса, 1973, вып. 7, с. 32—37.
4. Богач П. Г., Коваль Л. А. Об участии лимбической коры и миндалевидных ядер в регуляции моторной функции желудочно-кишечного тракта.—Бюл. эксперим. биологии и медицины, 1968, 65, № 3, с. 11—15.
5. Богач П. Г., Косенко А. Ф. Методика наложения многополюсных электродов на гипоталамическую область у собак для хронического эксперимента.—Физиол. журн. СССР, 1956, 42, № 11, с. 988—992.
6. Неген Дине Зау. Методика вживления багатополюсних електродів у міндалевидні ядра, гіпокампус і поясну звивину у собак для хронічних експериментів.—Фізіол. журн., 1966, 12, № 5, с. 695—697.
7. Несен К. И. Нервные и гуморальные пути передачи влияний с гипоталамуса на моторику желудочно-кишечного тракта: Автореф. дис....канд. биол. наук.—Киев, 1963.—17 с.
8. Соллертиńska Т. Н., Лякас Р. И. Исследование организации гипоталамо-амигдалярной системы у кроликов.—Физиол. журн. СССР, 1977, 63, № 5, с. 638—647.
9. Egger M. D. Flynn J. P. Effects of electrical stimulation of the amygdala on hypothalamically elicited attack behavior in cats.—J. Neurophysiol., 1963, 26, p. 705—720.
10. Heslop T. S. The hypothalamus and gastric motility.—Quart. J. Exp. Physiol., 1938, 28, N 4, p. 335—340.
11. Kaada B. K., Andersen P., Jansen J. Stimulation of the amygdaloid nuclear complex in unanesthetized cats.—Neurology (Minneapolis), 1954, 4, N 1, p. 48—64.
12. Koikegami H. Amygdala and other related limbic structures; experimental studies on the anatomy and function. 2. Functional experiments.—Acta med. biol., 1964, 12, N 2/3, p. 73—266.
13. Lim R. K. S., Chan-Nao Liu, Moffitt R. L. A stereotaxic atlas of dog's brain.—Springfield, 1960.—93 p.
14. McBride R. L., Sutin J. Amygdaloid and pontine projections to the ventromedial nucleus of the hypothalamus.—J. Comp. Neurol., 1977, 174, N 3, p. 377—396.
15. Nauta W. J. H. Hippocampal projections and related neural pathway to the midbrain in the cat.—Brain, 1958, 81, N 2, p. 319—340.
16. Oomura Y. (Оомура И.) Нейронный контроль питания.—В кн.: Айрапетянц Э. Ш., Сотников Т. С. Лимбика. Л.: Наука, 1967, с. 103—104.
17. Renaud L. P., Hopkins D. A. Amygdala afferents from the mediobasal hypothalamus: an electrophysiological and neuroanatomical study in the rat.—Brain Res., 1977, 121, N 2, p. 201—213.
18. Rostad H. Colonic motility in the cat. 3. Influence of hypothalamic and mesencephalic stimulation.—Acta physiol. scand., 1973, 89, N 1, p. 104—115.
19. Rostad H. Colonic motility in the cat. 5. Influence of telencephalic stimulation and the peripheral pathways mediating the effects.—Acta physiol. scand., 1973, 89, N 1, p. 169—181.

Институт физиологии
Киевского университета

Поступила 03.10.81

УДК 612.31/36.015.1.31

Е. Н. Панасюк, Б. В. Г.
А. И. Жукова, А.

КОРРЕЛЯ МЕДИАТОРНО-ФЕР В СЕКРЕТОРНЫХ ОР

В ранее проводимых ские и парасимпатические тельного тракта реализую участии мембранных и ци

Вместе с тем известна проницаемость клеточных деляющие функциональные ферментных систем, интеграторных соков, тесно [1, 4, 14, 15]. Секреторны в то же время важным водно-солевого обмена, в ный баланс, контролируя тверждается данными, по круговорота солей с же риттельного тракта, как осморегулирующего рефл

Мы изучали холинэкс секреторных органов пи в них катехоламинов и К нальном состоянии пище изучаемых показателей.

Работа выполнена в условии Исследуемые ткани печени, по толстой кишки извлекали у нее 30 мин после внутривенного введения — 0,1 мл 0,1 % раствора приема хлеба, мяса или молока

В гомогенатах слизистой дочной железы, печени определяли моноаминоаксидазную — по методу Гома. Содом пламенной фотометрии FL-Biotest.

Ферментную активность в лей субстрата (ацетилхолина, раствора. Содержание ионов в исследований обработаны статистическими считали различия М-6000.

Определение холинэкс тивности (МАОа) и содержимый уровень этих показат

По уровню ХЭа сек можно распределить в та

УДК 612.31/36.015.1.31

Е. Н. Панасюк, Б. В. Гаталяк, Ю. В. Онищенко, М. Ф. Тимошко,
А. И. Жукова, А. Н. Копытко, Л. Б. Куцык, А. Я. Бук

КОРРЕЛЯЦИОННАЯ ЗАВИСИМОСТЬ МЕДИАТОРНО-ФЕРМЕНТНЫХ И ИОННЫХ ПРОЦЕССОВ В СЕКРЕТОРНЫХ ОРГАНАХ ПИЩЕВАРИТЕЛЬНОГО ТРАКТА

В ранее проводимых исследованиях установлено, что симпатические и парасимпатические влияния на секреторные органы пищеварительного тракта реализуются на уровне субклеточных образований при участии мембранных и цитоплазматических ферментов [9, 7, 11, 12, 13].

Вместе с тем известно, что возбудимость секреторных органов, проницаемость клеточных мембран для ионов калия и натрия, определяющие функциональное состояние секреторных клеток, активность ферментных систем, интенсивность секреции и характер состава пищеварительных соков, тесно связаны с минеральным обменом в организме [1, 4, 14, 15]. Секреторные органы пищеварительного тракта, являясь в то же время важным компонентом сложного механизма регуляции водно-солевого обмена, в значительной степени влияют на электролитный баланс, контролируя как натрийурез, так и гидроурез. Это подтверждается данными, полученными при изучении энтеро-гепатического кругооборота солей с желчью и установлением роли органов пищеварительного тракта, как важного осморецепторного поля, сложного осморегулирующего рефлекса [4, 5, 6].

Мы изучали холинэстеразную и моноаминоксидазную активность секреторных органов пищеварительного тракта, а также содержание в них катехоламинов и K^+ , Na^+ , Ca^{++} , Mg^{++} при различном функциональном состоянии пищеварительных желез и возможную корреляцию изучаемых показателей.

Методика исследований

Работа выполнена в условиях острых опытов на собаках и половозрелых крысах. Исследуемые ткани печени, поджелудочной железы, слизистой оболочки желудка и толстой кишки извлекали у интактных животных (контрольные определения) и через 30 мин после внутривенного введения ацетилхолина — 0,1 мл 0,1 % раствора; адреналина — 0,1 мл 0,1 % раствора (опытные определения), а также через 30 мин после приема хлеба, мяса или молока до полного насыщения животных.

В гомогенатах слизистой оболочки желудка, толстого кишечника, ткани поджелудочной железы, печени определяли холинэстеразную активность методом Хестрина, моноаминоксидазную — по методу Грина, общее содержание катехоламинов в крови и тканях по методу Гома. Содержание ионов калия, натрия, кальция, магния — методом пламенной фотометрии FLAPHO-4 и с помощью стандартных наборов реактивов — Biostest.

Ферментную активность выражали в стандартных единицах — количество мкмоля субстрата (ацетилхолина, тирамина), разрушенных за 1 мин 1 г ткани или 1 мл раствора. Содержание ионов выражали в ммоль/кг ткани или в ммоль/л. Результаты исследований обработаны статистически с вычислением критерия Стьюдента [8]. Достоверными считали различия при $p < 0,05$. Корреляционный анализ провели на ЭВМ M-6000.

Результаты исследований

Определение холинэстеразной (ХЭа) и моноаминоксидазной активности (МАОа) и содержания K^+ , Na^+ обнаружило различный исходный уровень этих показателей в исследуемых тканях.

По уровню ХЭа секреторные органы пищеварительного тракта можно распределить в такой последовательности: поджелудочная же-

леза, печень, слизистая оболочка желудка и слизистая оболочка толстого кишечника. По МАОа — печень, слизистая оболочка желудка, поджелудочная железа, слизистая оболочка толстой кишки. По содержанию ионов калия — слизистая толстого кишечника, печень, слизистая оболочка желудка и ткань поджелудочной железы. По содержанию ионов натрия — слизистая оболочка толстого кишечника, поджелудочная железа, печень, слизистая оболочка желудка.

Таблица 1

Ферментная активность и содержание ионов натрия и калия в тканях секреторных органов пищеварительного тракта при пищевом возбуждении,
 $M \pm m$

Исследуемые ткани	Холинэстеразная активность			Монозминоксидазная активность		
	Контроль	Опыт	p	Контроль	Опыт	p
Слизистая оболочка желудка	0,73±0,05	0,29±0,03	<0,05	11,5±2,8	29,6±3,0	<0,05
Поджелудочная железа	0,86±0,065	0,87±0,09	>0,05	6,6±1,25	7,1±1,07	>0,05
Печень	0,8±0,05	0,3±0,06	<0,05	34,1±1,12	40,5±1,42	<0,05
Слизистая оболочка толстой кишки	0,34±0,007	0,15±0,006	<0,05	1,7±0,12	2,5±0,19	<0,05
Исследуемые ткани	Содержание Na^+			Содержание K^+		
	Контроль	Опыт	p	Контроль	Опыт	p
Слизистая оболочка желудка	54,6±4,6	47,4±4,4	>0,05	53,8±3,8	56,5±5,4	>0,05
Поджелудочная железа	129,7±3,2	131,6±0,7	>0,05	26,0±0,9	25,85±0,6	>0,05
Печень	73,8±1,8	88,2±2,7	<0,05	87,8±1,7	54,3±2,6	<0,05
Слизистая оболочка толстой кишки	162,9±7,65	180,1±8,4	<0,05	93,9±4,92	116,3±7,9	<0,05

При пищевом возбуждении, достигаемом скармливанием животным хлеба, мяса, молока, несмотря на различный исходный уровень ферментной активности исследуемых тканей, четко выступает общая закономерность: статистически достоверное понижение ХЭа слизистой оболочки желудка, печени и слизистой оболочки толстой кишки, причем более выраженные изменения отмечены в тканях с большей исходной ферментной активностью.

МАОа исследуемых тканей статистически достоверно повышается за исключением поджелудочной железы, где наблюдается лишь тенденция к повышению (табл. 1). Содержание Na^+ повышается в ткани печени и слизистой оболочке толстой кишки, содержание K^+ в указанных тканях изменяется разнонаправленно — в ткани печени понижается, а в слизистой оболочке толстой кишки — повышается. В поджелудочной железе и слизистой оболочке желудка изменения содержания ионов натрия и калия незначительны.

Данные корреляционного анализа свидетельствуют о выраженной отрицательной зависимости между показателями ХЭа и содержанием ионов натрия ($r=-0,85$) в ткани печени и положительной корреляционной зависимости между показателями МАОа и содержанием ионов

натрия ($r=+0,87$) в слизистую соотношения наблюдаются ионов калия в ткани печени. Коэффициент корреляции был 1,1, что свидетельствует о сильную связь между изменениями.

Влияние ацетилхолина на ферментную активность и содержание ионов калия в тканях секреторных органов пищеварительного тракта при пищевом возбуждении,

Исследуемые ткани	Холинэстеразная активность		Содержание ионов калия
	Контроль	Опыт	
Слизистая оболочка желудка	0,73±0,05	0,29±0,03	54,6±4,6
Поджелудочная железа	0,86±0,065	0,87±0,09	126,9±7,3
Печень	0,8±0,05	0,3±0,06	104,8±2,1
Слизистая оболочка толстой кишки	0,34±0,007	0,15±0,006	162,9±7,65

Важно отметить, что одного и того же фермента (хлеб, мясо, молоко) при приеме пищи наиболее выраженная активность выявляется при приеме хлеба и жижа, наименее выраженная активность — после приема мяса.

При пищевом возбуждении активности в слизистой оболочке толстой кишки содержание катехоламинов в 4,8 раза.

Содержание натрия и калия в тканях секреторных органов пищеварительного тракта при пищевом возбуждении в слизистой оболочке толстой кишки повышается в 2,5 раза.

Таким образом, деятельность слизистой оболочки толстой кишки характеризуется существенным повышением содержания ионов калия.

В табл. 2 представлены данные о ферментной активности и содержании ионов калия в тканях печени и поджелудочной железы.

натрия ($r=+0,87$) в слизистой оболочке толстой кишки, аналогичные соотношения наблюдаются между показателями ХЭа и содержанием ионов калия в ткани печени ($r=+0,86$). В остальных случаях коэффициент корреляции был меньше 0,5, что указывает на слабо выраженную связь между изменениями изучаемых показателей.

Таблица 2.

Влияние ацетилхолина на ферментную активность и содержание ионов натрия и калия в тканях секреторных органов пищеварительного тракта, $M \pm m$

Исследуемые ткани	Холинэстеразная активность			Моноаминоксидазная активность		
	Контроль	Опыт	<i>p</i>	Контроль	Опыт	<i>p</i>
Слизистая оболочка желудка	0,73 ± 0,05	0,49 ± 0,02	< 0,05	11,5 ± 2,8	28,63 ± 4,8	< 0,05
Поджелудочная железа	0,86 ± 0,065	0,68 ± 0,06	> 0,05	6,36 ± 0,43	7,12 ± 0,42	> 0,05
Печень	0,8 ± 0,05	1,5 ± 0,07	< 0,05	34,1 ± 1,12	48,6 ± 0,4	< 0,05
Слизистая оболочка толстой кишки	0,34 ± 0,007	0,27 ± 0,004	< 0,05	3,8 ± 0,24	5,7 ± 0,13	< 0,05
Исследуемые ткани	Содержание Na^+			Содержание K^+		
	Контроль	Опыт	<i>p</i>	Контроль	Опыт	<i>p</i>
Слизистая оболочка желудка	54,6 ± 4,6	45,2 ± 2,6	> 0,05	53,8 ± 3,8	59,6 ± 2,6	> 0,05
Поджелудочная железа	126,9 ± 7,3	119,0 ± 9,11	> 0,05	25,1 ± 0,7	28,8 ± 0,7	> 0,05
Печень	104,8 ± 2,1	89,7 ± 2,2	< 0,05	87,8 ± 1,7	97,5 ± 2,3	< 0,05
Слизистая оболочка толстой кишки	162,9 ± 7,65	106,43 ± 5,34	< 0,05	82,19 ± 4,92	10,0 ± 2,58	< 0,05

Важно отметить, что при одинаковой направленности изменений одного и того же фермента скармливание различных пищевых веществ (хлеб, мясо, молоко) привело к различным количественным изменениям: наиболее выраженное снижение ХЭа и повышение МАОа выявляется при приеме хлеба как наиболее сильного рефлекторного раздражителя, наименее выраженными оказываются изменения ферментной активности после приема молока.

При пищевом возбуждении одновременно с изменениями ферментной активности в слизистой оболочке желудка значительно увеличивается содержание катехоламинов (адреналина в 10,2 раза и норадреналина в 4,8 раза).

Содержание натрия и калия в желудочном соке, выделяющемся в ответ на действие пищевого раздражителя, подвержено незначительным колебаниям (25,4—28,3 ммоль/л натрия и 15,2—18,0 ммоль/л калия).

Таким образом, деяельное состояние пищеварительных желез характеризуется существенными изменениями ферментной активности и содержания ионов.

В табл. 2 представлены результаты влияния ацетилхолина на ферментную активность и содержание ионов натрия и калия в исследуемых тканях. Как видно из представленных данных, ХЭа слизистой оболочки желудка и толстой кишки закономерно понижается, тогда как

ХЭа ткани печени значительно повышается. МАОа всех исследуемых тканей повышается, причем более выражено в слизистой оболочке желудка [(249,6±46,6) % по отношению к исходной величине] и менее значительно в ткани печени и слизистой оболочке толстой кишки, соответственно 176±42,4 и (134±2,8) %.

Содержание ионов в слизистой оболочке желудка и ткани поджелудочной железы изменяется незначительно. Выявлены однократные изменения содержания ионов натрия и калия в ткани печени и

также в ткани кишки, не изменилась в секреции к повышению в ткани.

Содержание ионов натрия в слизистой оболочке желудка и понижает содержание ионов калия в ткани в направленность.

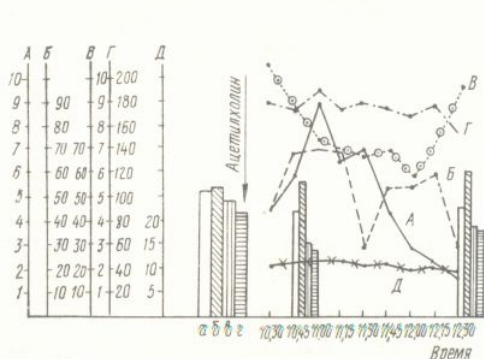
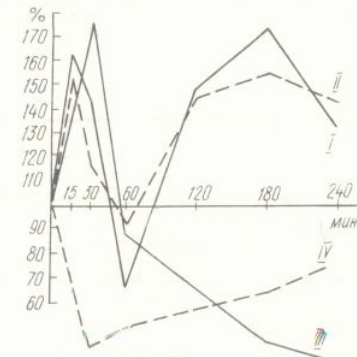


Рис. 1. Влияние ацетилхолина на ионный состав ткани и секрета желудочных желез. А — объем сока, мл; содержание в желудочном соке, в ммоль/л: Б — Na⁺; Г — K⁺; В — Cl⁻; Д — Ca⁺⁺. Содержание в слизистой оболочке желудка, в мкг/100 г: а — Na⁺; б — K⁺; в — Cl⁻; г — Ca⁺⁺.

Рис. 2. Содержание КА (I, III) и МАО (II, IV) в ткани печени после однократного введения норадреналина в дозе 1 мкг/100 г (I и II) и в дозах 100 мкг/100 г (III и IV).



слизистой оболочке толстой кишки под влиянием ацетилхолина — понижение содержания ионов натрия и достоверное повышение содержания ионов калия.

Нами также установлены определенные изменения электролитного состава ткани и секрета желудочных желез после введения ацетилхолина (рис. 1).

На фоне действия парасимпатического медиатора концентрация ионов натрия в желудочном соке находится на довольно высоком уровне, но к концу секреции содержание натрия резко падает. В слизистой оболочке желудка содержание ионов натрия несколько снижается и к концу секреции возвращается к исходному уровню. Содержание калия в желудочном соке находится на низком уровне на протяжении всего опыта. Однако в секреторной ткани количество его в течение опыта повышается и к его окончанию превышает исходные величины.

Желудочный сок, выделяющийся при введении ацетилхолина, содержит значительное количество кальция, почти не изменяющееся в ходе секреции. В крови колебания содержания ионов кальция выражены в значительно меньшей степени.

В секретируемой слизистой оболочке желудка содержание ионов кальция уменьшается на 36 %, а к концу опыта восстанавливается до исходных величин.

Содержание хлоридов в слизистой оболочке желудка после введения ацетилхолина заметно снизилось — особенно в разгар секреции (с 98,4 до 62,4 ммоль/л), а к концу секреции оказалось ниже исходных величин.

В следующей серии исследовали влияние норадреналина на указанные показатели (табл. 3). Под влиянием норадреналина отмечены незначительные колебания ХЭа во всех исследуемых тканях с тенденцией к повышению в слизистой оболочке желудка, поджелудочной железе и к понижению в слизистой оболочке толстой кишки. МАОа дос-

Влияние норадреналина на ионный состав ткани и содержание катехоламинов

Исследуемые ткани	Холинэстераза	
	Контроль	Норадреналин
Слизистая оболочка желудка	0,73±0,05	0,7
Поджелудочная железа	0,86±0,065	0,9
Печень	0,8±0,03	0
Слизистая оболочка толстой кишки	0,32±0,008	0

Исследуемые ткани	Содержание катехоламинов	
	Контроль	Норадреналин
Слизистая оболочка желудка	53,0±1,5	
Поджелудочная железа	129,6±6,06	15
Печень	68,8±2,4	
Слизистая оболочка толстой кишки	146,0±9,1	1

Корреляционный анализ показал положительную корреляцию натрия и МАОа в ткани ($r=+0,81$) и отрицательную показателями в слизистой оболочке толстой кишки. В остальных случаях корреляции отсутствуют.

В следующей серии исследовали влияние норадреналина на содержание катехоламинов (КА) и МАОа в ткани печени и слизистой оболочке толстой кишки при действии норадреналина в различных дозах адреналина (рис. 2).

При действии больших доз норадреналина на ткань печени и слизистую оболочку толстой кишки на всевозможные изменения как содержания

туманной оболочке толстой кишки, не изменилась в слизистой оболочке желудка и имеет тенденцию к повышению в ткани поджелудочной железы.

Содержание ионов натрия достоверно повышается в слизистой оболочке желудка и понижается в слизистой оболочке толстой кишки. Содержание ионов калия в исследуемых тканях имеет противоположную направленность.

Таблица 3

Влияние норадреналина на ферментную активность и содержание ионов натрия и калия в тканях секреторных органов пищеварительного тракта,

$M \pm m$

Исследуемые ткани	Холинэстеразная активность			Моноамиоксидазная активность		
	Контроль	Опыт	p	Контроль	Опыт	p
Слизистая оболочка желудка	0,73 ± 0,05	0,77 ± 0,08	> 0,05	11,5 ± 2,8	11,7 ± 0,8	> 0,05
Поджелудочная железа	0,86 ± 0,065	0,98 ± 0,09	> 0,05	5,91 ± 0,37	7,63 ± 0,52	> 0,05
Печень	0,8 ± 0,03	0,9 ± 0,04	> 0,05	40,7 ± 1,2	48,7 ± 0,8	< 0,05
Слизистая оболочка толстой кишки	0,32 ± 0,008	0,28 ± 0,005	> 0,05	3,36 ± 0,29	6,77 ± 0,7	< 0,05
Исследуемые ткани	Содержание Na^+			Содержание K^+		
	Контроль	Опыт	p	Контроль	Опыт	p
Слизистая оболочка желудка	53,0 ± 1,5	68,2 ± 1,2	< 0,05	52,7 ± 1,3	40,5 ± 0,6	< 0,05
Поджелудочная железа	129,6 ± 6,06	153,41 ± 13,8	> 0,05	39,9 ± 3,0	38,01 ± 2,16	> 0,05
Печень	68,8 ± 2,4	70,8 ± 2,7	> 0,05	106,7 ± 3,1	108,7 ± 2,8	> 0,05
Слизистая оболочка толстой кишки	146,0 ± 9,1	110,5 ± 6,1	< 0,05	66,5 ± 3,1	99,6 ± 2,3	< 0,05

Корреляционный анализ полученных данных показал наличие положительной корреляционной взаимосвязи между содержанием ионов натрия и МАОа в ткани печени при действии норадреналина ($r = +0,81$) и отрицательную корреляционную зависимость между этими же показателями в слизистой оболочке толстой кишки ($r = -0,86$). В остальных случаях корреляционная связь слабо выражена ($r < 0,5$).

В следующей серии изучена динамика изменений содержания катехоламинов (КА) и МАОа крови, ткани печени и слизистой оболочки тонкого кишечника под влиянием различных доз норадреналина — 1 и 100 мкг на 100 г. При действии малых доз норадреналина отмечается двухфазное изменение уровня катехоламинов и МАОа в крови (рис. 2, I и II) и в ткани печени (рис. 3, I и II). В слизистой оболочке тонкого кишечника при действии малых доз норадреналина отмечается однодифазное изменение КА и МАОа (рис. 4, I и II) аналогично изменениям содержания КА и МАОа в ткани печени и крови при действии токсических доз адреналина (рис. 2—3, III—IV).

При действии больших доз норадреналина в слизистой оболочке тонкого кишечника на всем протяжении опыта отмечается устойчивое понижение как содержания катехоламинов, так и МАОа.

Обсуждение результатов исследований

Проведенными исследованиями установлено, что слизистая оболочка желудка, ткань печени, поджелудочной железы и слизистая оболочка толстой кишки характеризуется неодинаковым уровнем ХЭа и МАОа и содержанием ионов натрия и калия, что свидетельствует о различной функциональной значимости исследуемых органов и об особенностях метаболических процессов, протекающих в них.

Установлены односторонние, не в одинаковой степени выраженные изменения ХЭа и МАОа во всех исследуемых тканях секреторных органов пищеварительного тракта при пищевом возбуждении, что

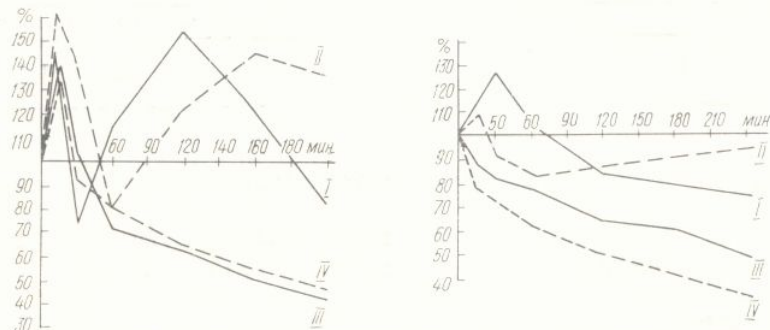


Рис. 3. Содержание КА (I, III) и МАО (II, IV) в крови после однократного введения норадреналина в дозе 1 мкг/100 г (I и II) и в дозе 100 мкг/100 г (III и IV).

Рис. 4. Содержание КА (I, III) и МАО (II, IV) в ткани слизистой тонкого кишечника после однократного введения норадреналина в дозе 1 мкг/100 г (I и II) и в дозе 100 мкг/100 г (III и IV).

определяет содержание ацетилхолина и катехоламинов, а следовательно, и реализацию влияний, обеспечивающих посредством симпатического и парасимпатического медиаторов. Именно таким образом, как нам представляется, осуществляется регуляция функциональной активности исследуемых тканей.

Значительные изменения концентрации ионов натрия и калия в слизистой оболочке желудка и толстой кишки под влиянием норадреналина, по нашему мнению, подтверждают гипотезу «динамических рецепторов» (С. В. Аничков, 1974), представляющую адренорецепторы не как неподвижную структуру, а как динамическую биохимическую систему субстрат — энзим. Изменения, вызванные действием медиаторов в системе рецептора, являются началом цепи биохимических реакций в клетке, сопровождающихся изменением концентрации ионов.

Различная степень изменения ХЭа и МАОа и содержания ионов в исследуемых тканях при действии медиаторов является следствием изменения в этих тканях соотношений процессов синтеза ферментов, мощности катаболических процессов и энергетического обмена, являющимися основными факторами, определяющими активность ферментов.

Наблюдающееся повышение содержания ионов калия в слизистой оболочке желудка в течение секреторного процесса можно объяснить тем, что энергетический субстрат клетки, каковыми являются митохондрии, при возбуждении обладают способностью к накапливанию и удержанию ионов калия против градиента концентрации [10, 16]. Следовательно, при стимуляции секреции ацетилхолином увеличение в слизистой оболочке желудка содержания калия обуславливает деятельное состояние железистых клеток.

Уменьшение содержания ионов кальция в разгар секреторного процесса в слизистой оболочке желудка свидетельствует об использовании его в процессах, происходящих во время секреции. Возможно, это свя-

зано с необходимостью участия гормонов на секрецию

Особенности реакций пороговую дозы норадреналиново-симпато-адреналовой системы метаболических реакций кишечника низкий уровень в состоянии обеспечить в результате чего угнетению активности МА

В ткани печени, где обмена значительно выше, такие срывы отмечаются адреналина.

1. Бабкин Б. П. Секреторные процессы в желудке. 1960.—777 с.
 2. Гуткин В. И. Механизмы действия норадреналина на желудок.—Успехи современной биологии. 1980, с. 5—17.
 3. Дражевецкая И. А. Роль катехоламинов в функционировании поджелудочной железы.—Вестник АМН СССР. 1980, с. 57—59.
 4. Есипенко Б. Е. Перенос во внутреннюю среду организма. Материалы III Всесоюзной конференции по проблемам переноса веществ в организм. Томск, 1973, № 1, с. 58—60.
 5. Есипенко Б. Е., Соловьев В. А. Успехи современной биологии. 1973, 19, № 1, с. 58—60.
 6. Инчина В. И. Реакция организма на действие норадреналина.—В кн.: Материалы конференции по проблемам переноса веществ в организм. Томск, 1966, с. 78—80.
 7. Кассиль Г. Н. Внутренняя среда организма. Томск, 1973.
 8. Лакин Г. Ф. Биометрия.—Л.: ГИИАМ, 1973.
 9. Лосев Н. И., Войнов В. А. Статистическая обработка экспериментальных данных / Под ред. П. Д. Горицкого. М.: Наука, 1973.
 10. Монахов Н. К. Сопряженные механизмы интеграции клеток. Труды АМН СССР. 1967, с. 260—308.
 11. Панасюк Е. Н., Скляров Ю. А. Биохимические процессы в желудке. Труды АМН СССР. 1967, с. 260—308.
 12. Панасюк Е. Н., Скляров Ю. А. Биохимия желудка. Труды АМН СССР. 1967, с. 260—308.
 13. Панасюк Е. Н., Скляров Ю. А. Биохимия желудка. Труды АМН СССР. 1967, с. 260—308.
 14. Панасюк Е. Н., Скляров Ю. А. Биохимия желудка. Труды АМН СССР. 1967, с. 260—308.
 15. Passo S. S., Thornborough J. R. The effect of norepinephrine on the excretion of anesthetized cats. J. Physiol. (Lond.), 1963, 163, p. 2.
 16. Davenport H. L. Sodium shift in the isolated perfused rat heart. J. Physiol. (Lond.), 1963, 163, p. 2.
- Кафедра нормальной физиологии Львовского медицинского института

зано с необходимостью участия ионов кальция на разных этапах действия гормонов на секреторные клетки [3].

Особенности реакций различных тканей на надпороговую и сверхпороговую дозы норадреналина указывают, что «тонус» активности симпато-адреналовой системы в значительной степени зависит от уровня метаболических реакций в тканях-мишениях. В слизистой тонкого кишечника низкий уровень энергетического обмена в цикле Кребса не в состоянии обеспечить высокую эффективность компенсаторных реакций, в результате чего даже малые дозы норадреналина приводят к угнетению активности МАО и истощению катехоламинов.

В ткани печени, где мощность и эффективность энергетического обмена значительно выше по сравнению с слизистой тонкого кишечника, такие срывы отмечаются только при действии больших доз норадреналина.

Список литературы

- Бабкин Б. П. Секреторные механизмы пищеварительных желез.—М.: Медгиз, 1960.—777 с.
- Гуткин В. И. Механизмы формирования электролитного состава секретов слюнных желез.—Успехи соврем. биологии, 1974, 38, вып. 3, с. 434.
- Држевецкая И. А. Роль кальция в секреции гормонов белковопептидной структуры поджелудочной железы.—В кн.: Нейро-эндокринные механизмы адаптации.—Ставрополь, 1980, с. 5—17.
- Есипенко Б. Е. Перенос воды и электролитов в железистой ткани печени.—В кн.: Материалы III Всесоюзн. конф. по водно-солевому обмену. Орджоникидзе, 1971, с. 57—59.
- Есипенко Б. Е., Соловьев В. П. Моделирование обміну води в організмі.—Фізіол. журн., 1973, 19, № 1, с. 58—62.
- Инчина В. И. Реакция осморецепторной зоны печени на гипоосмотическое раздражение.—В кн.: Материалы II Всесоюз. конф. по водно-солевому обмену. Новосибирск, 1966, с. 78—80.
- Кассиль Г. Н. Внутренняя среда организма.—М.: Наука, 1978.—223 с.
- Лакин Г. Ф. Биометрия.—М.: Высш. школа, 1968.—285 с.
- Лосев Н. И., Войнов В. А. Физико-химический гомеостаз организма.—В кн.: Гомеостаз / Под ред. П. Д. Горизонтова. М.: Медицина, 1981, с. 186—240.
- Монахов Н. К. Сопряжение энергии окисления и мембранныго транспорта.—В кн.: Механизмы интеграции клеточного обмена / Под ред. С. А. Нейфаха. Л.: Наука, 1967, с. 260—308.
- Панасюк Е. Н., Скляров Я. П., Карпенко Л. Н. Ультраструктурные и микрохимические процессы в желудочных железах.—Киев : Здоров'я, 1979.—133 с.
- Панасюк Е. Н., Скляров А. Я. Влияние ацетилхолина и норадреналина на секрецию пепсина желудочными железами.—В кн.: Материалы III билатер. симпоз. СССР—ЧССР, Кишинев, 1981, с. 114—115.
- Панасюк Е. Н., Скляров А. Я., Копытко А. Н. Особливості складу електролітів в крові, слизовій оболонці шлунку і шлунковому соці при дії медіаторів.—В кн.: Материалы XI Укр. фізіол. з'їзду. Дніпропетровськ, 1982, с. 320.
- Романенко В. Д. Об участии печени в электролитном обмене.—Физиол. журн., 1967, № 3, с. 337—344.
- Passo S. S., Thornborough I., Bothballer A. Hepatic receptors in control of Sodium excretion in anesthetized cats.—Amer. J. Physiol., 1973, 224, N 4, p. 373—375.
- Davenport H. L. Sodium space and acid secretion in frog gastric mucosa.—Amer. J. Physiol., 1963, 204, N 2, p. 213—216.

УДК 612.33.018

Е. Е. Яремко, С. В. Чернышева, В. К. Сырцов, Ю. А. Кривохатская

АНАЛИЗ ДЕЙСТВИЯ ПЕНТАГАСТРИНА И СЕКРЕТИНА НА СЛИЗИСТУЮ ОБОЛОЧКУ ТОНКОГО КИШЕЧНИКА

Функциональная активность слизистой оболочки тонкого кишечника находится под контролем возбуждающих и тормозных механизмов, запускаемых общими нервно-рефлекторными и гуморальными факторами, а также местных регуляторных механизмов, которые осуществляются при участии интрамуральных нервных сплетений [8]. Секреторные и транспортные процессы в кишечнике определяются влияниями блуждающих и симпатических волокон, реализующих свои эффекты через высвобождающиеся медиаторы. Уровень медиаторов является адекватным показателем тонуса разных отделов вегетативной нервной системы. В ранее проведенных исследованиях [7] отмечено, что слизистая оболочка тощей кишки характеризуется высоким содержанием ацетилхолина и катехоламинов и активностью ферментов их метаболизма. Холинергические и адренергические процессы стимулируются при пищевом возбуждении.

В комплексе регуляторных механизмов важную роль играют гастроинтестинальные гормоны (ГИГ), которые выполняют функции ингибиторов и стимуляторов пищеварительных процессов, а также нейротрансмиттеров и нейромодуляторов [2, 12, 13, 15–18]. Энтериновая гормональная система имеет локальное и эндофтическое значение [5].

Однако по сравнению с другими железами пищеварительного аппарата многие стороны гормонального контроля функций тонкого кишечника и его трофики остаются не изученными. Не установлено участие ГИГ в нейрогуморальной регуляции секреторного и транспортного процессов в кишечнике.

Цель настоящего исследования — провести анализ влияния пентагастрин (ПГ) и секретина (СТ) на холинергическую, адренергическую и ферментную активность, а также трофические процессы в слизистой оболочке тонкого кишечника.

Опыты проведены на 138–20 ч после последнего приема ацетилхолина (АХ) и слизистой оболочке кишки. Содержание тестирования на прямой мышцы в гомогенате сопоставляли со взвешенной концентрацией. Активность (НА) и активность моноаминооксидазы (МАО) (1.4.3.4.) — по [1]. В гомогенате также активность собственно кислой фосфатазы (ЩФ). Щелочную фосфатазу (ЩФ) [11], ингибитором способом в модифицированных мембранных гидролазах изучали до и после опыта.

Содержание медиаторов в мембранных гидролазах изучали до и после опыта.

В двух сериях опытов (до и после опыта) исследовали влияние ГИГ на клеточные кислоты (РНК) в эпителии кишки. Для этого судили по скорости включения специфическим предшественником дноактивных атомов выявляемой сыворотки включения уридином. Уридином над ядром 100 эпителиальных клеток является основным источником синтеза РНК между скоростью синтеза РНК и окраской осуществляли.

В гистохимической серии опыта изучали содержание и процентное соотношение слизистой оболочки тощей кишки к помощи окраски Шифф-йода и дифференцировку — обработкой гистохимической окраски.

Результаты исследований считали достоверно значимыми, если они отличались от соответствующих показателей до опыта на 5%.

Результаты

ГИГ вызывают закономерное снижение холинергической и ферментной активности в слизистой оболочке тощей кишки крысы (таблица). ГИГ стимулирует холинергическую активность ХЭ ($p < 0,001$), ИТ и ЩФ существенно снижают холинергическую, адренергическую активность АХ и НА, а также активность ПГ увеличивает синтез ЩФ.

Изменения холинергической, адренергической и ферментной активности слизистой оболочки тощей кишки крысы при фармакологическом выключении различных отделов вегетативной нервной системы

Условия опытов	Содержание медиаторов в мкг/г ткани		Активность ферментов в мкмоль/г·мин	
	норадреналин	моноаминооксидаза	ацетилхолин	холинэстераза
Контрольные опыты ($n=25$)	$0,090 \pm 0,007$	$357,21 \pm 20,67$	$0,038 \pm 0,008$	2,4
Секретин ($n=16$), p	$0,090 \pm 0,014$	$319,09 \pm 25,81$	$0,080 \pm 0,008$	3,5
Пентагастрин ($n=16$), p	$>0,1$	$>0,1$	$<0,001$	$<0,001$
Пентагастрин + орnid (10%), p	$0,222 \pm 0,019$	$581,22 \pm 29,16$	$0,068 \pm 0,010$	4,0
Пентагастрин + атропин ($n=10$), p	$<0,001$	$<0,001$	$<0,05$	$<0,05$
Пентагастрин + атропин ($n=10$), p	$0,026 \pm 0,006$	$153,95 \pm 22,21$	$0,032 \pm 0,007$	5,0
Пентагастрин + атропин ($n=10$), p	$<0,001$	$<0,001$	$>0,5$	$<0,05$
Пентагастрин + атропин ($n=10$), p	$0,077 \pm 0,004$	$71,32 \pm 3,22$	$0,084 \pm 0,002$	4,0
Пентагастрин + атропин ($n=10$), p	$>0,05$	$<0,001$	$<0,05$	$<0,05$

Методика исследований

Опыты проведены на 138 крысах под нембуталовым наркозом (40 мг/кг через 18–20 ч после последнего приема пищи). О холинергической активности судили по уровню ацетилхолина (АХ) и активности холинэстеразы (ХЭ) непосредственно в слизистой оболочке кишки. Содержание свободного АХ определяли методом биологического тестирования на прямой мышце живота лягушки. Результаты каждого определения в гомогенате сопоставляли со средней величиной реакции мышцы на раствор АХ известной концентрации. Активность ХЭ (3.1.1.8.) исследовали по [14]. Норадреналин (НА) и активность моноамиоксидазы (МАО) являются показателями адренергической активности. Уровень НА определяли флуориметрическим методом [4], активность МАО (1.4.3.4.) — по [1]. В гомогенате слизистой оболочки тонкой кишки исследовали также активность собственно кишечных ферментов — инвертазы (ИТ) и щелочной фосфатазы (ЩФ). Щелочную фосфатазу (3.1.3.1.) определяли по скорости гидролиза $\text{Na}-\beta$ -глицерофосфата [11], инвертазу (3.2.1.26) — колориметрическим мышьяково-мolibденовым способом в модификации [6].

Содержание медиаторов выражали в мкг/г влажного веса ткани, активность ферментов — в микромолях гидролизованного субстрата на г за 1 мин (в ст. ед.). Указанные показатели изучали до и после введения ПГ (6–10 мкг/кг) и СТ (2 ед./кг).

В двух сериях опытов на 40 крысах (автографографические и гистохимические опыты) исследовали влияние ПГ и СТ на образование и секрецию слизи и синтез нуклеиновых кислот (РНК) в энтероцитах кишечника. О трофическом влиянии гормонов судили по скорости включения ^3H -уридуна (1 мкк/г массы крысы), который является специфическим предшественником синтеза РНК [3]. На автографах локализация радиоактивных атомов выявлялась в виде черных зерен эмульсионного серебра. Интенсивность включения уридуна определяли путем подсчета зерен под микроскопом МБИ-3 над ядром 100 эпителиальных клеток в области крипты и ворсинок. По [3, 19], ядро клеток является основным источником синтеза РНК. При этом существует корреляция между скоростью синтеза РНК и белка. Обработку ткани, проявление автографов, фиксацию и окраску осуществляли по общепринятой методике.

В гистохимической серии опытов исследовали секрецию и образование слизеподобных веществ и процентное содержание бокаловидных клеток в криптах и ворсинках в слизистой оболочке тонкой кишки крысы. Выявление полисахаридов осуществляли с помощью окраски Шифф-йодной кислотой (ШИК-реакция), альзиановым синим, а дифференцировку — обработкой ферментами (диастаза, тестикулярная гиалуронидаза).

Результаты исследований подвергли математической обработке по методу Стьюдента и считали достоверно значимыми при $p < 0,05$.

Результаты исследований и их обсуждение

ГИГ вызывают закономерные изменения холинергической, адренергической и ферментной активности в гомогенате слизистой оболочки тонкой кишки крысы (табл. 1). Секретин через 45–60 мин после введения стимулирует холинергические процессы, повышая уровень АХ и активность ХЭ ($p < 0,001$). Адренергическая активность и активность ИТ и ЩФ существенно не изменяются. Пентагастрин стимулирует и холинергические, и адренергические процессы. Повышается содержание АХ и НА, а также активность МАО и ХЭ ($p < 0,001$). На этом фоне ПГ увеличивает синтез ЩФ и, в меньшей степени, ИТ.

Таблица 1

слизистой оболочки тонкой кишки после введения пентагастрина и секретина
отделов вегетативной нервной системы ($M \pm m$)

активность ферментов в мк моль/г·мин /г ткани				
	ацетилхолин	холинэстераза	инвертаза	щелочная фосфатаза
0,038 ± 0,008	2,41 ± 0,19	12,27 ± 1,28	12,06 ± 0,64	
0,080 ± 0,008 $< 0,001$	3,93 ± 0,28 $< 0,001$	11,54 ± 0,63 $< 0,5$	11,18 ± 0,70 $< 0,5$	
0,068 ± 0,010 $< 0,05$	4,08 ± 0,08 $< 0,001$	13,04 ± 1,29 $< 0,5$	19,85 ± 0,82 $< 0,001$	
0,032 ± 0,007 $> 0,5$	5,06 ± 0,60 $< 0,001$	9,48 ± 0,95 $< 0,1$	13,98 ± 1,30 $< 0,2$	
0,084 ± 0,002 $< 0,05$	4,06 ± 0,24 $< 0,001$	6,86 ± 0,79 $< 0,01$	5,14 ± 0,34 $< 0,001$	

Для анализа взаимоотношений между гастрином и медиаторно-ферментными процессами использован метод фармакологического выключения разных отделов вегетативной нервной системы с помощью холино- и симпатиколитиков, которые препятствуют реализации влияний медиаторов на эффекторные органы (табл. 1). Через 30 мин после предварительного введения орнида (10 мг/кг), вызывающего торможение синтеза, и высвобождения НА пентагастрин не оказывает стимулирующего влияния на уровень АХ и активность кишечных ферментов. Однако активность ХЭ остается на высоком уровне. При выключении М-холинорецепторов атропином (0,1 мг/кг) устраняется активирующий эффект ПГ на адренергическую активность слизистой оболочки кишки и синтез кишечных ферментов (заметно снижается активность ИН и ЩФ, $p < 0,001$); хотя высвобождение АХ и активность ХЭ колеблется на высоком уровне. Это указывает на то, что влияние ПГ на экболические процессы в кишечнике связано с возбуждением М-холинорецепторов.

В авторадиографической части работы проведены 2 подсерии опытов. В первой контрольной серии изучали скорость включения ^{3}H -уридина в зависимости от времени его циркуляции в организме. Крыс забивали через 15 и 60 мин, 3, 6 и 24 ч после введения индикатора. На автографах включение уридина регистрировали через 15 мин над ядрами эпителиальных клеток крипт кишki, и плотность метки достигала максимума на 3 ч опыта (соответственно $3,75 \pm 0,08$ и $5,06 \pm 0,10$ зерен эмульсионного серебра). Через 6 и 24 ч включение метки постепенно замедляется. В области ворсинок отмечается примерно такая же закономерность. Однако плотность метки выражена в меньшей степени, чем в ядрах крипт. Эти данные свидетельствуют о более интенсивных обменных процессах в эпителиальных клетках крипт по сравнению с ворсинками.

Таблица 2

Влияние пентагастрини
и секретина на скорость
включения ^{3}H -уридуна в ядра
эпителиальных клеток
слизистой оболочки
тощей кишки крысы

Объект исследования	Количество зерен серебра над ядром эпителиальных клеток в % по отношению к контролю, принятому за 100%	
	пентагастрин	секретин
Крипты	150,6 ± 1,3	104,6 ± 1,8
Ворсинки	$p < 0,001$ 138,0 ± 1,1	$p < 0,5$ 101,7 ± 2,2 $p < 0,001$

В опытной серии исследовали скорость включения уридуна на фоне действия ПГ и СТ (табл. 2). Гормоны вводили одновременно с радиоиндикатором. Время циркуляции уридуна в организме — 3 ч. Как видно из данных табл. 2, секретин не оказывает влияния на скорость включения уридуна. После введения ПГ достоверно возрастает интенсивность включения индикатора в ядра эпителиальных клеток крипт (на 50 %) и ворсинок (на 38 %).

В гистохимических исследованиях выявлено влияние гормонов на количество бокаловидных клеток и секрецию слизеподобных веществ (табл. 3 и рисунок, а и б). У контрольных крыс количество бокаловидных клеток в области крипт выше (в среднем на 30 %), чем в ворсинках. Интенсивность ШИК-реакции и альцианофилии клеток опреде-

Таблица 3

Объект исследования	Контрольные опыты	На фоне действия гормонов	
		пентагастрин	секретин
Крипты	$14,90 \pm 0,37$ $p < 0,001$	$17,86 \pm 0,77$ $p < 0,001$	$16,70 \pm 0,54$ $p > 0,02$
Ворсинки	$11,50 \pm 0,03$ $p < 0,001$	$20,90 \pm 0,70$ $p < 0,001$	$12,40 \pm 0,50$ $p > 0,2$

ляется фазами секреторией в области ворсинок, в которых цитов окрашивается пик глично секрету. После вв бокаловидных клеток, ос димому, эпителиальные видные [9]. Резко увелич лы эпителиальных клеток



Во

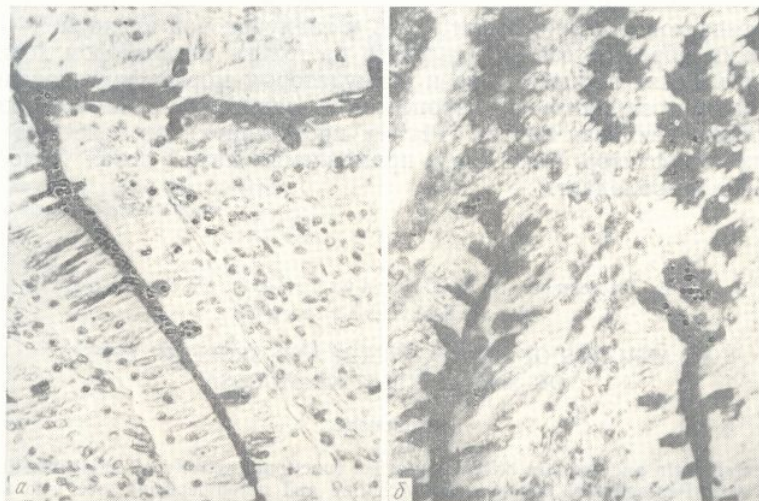
Возрастает накопление с
ность ШИК-реакции и к
существенно не отличается
тагастрин увеличивает в
клеток, а также накопле-

Таким образом, полу-
механизмах действия ГИ
цессы в слизистой оболоч-
ке незначко влияет на функцию

ПГ увеличивает высокий уровень медиаторов. СТ вызывает на его участие в: Следовательно, гастрин и холин- и адренергические проводники зависят не только от интенсивности секреции, но и от тканевых пространствах этих нервные и гормональные

Наши данные указывают на действие, вызываемое рецией, и регуляторные ферменты и синтез в экспериментах на собаках подтверждают это. Сократившееся сокращение и акт

ляется фазами секреторного цикла. Положительная реакция отмечена в области ворсинок, в криптах выражена умеренно. Куттикула энтероцитов окрашивается реактивом Шиффа и альциановым синим аналогично секрету. После введения ПГ возрастет процентное содержание бокаловидных клеток, особенно в области ворсинок ($p < 0,001$). По-видимому, эпителиальные клетки могут превращаться в клетки бокаловидные [9]. Резко увеличивается положительная ШИК-реакция куттикулы эпителиальных клеток и в бокаловидных клетках крипты и ворсинок.



Ворсинки тонкой кишки крысы.

a — контрольная крыса; *б* — увеличение количества бокаловидных клеток после введения пентагастрин, ШИК-реакция. Докраска ядер гематоксилином Кароззи. Об. 80, ок. 7.

Возрастает накопление секрета. На фоне действия секретина интенсивность ШИК-реакции и количество бокаловидных клеток на ворсинках существенно не отличается от контрольных опытов. Следовательно, пентагастрин увеличивает количество гиперсекретирующих бокаловидных клеток, а также накопление и выделение слизеподобного секрета.

Таким образом, полученные нами данные свидетельствуют о новых механизмах действия ГИГ на структурные основы и трофические процессы в слизистой оболочке тонкого кишечника. Однако ПГ и СТ неоднозначно влияет на функциональную активность кишки.

ПГ увеличивает высвобождение АХ и НА и активность ферментных систем их метаболизма. Повышение активности МАО и ХЭ — это регуляторная реакция, направленная на поддержание физиологического уровня медиаторов. СТ увеличивает только уровень АХ и ХЭ, что указывает на его участие в активации холинергического тонуса кишечника. Следовательно, гастрин и секретин потенцируют свои эффекты через холин- и адренергические структуры. В свою очередь уровень медиаторов зависит не только от активности иннервационных механизмов, но и от интенсивности секреции гормонов. В работе [20] доказана зависимость синтеза гастринов от вагусной активности. Очевидно, в межклеточных пространствах эпителиальных клеток кишечника объединяются нервные и гормональные воздействия на эффекторные клетки.

Наши данные указывают на то, что гастрин обладает более широким действием, вызывая не только стимулирование желудочной секреции, но и регуляторное влияние на активность кишечных пищеварительных ферментов и синтез РНК. В ранее проведенных нами экспериментах на собаках показано [10], что ПГ также увеличивает кишечное сокоотделение и активность ИТ и Щ. Ф. в плотной части сока.

Можно предполагать, что активация синтеза РНК и индуцирование им синтеза белков-ферментов является ключевым механизмом, определяющим направленность действия гастрину.

ПГ обеспечивает также структурно-функциональные перестройки клеток слизистой оболочки и защитные функции кишечника. Об этом свидетельствует увеличение количества гиперсекретирующих бокаловидных клеток и усиление накопления и выделения слизеподобных веществ. Характер секрета, выделяемого бокаловидными клетками, изменяется преимущественно за счет увеличения кислых глюкозамингликанов типа хондроитинсульфата A, C и гиалуроновой кислоты.

Таким образом, гастрин является не только активатором холин- и адренергических процессов, но и стимулятором морфо-функциональных перестроек и экбологических процессов в слизистой оболочке тонкого кишечника. Усиливая синтез РНК и протеосинтез, он действует как трофический фактор. Секретин в применяемых нами дозах подобным действием не обладает.

E. E. Yaremko, S. V. Chernysheva, V. K. Syritsov,
Yu. A. Krivokhatskaya

AN ANALYSIS OF PENTAGASTRIN AND SECRETIN EFFECT ON SMALL INTESTINE MUCOSA

Summary

Pentagastrin and secretin differently affect functional activity of small intestine mucosa of rats. Pentagastrin increases acetylcholine and norepinephrine level and activity of their metabolism enzymes (cholinesterase and monoamineoxidase) and potentiates their effect through choline and adrenergic structures. It also activates RNA synthesis, accumulation and secretion of mucus and amount of hypersecreting goblet cells in the intestine mucosa. Pentagastrin intensifies RNA and protein synthesis and acts as a trophic factor. Secretin does not make such an effect.

Department of Normal Physiology,
Medical Institute, Zaporozhie

Список литературы

- Балаклеевский А. И. Колориметрический способ определения активности моноаминооксидазы в сыворотке крови.—Лаб. дело, 1976, № 3, с. 151—153.
- Климов П. К. Новый этап в изучении центральных влияний на функции органов пищеварительной системы.—Физiol. журн. СССР, 1982, № 5, с. 621—626.
- Мажуга П. М. Авторадиографическое исследование нуклеинового обмена в связи с особенностями метаболизма применяемых нуклеозидов.—Цитология и генетика, 1974, 8, № 5, с. 400—405.
- Матлина Э. Ш., Рахманова Т. Б. Метод определения норадреналина, дофамина и дофе в тканях.—В кн.: Методы исследования некоторых систем нейро-гуморальной регуляции. М., 1967, с. 136—143. (Тр. 1-го Моск. мед. ин-та; Вып. 5).
- Смирнов К. В., Уголев А. М. Космическая гастроэнтерология.—М.: Наука, 1981.—277 с.
- Уголев А. М., Иезуитова Н. Н., Масевич Ц. Г. и др. Исследование пищеварительного аппарата у человека.—Л.: Наука, 1969.—216 с.
- Чернышева С. В., Кривохатская Ю. А., Яремко Е. Е. Адренергическая и холинергическая активность слизистой оболочки кишечника.—Физiol. журн., 1982, 28, № 2, с. 246—249.
- Шлыгин Г. К. Секреторная деятельность тонкого кишечника.—В кн.: Физиология пищеварения. Л.: Наука, 1974, с. 453—474.
- Шубникова Е. А. Цитология и цитофизиология секреторного процесса.—М.: Изд-во Моск. ун-та, 1967.—116 с.
- Яремко Е. О., Кривохатська Ю. О., Кушнірова Н. І. та ін. Вплив деякіх гастро-інтестинальних гормонів на клітинні процеси в слизовій оболонці тонкого кишечника.—В кн.: XI з'їзд укр. фізіол. т-ва (тез. доп.), Київ: Наук. думка, 1982, с. 467—468.
- Bodansky N. J. Phosphatase studies: II. Determination of serum phosphatase: factors influencing the accuracy of the determination.—J. Biol. Chem., 1933, 101, p. 93—96.
- Fritsch W. P. Gastrin.—Z. Gastroenterol., 1978, 5, N 6, p. 284—293.

Анализ действия пентагастрина

- Grossman M. J. Chemical p N 9, p. 2341—2343.
- Hestrin S. The reaction of 180, N 1, p. 249—251.
- Jablonska M. Peptidove h s. 632—640.
- Johnson L. R. The trophic 1975, 70, N 2, p. 278—283.
- Mutt V. Gastrointestinale h Gastroenterol., 1982, 17, Supr.
- Polak J. M., Bloom S. R. T and Metabol., 1979, 8, N 2, p.
- Schultze B., Citoler P. Hen types and its relation to nu in investigation proteinsynthetic.
- Uvnäs-Wallensten R., Rehf plasma and gastric juice physiol. scand., 1976, 98, N 2,

Кафедра нормальной физиологии
Запорожского медицинского института

Обращение

К 60-летию образования ской ССР. В его экспозиции о времен до наших дней, деятельности здравоохранения в годы Отечественной войны.

Ученый медицинский союз Украинского научного общества обращается к руководителям организаций, научно-медицинским имеющие историко-медицинского и аптечного оборудования литературы, знаки медицинской материала, отражающие различные исторические периоды.

Материалы просим направить медицины УССР, тел. для справок

Правление

13. Grossman M. J. Chemical messengers: a view from the gut.—Fed. Proc., 1979, 38, N 9, p. 2341—2343.
14. Hestrin S. The reaction of acetylcholin with hydroxylamine.—J. Biol. Chem., 1949, 180, N 1, p. 249—251.
15. Jablonska M. Peptidove hormony trávicio ustroji.—Vnitrni lèk., 1981, 27, N 7, s. 632—640.
16. Johnson L. R. The trophic action of gastrointestinal hormones.—Gastroenterology, 1975, 70, N 2, p. 278—283.
17. Mutt V. Gastrointestinal hormones: a field of increasing complexity.—Scand. J. Gastroenterol., 1982, 17, Suppl. 77, p. 133—152.
18. Polak J. M., Bloom S. R. The neuroendocrine design of the gut.—Clin. Endocrinol., and Metabol., 1979, 8, N 2, p. 313—330.
19. Schultze B., Citoler P., Hempel L. Cytoplasmic protein synthesis in cells of various types and its relation to nuclear protein synthesis.—In: The use of radioautography in investigation proteinsynthesis. New York; London, 1965, p. 107—139.
20. Uvnäs-Wallensten R., Rehfeld J. F. Molecular forms of gastrin in antral mucosa, plasma and gastric juice during vagal stimulation of anaesthetized cats.—Acta physiol. scand., 1976, 98, N 2, p. 217—226.

Кафедра нормальной физиологии
Запорожского медицинского института

Поступила 10.03.83

Обращение к медицинским работникам

К 60-летию образования СССР в г. Киеве открылся Музей медицины Украинской ССР. В его экспозиции освещается история медицины на Украине с древнейших времен до наших дней, деятельность выдающихся ученых и врачей, становление и развитие здравоохранения в годы Советской власти, подвести медиков в период Великой Отечественной войны.

Ученый медицинский совет Министерства здравоохранения УССР, правление Украинского научного общества историков медицины и Музей медицины УССР обращаются к руководителям органов и учреждений здравоохранения, медицинским работникам, научно-медицинским обществам с просьбой передавать музею материалы, имеющие историко-медицинское значение: старинные инструменты, образцы медицинского и аптечного оборудования, документы, фотографии, редкие издания медицинской литературы, знаки медицинского назначения и другие документальные и вещественные материалы, отражающие развитие медицины и уровень медицинской помощи в различные исторические периоды.

Материалы просим направлять по адресу: 252030 Киев-30, Ленина, 37, Музей медицины УССР, тел. для справок: 24-29-12.

Ученый медицинский совет МЗ УССР
Правление Украинского научного общества историков медицины
Музей медицины УССР

УДК 612.35—616.36—577.352.3

Б. Е. Есиенко, Л. И. Жалило, А. П. Костромина, О. Д. Синельник

МЕХАНИЗМ ЖЕЛЧЕГОННОГО ДЕЙСТВИЯ ЖЕЛЧНЫХ КИСЛОТ

Известно, что желчные кислоты стимулируют секрецию желчи. Линейная корреляция между скоростью желчеотделения и секрецией желчных кислот показана в экспериментах на животных [5, 6, 11] и при клинических обследованиях у человека [11, 12]. Эти данные в значительной мере способствовали утверждению гипотезы [14] об осмотической природе желчегонного действия желчных кислот. Согласно этим представлениям, транспорт желчных кислот в просвет канальцев создает осмотический градиент для фильтрации воды и неорганических ионов.

Однако выдвинутой гипотезе противоречит ряд экспериментальных фактов. Так, отмечено отсутствие синхронности в холеретическом действии дегидрохолевой кислоты и ее появлении в желчи [13]. Зарегистрирован достаточно интенсивный ток желчи в опытах на изолированной печени при отсутствии или минимальной секреции желчных кислот. Обнаружено [6, 9, 10], что после перерыва энтерогепатического кругооборота и уменьшения запаса желчных кислот у кроликов и крыс секреция желчи снижается, но в меньшей мере, чем секреция желчных кислот.

В связи с этим возникло предположение о том, что желчегонное действие желчных кислот обусловлено стимуляцией работы насоса неорганических ионов мембран гепатоцитов [13].

Задачей настоящей работы явилось выяснение роли желчных кислот в ионном механизме желчеотделения, постулируемом в последнее время рядом исследователей [1, 8].

Методика исследований

Исследования проводили на целостном организме, изолированной перфузируемой печени, инкубируемых срезах печени и субфракциях плазматических мембран гепатоцитов. В опытах использовались кролики породы шиншилла массой 1,8—2,0 кг и белые крысы массой 180—200 г.

Кроликов содержали в условиях свободного пищевого режима и 24 ч голодания перед опытом при 5 сут нагрузках водопроводной водой в дозе 10 % к массе тела. Под нембуталовым наркозом (50 мг/кг массы тела) у них определяли скорость желчеотделения, а в собираемой желчи — концентрацию натрия и желчных кислот.

Инфузию разведенной физиологическим раствором (1:1) крысиной желчи, содержащей 2,0—7,2 желчных кислот, осуществляли в воротную вену крысам с постоянной скоростью в течение 30 мин.

Изолированную печень крысы перфузировали по [2] в течение 1 ч раствором, не включавшим желчные кислоты, затем еще 1 ч раствором, содержащим 3 мг холевой кислоты в 100 мл. Пробы желчи отбирали и анализировали через каждые 30 мин.

Срезы ткани печени инкубировали 90 мин на холоду (0°C), затем 40 мин при 38°C в Кребе — Рингер — фосфатном буфере, содержащем 5—30 мг холевой кислоты в 100 мл или без нее. Определяли содержание натрия, калия и воды в клетках печени, интенсивность переноса натрия через клеточные мембранны.

Субфракции плазматических мембран с преобладанием каналикулярных и синусоидальных получены по [15] в нашей модификации [3]. Активность Na^+ , K^+ АТФазы определяли по количеству неорганического фосфата, выделяемого в результате гидролиза АТФ. Среда инкубации — АТФ : MgCl_2 (1:1), 120 ммол NaCl , 50 ммол три- HCl , 10 ммол KCl , рН 7,8. В опытах в среду инкубации добавляли холевую кислоту 10 мг/100 мл.

Концентрацию натрия и калия определяли методом фотометрии в пламени на фотометре Цейс-Иена.

Желчные кислоты определяли по [4] на спектрофотометре СФ-4. Статистическая обработка полученных в экспериментах данных произведена по И. А. Ойвину.

Результаты

У кроликов, содержащихся в режимах, была отмечена желчеотделения и секреции животных, находившихся подном питьевом режиме, желчеотделения повышала тенсивность секреции желчи, что снижалось (табл. 1).

Зависимость скорости желчеотделения кроликов от интенсивности секреции желчных кислот и экскреции натрия. По вертикали — скорость желчеотделения; по горизонтали — секреция желчных кислот и экскреция натрия (П) с желчью.

После 5 сут нагрузки на скорость желчеотделения и секреции животных, находившихся в условиях у кроликов после нагрузки повышалась, а секреция.

Желчеотделение у кроликов	
Показатели	Свободные 24 ч голодания
Скорость желчегонного действия, мл/кг·мин	4,33
Натрий желчи, ммоль/л	155,4
Натрий желчи, ммоль/кг·мин	0,67
Желчные кислоты, мг/100 мл	838
Желчные кислоты, мг/кг·мин	3430

Полученные данные показывают, что между этими показателями имеется корреляционная связь. В то же время во всех опытах были односторонними. Между этими показателями определялась линейная зависимость, описываемая уравнением:

Скорость желчеотделения = 0,0015 · концентрация желчных кислот + 0,0001 · концентрация натрия + 0,0001 · концентрация калия + 0,0001 · концентрация воды в желчи + 0,0001 · концентрация холевой кислоты + 0,0001 · концентрация фосфата + 0,0001 · концентрация три- HCl .

Скорость желчеотделения в опытах с различными концентрациями желчных кислот и с перфузией изолированной печени изменилась в соответствии с изменениями этих показателей.

Во время внутрипортальной перфузии выросла на 27 %, экскреция желчных кислот — на 10 %.

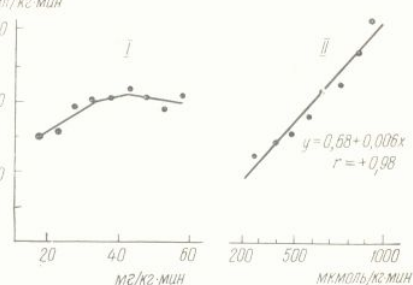
При перфузии изолированной печени концентрация желчных кислот —

758,5 ± 58,5 до (1707 ± 123)

Результаты исследований и их обсуждение

У кроликов, содержавшихся на различных питьевых и пищевых режимах, была отмечена разнонаправленность изменений скорости желчеотделения и секреции желчных кислот. При суточном голодании животных, находившихся на свободном питьевом режиме, скорость желчеотделения повышалась, интенсивность секреции желчных кислот снижалась (табл. 1).

Зависимость скорости желчеотделения у кроликов от интенсивности секреции желчных кислот и экскреции натрия с желчью. По вертикали — скорость желчеотделения, по горизонтали — секреция желчных кислот (I) и экскреция натрия (II) с желчью.



После 5 сут нагрузок кроликов водой в дозе 10 % к массе тела скорость желчеотделения и секреция желчных кислот была выше, чем у животных, находившихся на свободном питьевом режиме. Однако и в этих условиях у кроликов после суточного голодания скорость желчеотделения повышалась, а секреция желчных кислот с желчью — снижалась.

Таблица 1
Желчеотделение у кроликов при различных питьевых режимах

Показатели	Свободный питьевой режим		Нагрузка водой (10% к массе)	
	24 ч голодания	Свободный пищевой режим	24 ч голодание	Свободный пищевой режим
Скорость желчетока, мл/кг·мин	4,33±0,13	3,57±0,12	4,90±0,16	4,30±0,29
Натрий желчи, ммоль/л	155,4±4,8	151,5±2,3	148,7±2,4	152,5±2,9
Натрий желчи, ммоль/кг·мин	0,67±0,05	0,56±0,02	0,74±0,03	0,64±0,09
Желчные кислоты, мг/100 мл	838±71	1166±67	447±127	1070±107
Желчные кислоты, мг/кг·мин	3430±282	4249±301	3995±190	5153±398

Полученные данные позволили заключить, что характер взаимосвязи между этими показателями не является линейным (см. рисунок, I). В то же время во всех случаях изменения скорости секреции желчи были односторонними с изменениями экскреции натрия с желчью. Между этими показателями найдена функциональная зависимость, описываемая уравнением прямолинейной регрессии (см. рисунок, II).

Скорость желчеотделения, экскреция натрия с желчью и секреция желчных кислот в опытах с инфузией в воротную вену крыс крысиной желчи и с перфузией изолированной печени крыс растворами, содержащими холевую кислоту, изменялись односторонне. Однако степень изменения этих показателей была различной.

Во время внутрипортальной инфузии скорость желчеотделения повысилась на 27 %, экскреция натрия — на 24,7 %, интенсивность выделения желчных кислот — на 50,3 % (табл. 2).

При перфузии изолированной печени крысы растворами с холевой кислотой скорость желчеотделения увеличилась за первые 30 мин с 758,5±58,5 до (1707±123,8) мкл/мг·мин, экскреция натрия с жел-

чию — с $106,5 \pm 9,3$ до $(233,9 \pm 17,3)$ мкмоль/кг·мин, или на 125,1 и 123,0 %, соответственно. Через 1 ч перфузии эти показатели превышали исходные значения соответственно на 28,5 и 23,4 %. Секреция желчных кислот с желчью в этих опытах повысилась за первые 30 мин в 21,5 раза, а через 1 ч была выше исходного уровня в 9,8 раза.

Таблица 2
Содержание воды, натрия и калия в клетках печени крыс
при инкубации срезов ткани в средах с различной концентрацией
желчных кислот

Условия инкубации	Вода, мл/кг	Натрий, ммоль/кг	Калий, ммоль/кг
Интактная ткань	526,6 ± 2,6	16,7 ± 2,5	82,5 ± 1,2
0 °C	723,9 ± 8,3	71,7 ± 4,5	15,2 ± 0,8
38 °C	559,6 ± 19,8	44,1 ± 2,3	51,2 ± 3,3
38 °C + 5—10 мг/100 мл	553,4 ± 15,5	40,7 ± 3,3	58,4 ± 2,7
0 °C	716,2 ± 8,9	78,0 ± 2,8	14,7 ± 0,5
38 °C	547,4 ± 16,9	46,1 ± 2,1	55,2 ± 3,0
38 °C + 15—20 мг/100 мл	573,1 ± 17,2	50,9 ± 2,7	59,8 ± 2,6
0 °C	725,5 ± 7,9	73,8 ± 4,2	15,3 ± 0,7
38 °C	561 ± 18,7	44,7 ± 2,0	54,7 ± 4,0
38 °C + 30—50 мг/100 мл	555,9 ± 23,3	44,3 ± 4,0	56,6 ± 3,6

Как видно из приведенных данных, изменения скорости желчеотделения и секреции желчных кислот могут существенно отличаться по интенсивности. Количество желчи, выделенное на 1 ммоль желчной кислоты, значительно варьирует у животных разных видов [9], и, как показали наши исследования, даже у одного конкретного животного.

В то же время, согласно полученным данным, экспрессия 1 ммоля натрия сопровождается выделением желчи в количестве, существенно отличающемся при определении *in vivo* и *in vitro* у разных животных. Оно составляло у крыс в опытах с инфузией 7,7—7,9 мл, в опытах с изолированной печенью — 7,1—7,4 мл, у кроликов — 6,4—6,7 мл.

Результаты наших исследований позволили заключить, что уровень секреции желчных кислот в канальцах не является фактором, непосредственно определяющим ту или иную интенсивность секреции желчи. Вместе с тем полученные данные указывают на стимулирующее влияние желчных кислот крови на экспрессию натрия с желчью.

Опыты с инкубацией срезов ткани печени позволили конкретизировать механизм действия желчных кислот на скорость желчеотделения.

Как видно из данных, представленных в табл. 2, смена холодовой инкубации на тепловую приводила к уменьшению содержания натрия в клетках за 40 мин., т. е. в условиях тепловой инкубации из клеток в среду транспортируется 27,6 ммоль/кг тк. натрия за 40 мин. После введения в среду инкубации желчных кислот крысиной желчи в дозе 5—10 мг в 100 мл, перенос натрия был интенсивнее на 3,4 ммоль/кг ткани за 40 мин, чем в контроле. Одновременно клетки теряли больше воды и в них транспортировалось больше калия.

Следует отметить, что перенос из клеток 1 моля натрия в опытах с инкубацией срезов ткани печени сопровождался уменьшением содержания в клетках воды на 7,7 мл, т. е. при транспорте натрия и воды из клеток поддерживалось то же соотношение, что и при экспрессии с желчью.

Инкубация срезов ткани печени в средах с различной концентрацией желчных кислот показала, что последние могут не только стимулировать, но и ингибировать перенос натрия через мембранны. Стимулировать, но и ингибировать перенос натрия через мембранны.

муляция транспорта натрия и калия в 100 мл среди угнеталася, а калия — стимул желчных кислот не оказывало воздействие на клетки печени.

Активность АТФазы (мкмоль Р_Н/мг белка)

Показатель
Общая АТФаза синусоидальных мембран каналикулярных мембран
Na ⁺ , K ⁺ АТФаза синусоидальных мембран каналикулярных мембран

Таким образом, инкубация об изменении интенсивности гепатоцитов под влиянием

Непосредственное определение иона натрия что было наличие ее как в субстанциях гепатоцитов [3, 15].

Наличие холевой кислоты плазматических мембранной степени стимулирования каналикулярных мембран. Активность увеличивалась на 2 введение активности АТФазы Na⁺, K⁺ АТФазы. Об этом активности Na⁺, K⁺ АТФазы каналикулярных — на 74 %.

Таким образом, желчь результатом повышения активности патоцитов и, как следствие, натрия через каналикулы каналикулы, т. е. скорость

Полученные результаты яснения механизма желчегонного действия основание считать необоснованной и независимой существует единственный механизм которого является транспорт.

Желчные кислоты, мощный корректирующий факторами внутренней секреции желчи.

мulation транспорта натрия и калия наблюдалась при 5—10 мг желчных кислот в 100 мл среды инкубации. При 15—20 мг перенос натрия угнетался, а калия — стимулировался, более высокие концентрации желчных кислот не оказывали влияния на транспорт ионов и содержание воды в клетках печени.

Таблица 3
Активность АТФаз плазматических мембран гепатоцитов
(мкмоль Р_и/мг белка в 1 мин) при воздействии холевой кислоты
(10 мг/100 мл)

Показатель	Контроль	Холевая кислота
Общая АТФаза		
синусоидальных мембран	25,50±2,1	31,76±6,9
каналикулярных мембран	49,39±5,7	88,44±17,6
Na ⁺ , K ⁺ АТФаза		
синусоидальных мембран	6,76±0,8	8,84±2,4
каналикулярных мембран	8,63±1,4	15,03±2,5

Таким образом, инкубация срезов ткани печени позволила сделать вывод об изменении интенсивности переноса ионов натрия через мембранны гепатоцитов под влиянием желчных кислот.

Непосредственное определение активности фермента, транспортирующего ионы натрия через мембранны — Na⁺, K⁺ АТФазы —, показало наличие ее как в синусоидальных, так и каналикулярных мембранных гепатоцитов [3, 15] и зависимость от содержания желчных кислот в среде.

Наличие холевой кислоты в дозе 10 мг/100 мл в среде инкубации плазматических мембранны повышало активность общей АТФазы и в разной степени стимулировало общую АТФазу синусоидальных и каналикулярных мембранны. Активность общей АТФазы синусоидальных мембранны увеличивалась на 24, каналикулярных — на 78 %. Причем увеличение активности АТФаз происходило за счет увеличения активности Na⁺, K⁺ АТФазы. Об этом свидетельствует соответствующее увеличение активности Na⁺, K⁺ АТФазы синусоидальных мембранны на 30 %, а каналикулярных — на 74 % (табл. 3).

Таким образом, желчегонное действие желчных кислот является результатом повышения активности транспортной Na⁺, K⁺ АТФазы гепатоцитов и, как следствие, увеличения интенсивности переноса ионов натрия через каналикулярные мембранны и фильтрации воды в желчные каналикулы, т. е. скорости желчеотделения.

Полученные результаты имеют принципиальное значение для объяснения механизма желчеотделительной функции в целом. Они дают основание считать необоснованным деление желчной секреции на зависимую и независимую от желчных кислот. С нашей точки зрения существует единый механизм образования желчи, движущим фактором которого является транспорт натрия из крови в желчные каналикулы.

Желчные кислоты, таким образом, следует рассматривать как мощный корригирующий фактор желчеотделения, который наряду с другими факторами внутренней среды организма влияет на скорость секреции желчи.

B. E. Esipenko, L. I. Zhalilo, A. P. Kostromina, O. D. Sinelnik

MECHANISM OF THE CHOLERETIC EFFECT
OF THE CHOLIC ACIDS

Summary

In chronic and acute experiments on the intact body, isolated perfused liver, incubated sections of liver tissue and subfractions of plasmatic hepatocyte membranes it is established that the biliar acids increase the Na^+ , K^+ , ATPase activity in hepatocyte membranes. It leads to the increase of Na transport intensity through the canalicular membranes and water transport through the biliar canalicules by the osmotic gradient, i. e. an increase of bile secretion rate.

Institute of Physiology of the
T. G. Shevchenko State University, Kiev

УДК 616.366—085.244.085.36—073

РЕНТГЕНОЛОГИ
ЖЕЛЧНОГО

В последние годы г надцатиперстной кишки с дренирующими опера [2, 10, 12]. Большинство шательства отвечают па то же время имеют ряд классическими резекция: ся к широкому примене нежелательных последст них органов, в том числ единого мнения о влия состояние печени и жел стволовая ваготомия пр выделительной функции цесса желчевыделения. перерезки блуждающих нием фистул. Рентгенотельной системы после в [4, 13]. Между тем, рент венная холография, явле морфологии и функции ж ке, обеспечивает возмож влияния ваготомии на ж наполнения желчного пуз

Рентгенологической леграфии посвящены м зарубежных авторов [5—пузырь у собак заполня закономерностям, что и после внутривенного вве изображение внепеченоч зыря в виде контрастног ки и через 30—60 мин п ся на дно пузыря, обр пузыря — контрастная ж чи. К 90—120—180 мин монгенизация тени пузыря

В отечественной ли закономерно появляющи ки и трехслойность отра желчного пузыря. Иной т стости отсутствует либо ся как признак наруше патологии.

Мы изучали влияни деление и характер на холографии в эксперимен

Список литературы

1. Есипенко Б. Е. О регуляции водной части секретов пищеварительных желез.— В кн.: Физиология и патология пищеварения: Тез. докл. Всесоюз. конф. Одесса, 1967, с. 52.
2. Есипенко Б. Е., Нацк В. И., Синельник О. Д., Чайковская Л. А. Методика бескровной перфузии изолированной печени крыс.— Физiol. журн., 1981, 27, № 6, с. 841—843.
3. Жалило Л. И. Влияние ионов натрия на активность аденоэозинтрифосфатаз клеток печени.— В кн.: Физиология и патология гепатобилиарной системы: Тез. докл. Всесоюз. симпоз. Томск, 1980, с. 3—4.
4. Мирошниченко В. П., Громашевская Л. Л., Касаткина М. Г., Козачек Г. Д. Определение содержания желчных кислот и холестерина в желчи.— Лаб. дело, 1978, № 3, с. 149—153.
5. Berthelot P., Erlinger S., Dhumeau D. et al. Effect of inhibitors of sodium transport on bile formation in the rabbit.— Amer. J. Physiol., 1970, 219, N 2, p. 416—422.
6. Boyer J. L. Canalicular bile formation in the isolated perfused rat liver.— Amer. J. Physiol., 1971, 221, N 4, p. 1156—1163.
7. Boyer J. L. New concepts of mechanisms of hepatocyte bile formation.— Physiol. Rev., 1980, 60, N 2, p. 303—326.
8. Erlinger S. Les mechanism de la secretion biliaire.— Rev. Int. Hepatol., 1968, 18, N 1, p. 1—39.
9. Erlinger S., Dhumeau D. Mechanisms and control of secretion of bile water and electrolytes.— Gastroenterology, 1974, 66, N 2, p. 281—304.
10. Light H. G., Witmer C., Vars H. M. Interruption of the enterohepatic circulation and its effects on rat bile.— Amer. J. Physiol., 1959, 197, N 5, p. 1330—1332.
11. Preisig R. H., Cooper H. L., Wheeler H. O. The relationship between taurocholate secretion rate and bile production in the unanesthetized dog during cholinergic blockade and during secretion administration.— J. Clin. Invest., 1962, 41, N 4, p. 1152—1162.
12. Schersten T., Nilson S., Cahlin E. et al. Relation ship between the biliary excretion of bile acids and the excretion of water, lecithin and cholesterol in man.— Europ. J. Clin. Invest., 1971, 1, N 4, p. 242—247.
13. Soloway R. D., Hofman A. Z., Thomas P. J. et al. Triketocholanoic (dehydrocholic) acid. Hepatic metabolism and effect on bile flow and biliary lipid secretion in man.— J. Clin. Invest., 1973, 52, N 3, p. 715—724.
14. Sperber I. Secretion of organic anions in the formation of urin and bile.— Pharmacol. Rev., 1959, 11, N 1, p. 109—134.
15. Todo G., Oka H., Oda F., Ikeda J. Subfraction of rat liver plasma membrane. Uneven distribution of plasma membrane boyad enzymes on the liver cell surface.— Biochim. biophys. acta., 1975, 413, N 1, p. 52—64.

Институт физиологии
Киевского университета

Поступила 29.03.83

УДК 616.366—085.244.085.36—073

М. И. Спузяк

РЕНТГЕНОЛОГИЧЕСКИЕ ДАННЫЕ О НАПОЛНЕНИИ ЖЕЛЧНОГО ПУЗЫРЯ ПОСЛЕ ВАГОТОМИИ

В последние годы при лечении язвенной болезни желудка и двенадцатиперстной кишки широко используется ваготомия в сочетании с дренирующими операциями и «экономными» резекциями желудка [2, 10, 12]. Большинство авторов считают, что такие сочетанные вмешательства отвечают патогенетической сущности язвенной болезни и в то же время имеют ряд преимуществ в сравнении с так называемыми классическими резекциями желудка. Однако некоторые хирурги относятся к широкому применению ваготомии сдержанно, ввиду возможных нежелательных последствий парасимпатической денервации внутренних органов, в том числе печени и желчных путей. В литературе нет единого мнения о влиянии стволовой ваготомии на функциональное состояние печени и желчных путей. Одни авторы [1, 11] считают, что стволовая ваготомия приводит к значительному торможению желче выделительной функции печени. Другие [9] наблюдали ускорение процесса желчевыделения. Желчевыделительную функцию печени после перерезки буждающих нервов изучали в основном в опытах с наложением фистул. Рентгенологический метод исследования желчевыделительной системы после ваготомии использовали лишь некоторые авторы [4, 13]. Между тем, рентгенологическое исследование, особенно внутренняя холография, являющееся одним из основных методов изучения морфологии и функции желчного пузыря и желчных протоков в клинике, обеспечивает возможность качественной и количественной оценки влияния ваготомии на желчеобразование, желчевыделение и характер наполнения желчного пузыря.

Рентгенологической картине наполнения желчного пузыря при холографии посвящены многочисленные исследования отечественных и зарубежных авторов [5—8, 14, 15]. Показано [3, 4, 8], что желчный пузырь у собак заполняется при внутривенной холографии по тем же закономерностям, что и у человека. Установлено, что через 10—15 мин после внутривенного введения билигната на холограмме появляется изображение внепеченочных желчных протоков и шейки желчного пузыря в виде контрастного «колпачка». Затем возникают краевые полоски и через 30—60 мин после инъекции йодированная желчь опускается на дно пузыря, образуя трехслойность: в области шейки и дна пузыря — контрастная желчь, а между ними слой бесконtrastной желчи. К 90—120—180 мин граница между слоями исчезает, наступает гомогенизация тени пузыря.

В отечественной литературе [5, 6, 8] распространено мнение, что закономерно появляющиеся при холографии колпачок, краевые полоски и трехслойность отражают нормальную концентрационную функцию желчного пузыря. Иной тип наполнения его, при котором феномен слоистости отсутствует либо изменены сроки его появления, расценивается как признак нарушения концентрационной функции, как признак патологии.

Мы изучали влияние ваготомии на желчеобразование, желчевыделение и характер наполнения желчного пузыря при внутривенной холографии в эксперименте на собаках.

Методика исследований

Экспериментальные исследования проведены на восьми клинически здоровых собаках массой от 5 до 15 кг, находившихся в одинаковых условиях питания и содержания. Внутривенная холография проводилась по общепринятой методике с применением 20 % раствора билигната из расчета 0,5 мл/кг контрастного вещества. Билигнот вводили в наружную вену задней конечности собаки в паузу пищеварения. Холограммы производили в специальном станке в положении собаки стоя правым боком к рентгеновской кассете при горизонтальном ходе рентгеновых лучей через 15 мин до полной гомогенизации тени желчного пузыря на стационарном рентгенодиагностическом аппарате ТУР-1001 при следующих технических условиях: напряжении — 50—75 кВ, силе тока — 10 мА, выдержке — 0,03—0,05 с, пленочно-фокусном расстоянии 100 см.

Для получения исходной рентгенологической картины наполнения желчного пузыря до ваготомии осуществлена контрольная холография в 16 опытах. В 26 опытах внутривенная холография произведена после ваготомии, причем у 16 — после односторонней (правосторонней), а в 10 опытах — после двусторонней перерезки блуждающих нервов. Ваготомия производилась в стерильных условиях под местной анестезией с помощью 40—60 мл 0,25—0,5 % раствора новокaina. Блуждающие нервы пересекали на шее во избежание травматизации внутренних органов и веток симпатических нервов. Вначале перерезали правый блуждающий нерв. Спустя 4—10 сут производили холографию. Затем пересекали и левый блуждающий нерв с последующей холографией. Такая методика позволяла изучить влияние как правосторонней (односторонней), так и двусторонней ваготомии на желчеобразование, желчевыделение и на заполнение желчного пузыря. Объемы колпачка, желчи на дне и всего желчного пузыря измеряли по методике Зиффера [16].

Результаты исследований

Правосторонняя ваготомия. На холограммах, произведенных через 15 мин после внутривенного введения билигната, в большинстве случаев (10 из 16) определялся малой интенсивности и меньших размеров, чем в контроле, колпачок. В четырех случаях тень колпачка и вовсе отсутствовала, в двух — размеры колпачка были такими же, как в контроле. Наряду с колпачком в семи опытах прослеживались краевые полоски, а в пяти — контрастная желчь на дне пузыря в виде полоски. Количество йодированной желчи в желчном пузыре, определяемое на холограммах через 15 мин после инъекции билигната, было достоверно уменьшено по сравнению с контролем ($p < 0,05$).

На холограммах, произведенных на 30 мин в девяти опытах определялась трехслойность, причем границы слоев были нечеткими. В трех случаях заполнение происходило по типу двуслойности: контрастный колпачок и значительно менее интенсивная контрастированная остальная часть желчного пузыря. В четырех опытах наблюдался лишь колпачок, занимавший 1/3—1/2 объема пузыря.

На снимках желчного пузыря на 45 мин определялась нечеткая трехслойность с частичной гомогенизацией тени пузыря. Полная гомогенизация тени пузыря наступила на 60 мин (10 опытов) и к 75—90 мин (6 опытов). При этом интенсивность тени данного органа в большинстве случаев (13) была такой же, как в контрольных опытах. И лишь в трех случаях изображение желчного пузыря было малоинтенсивным.

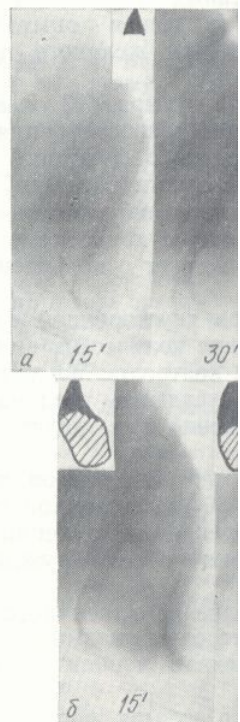
Контрастирование желчных протоков нечетко прослеживалось в восьми опытах, а в других восьми — желчные протоки на холограммах, произведенных спустя 15, 30, 45 и 60 мин после введения билигната, не дифференцировались.

Контрастированная желчь в кишечнике отмечалась в небольшом количестве в пяти опытах. Наполнение желчного пузыря после правосторонней ваготомии представлено на рисунке 1, а.

Двусторонняя ваготомия. Во всех случаях после двусторонней перерезки блуждающих нервов на холограммах, произведенных спустя 15 мин после введения билигната, определялась нечеткая трехслойность: в области шейки желчного пузыря — небольших размеров колпачок, на дне которого толстый слой контрастной малоинтенсивной желчи с нечеткой верхней границей. Суммарное количество йодиро-

ванной желчи (колпачок достоверно увеличено пр $< 0,01$).

На холограммах, про гомогенизация тени пузы



Наполнение желчного пузыря (а)
Холограммы собаки Мурзи
внутривенного введения

интенсивной. Объем желчного пузыря был вдвое больше в контроле и при двусторонней ваготомии.

На снимках желчного пузыря отмечалась полная гомогенизация тени пузыря на снимках на 60 мин.

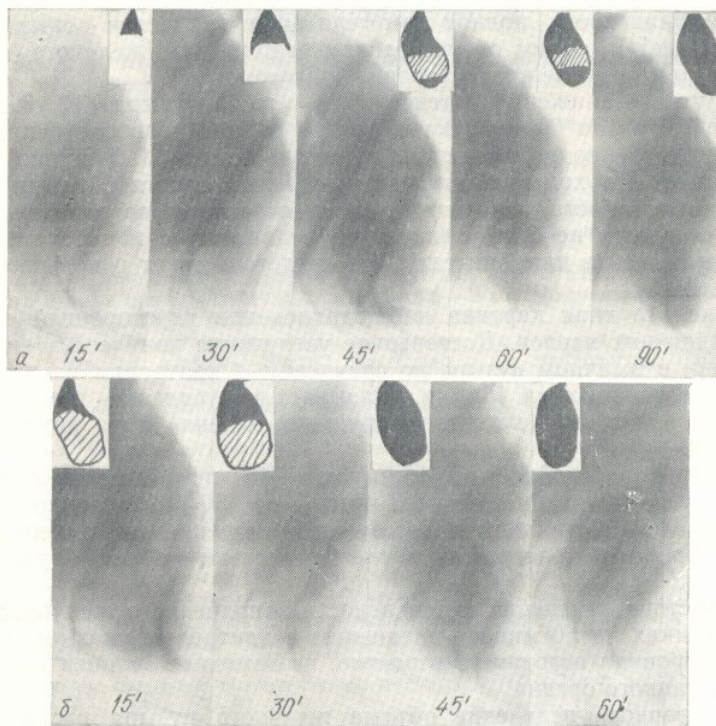
Контрастированные холограммы на 15, 30, 45 и 60 мин просвет умеренно расширился в кишечнике на холограммах введение билигната. На рисунке 1, б, представлена картина, полученная на 60

Обсуждение

Малоинтенсивный уменьшение количества желчи в желчном пузыре или отсутствие его в желчном пузыре на снимках на 60 мин. На рисунке 1, б, представлена картина, полученная на 60

ванной желчи (колпачок + желчь на дне) в желчном пузыре на 15 мин достоверно увеличено при сравнении с контрольными опытами ($p < 0,01$).

На холограммах, произведенных на 30 мин, отмечалась частичная гомогенизация тени пузыря, причем в области шейки тень была более



Наполнение желчного пузыря в паузу пищеварения после правосторонней (а) и двусторонней (б) ваготомии.

Холограммы собаки Мурзика, произведенные спустя 15, 30, 45, 60 и 90 мин после внутривенного введения 5,0 мл 20% раствора билигната.

интенсивной. Объем желчного пузыря и на 15 и на 30 мин после внутривенного введения билигната был значительно больше наблюдавшегося в контроле и при правосторонней ваготомии ($p < 0,01$).

На снимках желчного пузыря, произведенных на 45—60 мин, отмечалась полная гомогенизация тени пузыря. Интенсивность желчного пузыря на снимках на 60 мин была такой же, как в контроле.

Контрастированные желчные протоки дифференцировались на холограммах на 15, 30, 45 и 60 мин. Интенсивность их тени снижена. Просвет умеренно расширен. Следы йодированной желчи определялись в кишечнике на холограммах, произведенных спустя 15—60 мин после введения билигната. Наполнение пузыря после двусторонней ваготомии представлено на рис. 1, б.

Обсуждение результатов исследований

Малоинтенсивный уменьшенный колпачок по сравнению с контролем или отсутствие его на холограммах, произведенных на 15 мин, уменьшенное количество йодированной желчи в желчном пузыре в опытах с правосторонней перерезкой блуждающего нерва указывает на снижение желчеобразовательной функции печени. Малая интенсив-

ность тени колпачка и его протоков или отсутствие их подтверждают снижение желчеобразовательной и желчевыделительной функции печени в первые 10 дней после правосторонней ваготомии.

Наличие краевых полосок (в семи опытах), желчи на дне пузыря (в пяти опытах) на холограммах на 15 мин, частичной гомогенизации тени желчного пузыря на снимках, произведенных на 45 мин после введения билигната, полной гомогенизации (в десяти опытах) на 60 мин свидетельствуют об ускоренном заполнении желчного пузыря при холографии после правосторонней ваготомии.

Отсутствие снижения интенсивности тени пузыря (13 опытов из 16) на снимках на 60 мин указывает на то, что правосторонняя ваготомия существенно не влияет на концентрационную функцию желчного пузыря. На холограммах, произведенных спустя 60 мин после введения билигната, в опытах с правосторонней ваготомией, объем желчного пузыря не был увеличен по сравнению с контролем, а был даже уменьшен (в пяти опытах), что свидетельствует о повышении тонуса пузыря.

Несколько иная картина наблюдалась при двусторонней перерезке блуждающих нервов. Достоверное увеличение количества контрастной желчи в желчном пузыре по сравнению с контролем на холограммах, произведенных на 15 мин, указывает на усиление желчеобразовательной и желчевыделительной функции печени при двусторонней ваготомии.

Наличие трехслойности на снимках на 15 мин всех опытов, частичной гомогенизации тени желчного пузыря на 30 мин и полной гомогенизации на 45—60 мин свидетельствует об ускоренном наполнении желчного пузыря при холографии после перерезки обоих блуждающих нервов.

Отсутствие изменения интенсивности заполненного желчного пузыря на снимках на 60 мин по сравнению с контролем указывает на то, что двусторонняя ваготомия, вероятно, не изменяет концентрационной функции данного органа.

Достоверное увеличение объема желчного пузыря после двусторонней ваготомии по сравнению с контрольными опытами, расширение желчных протоков и наличие следов контрастной желчи в кишечнике при холографии в паузу пищеварения указывают на снижение тонуса пузыря, желчных протоков и сфинктера Одди.

Выводы

- Правосторонняя ваготомия приводит к снижению желчеобразовательной и желчевыделительной функции печени, ускорению наполнения желчного пузыря при внутривенной холографии и повышению его тонуса.

- Двусторонняя ваготомия ведет к усилинию желчеобразовательной и желчевыделительной функции печени, ускоряет наполнение желчного пузыря, снижает тонус пузыря, желчных протоков и сфинктера Одди.

M. J. Spuzjak

X-RAY DATA OF GALLBLADDER FILLING AFTER VAGOTOMY

Summary

The results of 42 experimental tests on 8 dogs, carried out for studying the influence of vagotomy on the character of gallbladder filling by means of the intravenous cholegraphy are presented. It was found out that the right-side vagotomy leads to the reduction of gall-forming and gall-secretory functions of liver, to acceleration of gall-

bladder filling by means of chole leads to a rise of gall-forming bladder filling, reduces its tonus, The Ukrainian Advanced Training Doctors, Kharkov

- Бакурадзе А. Н., Николаева Т и выход ее в кишку.— В кн.: выделения. Львов, 1965, с. 7—
- Гаджиев А. С. Новые аспекты хирургия, 1969, № 7, с. 72—80
- Кинощенко Ю. Т., Спузяк М. П. Пузыри на характер его заполнения рентгенологов и радиологов
- Климов П. К. Механизмы 1969.— 159 с.
- Куликов В. А. Значение холического пузыря при хронической рентгенологии и радиологии
- Куличев В. А. Значение внутренней функции желчного пузыря. с. 46—49.
- Линдебратен Л. Д. Наполнение холического пузыря (Физиология).— Вестн. рентгенологии
- Поляк Е. З. Рентгенологическая норма и при холецистите:
- Сабуров Г. Е. О влиянии холецистита на функцию желчного пузыря. Физиол. журн. СССР, 1961, № 1.
- Ситенко В. М., Курьин А. А. Стимулация холецистита и наполнение кишки ваготомией.— Весн. холециститов, 1962, № 1.
- Соловьев М. М. Желчевыделение кардиальной части желудка
- Шалимов А. А., Саенкю В. А. Холецистит и наполнение кишки.
- Шелкунов И. П., Семидоцк. Функциональное состояние в ин-та, 1972, вып. 115, с. 25—
- Khoor O. Angaben zur Funktion der Physiologie der Auffüllung des Gallenblasens. N 2, s. 201—213.
- Preuss H. J. Schichtungsphysiographie — Ausdruck der Gallenbladder. — Radiology, 1949, 5
- Sieffert de Paula e Silva G. Radiology, 1949, 5

Украинский институт усовершенствования врачей

bladder filling by means of cholegraphy and to a rise of its tone. Bilateral vagotomy leads to a rise of gall-forming and gall-secretory functions of liver, accelerates gall-bladder filling, reduces its tonus, and tonus of gall ducts, and Oddy's sphincter.

The Ukrainian Advanced Training Institute for Doctors, Kharkov

Список литературы

1. Бакурадзе А. Н., Николаева Т. М. О механизмах, регулирующих образование желчи и выход ее в кишку.— В кн.: Физиология и патология желчеобразования и желчевыделения. Львов, 1965, с. 7—14.
2. Гаджиев А. С. Новые аспекты хирургического лечения язвенной болезни.— Клин. хирургия, 1969, № 7, с. 72—80.
3. Кинощенко Ю. Т., Спузяк М. И. О влиянии функционального состояния желчного пузыря на характер его заполнения при холеографии.— В кн.: Материалы II съезда рентгенологов и радиологов Белорус. ССР. Минск, 1976, с. 35.
4. Климов П. К. Механизмы регуляции желчевыделительной системы.— Л.: Наука, 1969.— 159 с.
5. Куликов В. А. Значение холеографии для изучения концентрационной способности желчного пузыря при хронических холециститах.— В кн.: Актуальные вопросы клинической рентгенологии и радиологии. М., 1963, с. 56—57.
6. Куличев В. А. Значение внутривенной холеографии для изучения концентрационной функции желчного пузыря.— Вестн. рентгенологии и радиологии, 1962, № 5, с. 46—49.
7. Линденбратен Л. Д. Наполнение нормальных желчных путей (по данным холеографии).— Вестн. рентгенологии и радиологии, 1960, № 5, с. 3—8.
8. Поляк Е. З. Рентгенологические показатели основных функций желчного пузыря в норме и при холецистите: Автoref. дис. д-ра мед. наук.— Киев, 1969.— 29 с.
9. Сабуров Г. Е. О влиянии vagotomии на желчеотделительную функцию печени.— Физиол. журн. СССР, 1961, № 5, с. 624—629.
10. Ситенко В. М., Курьгин А. А. Десятилетний опыт лечения язвы двенадцатиперстной кишки vagотомией.— Вестн. хирургии, 1975, № 7, с. 3—8.
11. Соловьев М. М. Желчевыделение после поддифрагмальной vagотомии и резекции кардиальной части желудка.— Томск: Изд-во Томск. ун-та, 1960, с. 221—223.
12. Шалимов А. А., Саенко В. Ф. Хирургическое лечение язвенной болезни желудка и двенадцатиперстной кишки.— Клин. хирургия, 1974, № 4, с. 8—12.
13. Щелкунов И. П., Семидоцкий Ю. Е. Влияние vagотомии при язвенной болезни на функциональное состояние внепеченочных желчных путей.— Науч. тр. Харьков. мед. ин-та, 1972, вып. 115, с. 25—26.
14. Khoor O. Angaben zur Funktion der Callenblase und der ableitenden Gallengänge die Physiologie der Auffüllung der Gallenblase.— Fortschr. Röntgenstr., 1974, 121, N 2, s. 201—213.
15. Preuss H. J. Schichtungsphänomene der Gallenblase bei der intravenösen cholangiozystografie — Ausdruck der resorptiven Schleimhautfunktion.— Ibid., 1970, N 1, s. 3—7.
16. Sieffert de Paula e Silva G. S. Simple method for computing volumene of the gall-bladder.— Radiology, 1949, 52, N 1, p. 94—101.

Украинский институт
усовершенствования врачей

Поступила 23.03.81

УДК 636.4.084+612.015.32

В. В. СНИТИНСКИЙ, В. Г. ЯНОВИЧ

АКТИВНОСТЬ НАДФ Н-ГЕНЕРИРУЮЩИХ ДЕГИДРОГЕНАЗ В ПЕЧЕНИ И ЖИРОВОЙ ТКАНИ СВИНЕЙ ПРИ РАЗНОМ СОДЕРЖАНИИ ЖИРА В РАЦИОНЕ

Образование НАДФ Н в печени и жировой ткани животных находится в тесной взаимосвязи с их липогенной функцией. Лимитирующей стадией в синтезе триацилглицеринов в указанных тканях является синтез жирных кислот, который зависит, с одной стороны, от активности ферментов, при участии которых происходит образование ацетил-КоА, а с другой стороны — от активности НАДФ Н-генерирующих дегидрогеназ цикла трикарбоновых кислот и пентозофосфатного пути [6, 19].

Интенсивность липогенеза в печени и жировой ткани животных находится в прямой зависимости от содержания жира в рационе [5, 20, 17]. Это обусловлено ингибирующим действием экзогенных жирных кислот на их синтез *de novo* в тканях животных по принципу механизмов обратной связи. Ингибирующее действие скармливаемых жиров на липогенез в печени и жировой ткани животных разных видов проявляется в неодинаковой степени. В частности, ингибирование синтеза липидов в тканях свиней под влиянием жиров рациона проявляется в значительно меньшей степени, чем в тканях крыс и кур [21]. Добавление жира к рациону свиней в небольшом количестве (1—2 % от сухой массы корма) ингибирует липогенез в их тканях [18].

В связи с этим научный и практический интерес представляет изучение механизмов, при участии которых осуществляется влияние скармливаемых свиньям жиров на синтез липидов в их тканях. С целью изучения этого вопроса мы исследовали влияние добавок подсолнечникового масла к рациону поросят после отъема их от свиноматок на активность глюкозо-6-фосфатдегидрогеназы (КФ 1.1.1.49), 6-фосфоглюконатдегидрогеназы (КФ 1.1.1.44), НАДФ-зависимой мальтдегидрогеназы (КФ 1.1.1.40) и изоцитратдегидрогеназы (КФ 1.1.1.42) в их печени и подкожной жировой ткани.

Методика исследований

Опыты проведены на четырех группах поросят-аналогов 45-дневного возраста крупной белой породы, по 5 голов в каждой. Поросят до 45-дневного возраста выращивали под свиноматками, с 12-дневного возраста их подкармливали предстартером. После отъема поросята I группы получали рацион согласно норм ВИЖа, состоящий из стартерного комбикорма. Поросята II группы получали аналогичный рацион с добавкой подсолнечникового масла в количестве 3 % от общего содержания энергии. Поросят III группы содержали на безжировом рационе, состоящем из картофельного крахмала и сухого снятого молока, а поросят IV группы — на аналогичном рационе, к которому добавляли подсолнечниковое масло в количестве 3 % от общего содержания энергии в рационе. Общее количество липидов в рационе поросят I, II, III и IV групп составляло соответственно 3,9; 5,9; 0,01 и 2,1 %.

Животных забивали в 3-месячном возрасте и полученные от них пробы печени и подкожной жировой ткани использовали для исследований. Ткани гомогенизировали при температуре 0 °C в среде, содержащей 10 ммоль-НСl буфера (рН 7,5), 0,154 ммоль KCl, 5 ммоль ЭДТА, 5 ммоль MgCl₂ и 5 ммоль дитиотрентола. Гомогенат центрифугировали в течение 10 мин при 3000 *q* и полученную надосадочную жидкость использовали для исследований. Активность ферментов определяли спектрофотометрически, регистрируя восстановление НАДФ в стандартной кювете в термостатирующем кюветодержателе при +25 °C. Предварительно экспериментальным путем подбирали оптимальные условия ферментативных реакций. Во всех случаях активность фермента зависела

от концентрации белка в пробе: в думемых тканях определяли активности [4], глюкозо-6-фосфатдегидрогеназу [13].

Результаты

Из приведенных в таблице 1 результатов поросят после отъема от матерей на активность НАДФ Н-генерирующих дегидрогеназ в печени и жировой ткани свиней в разном содержании жира в рационе. Изменение активности НАДФ-зависимых дегидрогеназ в печени животных, к рациону которых добавлено 3 % жиров, было значительно ниже (на 20—25 %) в печени животных, получавших в рационе добавки (I и III группы). Активность НАДФ Н-генерирующих дегидрогеназ в печени животных, к рациону которых добавлено 3 % жиров, была значительно выше (на 20—25 %) в печени животных, получавших в рационе добавки (I и III группы). Активность НАДФ Н-генерирующих дегидрогеназ в печени животных, к рациону которых добавлено 3 % жиров, была значительно выше (на 20—25 %) в печени животных, получавших в рационе добавки (I и III группы).

Активность исследованных ферментов в печени и жировой ткани свиней

Ферменты	Активность исследованных ферментов в печени и жировой ткани свиней	
	I	III
Г-6-ФДГ	$0,24 \pm 0,002$	$0,20 \pm 0,007$
6-ФГДГ	$2,06 \pm 0,020$	$0,21 \pm 0,001$
Изо-ЦДГ	$1,13 \pm 0,02$	$0,73 \pm 0,02$
МДГ	$1,76 \pm 0,04$	$1,52 \pm 0,04$

Из полученных нами результатов видно, что высокая активность НАДФ-зависимых дегидрогеназ в печени и жировой ткани свиней в разном содержании жира в рационе. Активность НАДФ-зависимых дегидрогеназ в печени и жировой ткани свиней в разном содержании жира в рационе. Активность НАДФ-зависимых дегидрогеназ в печени и жировой ткани свиней в разном содержании жира в рационе.

Межгрупповые различия в активности НАДФ-зависимых дегидрогеназ в печени и жировой ткани свиней были значительными. Особенно большая разница в активности НАДФ-зависимых дегидрогеназ в печени и жировой ткани свиней в разном содержании жира в рационе. При этом активность НАДФ-зависимых дегидрогеназ в печени и жировой ткани свиней в разном содержании жира в рационе. При этом активность НАДФ-зависимых дегидрогеназ в печени и жировой ткани свиней в разном содержании жира в рационе. При этом активность НАДФ-зависимых дегидрогеназ в печени и жировой ткани свиней в разном содержании жира в рационе.

от концентрации белка в пробе и была пропорциональна времени инкубации. В исследуемых тканях определяли активность малатдегидрогеназы [10], изоцитратдегидрогеназы [4], глюкозо-6-фосфатдегидрогеназы и 6-фосфоглюконатдегидрогеназы [8], а также количество белка [13]. Полученные данные обрабатывали статистически [1].

Результаты исследований и их обсуждение

Из приведенных в таблице данных видно, что содержание жира в рационе поросят после отъема от свиноматок оказывает существенное влияние на активность НАДФ Н-генерирующих дегидрогеназ в их печени и жировой ткани. В частности, активность всех исследуемых НАДФ-зависимых дегидрогеназ, особенно малатдегидрогеназы, в печени животных, к рациону которых добавляли жир (II и IV группы), была значительно ниже ($p < 0,001$) по сравнению с активностью ферментов в печени животных, рацион которых не содержал жировых добавок (I и III группы). Наиболее высокая активность НАДФ Н-генерирующих дегидрогеназ выявляется в печени животных III группы, которые в течение опыта получали безжировой рацион. Активность указанных ферментов в печени животных II группы, в рационе которых содержалось максимальное количество липидов, самая низкая. Эти различия отражают зависимость между активностью НАДФ Н-регенерирующих дегидрогеназ в печени свиней и содержанием липидов в их рационе.

Активность исследуемых ферментов в печени и подкожной жировой ткани свиней (мкмоль субстрата/10 мг белка) мин, $n=5$

Ферменты	Группы животных			
	I	II	III	IV
Печень				
Г-6-ФДГ	0,24±0,002	0,15±0,004	0,28±0,007	0,19±0,009
6-ФДГ	0,20±0,007	0,11±0,004	0,28±0,009	0,15±0,003
Изо-ЦДГ	2,06±0,020	1,10±0,041	2,13±0,052	1,43±0,08
МДГ	0,21±0,001	0,08±0,001	0,24±0,002	0,09±0,002
Подкожная жировая ткань				
Г-6-ФДГ	1,13±0,02	0,56±0,02	1,62±0,08	0,71±0,03
6-ФДГ	0,73±0,02	0,45±0,01	1,17±0,03	0,19±0,04
Изо-ЦДГ	1,76±0,04	0,72±0,02	1,39±0,08	0,64±0,03
МДГ	1,52±0,04	0,91±0,06	3,63±0,13	1,63±0,09

Из полученных нами результатов также заслуживает внимания более высокая активность изоцитратдегидрогеназы в печени животных всех групп, по сравнению с активностью остальных исследуемых НАДФ-зависимых дегидрогеназ, что свидетельствует о важной роли цикла трикарбоновых кислот не только в энергетических, но и в синтетических процессах в указанном органе свиней.

Межгрупповые различия в активности НАДФ Н-генерирующих дегидрогеназ в жировой ткани свиней носят такой же характер, как и в печени. Особенно большие изменения претерпевают активность малатдегидрогеназы в жировой ткани свиней в зависимости от количества жира в их рационе. При этом обращает на себя внимание значительно более высокая активность всех исследуемых НАДФ-зависимых дегидрогеназ, за исключением изоцитратдегидрогеназы, в жировой ткани свиней, чем в печени. Эти результаты согласуются с данными [16] о значительно более интенсивном липогенезе в жировой ткани свиней по сравнению с печенью, а также о важной роли всех исследуемых дегидрогеназ, особенно малатдегидрогеназы, в образовании НАДФ Н, используемого в синтезе жирных кислот в указанной ткани.

Полученные нами результаты свидетельствуют о наличии зависимости между содержанием жира в рационе свиней и активностью НАДФ Н-генерирующих дегидрогеназ в их печени и жировой ткани, о различиях в активности отдельных исследуемых дегидрогеназ в указанных тканях и степени ее изменения в зависимости от количества потребленного ими жира. Ранее аналогичная зависимость была установлена между содержанием жира в рационе свиней, с одной стороны, и активностью АТФ-цитратлиазы и НАДФ-зависимой малатдегидрогеназы в их жировой ткани, с другой стороны [3, 14, 17]. Это обусловлено особенностями метаболизма оксалоacetата в тканях животных и сопряженностью реакций, обеспечивающих образование ацетил-КоА и НАДФ Н, используемых в синтезе жирных кислот [12].

Анализ полученных нами результатов и данных такого плана, полученных в исследованиях на крысах [20], свидетельствуют о значительно большем изменении активности НАДФ Н-генерирующих дегидрогеназ в печени свиней в зависимости от содержания жира в рационе, чем в указанных тканях крыс. Результаты наших исследований позволяют нам сделать вывод о том, что ингибирующее влияние на активность НАДФ Н-генерирующих дегидрогеназ в печени и жировой ткани свиней растительных жиров, содержащих главным образом полиненасыщенные жирные кислоты, проявляется в большей мере по сравнению с влиянием животных жиров [3, 17], в составе которых преобладают насыщенные жирные кислоты.

Из полученных нами результатов также следует, что отсутствие полиненасыщенных жирных кислот в рационе поросят после отъема не оказывает существенного влияния на их рост. Среднесуточное увеличение живой массы поросят I, II, III и IV групп за период опыта составляло соответственно 380; 390; 410 и 405 г. По-видимому, это обусловлено, с одной стороны, интенсивным синтезом олеиновой кислоты в тканях поросят из глюкозы, аминокислот и ацетата и превращением ее в более ненасыщенные жирные кислоты, а с другой стороны — всасыванием из толстого кишечника полиненасыщенных жирных кислот, в том числе линолевой, синтезируемых населяющей его микрофлорой. Такое предположение вытекает из данных, полученных в исследованиях на крысах, получавших рацион, не содержащий жиров, у которых отмечен интенсивный синтез моно-, три- и пентаеновых жирных кислот в тканях [2], а также из данных о синтезе линолевой кислоты микроорганизмами, обитающими в преджелудках жвачных [9].

Следует отметить, что в интенсивности роста поросят, получавших после отъема безжировой рацион, и поросят, в рационе которых содержалось 2 % жира также не выявлено существенных различий [11]. По-видимому, сложившиеся представления о важном значении полиненасыщенных жирных кислот для роста поросят основаны на данных, полученных в исследованиях на животных, которым сразу после рождения начинали выпаивать снятое молоко. Как известно, новорожденные поросыта характеризуются низким относительным содержанием полиненасыщенных жирных кислот в составе липидов тканей [15], а относительное количество микроорганизмов в толстом кишечнике поросят в молочный период невелико [7].

Выводы

1. Добавление к рациону поросят после отъема от свиноматок подсолнечникового масла в количестве 3 % от энергетической ценности рациона приводит к снижению активности глюкозо-б-фосфат-дегидрогеназы, б-фосфоглюконатдегидрогеназы, изоцитратдегидрогеназы и малатдегидрогеназы в печени и жировой ткани в 2—2,5 раза.

2. При скармливании поросятам безжирового рациона в их печени и жировой ткани резко повышается активность НАДФ Н-генерирующих дегидрогеназ.

3. Скармливание пороссина в течение 1,5 мес не сивность их роста.

1. Ойин И. А. Статистическая ний.—Патол. физиология и
2. Alfin-Slater R. H., Aftergood 1968, 48, N 4, p. 758—784.
3. Allee G. L., Romson D., Leo lipid biosynthesis and enzyma Med., 1971, 137, N 2, p. 449—4
4. Cleland W. W., Thomson W from pig heart.—Metods Enzy
5. Dupont J., Lewis H. Lipid me and calories.—J. Nutr., 1963, N
6. Flatt J. P., Ball E. G. The ro acid synthesis in adipose tiss York : Acad. Press, 1963, p. 75
7. Friend D. W., Cunningham H. in the alimentary tract of t p. 170—181.
8. Glock G. E., McLean P. Furth phate dehydrogenase and 6-^t J., 1953, 53, p. 400—408.
9. Hagemeister H., Kaufmann 1 von Milchkuhen.—Übers. Tier
10. Hsu R., Lardy A. Malic enz
11. Kass M. L., Pond W. G., W acids in swine.—J. Anim. Sc
12. Kornacker W. S., Lowenstein fat.—Biochem. J., 1965, 94, N
13. Lowry O. H., Rosebrough N. the Folin phenol reagent.—
14. Mersmann H. J., Houk J. M. adipose tissue preparations f p. 1123—1129.
15. Molnar S., Neumann H., Me der lipidfraktionen von Leib beim Schwein.—Ztsch. Tierpl. S. 159—177.
16. O'Hea E. K., Leveille O. A. acid synthesis in the pig ar lipogenesis.—J. Nutr., 1969, 9
17. O'Hea E. K., Leveille G. A adipose tissue as influence N 2, p. 173—175.
18. Patterson A. Effect of stor becon pigs.—Swed. J. Agr. F
19. Shosaku N. Regulation of i 1974, 69, p. 53—96.
20. Taylor C. B., Bailey E., Bart of the rat.—Biochem. J., 196
21. Waterman R. A., Romson I tallow on growth, plasma Soc. Exp. Biol. Med., 1975, 1

Украинский институт физиологии сельскохозяйственных животных

3. Скармливание поросятам 45-дневного возраста безжирового рациона в течение 1,5 мес не оказывает существенного влияния на интенсивность их роста.

Список литературы

1. Ойвин И. А. Статистическая обработка результатов экспериментальных исследований.—Патол. физиология и эксперим. терапия, 1960, № 4, с. 76—85.
2. Alfin-Slater R. H., Aftergood L. Essential fatty acids reinvestigated.—Physiol. Rev., 1968, **48**, N 4, p. 758—784.
3. Allee G. L., Romsos D., Leveille G. A., Baker D. H. Influence of age on in vitro lipid biosynthesis and enzymatic activity in pig adipose tissue.—Proc. Soc. Exp. Biol. Med., 1971, **137**, N 2, p. 449—452.
4. Cleland W. W., Thomson W., Barden E. Isocitrate dehydrogenase (TPN-specific) from pig heart.—Methods Enzymol., 1969, N 13, p. 30—33.
5. Dupont J., Lewis H. Lipid metabolism of young female rats fed diets varying in fat and calories.—J. Nutr., 1963, N 4, p. 397—401.
6. Flatt J. P., Ball E. G. The role of reduced coenzymes and oxygen in control of fatty acid synthesis in adipose tissue.—In: the control of lipid metabolism. London; New York: Acad. Press, 1963, p. 75—77.
7. Friend D. W., Cunningham H. M., Nicholson J. W. Volatile fatty acids and lactic acid in the alimentary tract of the young pig.—Canad. J. Anim. Sci., 1963, **45**, N 1, p. 170—181.
8. Glock G. E., McLean P. Further studies on the properties and assay of glucose 6-phosphate dehydrogenase and 6-phosphogluconate dehydrogenase in rat liver.—Biochem. J., 1953, **53**, p. 400—408.
9. Hagemeister H., Kaufmann W. Verwendungsmöglichkeit von Fett in der Ernährung von Milchkühen.—Übers. Tierernährg., 1979, N 7, s. 1—30.
10. Hsu R., Lardy A. Malic enzyme.—Methods Enzymol., 1969, **13**, p. 230—235.
11. Kass M. L., Pond W. G., Walker E. F. Significance of the synthesis essential fatty acids in swine.—J. Anim. Sci., 1976, **41**, N 3, p. 804—808.
12. Kornacker W. S., Lowenstein J. M. Citrate and the conversion of carbohydrate into fat.—Biochem. J., 1965, **94**, N 1, p. 209—215.
13. Lowry O. H., Rosebrough N. J., Furr A. L., Randall R. J. Protein measurement with the Folin phenol reagent.—J. Biol. Chem., 1951, **193**, p. 265—275.
14. Mersmann H. J., Houk J. M., Phinney G., et al. Lipogenesis by in vitro in liver and adipose tissue preparations from neonatal swine.—Amer. J. Physiol., 1973, **224**, N 5, p. 1123—1129.
15. Molnar S., Neumann H., Meulen U. Untersuchungen zur Fettsäurezusammensetzung der Lipidfraktionen von Leber, Herz und Lunge in prae- und postnatalen Stadion beim Schwein.—Ztsch. Tierphysiol. Tierernähr. Futtermittelkunde, 1971, **27**, N 3, S. 159—177.
16. O'Hea E. K., Leveille O. A. Significance of adipose tissue and liver as sites fatty acid synthesis in the pig and the efficiency of utilization of various substrates for lipogenesis.—J. Nutr., 1969, **99**, N 3, p. 338—344.
17. O'Hea E. K., Leveille G. A., Sugahara M. Lipogenesis and enzyme activity in pig adipose tissue as influenced by dietary protein and fat.—Int. J. Biochem., 1970, **1**, N 2, p. 173—175.
18. Patterson A. Effect of storage on value of feed mixtures containing animal fat for bacon pigs.—Swed. J. Agr. Res., 1973, **3**, N 1, p. 31—33.
19. Shosaku N. Regulation of fatty acid synthesis in higher animals.—Ergeb. Physiol., 1974, **69**, p. 53—96.
20. Taylor C. B., Bailey E., Bartley W. Changes in hepatic lipogenesis during development of the rat.—Biochem. J., 1967, **105**, N 2, p. 717—722.
21. Waterman R. A., Romson D. R., Tsai A. C. et al. Influence of dietary safflower oil tallow on growth, plasma lipids and lipogenesis in rats, pigs and chicks.—Proc. Soc. Exp. Biol. Med., 1975, **150**, N 2, p. 347—351.

УДК 612.3:612.015.33:612.015.38

Л. А. Дубицкий, И. В. Шостаковская

**ИЗМЕНЕНИЕ СООТНОШЕНИЯ ДВУХ ПУТЕЙ СИНТЕЗА
ПИРИМИДИНОВЫХ ПРЕДШЕСТВЕННИКОВ РНК
В ОТДЕЛЬНЫХ ОРГАНАХ ПИЩЕВАРИТЕЛЬНОГО ТРАКТА
ПОД ВЛИЯНИЕМ АЦЕТИЛХОЛИНА**

Известно, что синтез пиримидиновых нуклеотидов осуществляется в клетках животных как из нециклических соединений, с образованием промежуточного метаболита — оротовой кислоты (путь *de novo*), так и за счет реутилизации продуктов распада нуклеиновых кислот (уридина и др.). Соотношение этих путей синтеза нуклеотидов различно в разных органах и изменяется при регенерации и пролиферации тканей [1, 6, 9]. В то же время нервные механизмы регуляции этих процессов изучены недостаточно.

Учитывая существенную роль холинергических механизмов в регуляции секреции пищеварительных желез, а также имеющиеся в литературе указания об активации обмена нуклеиновых кислот на высоте секреции [3, 7, 8, 12, 22], мы поставили задачу определить вклад каждого из путей в синтез пиримидиновых нуклеотидов РНК отдельных пищеварительных желез животных до и после введения им ацетилхолина.

Методика исследований

Эксперименты проводили на белых крысах массой 170—220 г, голодающих перед опытом в течение 18—20 ч. Ацетилхолин гидрохлорид вводили внутривенно вместе с прозерином за 1; 2 и 3 ч до декапитации. Доза ацетилхолина составляла 100 мкг, а прозерина — 5 мкг/100 г. $[2\text{-}^{14}\text{C}]$ -оротовую кислоту (Институт изотопов АН ВНР; 31,4 мКи/ммоль) и $[2\text{-}^{14}\text{C}]$ -уридин (Всесоюзное объединение «Изотоп», СССР; 55,2 мКи/ммоль) вводили внутривенно в эквимолярных количествах по 0,5 мкмоля/ 100 g за 1 ч до декапитации. Удельная радиоактивность вводимых препаратов после соответствующих разведений составляла $4,36 \times 10^7$ имп/мин на 1 мкмоль.

После декапитации животных печень, поджелудочную железу и желудок извлекали, замораживали и, отделив предварительно слизистую оболочку желудка от мышечного слоя, немедленно поддавали последующую обработку. Навески тканей гомогенизировали в 0,5 н. HClO_4 , центрифугировали при 2000 г 15 мин. Осадок последовательно промывали в 0,2 и 0,1 н. HClO_4 . Первые две надосадочные фракции объединяли и обозначали как кислотостойкую фракцию (КРФ). Все перечисленные операции проводили на холоде. Осадок делипидизировали и использовали для выделения нуклеотидов РНК методом щелочного гидролиза [11].

Радиоактивность препаратов определяли на газопроточном счетчике «Протока». Полученные результаты обработаны статистически с использованием критерия Стьюдента.

Результаты исследований и их обсуждение

В данной работе интенсивность новообразования и реутилизационного пути синтеза пиримидиновых нуклеотидов мы оценивали по скорости включения радиоактивно меченых ключевых метаболитов этих путей — $[2\text{-}^{14}\text{C}]$ -оротовой кислоты и $[2\text{-}^{14}\text{C}]$ уридина, в нуклеотиды РНК.

Результаты опытов прежде всего свидетельствуют о том, что радиоактивная метка оротовой кислоты и уридуна с различной скоростью включается в суммарную РНК исследуемых тканей (табл. 1). Так, радиоактивность РНК ткани печени после введения меченой оротовой кислоты почти на два порядка выше, чем в двух других исследуемых органах: слизистой оболочки желудка и поджелудочной железе. Радиоактивность РНК слизистой оболочки желудка в 1,3 раза выше, чем

Изменение соотношения

в поджелудочной железе (*р* тканей исследуемых органов) поджелудочная железа, печень,

**Поступление радиоактивно
и кислотостойкими**

Название органа	Рад
Слизистая оболочка желудка	[2]
Поджелудочная железа	3
Печень	3

Слизистая оболочка желудка
Поджелудочная железа
Печень

Примечание. РА — радиоактивно

**Доля новообразования
пирамидиновых нуклеотидов**

Показатели	%
Доля новообразования, %	Доля реутилизационного пути, %
Доля реутилизационного пути, %	Доля новообразования, %

Примечание. Долю путей определено на основе усредненных данных по органам.

Для характеристики спектра РНК двумя альтернативами образования (σн) и реутилизации радиоизотопа каждого из исследуемых тканей согласно

$$\sigma_n = \frac{A_{op}}{A_{op} + A_{ur}}$$

где Аор и Аур — радиоактивность оротовой кислоты и уридуна соответственно.

Результаты этих вычислений таблицы, в печени преобразованного путем незначительных литературными данными [1, 2], показывают, что оротат в анаболическом виде распадается в этом органе в 1,3 раза быстрее, чем в желудке и поджелудочной железе, что соответствует соответственно 36,8

в поджелудочной железе ($p < 0,05$). Поступление метки уридина в РНК тканей исследуемых органов снижается в следующем порядке: поджелудочная железа, печень, слизистая оболочка желудка.

Таблица 1
Поступление радиоактивной метки оротовой кислоты и уридина в РНК и кислоторастворимую фракцию тканей ($M \pm m$; $n=5$)

Название органа	Радиоактивность, имп/мин на 1 г ткани $\times 10^{-2}$		$\frac{\text{РА РНК}}{\text{РА КРФ}} \times 100$
	РНК	КРФ	
[2- ¹⁴ C]-оротовая кислота			
Слизистая оболочка желудка	36,0 \pm 1,1	178,4 \pm 8,1	20,21 \pm 0,88
Поджелудочная железа	27,3 \pm 3,4	311,8 \pm 24,2	8,80 \pm 0,93
Печень	3433,7 \pm 294,1	20463,6 \pm 1360,0	16,84 \pm 1,14
[2- ¹⁴ C]-уридин			
Слизистая оболочка желудка	21,0 \pm 1,4	84,7 \pm 6,9	25,74 \pm 2,90
Поджелудочная железа	40,6 \pm 3,8	310,0 \pm 44,6	13,74 \pm 1,37
Печень	23,0 \pm 1,8	178,2 \pm 24,3	15,80 \pm 1,99

Примечание. РА — радиоактивность; КРФ — кислоторастворимая фракция тканей.

Таблица 2
Доля новообразования и реутилизационного пути синтеза пиримидиновых нуклеотидов РНК в исследованных органах

Показатели	Слизистая оболочка желудка	Поджелудочная железа	Печень
Доля новообразования, %	63,11	40,20	99,33
Доля реутилизационного пути, %	36,89	59,80	0,67

Примечание. Долю путей синтеза нуклеотидов рассчитывали на основании усредненных данных по радиоактивности РНК исследуемых органов.

Для характеристики способности тканей синтезировать нуклеотиды РНК двумя альтернативными путями мы рассчитали долю новообразования (σ_n) и реутилизационного пути (σ_p), приравненную к доле радиоизотопа каждого из вводимых меченых соединений в РНК исследуемых тканей согласно приведенным формулам:

$$\sigma_n = \frac{A_{op}}{A_{op} + A_{up}} \times 100, \quad \sigma_p = 100 - \sigma_n,$$

где A_{op} и A_{up} — радиоактивность РНК исследуемых тканей после введения животным меченой оротовой кислоты и уридина.

Результаты этих вычислений представлены в табл. 2. Как видно из этой таблицы, в печени преобладает путь *de novo*, а доля реутилизационного пути незначительна и составляет 0,67 %, что согласуется с литературными данными [1, 6, 9, 15, 21] о преимущественном включении оротата в анabolический путь обмена, основная часть уридина распадается в этом органе до β -аланина и воды. В слизистой оболочке желудка и поджелудочной железе доля реутилизационного пути составляет соответственно 36,89 и 59,80 %, что позволяет предположить

важное значение этого пути в синтезе пиримидиновых предшественников РНК этих органов. Уридин также более интенсивно поступает в РНК из КРФ данных тканей (табл. 1), в первую очередь в РНК поджелудочной железы. Так, в РНК печени количество метки оротовой кислоты и уридина составляет соответственно 16,8 и 15,8 % радиоактивности КРФ. В слизистой оболочке желудка этот показатель составляет 20,2 % после введения оротовой кислоты и 25,7 % после введения уридина, а в поджелудочной железе соответственно — 8,8 и 13,7 %

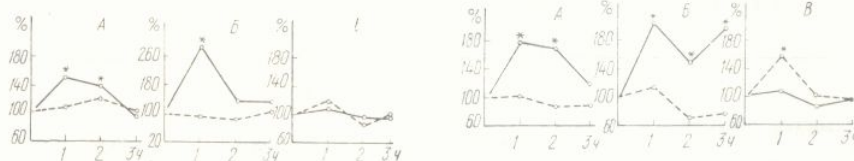


Рис. 1. Поступление меченых предшественников в РНК слизистой оболочки желудка (A), поджелудочной железы (B) и печени (B) после введения ацетилхолина.

По горизонтали — время после введения ацетилхолина (ч); по вертикали — имп/мин на 1 г ткани (% к контролю принятому за 100). Звездочка — $p < 0,05$. Сплошная линия — [^{3}H]-оротовая кислота, прерывистая — [^{3}H]-уридин.

Рис. 2. Поступление меченых предшественников в КРФ слизистой оболочки желудка (A), поджелудочной железы (B) и печени (B) после введения ацетилхолина.

Обозначения см. рис. 1.

($p < 0,05$). Указанные различия свидетельствуют, во-первых, о более эффективном использовании уридина для синтеза РНК клетками поджелудочной железы и, по-видимому, слизистой оболочки желудка, чем клетками печени; во-вторых, — о более эффективном извлечении из КРФ меченых предшественников для синтеза пиримидиновых нуклеотидов РНК в слизистой оболочке желудка, чем в двух других исследуемых тканях. В основе последнего отличия лежит, по-видимому, высокая регенераторная способность слизистой оболочки желудка [18].

Способность эффективно использовать для синтеза пиримидиновых нуклеотидов РНК уридин и другие нуклеотиды выявлена также в нервной, легочной, костной и некоторых других тканях [6, 9, 14, 21], характеризующихся низкой скоростью образования карбамоилфосфата [20], лимитирующего звена синтеза *de novo* пиримидиновых нуклеотидов, что по аналогии можно предположить и для исследуемых тканей.

Ацетилхолин гидрохлорид, введенный животным совместно с прозерином, способствует увеличению поступления метки оротовой кислоты в РНК слизистой оболочки желудка и поджелудочной железы (рис. 1). Так, радиоактивность РНК этих тканей увеличивается уже через 1 ч после введения ацетилхолина соответственно на 50 ($p < 0,01$) и 78 % ($p < 0,001$) по отношению к контролю. Это сопровождается одновременным повышением радиоактивности КРФ, превышающей в слизистой оболочке желудка на 78 ($p < 0,001$), а в поджелудочной железе — на 105 % ($p < 0,001$) контрольный уровень (рис. 2). Такой же эффект наблюдается в слизистой оболочке желудка и через 2 ч после введения ацетилхолина. В то же время в поджелудочной железе скорость поступления оротовата в РНК замедляется, хотя радиоактивность КРФ этой ткани значительно превышает контрольный уровень ($p < 0,01$). В печени скорость поступления метки оротовой кислоты в РНК и КРФ под влиянием ацетилхолина изменяется незначительно.

Поступление радиоактивной метки уридина под влиянием ацетилхолина в исследуемые ткани значительно отличается. Так, включение радиоактивно меченого уридина в РНК этих тканей под влиянием ацетилхолина практически не изменяется. Зато ацетилхолин стимулирует поступление меченого уридина в КРФ печени на 59 % ($p < 0,05$),

Изменение соотношения

не влияя на подобное постподжелудочное железе.

Таким образом, полученной специфике влияния ацетилхолина и уридина и оротовой кислоты нельзя удовлетворить мимическими сдвигами в тканях ацетилхолина [5], о чем свидетельствует поступление радиоактивных тканей животных [17], мыния меченого оротовата в РНК поджелудочной железы по требностями клеточного отурными данными о стимулировании синтеза пиримидиновых нуклеотидов в новообразованном сердце лягушки [1] (ляя полученные нами и лигации фосфорибозилпирофосфатным мессенджером ацетилхолина на новообразование на уровне фосфорибозильной процесс включения определяется также аллостерической тетазы [18], начального энзима).

Отсутствие подобного влияния ацетилхолина можно считать высшим уровнем дов по сравнению с двумя видами о зависимости влияния нуклеотидов от органной и других сторон обмена веществ.

L. A. Dubin

CHANGES IN CORRELATION
PRECURSOR SYNTHESIS
TRACT AND

It was shown that the rate of soluble fraction was two orders higher in rat pancreas than in liver. The rate of incorporation of [^{3}H]-uridine into RNA of the rat stomach mucosa and pancreas increased the rate of [^{3}H]-UTP and [^{3}H]-uridine-5'-monophosphate in the presence of acetylcholine. The rate of incorporation of [^{3}H]-uridine into the RNA of rat liver was not changed by acetylcholine.

Department of Human and Animal Physiology,
I. Franko State University, Lvov

- Ворновицкая Г. И., Дубинин А. А. Изменение соотношения двух путей синтеза предшественников пиримидиновых нуклеотидов в печени и поджелудочной железе крысы под влиянием ацетилхолина // Бюл. экспериментальной биологии и медицины. — 1970. — № 10. — С. 10—13.
- Глебов Р. Н., Поздняков О. А. Стимуляция синтеза пиримидиновых нуклеотидов в печени крысы под влиянием ацетилхолина // Бюл. экспериментальной биологии и медицины. — 1969. — № 34. — Вып. 3. — С. 524—528.

не влияя на подобное поступление в слизистой оболочке желудка и поджелудочной железы.

Таким образом, полученные результаты свидетельствуют об органной специфике влияния ацетилхолина на распределение радиоактивного уридуна и оротовой кислоты в исследуемых органах. Наблюдаемые эффекты нельзя удовлетворительно объяснить возможными гемодинамическими сдвигами в тканях пищеварительных желез под влиянием ацетилхолина [5], о чём свидетельствует отсутствие односторонности в поступлении радиоактивного уридуна и оротовой кислоты в исследуемые ткани. Учитывая данные о быстром проникновении оротата в ткани животных [17], мы считаем, что увеличение скорости поступления меченого оротата в РНК и КРФ слизистой оболочки желудка и поджелудочной железы под влиянием ацетилхолина обусловлено потребностями клеточного обмена веществ. Это согласуется с литературными данными о стимулировании ацетилхолином новообразования пиримидиновых нуклеотидов в других тканях, в том числе в изолированном сердце лягушки [10] и синаптосомах мозга крыс [2]. Сопоставляя полученные нами и литературные данные об аллостерической активации фосфорибозилпирофосфатсинтетазы цГМФ [13], являющейся клеточным мессенджером ацетилхолина [4], следует полагать, что влияние ацетилхолина на новообразование пиримидиновых нуклеотидов осуществляется на уровне фосфорибозилпирофосфатсинтетазной реакции. Концентрация фосфорибозилпирофосфата не только может лимитировать процесс включения оротата в пиримидиновые нуклеотиды [16], но является также аллостерическим активатором карбамоилфосфатсинтетазы [18], начального энзима синтеза *de novo* пиримидиновых нуклеотидов.

Отсутствие подобного эффекта в печени, а также накопление под влиянием ацетилхолина меченого уридуна в КРФ этого органа, со значительно высшим уровнем новообразования пиримидиновых нуклеотидов по сравнению с двумя другими органами (табл. 2), свидетельствует о зависимости влияния ацетилхолина на обмен пиримидиновых нуклеотидов от органной специфики этого обмена и, по-видимому, от других сторон обмена веществ в исследуемых органах.

L. A. Dubitsky, I. V. Shostakovskaya

CHANGES IN CORRELATION OF TWO PATHWAYS OF RNA PYRIMIDINE PRECURSOR SYNTHESIS IN CERTAIN ORGANS OF THE DIGESTIVE TRACT UNDER ACETYLCHOLINE INFLUENCE

Summary

It was shown that the rate of $[2-^{14}\text{C}]$ -orotic acid inclusion into RNA and acid-soluble fraction was two order higher in the liver than in the stomach mucosa and pancreas of rats. The rate of $[2-^{14}\text{C}]$ -uridin inclusion into RNA and total acid-soluble fraction was the highest in the pancreas. Intraperitoneal acetylcholine injection to animals increased the rate of $[2-^{14}\text{C}]$ -orotic acid inclusion into RNA and acid-soluble fraction of the stomach mucosa and pancreas but not of the liver. Acetylcholine promoted accumulation of $[2-^{14}\text{C}]$ -uridin in the acid-soluble fraction of the liver and had no influence on its inclusion into the stomach mucosa and pancreas.

Department of Human and Animal Physiology,
I. Franko State University, Lvov

Список литературы

1. Ворновицкая Г. И., Дубинина И. Г., Герштейн Е. С. и др. Изменение соотношения двух путей синтеза предшественников РНК в тканях животных с быстрорастущими гепатомами.— Бюл. эксперим. биологии и медицины, 1979, № 3, с. 267—270.
2. Глебов Р. Н., Поздняков О. М. Стимулирующий эффект ацетилхолина на включение *in vitro* $[2-^{14}\text{C}]$ -оротовой кислоты в синаптосомы мозга у крыс.— Биохимия, 1969, 34, вып. 3, с. 524—528.

3. Губерниев М. А., Ильина Л. И. Скорость обновления фосфонуклеопротенда в пищеварительных железах.—Докл. АН СССР, 1951, 71, № 2, с. 351—353.
4. Кожемякин Л. А., Коростовцев Д. С., Королева Т. Р. Циклические нуклеотиды в клинической и экспериментальной медицине.—В кн.: Циклические нуклеотиды. М.: Наука, 1979, с. 92—128.
5. Курчин И. Т. Кровоснабжение главных пищеварительных желез.—Л.: Наука, 1978. —164 с.
6. Матвеенко В. Н. Биосинтез пиримидиновых нуклеотидов в нормальной и регенерирующей костной ткани.—Вопр. мед. химии, 1980, № 2, с. 162—164.
7. Николов Т. К., Данев П. К. Содержание нукleinовых кислот в слизистой желудка у кошек наташак и при возбуждении секреторной деятельности.—Укр. биохим. журн., 1958, 30, № 5, с. 652—655.
8. Свистун Т. И., Загороднева А. Г., Наливайко Д. Г. Роль нукleinовых кислот и белков слизистой оболочки желудка в секреторном процессе.—Физиол. журн., 1981, 27, № 1, с. 101—106.
9. Ткачук А. М. Исследование синтеза пиримидиновых нуклеотидов у цыплят: Автограф. дис. ... канд. биол. наук.—Киев, 1980.—24 с.
10. Турлаев Т. М., Путинцева Т. Г. Биохимический механизм саморегуляции холинергического медиаторного процесса.—Успехи физiol. наук, 1974, 5, № 1, с. 17—47.
11. Шаткин А. Определение содержания РНК, ДНК и белка с помощью меченых предшественников и последующего химического фракционирования.—В кн.: Методы вирусологии и молекулярной биологии. М.: Мир, 1972, с. 191—193.
12. Шостаковская И. В. Экспериментальный анализ работоспособности поджелудочной железы: Автограф. дис. ... д-ра мед. наук.—Львов, 1968.—40 с.
13. Green C. D., Martin D. W. A Direct Stimulating Effect of Cyclic GMP on Purified Phosphoribosyl Pyrophosphate Synthetase and its Antagonism by Cyclic AMP.—Cell, 1974, N 4, p. 241—245.
14. Hogans A. F., Gueroff G., Udenfriend S. Studies on the origin of pyrimidines for biosynthesis of neural RNA in the rat.—J. Neurochem., 1971, 18, N 9, p. 1699—1710.
15. Harley E. H., Losman M. J. Anabolic and catabolic pathways of pyrimidine metabolism in rat liver.—Int. J. Biochem., 1981, 13, N 2, p. 247—249.
16. Jones M. E. Pyrimidine nucleotide biosynthesis in animals: genes, enzymes, and regulation of UMP biosynthesis.—Ann. Rev. Biochem., 1980, 49, p. 253—279.
17. Lewan L., Petersen I., Yugner T. Incorporation of Orotic Acid into Nucleotides and RNA in Mouse Organs during 60 Minutes.—Hoppe-Seyles Z. Physiol. Chem., 1975, 356, p. 425—429.
18. Lipkin M. Cell proliferation in the gastrointestinal tract in man.—Fed. Proc., 1965, N 1, p. 10—14.
19. Tatibana M., Shigesada K. Two carbamyl phosphate synthetases of mammals. Specific roles in control of pyrimidine and urea biosynthesis.—Adv. Enzyme Regul., 1972, 10, p. 249—255.
20. Tatibana M., Ito K. Control of Pyrimidine Biosynthesis in Mammalian Tissues.—J. Biol. Chem., 1969, 244, N 19, p. 5403—5414.
21. Witschi H. Comparative study of in vivo RNA and protein synthesis in rat liver and lung.—Cancer Res., 1972, 32, N 8, p. 1686—1694.
22. Szostakowska I. W. Regulacja nerwowa przemiany kwasów nukleinowych i fosfolipidów w tkance trzustki w okresie wydzielania.—Annales UMCS Lublin—Polonia, 1965, 20, N 42, p. 349—363.

Кафедра физиологии человека и животных
Львовского университета

Поступила 14.05.82

УДК 612.385:577.17

С. В. Вовчук
А. П.

ВЛИЯНИЕ КАЛЛИКРЕИНА НА

Внимание исследователей новой системы в регуляции физиологии, что кининовая система рассматривается как гуморальные регуляторы кровотока организма [7, 38, 42].

Литературные данные о логических функциях желудка являются значительные изменения. С ее активацией связывают также болевой синдром, полученных в клинических условиях исследований, в которых регулировать моторную деятельность желудка и кислотность желудочного сокращения слизистой оболочки же-

Влияние калликреин-кининовой системы на фармакологические свойства гладкой мускулатуры. Исследование большую чувствительность матки крысы, что позволило и в чувственном определении кининов.

На различные отделы кишечника оказывает значительное действие: расслабляющие кишечника (у кроликов кинины кращают нижележащие отделы артериальное введение брадикининов. Внутривенное введение брадикининов вызывает эффект.

Биологическое действие кининов вызывает на возможное влияние на чувствительность нерва [25]. Подтверждение высвобождение кининов мышечного препарата желудка.

Расслабляющее действие кининов осуществляется через несколько секунд после введения препарата. Восстановление кининов 20 мин [25].

Однократная инъекция кининов интенсивности и циклическими волами (6—8 ч) моторной деятельности желудка действует противоположно фаза активации моторной активности калликреинов и многом зависит от тонуса мускулатуры.

УДК 612.385:577.17

С. В. Вовчук, Ю. В. Коленда, И. Ф. Львов,
А. П. Левицкий, А. С. Сыновец

ВЛИЯНИЕ КАЛЛИКРЕИН-КИНИНОВОЙ СИСТЕМЫ НА ФУНКЦИИ ЖЕЛУДКА

Внимание исследователей все больше привлекает изучение роли калликреин-кининовой системы в регуляции физиологических функций организма. Связано это с тем, что кининовая система рассматривается в настоящее время как связующее звено всех гуморальных регуляторов крови, действие которых направлено на поддержание гомеостаза организма [7, 38, 42].

Литературные данные о роли калликреин-кининовой системы в регуляции физиологических функций желудка показывают, что при патологии этого органа наблюдаются значительные изменения в содержании компонентов кининовой системы [6, 13]. С ее активацией связывают тяжесть заболеваний желудка, выраженность и продолжительность болевого синдрома, возникновение рецидивов [17, 18]. Однако трактовка полученных в клинических условиях данных не согласуется с результатом экспериментальных исследований, в которых показана способность калликреин-кининовой системы регулировать моторную деятельность желудка [19], снижать объем желудочной секреции и кислотность желудочного сока [2, 26], а также стимулировать пролиферацию клеток слизистой оболочки желудка [41].

Влияние калликреин-кининовой системы на моторику желудка. Одним из основных фармакологических свойств кининов является их способность влиять на тонус гладкой мускулатуры. Исследования, проведенные в этом плане, показали, что наибольшую чувствительность к действию брадикинина проявляет изолированный рог матки крыс, что позволило использовать этот орган в качестве тест-объекта при количественном определении кининов и их аналогов [15].

На различные отделы желудочно-кишечного тракта кинины оказывают неоднозначное действие: расслабляют гладкую мускулатуру желудка и двенадцатиперстной кишки (у кроликов кинины вызывают сокращение двенадцатиперстной кишки) и сокращают нижележащие отделы тонкой кишки [23]. По своей выраженности внутриартериальное введение брадикинина превосходит действие гистамина на желудок [24]. Внутривенное введение брадикинина вызывает аналогичный, хотя менее выраженный эффект.

Биологическое действие кининов не изменяется в присутствии атропина, что указывает на возможное влияние кининового компонента в механизме действия блуждающего нерва [25]. Подтверждением этого предположения являются данные, показывающие высвобождение кининоподобных веществ при стимуляции блуждающего нерва мышечного препарата желудка лягушки [45].

Расслабляющее действие брадикинина на гладкую мускулатуру желудка появляется через несколько секунд после внутривенного введения и зависит от дозы вводимого препарата. Восстановление тонуса желудка к норме происходит через 15—20 мин [25].

Однократная инъекция калликреина в дозе 1,5—4,5 е/кг вызывает фазовые изменения интенсивности и цикличности периодов сокращений желудка. После фазы активации (6—8 ч) моторной деятельности наступает ее угнетение. Ингибиторы кининообразующих ферментов, в частности контрикал, оказывают на гладкую мускулатуру желудка действие, противоположное калликреину, т. е. после фазы расслабления следует фаза активации моторной деятельности [19]. Это указывает на то, что от активности калликреинов и количества ингибиторов, а также от их соотношения во многом зависит тонус мускулатуры желудка и характер его периодической ритмики.

На регуляторную роль кининовой системы указывают данные о нормализации нарушений периодической деятельности желудка и двенадцатиперстной кишки на фоне введения калликреина при неблагоприятных условиях, в частности, при вибрации [5].

Влияние калликреина на пролиферацию клеток слизистой оболочки желудка.

Работами ряда исследователей показано, что одной из возможных физиологических функций калликреина является стимуляция митотической активности эпителиальных клеток кишечника. Так установлено, что введение в просвет кишки панкреатического калликреина приводит к увеличению количества митозов в клетках слизистой оболочки желудка, двенадцатиперстной и тощей кишки и не оказывает существенного влияния на пролиферацию клеток подвздошной и толстой кишки [41]. При перевязке главного протока поджелудочной железы количество клеток, находящихся в стадии митоза, резко снижается, а ежедневное введение до 30 ед. калликреина восстанавливает нормальную митотическую активность.

Как *in vitro*, так и *in vivo* было показано, что включение ^{3}H -тимидина в слизистую оболочку желудка и двенадцатиперстной кишки увеличивается на фоне калликреина [43].

По аналогии с действием на клетки других органов (виличковой железы, костного мозга) предполагают, что митотический эффект калликреинов на ткани желудочно-кишечного тракта связан с изменением уровня циклического АМФ и ионов кальция в процессе клеточного цикла [39].

Работами последних лет установлено, что калликреины могут быть теми протеазами, под действием которых происходит образование активной формы многих гормонов из неактивных предшественников. Этот вывод был сделан на основании данных, показавших, что под действием калликреинов слюнных желез образуются гормоны полипептидной природы, такие как фактор роста эпидермиса и фактор роста нервов [21]. Учитывая, что быстро размножающиеся и обновляющиеся клетки содержат значительные концентрации фактора роста, вполне возможно, что одним из механизмов действия калликреинов на пролиферацию является участие их в процессинге этих гормонов и гормоноподобных веществ.

Влияние калликреина на желудочную секрецию. Способность калликреинов вызывать атропин-резистентное расширение сосудов, а также обнаружение этих ферментов практически во всех железистых органах позволило предположить участие кининовой системы в развитии рабочей гиперемии органов и регуляции их функциональной активности [34].

Данные литературы, за исключением единственной работы [30], указывают на снижение желудочной секреции под действием кининов (2, 3, 11, 26, 27, 28, 32). Так, исследованиями на собаках с павловским желудочком [26] и на крысах, оперированых по методу Шей [27], было установлено, что внутривенное введение брадикинина оказывает ингибиторный эффект на желудочную секрецию, общую продукцию соляной кислоты и пепсина. Такое же действие оказывал брадикинин на желудочную секрецию, стимулированную инсулином. Снижение желудочной секреции коррелирует с дозой вводимого препарата [28].

Аналогичные результаты были получены с препаратами калликреина, полученными из подчелюстных желез [2, 11]. Действие калликреина в этом случае было исследовано на эзофаготомированных собаках с басовской фистулой желудка [2] и на крысах, у которых желудочный сок собирали путем перевязки пилорического отдела желудка [11]. Как и в случае с брадикинином, антисекреторное действие калликреина зависело от дозы вводимого препарата. Большие дозы калликреина вызывали выраженное и длительное снижение желудочной секреции, в то время как меньшие дозировки оказывали кратковременный эффект, что позволяет рассматривать их как пороговые дозы.

Следует отметить, что внутривенное введение калликреина вызывает не только количественные, но и качественные изменения желудочной секреции. С одной стороны, калликреин снижает концентрацию соляной кислоты, а с другой — увеличивает активность пепсина в желудочном соке [2, 11]. Эти результаты указывают на различный характер действия калликреина на главные и обкладочные клетки желудочных желез и показывают большую чувствительность обкладочных клеток.

Усиление ферментовыделительной функции желудка особенно четко проявляется при введении малых, близких к физиологическим, доз калликреина, что может свидетельствовать о его участии в рабочей гиперемии желудка, подобно тому, как это

описано для других железистых: ние больших доз калликреина общей продукции HCl и пепсина в желудочном соке.

Подтверждением специфических ингибиторов (контрикал) части на желудочную секрецию [2].

Полученные результаты и лудочную секрецию позволяют слюнных желез ингибитор желудка природу. Подтверждением эти очистки сиалогастрона полностью этого гормона во многом

Таким образом, представляемая система оказывает выраженное действие. Это позволяет предполагать, что секреции, моторики и клеточного действия кининов на функции связана со многими гормональными эффектами кининов на желудочно-кишечной системе. В этом плане особый интерес представляет новой системы с гормонами и лягушки желудочной секреции, гипофиза, коры надпочечников.

Взаимосвязь кининовой системы. Одним из самых специфических гастроинтестинальных гормонов, что на фоне введения брадикинина после кратковременного увеличения в течение всего периода понижается, является снижение уровня гастринов. Было дальнейшего исследования.

В настоящее время при внимании исследователей все (лет показано, что простагландинов и принимают непосредственно [36].

Установлено, что некоторые гормоны и опосредованы их действие может осуществляться двумя путями: кининов (например, усиление ствительных нервов), либо прологических эффектов кининов.

Таким образом, учитывая и многие эффекты кининов, следует обратить внимание, что кинин имеет идентичное действие, вполне соответствующее кининовой системы на желудочно-

Из большого количества гормонов, наиболее диуретическим гормоном. В них представленных в ряде ингибиторный эффект вазопрессина.

Поводом для изучения:ались работы, в которых был зывается антидиуретическое действие [30, 46]. Задержка фильтрации и почечного кро

описано для других железистых органов [24]. В отличие от малых дозировок, введение больших доз калликреина вызывает не только снижение желудочной секреции, общей продукции HCl и пепсина, но и уменьшает концентрацию ферментов и белка в желудочном соке.

Подтверждением специфического действия калликреина является тот факт, что ингибиторы (контрикал) частично предотвращают тормозящее действие калликреина на желудочную секрецию [2].

Полученные результаты по влиянию калликреина подчелюстных желез на желудочную секрецию позволяют предположить, что выделенный ранее из слюны и слюнных желез ингибитор желудочной секреции (сиалогастрон) имеет калликреиновую природу. Подтверждением этого предположения является и тот факт, что схема очистки сиалогастрона полностью совпадает со схемой получения калликреина, а свойства этого гормона во многом совпадают со свойствами калликреина [3, 32].

Таким образом, представленные данные убедительно показывают, что кининовая система оказывает выраженное воздействие на функциональную активность желудка. Это позволяет предполагать, что кинины принимают участие в регуляции желудочной секреции, моторики и клеточной пролиферации. Открытым остается вопрос о механизме действия кининов на функцию желудка. Учитывая, что кининовая система тесно связана со многими гормональными системами, вполне возможно предположить, что эффекты кининов на желудочную секрецию опосредованы через другие регуляторные системы. В этом плане особый интерес представляет рассмотрение взаимосвязи кининовой системы с гормонами и гормоноподобными веществами, участвующими в регуляции желудочной секреции, такими как гистамин, гастрин, простагландины, гормоны гипофиза, коры надпочечников.

Взаимосвязь кининовой системы и гормонов при действии на желудочную секрецию. Одним из самых специфических регуляторов желудочной секреции является гастроинтестинальный гормон — гастрин. В исследованиях на собаках было показано, что на фоне введения брадикинина содержание гастрэна в антравальной части желудка после кратковременного увеличения резко снижается и находится на низком уровне в течение всего периода пониженной желудочной секреции [29]. По всей видимости, одним из возможных механизмов гипоацидного действия калликреина и кининов является снижение уровня гастрэна в антравальной части желудка. Однако вопрос этот требует дальнейшего исследования.

В настоящее время при изучении механизмов регуляции желудочной секреции внимание исследователей все больше привлекают простагландины. Работами последних лет показано, что простагландины широко распространены в желудочно-кишечном тракте и принимают непосредственное участие в регуляции секреции и моторики желудка [36].

Установлено, что некоторые эффекты кининов зависят от биосинтеза простагландинов и опосредованы их действием [31]. Действие кининов через простагландины может осуществляться двумя путями: простагландины либо модулируют активность кининов (например, усиление болевого эффекта путем сенсибилизации рецепторов чувствительных нервов), либо простагландины являются посредниками в проявлении биологических эффектов кининов [35, 37].

Таким образом, учитывая, что кинины являются активаторами простагландинов и многие эффекты кининов связаны с высвобождением простагландинов, а также принимая во внимание, что кинины и простагландины оказывают на желудочную секрецию идентичное действие, вполне возможно предположить, что ингибирующее действие кининовой системы на желудочную секрецию опосредовано через простагландины.

Из большого количества гормонов гипофиза, оказывающих воздействие на желудочную секрецию, наиболее полно изучена взаимосвязь кининовой системы с антидиуретическим гормоном. В настоящее время имеется большое количество работ, широко представленных в ряде обзоров и монографий, в которых показан выраженный ингибиторный эффект вазопрессина на желудочную секрецию [16].

Поводом для изучения взаимосвязи кининов с антидиуретическим гормоном явились работы, в которых было показано, что внутривенное введение брадикинина оказывает антидиуретическое действие, продолжающееся дольше, чем возникающая гипотензия [30, 46]. Задержка диуреза возникает на фоне неизмененной клубочковой фильтрации и почечного кровотока. Рядом работ было показано также, что между

содержанием вазопрессина и кининов в плазме крови существует прямая корреляционная зависимость [20]. На основании этого было высказано предположение о существовании тесной взаимосвязи между кининами и антидиуретическим гормоном, а антидиуретическое действие брадикинина начали связывать с выделением вазопрессина из задней доли гипофиза [40].

Следует отметить, что во всех экспериментальных работах, посвященных изучению взаимосвязи с антидиуретическим гормоном, о концентрации гормона в сыворотке крови судили на основании биологических тестов, т. е. по задержке диуреза. Это является серьезным недостатком рассматриваемых работ, так как на мочевыделительную функцию почек, наряду с вазопрессином, оказывают влияние ряд других гормонов и биологически активных веществ.

При изучении механизмов действия кининовой системы на диурез было показано [4], что антидиуретическое действие калликреина и брадикинина не устраняется предварительным введением животным этилового спирта, общеизвестного блокатора инкреции вазопрессина [1]. Это указывает на возможное влияние других механизмов действия кининов в реализации этого эффекта. Однако окончательно ответить на данный вопрос, а следовательно, и на вопрос о возможности опосредованного действия кининов на желудочную секрецию через вазопрессин, возможно будет только на основании исследований по непосредственному определению концентрации гормона в плазме крови на фоне активации кининовой системы.

Как было указано ранее, желудочная секреция — сложный процесс, регуляторами которого являются многие нервные и гуморальные системы, в том числе и гормоны надпочечников [16]. Дисфункция коры надпочечников, характеризующаяся пониженной выработкой минералокортикоидов и повышенным выделением глюкокортикоидов, часто приводит к нарушению секреторной функции желудка и способствует развитию патологических состояний (гастритов, эрозий, язв). В связи с этим интерес представляют сведения о характере взаимодействия кининовой системы с гормонами коры надпочечников как в плане исследования одного из возможных механизмов гипoadицного действия кининов, так и в плане установления их возможной роли в патогенезе язвенной болезни желудка и двенадцатиперстной кишки.

Взаимосвязь кининовой системы с минералокортикоидами осуществляется в основном, через систему ренин-ангиотензин, играющую главную роль в регуляции секреции альдостерона. Показано, что существует несколько общих звеньев в регуляции активности калликреин-кининовой и ренин-ангиотензиновой систем. Прежде всего необходимо отметить, что почечный калликреин рассматривается в настоящее время как фермент, превращающий плазменный проренин в ренин и активирующий тем самым всю систему ренин-ангиотензин [44]. Кроме того, взаимосвязь между этими двумя системами может осуществляться через общий фермент, который впервые был выделен из ткани почек и легких крупного рогатого скота и названный, в соответствии с Международной классификацией ферментов, пептидил-дипептидазой (вместо старых названий ангиотензинпревращающий фермент, кининаза-II, карбоксикатепсин) [8, 14].

Установлено, что пептидил-дипептидаза катализирует превращение физиологически неактивного ангиотензина I в ангиотензин II и одновременно отщепляет два концевых дипептида от молекулы брадикинина, инактивируя тем самым гипотензивный пептид [9]. На этом основании пептидил-дипептидаза рассматривается в настоящее время как ключевой фермент двух физиологических систем: ренин-ангиотензиновой и калликреин-кининовой [9, 14].

Рядом клинических и экспериментальных работ установлена также взаимосвязь кининовой системы с глюкокортикоидами. Показан определенный антагонизм между глюкокортикоидами и кининами, а введение больших доз гормонов приводит к снижению активности кининовой системы плазмы крови [22, 47]. На этом основании предполагают, что благоприятный эффект глюкокортикоидов при кардиогенном шоке связан с кинин-ингибирующим действием гормонов [12] и стабилизацией лизосомальных мембран, что в свою очередь также препятствует кининообразованию [33, 48]. При болезни Иценко — Кушинга показано, что избыток глюкокортикоидов тормозит активность кининовой системы почек, а при болезни Адиссона в условиях гипокортицизма происходит усиленное образование кининов [10].

Нами было показано, что внутривенное введение калликреина и брадикинина приводит к выраженному снижению концентрации гормона в ткани надпочечников и плаз-

Влияние калликреин-кининовой

системы на концентрацию гормона в плазме крови. Причем этот факт и функции коры надпочечников [1] воздействующая на кору надпочечника фермента, вызывающей секрецию гормона.

Таким образом, на основе изучения взаимосвязи кининов и гормонов надпочечников, воздействующих на кору надпочечников, можно сделать вывод, что кинины играют важную роль в регуляции секреции гормонов коры надпочечников, а гормоны коры надпочечников могут влиять на секрецию кининов.

Анализ представленных данных показывает, что гуморальные механизмы действия кининов в организме взаимосвязаны кининами и гормонами коры надпочечников, многие стороны этих связей требуют дальнейшего всестороннего изучения.



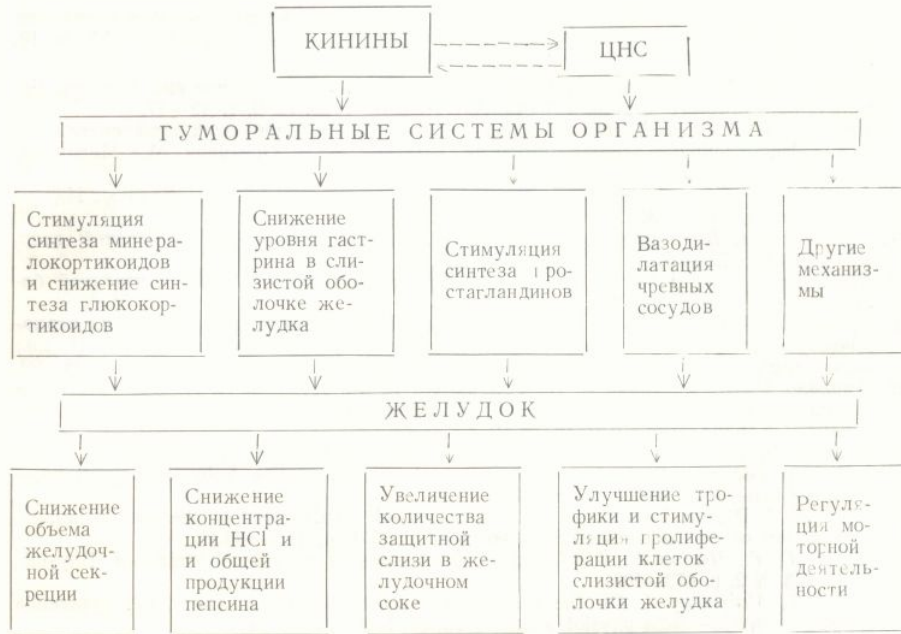
Таким образом, имеющиеся данные показывают, что кинины оказывают многосторонний характер действия калликреин-кининовой системы, как адаптационный, и поэтому активация калликреин-кининовой системы является важной функцией организма.

1. Абельсон Ю. О. Регуляция гормональной активности кининов. 1977, 8, № 1, с. 109—114.
2. Вовчук С. В., Левицкий А. М. Влияние кининов на концентрацию гормонов коры надпочечников у собак. 1977, № 1, с. 131—138.
3. Вовчук С. В., Левицкий А. М. Влияние кининов на концентрацию гормонов коры надпочечников у собак. 1977, с. 52.
4. Вовчук С. В., Коленда К. В. Влияние кининов на концентрацию гормонов коры надпочечников у собак. 1977, № 5, с. 683—687.

ме крови. Причем этот факт происходит на фоне повышенной минералокортикоидной функции коры надпочечников [4]. Следует отметить, что пороговая доза калликреина, воздействующая на кору надпочечников (1 мг/кг), соответствует пороговой концентрации фермента, вызывающей снижение желудочной секреции у крыс [11].

Таким образом, на основании существующих данных можно сделать вывод, что кинины играют важную роль в регуляции гормональной активности коры надпочечников, воздействуя как на минералокортикоидную, так и на глюкокортикоидную функции. По всей видимости, от уровня этих двух групп кортикостероидов, синтез которых регулируется кининами, может зависеть в определенной степени характер желудочной секреции.

Анализ представленных данных позволяет нам предложить следующую схему гуморальных механизмов действия кининов на желудок (схема). Следует отметить, что в организме взаимосвязь кининов с другими регуляторными системами, определяющими уровень желудочной секреции, является более сложной и многогранной. К сожалению, многие стороны этих связей выяснены еще недостаточно и требуют своего дальнейшего всестороннего изучения. Прежде всего это касается нервной системы, играющей важную роль в регуляции секреторной активности желудка.



Таким образом, имеющаяся в настоящее время информация позволяет заключить, что кинины оказывают многостороннее действие на функцию желудка. В целом характер действия калликреин-кининовой системы на желудок следует рассматривать как адаптационный, и поэтому наблюдаемая в клинике при патологии желудка активация калликреин-кининовой системы должна рассматриваться как защитная реакция организма.

Список литературы

1. Абелсон Ю. О. Регуляция секреции антидиуретического гормона.— Успехи физиол. наук. 1977, 8, № 1, с. 109—133.
2. Вовчук С. В., Левицкий А. П., Осадчий Б. Д., Соколов С. А. Влияние калликреина подчелюстных желез собак на желудочную секрецию.— Физiol. журн. СССР, 1977, 63, № 1, с. 131—138.
3. Вовчук С. В., Левицкий А. П., Осадчий Б. Д., Соколов С. А. Деякі біохімічні властивості сіалогастрону.— В кн.: III Укр. біохім. з'їзд: Тези стенд. повід. Донецьк, 1977, с. 52.
4. Вовчук С. В., Коленда Ю. В., Левицкий А. П., Сыновец А. С. Влияние кининовой системы на гормональную функцию коры надпочечников.— Физiol. журн., 1980, 26, № 5, с. 683—687.

5. Гарустович Т. Н., Низкодубова С. В., Суходоло В. Д. Действие вибрации на гастро-дуденальный отдел пищеварительного тракта в условиях нарушения баланса пищеварительных секретов и введения калликеина.— В кн.: Механизмы адаптации и компенсации физиологических функций в экстремальных условиях: Тр. Зап.-Сиб. отд.-ния физиологов, биохимиков и фармакологов. Томск, 1977. с. 56—57.
6. Геллер Л. И., Кобзев В. С. Кининовая система крови у больных язвенной болезнью.— Клин. медицина, 1975, 53, № 10, с. 56—59.
7. Дзизинский А. А., Гомазков О. А. Кинины в физиологии и патологии сердечно-сосудистой системы.— Новосибирск: Наука, 1976.— 208 с.
8. Елисеева Ю. Е., Орехович Б. Н. Открытие карбоксикатепсина в почке быка.— Докл. АН СССР, 1963, 153, № 1, с. 954—956.
9. Елисеева Ю. Е., Орехович Б. Н., Павлихина Л. В. Карбоксикатепсин — ключевой фермент двух систем, регулирующих кровяное давление.— Вопр. мед. химии, 1970, 16, № 6, с. 646—649.
10. Ланциберг Л. А., Некрасов А. А., Марова Е. Н. Влияние гормонов коры надпочечников на состояние кининовой системы.— Пробл. эндокринологии, 1976, 22, № 1, с. 16—18.
11. Левицький А. П., Вовчук С. В., Осадчий Б. Д. та ін. Вплив салівайну на шлункову секрецію.— Фізіол. журн., 1977, 23, № 3, с. 229—333.
12. Малах Л. Т., Беркельєва С. Г., Лазарєва С. А. Активность кининогеназы и кининазы при инфаркте миокарда и кардиогенном шоке.— Вестн. АМН СССР. 1973, № 3, с. 30—40.
13. Макаревич Я. А., Панова Т. Н., Панов А. А. Исследование свободных кининов крови при язвенной болезни (клиника и лечение).— Сов. медицина, 1977, № 10, с. 90—95.
14. Орехович Б. Н., Елисеева Ю. Е., Павлихина Л. В. Энзимологические факторы регуляции сосудистого тонуса.— Вестн. АМН СССР, 1976, № 9, с. 42—47.
15. Пасхина Т. С. Биохимические основы патологии сердечно-сосудистой системы.— В кн.: Молекулярные основы патологии / Под ред. В. И. Орехович. М.: Медицина, 1966, с. 123—178.
16. Раубиль О. С., Вайнштейн С. Г. Эндокринная система и желудок.— Казань: Изд-во Казан. ун-та, 1973.— 327.
17. Степанова И. В. О роли кининов в патогенезе язвенной болезни.— Врачеб. дело, 1978, № 10, с. 72—75.
18. Степанова И. В., Визир А. Д. Кининовая система крови у больных язвенной болезнью.— Врачеб. дело, 1974, № 10, с. 21—22.
19. Суходоло В. Д., Гарустович Т. И., Суходоло И. В. Влияние калликеина на периодическую деятельность желудка и двенадцатиперстной кишки собак.— В кн.: Физиологическая роль поверхностноактивных веществ. Черновцы, 1975, с. 98—99.
20. Фуркало Н. К., Фролькис Р. А., Головченко С. Ф., Дорогой А. П. Вазопрессин и калликеин-кининовая система крови у больных хронической ишемической болезнью сердца.— Кардиология. 1979, 19, № 10, с. 64—68.
21. Botwell M. A., Wilson W. H., Shoofer E. M. The relationship between glandular kallikrein and growth factor-processing proteases of mouse Submaxillary gland.— J. Biol. Chem., 1979, 254, N 15, p. 7287—7294.
22. Cline M. J. Plasma kinins and cortisol: a possible explanation of the anti inflammatory action of cortisol.— Science, 1966, 153, N 3704, p. 1135—1138.
23. Elliott D. F., Horton E. W., Lewis G. P. Actions of pure bradykinin.— J. Physiol., 1960, 153, N 2, p. 473—480.
24. Fasth S., Martinson J. On the possible role of bradikinin in functional hyperemia of cats stomach.— Acta physiol. scand. 1973, 89, N 3, p. 334—341.
25. Fasth S., Hulten Z., Jahnberg T., Martinson J. Comparative studies on the effects of bradykinin and vagal stimulation on motility in the stomach and colon.— Ibid., 1975, 93, N 1, p. 77—84.
26. Groza P., Corneanu M., Buzoianu V. et al. Influenta bradikinini asupra secretiei salivare si gastrice.— St. cerc. fiziol., 1966, 11, N 4, p. 315—321.
27. Groza P., Buzoianu V., Jonescu S., Rusovici L. Recherches sur le mecanisme de l'inhibition de la secretion gastrique produite par la bradykinine.— Rev. roum. physiol., 1967, 4, N 3, p. 177—181.
28. Groza P., Corneanu M., Jonescu S. et al. Cercetori privind actiunea gastroinhibitoare a bradilinelui.— Studii si cercetari fiziol.— Acad. RSR, 1968, 13, N 2, p. 109—113.
29. Groza P., Corneanu M., Jonescu S. Effect of bradikinin on antral gastrin.— Rev. roum. physiol., 1972, 9, N 6, p. 461—470.
30. Jacobson E. D. Effects of bradikinin on the kidney and gastrointestinal organs.— Handbook of Exp. Pharmacol., 1970, 25, p. 385—388.
31. Juan H., Lembeck F. Release of prostaglandins from the isolated perfused rabbit ear by bradykinin and acetylcholine.— Agents and Actions, 1976, 6, N 5, p. 642—645.
32. Kobayashi M., Yamamoto M. Studies of the inhibitory substances of gastric secretion in salivary glands Extraction.— J. Pharmacol. Soc. Jap., 1972, N 3, p. 226—231.
33. Lefer A. M., Verrier K. L. Role of corticosteroids in the treatment of circulatory collapse states.— Clin. Pharmacol. and Therap., 1970, 11, N 4, p. 630—642.

34. Lewis G. P. The role of p Roy. Med., 1971, 64, N 1, p.
35. McGiff J. C., Itskovits H. of the renal kallikrein — kin p. 175—180.
36. Miller T. A., Jacobson E. D 1979, 20, N 1, p. 75—87.
37. Nasletti A., Malik K. U. Re system.— Life Sci., 1979, 25,
38. Paskina T. S., Levitskiy A. kallidin and kallikrein. Berl
39. Rixon R. H., Whitfield J. F. mus and bone marrow o p. 279—284.
40. Roche e Silva M., Matnic G J. Pharm. Exp. Therap., 1964
41. Rohr J. W., Peterhoff J. intestinal tract of rats.— 147—157.
42. Schachter M. Kallikreins (regulatory actions.— Pharm
43. Schütte B., Linder J. Addi ration.— In: Kininogenases.
44. Sealey J. E., Atlas S. A., inactive to active renin an (London), 1978, 275, N 5682
45. Singh J. T. Release of a bi stomach muscle preparatior 217.
46. Stürmer E., Berde B. Kall suchungen.— Arch. Exp. Pa
47. Sudrik R. P. Glucocorticoid 211, N 3, p. 844—850.
48. Weissman G., Thomas L. S ase of acid hydrolases from 1963, 42, N 4, p. 661—669.

Городская клиническая больница
Одесса

34. Lewis G. P. The role of plasma kinin as mediator of functional hyperemia.— Proc. Roy. Med., 1971, 64, N 1, p. 6—9.
35. McGiff J. C., Itskovits H. D., Terragno A. Modulation and mediation of the action of the renal kallikrein — kinin system by prostaglandins.— Fed. Proc., 1976, 35, N 2, p. 175—180.
36. Miller T. A., Jacobson E. D. Gastrointestinal cytoprotection by prostaglandins.— Gut., 1979, 20, N 1, p. 75—87.
37. Nasjletti A., Malik K. U. Relationship between the kallikrein-kinin and prostaglandin system.— Life Sci., 1979, 25, N 2, p. 99—110.
38. Paskina T. S., Levitskiy A. P. Bradykinin, kallidin and kallikreins.— In: Bradikinin, kallidin and kallikrein. Berlin, etc.: Springer; Verlag, 1979, p. 609—656.
39. Rixon R. H., Whitfield J. F., Bayliss J. The stimulation of mitotic activity in the thymus and bone marrow of rats by kallikrein.— Horm. Metab. Res., 1971, N 3, p. 279—284.
40. Roche e Silva M., Malnic G. Release of antidiuretic hormone (ADH) by bradykinin.— J. Pharm. Exp. Therap., 1964, 146, N 1, p. 24—32.
41. Rohen J. W., Peterhoff J. Stimulation of mitotic activity by kallikrein in the gastrointestinal tract of rats.— In: Kininogenases, kallikrein. Stuttgart etc., 1973, p. 147—157.
42. Schachter M. Kallikreins (kininogenases) — a group of serine proteases with bioregulatory actions.— Pharmacol. Rev., 1979, 31, N 1, p. 1—17.
43. Schütte B., Linder J. Additional aspects of the effect of kallikrein on cell proliferation.— In: Kininogenases, 1977, 4, p. 161—177.
44. Sealey J. E., Atlas S. A., Larach J. H. et al. Human urinari kallikrein converta inactive to active renin and is a possible physiological activator of renin.— Nature (London), 1978, 275, N 5682, p. 144—145.
45. Singh J. T. Release of a bradykinin like substance on nervous stimulation of a tragal stomach muscle preparation.— Arch. int. physiol. et biochim., 1967, 75, N 2, p. 211—217.
46. Stürmer E., Berde B. Kallidin u. Bradikinin. Vergleichende pharmakologische Untersuchungen.— Arch. Exp. Pathol. and Pharmacol., 1962, 243, N 3, p. 355—356.
47. Suddik R. P. Glucocorticoid — kinin antagonism in the rat.— Amer. J. Physiol., 1966, 211, N 3, p. 844—850.
48. Weissman G., Thomas L. Studies on lisosomes. II. The effect of cortisone on the release of acid hydrolases from a large granule fraction of rabbit liver.— J. Clin. Invest., 1963, 42, N 4, p. 661—669.

Городская клиническая больница № 2,
Одесса

Поступила 14.02.83

КРАТКИЕ СООБЩЕНИЯ

Влияние сукцинатата натрия

УДК 612.323.5:612.327

В. И. Малюк, Э. И. Брук, Л. М. Киреева

ВЛИЯНИЕ СУКЦИНАТА НАТРИЯ НА КИСЛОТООБРАЗУЮЩУЮ И СЕКРЕТОРНУЮ ФУНКЦИЮ ЖЕЛУДКА

Желудочная секреция уже давно является предметом активных исследований, однако механизм этого процесса до настоящего времени не вполне ясен. Неизвестны источники и движущие силы, обеспечивающие высвобождение клетками слизистой желудка большого количества протонов (H^+).

При воспроизведении процесса секреции соляной кислоты на изолированной слизистой лягушек было показано, что при видимом исчерпании эндогенных субстратов, приводящем к практическому подавлению секреции HCl, введение со стороны слизистой поверхности определенных агентов (амитала, пирувата, а-кетоглутарата, малата, сукцинатата) вызывало ярко выраженный стимулирующий эффект, при этом особенно высоким оказывался пик секреции протонов при введении сукцинатата [3]. В опытах *in situ* на кроликах установлено [4], что сукцинат натрия восстанавливает способность истощенной слизистой желудка вновь секретировать HCl. Эти факты интересны не только с точки зрения физиологии секреции, но и для изыскания путей профилактики и, возможно, лечения заболеваний желудка.

Сукцинат натрия — препарат представляющий собой естественный метаболит организма, легко окисляющийся субстрат цикла Кребса. При введении в организм он стимулирует процессы восстановления после физической деятельности и патологических нарушений. Сукцинат натрия обладает выраженным антитоксическим действием, улучшает функциональное состояние сердца, печени, почек. Окисление янтарной кислоты и ее производных с высокой эффективностью поддерживает компенсаторные процессы в организме, восстанавливающие исходное состояние при деятельности или при патологических состояниях [1, 2].

Влияние сукцинатата натрия на секрецию соляной кислоты слизистой желудка в клинике еще не изучалось. В связи с этим нами была поставлена задача выяснить, как влияет этот препарат на кислотообразующую и секреторную функции желудка у больных с невысокими показателями кислотности и секреции.

Методика исследований

Было обследовано 50 больных 16—50 лет (17 женщин и 33 мужчины) с нормальными, гипоацидными и аниацидными гастритами, т. е. в тех случаях, где была возможность обнаружить стимулирующий эффект препарата. Пользовались фракционным и электрометрическим методом исследования желудочного содержимого. Первое (контрольное) исследование проводили с введением 100 мл физиологического раствора, а повторное (у того же больного) через 3—4 дня с введением 100 мл 5% раствора сукцинатата натрия. О влиянии сукцинатата натрия на кислотообразующую функцию желудка судили на основании сравнения действия физиологического раствора и раствора сукцинатата натрия.

У больных проводили фракционный забор желудочного сока, измеряли его количество, а затем pH — электрометрическим зондом в каждой порции. С помощью таблицы пересчета pH-показателей в титрационные единицы [5] подсчитывали по формуле дебит-час соляной кислоты до и после введения раздражителя. У этих же больных подсчитывали часовое напряжение секреции.

Всего проведено 100 исследований.

Результаты исследований

Анализ результатов исследований показал, что при приеме раствора сукцинатата натрия натощак в качестве раздражителя секреции в 2,4 раза увеличивается дебит-час свободной соляной кислоты и в 1,5 раза увеличивается количество выделяемого сока. При введении тем же больным физиологического раствора подобный эффект не отмечался (см. таблицу).

Влияние сукцинатата натрия		
Количество больных	Раздражитель секреции	Дебит-час HCl в
50	Физиологический раствор	22,44
50	Раствор сукцинатата натрия	37,44 $t =$ $p < 0$

На рисунке *a* и *b* приведены секреции у больных при введении натрия.

Таким образом 5% раствор сукцинатата натрия способен стимулировать кислотообразование и может быть использовано в клинике при лечении гипоацидных синдромах и язвенной болезни. Преимуществом сукцинатата натрия перед другими лекарственными средствами является то, что он не содержит глюкозы, метаклопромида, инсулина, гормонов роста и т. д.

Сравнительная динамика дебитов секреции (б) у больных с гипоацидными (натощак физиологического раствора) и раствором сукцинатата натрия (стремка).

По горизонтали — часы исследования.

является отсутствие побочных явлений, которые мы не наблюдали. Нашими данными дают возможность применения данного препарата в качестве средства для коррекции кислотно-щелочного равновесия желудка.

1. Кондрашова М. И. Выяснение механизма действия янтарной кислоты. Пущино, 1962.
2. Малюк В. И. Янтарные кислоты. Рига : Здравоиздат, 1964.
3. Покровский А. А. Участие янтарной кислоты в слизистой оболочке желудка. С. 118—123.
4. Путилин Н. И., Кузнецова Е. Ю. Влияние янтарной кислоты на секрецию желудка. Пущино, 1962.
5. Линар Е. Ю. Кислотообразование в слизистой оболочке желудка. Рига : Здравоиздат, 1962. — 365 с.

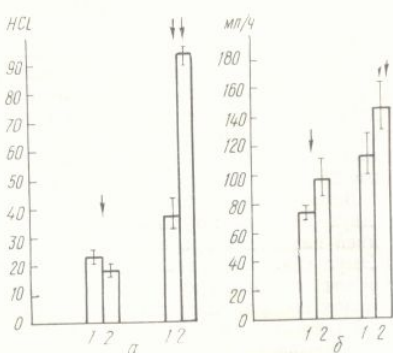
Киевский институт туберкулеза и грудной хирургии

Влияние сукцинатов на желудочную секрецию ($M \pm m$)

Количество больных	Раздражитель секреции	Дебит-час свободной HCl натощак	Дебит-час свободной HCl после введения раздражителя	Часовое напряжение секреции натощак	Часовое напряжение секреции после введения раздражителя
50	Физиологический раствор	22,44 ± 3,0	19,62 ± 3,88	77,68 ± 4,12	99,22 ± 5,79
50	Раствор сукцинатов натрия	37,44 ± 5,92 $t=2,27$ $p<0,05$	91,18 ± 4,12 $t=12,55$ $p<0,05$	112,18 ± 6,5 $t=4,47$ $p<0,01$	142,7 ± 9,75 $t=3,84$ $p<0,01$

На рисунке *a* и *б* приведена сравнительная динамика дебит-часа и напряжения секреции у больных при введении физиологического раствора и раствора сукцинатов натрия.

Таким образом 5 % раствор сукцинатов натрия при пероральном приеме способен стимулировать кислотообразующую и секреторную функции желудка, что может быть использовано в клинике при гипосекреторных и гипоацидных синдромах различной этиологии. Пренемуществом сукцинатов натрия перед другими лекарственными средствами, применяющимися для этой цели (эзерин, урехолин, метаклопромид, инсулин, гистамин и т. д.),



Сравнительная динамика дебит-часа (*a*) и напряжения секреции (*б*) у больных при введении натощак физиологического раствора (одна стрелка) и раствора сукцинатов натрия (две стрелки).

По горизонтали — часы исследования.

является отсутствие побочных явлений и возможность перорального приема. Полученные нами данные дают возможность рассмотреть вопрос о предполагаемом использовании данного препарата в качестве пробного завтрака при исследовании кислотообразующей функции желудка.

Список литературы

- Кондрашова М. Н. Выясненные и наметившиеся вопросы на пути исследования регуляции физического состояния янтарной кислотой.— В кн.: Терапевтическое действие янтарной кислоты. Пущино, 1975, с. 8—30.
- Малюк В. И. Янтарно-кислый натрий в комплексной терапии детей и подростков с различными видами легочной патологии.— Там же, с. 74—77.
- Покровский А. А. Участие дыхательной цепи митохондрий в процессе секреции соляной кислоты в слизистой оболочке желудка.— В кн.: Митохондрии. М., 1974, с. 118—123.
- Путилин Н. И., Кузнецова О. А. Влияние янтарной кислоты на процессы восстановления в слизистой оболочке желудка кролика.— В кн.: Терапевтическое действие янтарной кислоты. Пущино, 1975, с. 32—36.
- Линар Е. Ю. Кислотообразовательная функция желудка в норме и патологии.— Рига: Зиннатне, 1962.— 365 с.

Киевский институт туберкулеза и грудной хирургии

Поступила 29.01.82

УДК 615.033

В. В. Корпачев

ОСОБЕННОСТИ ДИНАМИКИ ВСАСЫВАНИЯ ХЛОДИТАНА В ЖЕЛУДОЧНО-КИШЕЧНОМ ТРАКТЕ МОРСКИХ СВИНОК И СОБАК

Несмотря на то, что новый эффективный блокатор функции коры надпочечников хлодитан с успехом применяется в клинике при лечении болезни и синдрома Иценко—Кушинга, карциномы надпочечников и некоторых других гормонообусловленных заболеваний [2, 3], в литературе нет сведений о динамике его всасывания в желудочно-кишечном тракте и зависимости этого процесса от назначаемой дозы и лекарственной формы препарата. Все предыдущие работы были направлены на установление процесса всасывания хлодитана при назначении его в течение определенного времени [4, 9].

Методика исследований

Влияние назначаемой дозы хлодитана на динамику его всасывания в желудочно-кишечном тракте изучали на морских свинках и собаках. Морским свинкам, которые были разделены на три группы по 10 в каждой, хлодитан назначали на протяжении 10 дней *per os* в виде раствора в кукурузном масле в дозе 50; 150; 300 мг/кг соответственно группе животных. Собакам, которые были разделены на две группы по 4 животных в каждой, вводили препарат ежедневно в течение 10 дней в виде порошка в дозе 25 и 50 мг/кг соответственно.

Влияние лекарственной формы хлодитана на динамику его всасывания изучали на двух группах морских свинок (по 10 в каждой), которым ежедневно в течение 10 дней назначали препарат в дозе 150 мг/кг в виде эмульсии и порошка соответственно. Эмульсию хлодитана готовили растворением препарата в кукурузном масле и эмульгировали с помощью гомогенизатора с равным объемом дистиллированной воды. Порошок вводили животным в виде водной взвеси, стабилизированной крахмалом, который добавляли из расчета 2 г/100 мл дистиллированной воды. Для суждения о динамике всасывания препарата, вводимого в виде масляного раствора, были использованы данные, полученные в экспериментах по изучению зависимости динамики всасывания препарата от назначаемой дозы.

На протяжении всего времени исследования у каждого животного ежедневно определяли суточное выделение хлодитана с калом. О всасывании препарата в желудочно-кишечном тракте судили по разнице между количеством хлодитана, введенным за сутки и выведенным с экскрементами за этот же период. В кале каждого животного до введения хлодитана дважды проводилось определение фона. Значения его были очень малы (у морских свинок 0,004—0,026 мг/г, а у собак — 0,002—0,040 мг/г) и поэтому при дальнейших расчетах во внимание не принимались. Содержание хлодитана определяли по методике Шехтера — Галлера [1].

Результаты исследований

Полученные результаты представлены в таблице, из которой видно, что во всех сериях экспериментов наибольший процент всасывания хлодитана определялся в первый день исследований, а затем в большинстве случаев снижался.

Видовые особенности динамики всасывания препарата выявить не удалось.

Анализ результатов изучения динамики всасывания хлодитана у каждого животного в отдельности показал, что как у морских свинок, так и у собак, независимо от вводимой дозы и лекарственной формы, препарат всасывался на протяжении опыта неравномерно. Установить какую-либо общую закономерность этого процесса не удалось. Так, у одних животных препарат сразу всасывался в больших количествах, а затем его всасывание уменьшалось, у других — все время сохранялось на невысоком уровне.

Наблюдаемое явление, вероятно, обусловлено индивидуальными физиологическими особенностями всасывания лекарственных веществ [6, 7] и зависит от pH кишечного содержимого, количества принятой пищи, состояния вегетативной нервной системы и многих других факторов [5, 8, 10].

Динамика всасывания хлодитана в желудочно-кишечном тракте морских свинок и собак в зависимости от назначаемой дозы и лекарственного формата препарата (в процентах к введенному количеству)

Дни исследования						
	1	2	3	4	5	6
Лекарственная форма	(Доза (мг/кг))	Статистический показатель				

Динамика всасывания хлоритана в желудочно-кишечном тракте морских свинок и собак в зависимости от назначаемой дозы и лекарственной формы препарата (в процентах к введенному количеству)

Исследован- ные животные	Лекарственная форма	Доза (мг/кг)	Статисти- ческий показатель	Дни исследований							
				1	2	3	4	5	6	7	8
Собаки	Порошок	25	$M \pm m$	98,6 \pm 0,7	98,5 \pm 0,9	93,5 \pm 5,1	89,3 \pm 4,5	83,1 \pm 12,1	79,7 \pm 19,5	95,2 \pm 1,7	82,5
Собаки	Порошок	50	$M \pm m$	99,2 \pm 0,2	80,4 \pm 2,8	94,2 \pm 2,3	93,3 \pm 1,7	97,8 \pm 1,0	96,3	74,0 \pm 10,7	62,0
Морские свинки	Масляный раствор	50	$M \pm m$	90,5 \pm 2,3	69,3 \pm 3,1	55,6 \pm 12,4	72,3 \pm 4,6	55,8 \pm 5,4	62,1 \pm 5,2	70,5 \pm 4,7	66,4 \pm 3,2
Морские свинки	Масляный раствор	150	$M \pm m$	82,9 \pm 4,8	71,5 \pm 6,9	69,7 \pm 4,7	88,1 \pm 3,7	81,3 \pm 3,7	62,3 \pm 8,4	77,9 \pm 4,3	69,9 \pm 8,6
Морские свинки	Масляный раствор	300	$M \pm m$	94,6 \pm 2,0	78,0 \pm 4,8	74,6 \pm 4,5	83,2 \pm 5,6	97,5 \pm 0,9	—	—	72,9 \pm 5,7
Морские свинки	Эмульсия	150	$M \pm m$	95,5 \pm 1,3	91,8 \pm 2,9	78,3 \pm 2,8	59,0 \pm 8,0	72,1 \pm 3,4	73,3 \pm 13,9	83,8 \pm 3,7	65,6 \pm 4,9
Морские свинки	Порошок	150	$M \pm m$	72,4 \pm 5,7	64,5 \pm 4,8	73,3 \pm 3,7	66,9 \pm 3,7	62,4 \pm 5,9	44,3 \pm 10,2	57,9 \pm 4,6	52,2 \pm 4,3

1. Вайнтрауб Ф. П. Определение микроколичеств ДДД в биологическом материале на основе метода Schechter-Haller с дополнительной хроматографической идентификацией.—Вопр. питания, 1962, № 4, с. 55—60.
2. Комиссаренко В. П., Резников А. Г. Лечение хлодитаном(о, р'-ДДД) болезни Иценко—Кушинга.—Врачеб. дело, 1970, № 8, с. 107—112.
3. Комиссаренко И. В. Лечение болезни и синдрома Иценко—Кушинга хлодитаном.—Клин. медицина, 1976, № 9, с. 122—125.
4. Корпачев В. В. Залежність всмоктування о, р'-ДДД від дози та лікарської форми препарату.—Фармацевт. журн., 1972, № 3, с. 64—66.
5. Gerhard L., Holister L. Inter- and intrasubject variations in drug absorption kinetics.—J. Pharmacol. Sci., 1964, 53, N 12, p. 1446—1452.
6. Moy H. Studies of the pharmacology of o, p'-DDD in man.—J. Lab. and Clin. Med., 1961, 58, N 2, p. 296—304.

Киевский НИИ эндокринологии и обмена веществ

Поступила 17.09.81

УДК 612.014.461.8

И. А. Бутусова, М. С. Яременко

ВЛИЯНИЕ МИНЕРАЛЬНОЙ ВОДЫ «НАФТУСЯ» РАЗНЫХ СРОКОВ ХРАНЕНИЯ НА ВСАСЫВАТЕЛЬНУЮ ФУНКЦИЮ ЖЕЛЧНОГО ПУЗЫРЯ ЛЯГУШКИ

Принято считать, что минеральные воды типа «Нафтуся», применяемые для лечения больных на курорте Трускавец, быстро теряют биологические и лечебные свойства после их отбора из источников. Вопрос об изменении лечебной и биологической активности воды «Нафтуся» при разных сроках и режимах ее хранения изучался рядом исследователей. Так, по данным, полученным в опытах на изолированной ткани печени и полосках воротной вены крысы [3, 4], минеральная вода «Нафтуся», содержащаяся в темных, негерметизированных бутылках при комнатной температуре, теряет примерно половину биологически активных компонентов после 2—5 сут хранения. По другим данным, «Нафтуся» сохраняет физиологическое и лечебное действие как при 5—10-дневном хранении [6], так и спустя несколько месяцев ее содержания в герметической посуде [1, 2, 3].

Вопрос об изменении свойств минеральной воды «Нафтуся» при различных условиях ее хранения имеет важное практическое значение и требует дальнейшего изучения. В этой связи мы исследовали влияние различных сроков хранения минеральной воды «Нафтуся» курорта Трускавец на ее биологическую активность. В качестве тест-объекта был избран изолированный желчный пузырь лягушки, который, как было показано [7], весьма чувствителен к действию минеральной воды «Нафтуся».

Методика исследований

Опыты проводили на изолированных желчных пузырях лягушки *Rana ridibunda*. Пузыри освобождали от остатков желчи, заполняли раствором Рингера для холоднокровных и помещали в сосуд с аналогичным раствором, где инкубировали в течение 3 ч при температуре 25 °C [8]. Для определения скорости всасывания жидкости из полости пузыря препараты взвешивали на аналитических весах через каждые 30 мин в течение всего инкубационного периода. По изменению веса препаратов оценивали количество жидкости, перешедшей из полости органа наружу; скорость всасывания выражали в мкл/ч на 100 мг влажного веса стенки пузыря. В начале опыта пузыри инкубировали в контролльном растворе в течение 1 ч, затем переносили в сосуд с раствором, к которому добавляли минеральную воду из расчета 1% объема раствора и инкубировали еще 1 ч, после чего вновь переносили препараты в контрольный раствор.

В опытах использовали минеральную воду «Нафтуся» курорта Трускавец источника 21-Н, которую хранили в темных негерметически закрытых бутылках при комнатной температуре от 1 до 31 сут.

Результаты исследований

Внесение минеральной воды в инкубационный раствор со стороны серозной поверхности желчного пузыря вызывает, как правило, угнетение всасывающей функции органа (табл. 1). Последующая инкубация препарата в контролльном растворе сопро-

вождается, напротив, резким с исходной. Двухфазное действие водой, хранившейся от 1 до 5 она теряла способность угнетать пузыря (табл. 2).

Влияние минеральной воды на всасывание изотонической

Сроки хранения (сут)	Количество опытов
0	10
1	25
2	19
3	18
4	17
5	10
6	9
8	10
31	10

Динамика изменения скорости всасывания изолированного желчного пузыря «Нафтуся»

Сроки хранения	Коли-чество опытов	Исходный у
		30'
0—5	16	43,9±7,3
6—31	16	28,9±5,4

Таким образом, результаты показывают, что минеральная вода «Нафтуся» содержит компоненты, которые не

1. Байкалов Л. К. Минеральные воды. Днепропетровск: Днепропетровское высшее медицинское училище им. А. А. Богомольца, 1975.
2. Дудченко М. А. Лечение народными средствами. Автореф. дис. ... канд. мед. наук. Днепропетровск: Днепропетровское высшее медицинское училище им. А. А. Богомольца, 1975.
3. Еспенек Б. Е. Физиология и терапия. Наука, думка, 1981.—198 с.
4. Еспенек Б. Е., Жалило Л. А. Изменение физиологических свойств изолированного желчного пузыря лягушки в процессе хранения. —Физиология и экспериментальная терапия, 1981, № 1, с. 10—14.
5. Ковалева М. Т., Шухтина Е. А. Минеральная вода «Нафтуся». Кийев: Здоров'я, 1965, с. 8—12.
6. Савицкий В. И. Влияние аминотрансферазы и алантоновой кислоты на всасывание изотонического раствора в изолированном желчном пузыре лягушки. —Физиология и экспериментальная терапия, 1975, № 1, с. 57—61.
7. Яременко М. С., Бутусова И. А. Влияние минеральной воды «Нафтуся» на всасывание изотонического раствора в изолированном желчном пузыре лягушки. —Физиология и экспериментальная терапия, 1976, № 2, с. 275—282.

Институт физиологии им. А. А. Богомольца АН УССР

вождается, напротив, резким усилением его всасывательной активности по сравнению с исходной. Двухфазное действие «Нафтуси» выявляется только при действии на орган водой, хранившейся от 1 до 5 суток. При содержании воды в бутылках 6 суток и более она теряла способность угнетать всасывательную функцию изолированного желчного пузыря (табл. 2).

Таблица 1

Влияние минеральной воды «Нафтуся» разных сроков хранения на скорость всасывания изотонической жидкости из полости желчного пузыря лягушки

Сроки хранения (сут)	Количество опытов	Скорость всасывания (мкл/ч·100 мг)			
		Контроль	«Нафтуся»	% торможения $M \pm m$	p
0	10	78,6	36,4	-54,8±3,3	0,001
1	25	71,6	35,1	-46,4±4,7	0,001
2	19	69,2	39,2	-52,5±8,5	0,001
3	18	56,5	35,6	-44,5±7,5	0,001
4	17	83,6	41,3	-53,7±9,7	0,001
5	10	127,7	49,1	-63,0±9,1	0,001
6	9	84,9	67,5	-20,5±14,3	0,1
8	10	35,3	31,3	-10,0±6,2	0,5
31	10	51,5	52,0	+0,8±5,1	0,5

Таблица 2

Динамика изменения скорости всасывания изотонической жидкости из полости изолированного желчного пузыря лягушки под влиянием минеральной воды «Нафтуся» разных сроков хранения ($M \pm m$)

Сроки хранения	Количества опытов	Скорость всасывания (мкл/ч·100 мг)					
		Исходный уровень		Действие «Нафтуся»		Последействие	
		30'	60'	90'	120'	150'	180'
0—5	16	43,9±7,3	37,2±6,1	12,8±2,4 $p < 0,01$	21,8±5,5 $p < 0,05$	16,0±3,8 $p < 0,01$	6,7±2,0 $p < 0,02$
6—31	16	28,9±5,4	28,3±5,8	1,4±2,0 $p > 0,5$	3,8±7,0 $p > 0,5$	10,3±0,9 $p < 0,01$	4,7±0,8 $p < 0,01$

Таким образом, результаты проведенных экспериментов дают основание считать, что минеральная вода «Нафтуся» содержит достаточно стабильные биологически активные компоненты, которые не разрушаются при хранении воды до 6 сут.

Список литературы

- Байкалов Л. К. Минеральная вода «Нафтуся». — К.: Здоров'я, 1966.— 21 с.
- Дудченко М. А. Лечение больных мочекаменной болезнью на курорте Трускавец: Автореф. дис. ... канд. мед. наук.— Львов, 1956.— 16 с.
- Есипенко Б. Е. Физиологическое действие минеральной воды «Нафтуся». — Киев: Наук. думка, 1981.— 198 с.
- Есипенко Б. Е., Жалило Л. И., Костромина А. П. и др. Минеральная вода «Нафтуся» в процессе хранения. — Физiol. журн., 1979, 25, № 3, с. 261—269.
- Ковалева М. Т., Шухтина И. А. Роль органических веществ в механизме действия минеральной воды «Нафтуся». — В кн.: Лечебные минеральные воды и грязи УССР. Киев: Здоров'я, 1965, с. 8—12.
- Савицкий В. И. Влияние минеральной воды «Нафтуся» на активность аспартат-аминотрансферазы и аланин-аминотрансферазы органов белых крыс. — Физ. и курорт. факторы и их лечеб. применение, 1968, вып. 3, с. 174—180.
- Яременко М. С., Бутусова И. А., Харламова О. Н. Влияние минеральной воды скважины 21-Н курорта Трускавец на всасывательную функцию желчного пузыря. — Там же, 1975, вып. 9, с. 57—61.
- Яременко М. С., Бутусова И. А. Содержание электролитов и воды в стенке желчного пузыря лягушки при всасывании изотонической жидкости. — Физiol. журн. СССР, 1976, 62, № 2, с. 275—282.

Институт физиологии
им. А. А. Богомольца АН УССР, Киев

Поступила 18.06.82

Л. Н. Степанова, А. Я. Розанов

ИССЛЕДОВАНИЯ КИШЕЧНО-ПЕЧЕНОЧНОЙ РЕЦИРКУЛЯЦИИ НЕКОТОРЫХ ФУНКЦИОНАЛЬНО СВЯЗАННЫХ ВИТАМИНОВ ГРУППЫ В У КРЫС

Пищеварительной системе принадлежит ведущая роль в процессах обмена веществ, в частности, в обмене витаминов. Нашиими предшествующими исследованиями показано, что в печени и оболочках тонкого кишечника депонируется и метаболизируется значительная часть введенных парентерально в терапевтических дозах тиамина и никотината [4], что подтверждено и другими исследованиями [14].

Следует отметить работы Гасман и Кейтс [12, 13], впервые обнаруживших «секрецию» инъецированного витамина (^{35}S -тиамина) в просвет кишечника [12, 13]. Затем следуют работы с меченным никотинатом [10] и пантотенатом [6]. Секреция с желчью после парентерального введения и печеночно-кишечная рециркуляция была недавно показана для фолиевой кислоты [15, 17], 7-оксикумарина [11], витамина B_{12} [2], а также меченого токоферола [9].

Настоящая работа посвящена выяснению печеночно-кишечной рециркуляции в обмене парентерально введенных меченых ^{14}C -тиамина, ^{14}C -пантотената, ^{14}C -никотината и ^{35}S -липоата в организме крыс в сравнительном аспекте.

Методика исследований

Исследования проводились на белых крысах-самцах линии Вистар массой 150—200 г, содержащихся на стандартном рационе вивария. Меченные тиамин, пантогенат, никотинат и липоат вводили внутримышечно в дозе 150 мкмоль/кг. Определение метки в тканях проводили через 15; 30; 60 мин, 2; 4 и 24 ч. Животных декапитировали, собирали кровь в мерную пробирку, содержащую 5 мл 0,01 н. NaOH, быстро встряхивали для предотвращения свертывания. Выделяли весь желудочно-кишечный тракт, пережимая предварительно зажимами его отделы (желудок, двенадцатиперстную кишку, тонкий и толстый кишечник), взвешивали по отдельам вместе с содержимым, затем через просвет промывали трижды теплой водой из шприца, удаляя содержимое. После удаления содержимого отделы желудочно-кишечного тракта снова взвешивали и готовили гомогенаты, используя 0,01 н. NaOH. При гомогенизации все ткани разводили в 20 раз. Исследовали также печень. Гомогенаты наносили на мицелии по 0,5 мл, высушивали при 90 °С и подсчитывали радиоактивность с точностью $\pm 5\%$ с помощью газопроточного счетчика «Протока-1-М-134». К каждой серии опытов готовили стандарты из рабочих растворов меченых препаратов и аликов гомогенатов тканей интактных животных, учитывая поглощение β -излучения меченых соединений исследуемыми образцами. Результаты опытов обрабатывали статистически по общепринятым методам.

Результаты исследований

Для всех исследуемых меченых витаминов максимальный уровень метки в крови достигается через 15—30 мин исследования, что свидетельствует о быстром их всасывании из места введения. Поступление метки в кровь было наибольшим после инъекции ^{14}C -пантотената и наименьшим — после инъекции ^{35}S -липоата. Динамика содержания в крови метки ^{14}C -тиамина и ^{14}C -никотината имеет много сходного и по уровню и характеру кривых (см. рисунок). Поступление в печень исследуемых соединений частично коррелирует с их уровнем в крови в течение двух первых часов исследования и с их накоплением в желудочно-кишечном тракте в течение последующего времени, характеризуясь фазовой динамикой для тиамина, пантотената и никотината. В печени максимально сохраняется 20 % никотината, 9—10 % тиамина, 6 % пантотената и 4 % липоата от введенной дозы. Оболочками желудка депонируется около 1 % тиамина, пантотената и никотината и только 0,2 % липоата. Динамика накопления общих меченых метаболитов исследуемых витаминов в оболочках двенадцатиперстной кишки (1 % от введенной дозы) характеризуется относительно высокой интенсивностью накопления, если учесть небольшой размер этого участка желудочно-кишечного тракта. Оболочками тонкого кишечника сохраняется 5 % никотината, 3,8 % пантотената, 3 % тиамина и 1,5 % липоата от введенной дозы в периоды максимального накопления общих меченых метаболитов инъецируемых витаминов (см. рисунок).

Нашиими исследованиями «секреция» метки в просвет ждения мечеными витаминами. Эта на для липоата. Обратное всасывание тиамина и липоата продолжается и выделяется содержимым тиамина.

Уровень общих меченых пантотената (ПК) и липоата крыс в динамике пос

Исследуемые органы	%	
	15 мин	30 мин
Желудок	T 0,5±0,1 НК 0,1± ±0,02	1,8±0, 0,14±0, 0,02
	ПК 0,17± ±0,03..	0,6±0, 0,03..
	ЛК 0,06± ±0,016..	0,12±0, 0,016..
Двенадцатиперстная кишка	T 3,0±0,8 НК 0,04± ±0,003..	2,5±0, 0,12±0, 0,08..
	ПК 0,37± ±0,16..	0,3±0, 0,1±0, ±0,03..
Тонкий кишечник	T 10,8±0,6 НК 0,27± ±0,03..	12,5±0, 1,14±0, 0,12..
	ПК 0,8± ±0,12..	0,8±0, 0,05..
	ЛК 0,4± ±0,06..	0,6±0, 0,06..
Толстый кишечник	T 0,8±0,3 НК 0,07± ±0,03..	1,0±0, 0,28±0, 0,03..
	ПК 0,3± ±0,05..	0,17±0, 0,05..
	ЛК 0,09 ±0,01..	0,08±0, 0,01..

· $p < 0,01$; .. $p < 0,001$ — достове

Таким образом, результаты в организме введенных в эквивалентных дозах витаминов показали, что депонирование витаминов определяется поступлением метки в ткань — желчь — кишечник. В метаболитах витаминов возможны различные пути метаболизма. Некоторые слабо метаболизируются в кишечнике. По способности депонироваться витамины располагаются в ряде: было показано, что доля удара, которая значительно возрастает при 15—30 мин после инъекции в кишечнике системы со

Нашиими исследованиями подтверждена, а для пантотената впервые установлена «секреция» метки в просвет желудочно-кишечного тракта после парентерального введения меченых витаминов. Эта «секреция» была максимальна для тиамина и минимальна для липоата. Обратное всасывание исследуемых меченых тиамина, пантотената, никотината и липоата продолжается в течение 24 ч. Часть меченых соединений не всасывается и выделяется содержимым толстого кишечника, особенно это касается ^{14}C -тиамина.

Уровень общих меченых метаболитов тиамина (Т), никотината (НК), пантотената (ПК) и липоата (ЛК) в содержимом желудочно-кишечного тракта крыс в динамике после инъекции (150 мкмоль/кг; $M \pm m$; $n=8-10$)

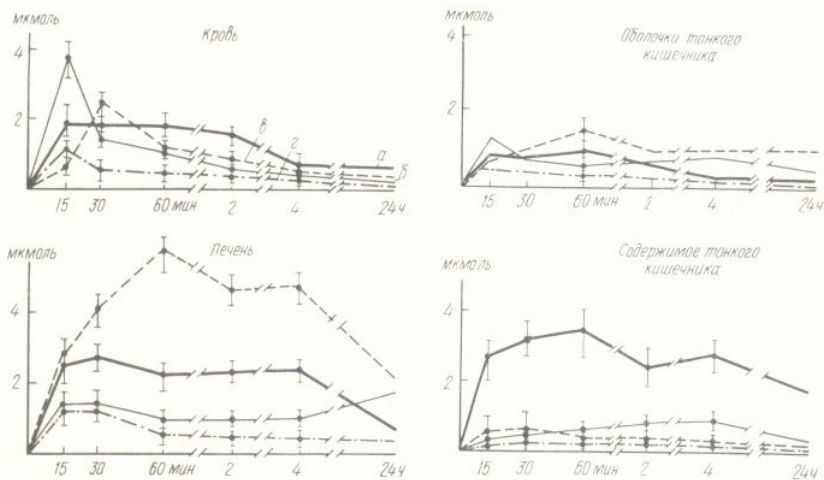
Исследуемые органы	% от введенной дозы на все содержимое через					
	15 мин	30 мин	60 мин	2 ч	4 ч	24 ч
Желудок	T $0,5 \pm 0,1$ НК $0,1 \pm 0,02$ ПК $0,17 \pm 0,03$ ЛК $0,06 \pm 0,016$	$1,8 \pm 0,3$ $0,14 \pm 0,03$ $0,6 \pm 0,06$ $0,12 \pm 0,02$	$1,9 \pm 0,35$ $0,1 \pm 0,04$ $0,7 \pm 0,08$ $0,05 \pm 0,01$	$1,5 \pm 0,15$ $0,1 \pm 0,02$ $0,8 \pm 0,08$ $0,08 \pm 0,015$	$1,8 \pm 0,12$ $0,1 \pm 0,01$ $0,5 \pm 0,05$ $0,06 \pm 0,02$	$2,0 \pm 0,2$ $0,1 \pm 0,02$ $0,1 \pm 06$ $0,08 \pm 0,02$
Двенадцатиперстная кишка	T $3,0 \pm 0,8$ НК $0,04 \pm 0,003$ ПК $0,37 \pm 0,08$ ЛК $0,16 \pm 0,03$	$2,5 \pm 0,4$ $0,12 \pm 0,01$ $0,3 \pm 0,05$ $0,1 \pm 0,03$	$3,1 \pm 0,7$ $0,1 \pm 0,03$ $0,12 \pm 0,02$ $0,03 \pm 0,01$	$2,5 \pm 0,4$ $0,1 \pm 0,02$ $0,3 \pm 0,06$ $0,05 \pm 0,02$	$3,0 \pm 0,6$ $0,07 \pm 0,12$ $0,3 \pm 0,06$ $0,05 \pm 0,03$	$2,0 \pm 0,15$ $0,03 \pm 0,005$ $0,07 \pm 0,01$ $0,02 \pm 0,003$
Тонкий кишечник	T $10,8 \pm 0,6$ НК $0,27 \pm 0,03$ ПК $0,8 \pm 0,12$ ЛК $0,4 \pm 0,06$	$12,5 \pm 0,62$ $1,14 \pm 0,04$ $0,8 \pm 0,12$ $0,6 \pm 0,05$	$13,3 \pm 0,65$ $0,7 \pm 0,05$ $1,3 \pm 0,05$ $1,2 \pm 0,08$	$12,4 \pm 0,71$ $0,6 \pm 0,05$ $2,1 \pm 0,2$ $0,86 \pm 0,06$	$11,0 \pm 0,8$ $0,7 \pm 0,06$ $2,8 \pm 0,08$ $0,5 \pm 0,08$	$5,2 \pm 0,4$ $0,5 \pm 0,03$ $0,3 \pm 0,04$ $0,1 \pm 0,01$
Толстый кишечник	T $0,8 \pm 0,3$ НК $0,07 \pm 0,03$ ПК $0,3 \pm 0,05$ ЛК $0,09 \pm 0,01$	$1,0 \pm 0,2$ $0,28 \pm 0,02$ $0,17 \pm 0,03$ $0,08 \pm 0,016$	$2,5 \pm 0,32$ $0,08 \pm 0,02$ $0,2 \pm 0,02$ $0,15 \pm 0,02$	$2,0 \pm 0,45$ $0,2 \pm 0,05$ $0,94 \pm 0,12$ $0,27 \pm 0,03$	$4,1 \pm 0,5$ $0,2 \pm 0,03$ $1,5 \pm 0,3$ $0,6 \pm 0,06$	$1,5 \pm 0,25$ $0,2 \pm 0,03$ $1,0 \pm 0,2$ $0,4 \pm 0,03$

* $p < 0,01$; ** $p < 0,001$ — достоверность различий по сравнению с тиамином (Т).

Таким образом, результаты сравнительных исследований динамики распределения в организме введенных в эквимолярной дозе функционально связанных меченых витаминов показали, что депонирование исследуемых соединений коррелирует со способностью пищеварительной системы животных накапливать метку и, особенно, с интенсивностью поступления метки в просвет желудочно-кишечного тракта. По-видимому, депонирование витаминов определяется интенсивностью транспортно-метаболических процессов при циркуляции меченых метаболитов в системе кровь — кишечник — печень — желчь — кишечник. В течение исследуемого периода (24 ч) такая циркуляция метаболитов витаминов возможна у лабораторных животных (крыс) более десяти раз. Некоторые слабо метаболизируемые витамины (липоат) в меньшей степени сохраняются пищеварительной системой и в организме в целом при парентеральном введении. По способности депонироваться в пищеварительной системе и в организме исследуемые витамины располагаются в ряд: тиамин > никотинат > пантотенат > липоат. Кроме того, было показано, что доля удерживаемой в тканях пищеварительной системы общей метки значительно возрастает при инъекциях физиологических доз витаминов. Так, через 15—30 мин после инъекции 0,15 мкмоль/кг меченого тиамина в исследуемых тканях пищеварительной системы сохраняется 56—66 % метки от введенной дозы. Нами

количественно уточнены данные о «витамин-удерживающей» функции пищеварительной системы в отношении инъецируемых тиамина, никотината, пантотената и липоата.

Печеночно-кишечная рециркуляция парентерально введенных витаминов общепризнана, а ее нарушения могут приводить к снижению усвоения витаминов. Известно развитие дефицита витаминов С, В₁, В₁₂ и РР у больных хроническим холециститом и пониженное усвоение рибофлавина у детей и взрослых после энтерального введения борной кислоты или после резекции отделов тонкого кишечника [1, 3]. Очевидно, в последнем случае нарушаются процессы энтерогепатической рециркуляции рибофлавина



Распределение общей метки в тканях крыс после инъекции 2-¹⁴C-тиамина (а), 1-¹⁴C-ДЛ-пантотената (б), 7-¹⁴C-никотината (в) и ³⁵S-ДЛ-липоата (г) в дозе 150 мкмоль/кг (в расчете на всю ткань или все содержимое кишечника).

[16]. Обмен витаминов в пищеварительной системе является частью общих процессов пищевых и биологически активных веществ в кишечнике в процессах энтерогепатической рециркуляции введенных в организм соединений. Поступление парентерально введенного витамина в просвет желудочно-кишечного тракта является основным показателем емкости «витамин-удерживающей» функции пищеварительной системы в отношении данного витамина и определяет общую способность организма животных и человека депонировать дискретно поступающие витамины с пищей или в виде витаминных препаратов [5, 7, 8]. Показано, что интенсивно метаболизируемые в процессе печеночно-кишечной рециркуляции тиамин, пантотенат и никотинат в большей мере сохраняются пищеварительной системой. Процессы кишечно-печеночной рециркуляции инъецированного липоата, депонирование его в организме незначительны, а процессы его транспорта через мембранны пассивны и мало специфичны.

Список литературы

- Большанина С. А., Лаврова В. С., Далигер Л. М. Кишечная абсорбция витамина В₁₂ и содержание его в сыворотке крови у собак при выключении 12-перстной кишки.—Вопр. радиобиол. и биол. действия цитостат. препаратов. 1972, № 4, с. 174—176.
- Валовой В. Н., Синькова И. Г. Кишечная экскреция парентерально введенного витамина В₁₂.—Физиол. журн. СССР, 1974, 60, № 6, с. 1261—1266.
- Кушнир В. В. О витаминной обеспеченности организма больных хроническим холециститом при лечении на курорте Моршин.—Врачеб. дело, 1974, № 12, с. 75—78.
- Розанов А. Я. Метabolизм фосфорных эфиров ³⁵S-тиамина в животном организме.—Биохимия, 1960, № 6, с. 991—1000.
- Розанов А. Я. Фазовая динамика метаболизма в печени коферментных витаминов, ее механизмы и биологическое значение.—Витамины, 1976, № 9, с. 34—42.
- Розанов А. Я., Степанова Л. Н. Пантотенат-секретирующая функция пищеварительной системы в геронтогенезе.—В кн.: Тез. докл. 3-го Всесоюз. съезда геронтологов и гериатров. Киев: Изд-во АМН СССР, 1976. с. 176.
- Розанов А. Я. Динамика метаболизма инъецированного пантотената, ее регуляция и биологическое значение.—В кн.: Материалы 4-го Гродн. симпоз. Химия, биохими-

- ческие функции и применение. 1977, с. 112—114.
- Розанов А. Я. Динамика и зависимость от функции пищеварения бластомогенеза в мозжечке крысы.—Тарту, 1980, с. 39—41.
 - Collins P., Chaykin S. The effect of bile acids on the mouse. —J. Biol. Chem., 1971, 246, 1037—1042.
 - Dawson I. R., Bridges I. W. Bile acids and their metabolites in the same intestine. —J. Physiol., 1979, 28, N 22, p. 3291—3297.
 - Gassman B., Ketz H. M. Förderung der Wissenschaften su Berli.
 - Gassman B., Ketz H. M. Vitale Exkretion. —Biochem. Z., 1971, 349, 1—12.
 - Ijichi H., Ichijima A., Hayashi T. Comparative study of the effects of nucleic acid and nucleotides on the excretion of bile acids. —J. Biochem., 1971, 70, 3701—3706.
 - Lavoie A., Cooper B. A. Rat hepatic conversion of folate to folinic acid. —Clin. Sci. and Mol. Med., 1971, 40, 111—116.
 - Pinto I., Huang I., Ping E. Effect of boric acid on bile acid excretion. —J. Lab. Clin. Med., 1971, 77, 101—106.
 - Steinberg S. E., Campbell J. Hepatic cycle of bile acids. —J. Clin. Invest., 1971, 56, 1075—1082.

Одесский университет

УДК 612.111.547.931

Я. В.

ВЛИЯНИЕ ЖЕЛЧНЫХ КИСЛОТ НА ЭРИТРОПОЕЗИЮ

Исследования последних лет показывают, что желчные кислоты на свой новые наблюдения подтверждают, что введение в организм животных и кишечника в процессе кишечника сделано предположение, что кислоты принимают участие в этом, имеют значение для функций.

Мы исследовали проницаемость мочевины в условиях выведения амином, а также в условиях синтетических поверхностно-активных веществ.

Опыты проводили на 30-дневных крысах, в которых введены желчные кислоты в организме вызывает амина в дозе 2% от массы кишки. Введение желчных кислот с фекальными массами приводит к снижению содержания желчных кислот, в том числе и в кишечнике [7].

Повышение содержания желчных кислот в организме вызывает амина в дозе 2% от массы кишки. Препаратором оксихолевой кислоты растворяется в кишечнике в дозе 10 мг/кг. Исследование

Кровь для исследования эритроцитарных мембран для изучения

8 — Физиологический журнал, № 5

- ческие функции и применение пантотеновой кислоты. Минск: Наука и техника, 1977, с. 112—114.
8. Розанов А. Я. Динамика метаболизма тиамина, его биологическое значение и зависимость от функции пищеварительной системы.— В кн.: Тиамин. М.: Наука, 1978, с. 27—85.
 9. Спрышкова Н. А., Серебрякова Н. Г., Спрышкова Р. А., Спиречев В. Б. Депонирующая роль пищеварительного тракта в обмене L-(5-метил, 3Н)-токоферола при бластомогенезе в мозжечке крысы.— В кн.: Актуальные проблемы витаминологии. Тарту, 1980, с. 39—41.
 10. Collins P., Chaykin S. The management of nicotinamide and nicotinic acid in the mouse.— J. Biol. Chem., 1972, 257, N 3, p. 778.
 11. Dawson I. R., Bridges I. W. Conjugation and excretion of metabolites of 7-hydroxycoumarin in the same intestine of rats and guinea pigs.— Biochem. and Pharmacol., 1979, 28, N 22, p. 3291—3297.
 12. Gassman B., Ketz H. M. Resorption und Exkretion Vitamin B.— Dautsche Academic der Wissenschaften su Berlin, 1961, N 1, p. 487—488.
 13. Gassman B., Ketz H. Vitamin B in Magen. Darm Trakt der Ratta. Resorption und Exkretion.— Biochem. Z., 1961, N 1, p. 245—334.
 14. Ijichi H., Ichijama A., Hayashi O. Studies on the biosynthesis of nicotinamide adenine dinucleotide. Comparative *in vivo* studies on nicotinic acid, nicotinamide and quinolinic acid as precursors of nicotinamide adenine dinucleotide.— J. Biol. Chem., 1961, 241, p. 3701.
 15. Lavoie A., Cooper B. A. Rapid transfer of folic acid from blood to bile in man and its conversion into folate coenzymes and into pteroylglutamate with little biological activity.— Clin. Sci. and Mol. Med., 1974, 46, N 6, p. 729—741.
 16. Pinto I., Huang I., Ping et al. Increased urinari riboflavin excretion resulting from boric acid ingestion.— J. Lab. and Clin. Med., 1978, 92, N 1, p. 126—134.
 17. Steinberg S. E., Campbell C. L., Hillman R. S. Kinetics of normal folate enterohepatic cycle.— J. Clin. Invest., 1979, 64, N 1, p. 83—88.

Одесский университет

Поступила 08.02.83

УДК 612.111.547.931

Я. В. Ганиткевич, В. И. Швец

ВЛИЯНИЕ ЖЕЛЧНЫХ КИСЛОТ НА ПРОНИЦАЕМОСТЬ ЭРИТРОЦИТАРНЫХ МЕМБРАН

Исследования последних лет обнаружили выраженное влияние малых концентраций желчных кислот на свойства эритроцитарных мембран [1, 4, 5]. Вместе с тем новые наблюдения подтверждают значение постоянного присутствия в периферической крови интактных животных и здоровых людей холановых кислот, поступающих из кишечника в процессе кишечно-печеночного кругооборота. В связи с этим нами [2] сделано предположение, что находящиеся во внутренней среде организма желчные кислоты принимают участие в регуляции мембранных процессов в организме, в частности, имеют значение для функционального состояния эритроцитарных мембран.

Мы исследовали проницаемость эритроцитов крыс для воды и неэлектролитамочевины в условиях выведения желчных кислот организма секвестрантом холестирамином, а также в условиях дополнительного введения в организм желчных кислот и синтетических поверхностно-активных веществ (ПАВ).

Методика исследований

Опыты проводили на 30 крысах линии Вистар массой 180—210 г. Дефицит желчных кислот в организме вызывали добавлением к рациону крыс секвестранта холестирамина в дозе 2 % от массы корма на протяжении 10 дней, который увеличивает выведение желчных кислот с фекалиями [3] и, нарушая таким образом кишечно-печеночный кругооборот желчных кислот, приводит к снижению их содержания в плазме крови [7].

Повышение содержания желчных кислот в крови вызывали посредством дополнительного их введения. Препараты натриевых солей холевой, таурохолевой и хенодезоксихолевой кислоты растворяли в физиологическом растворе и вводили внутрибрюшинно в дозе 10 мг/кг. Исследования проводили через 15—240 мин после инъекций.

Кровь для исследования брали из хвостовых сосудов. Определяли проницаемость эритроцитарных мембран для воды и мочевины по [6] путем наблюдения гемолиза эри-

троцитов в изотоническом ($0.3M$) растворе мочевины. Для этого в кювету, содержащую 1,8 мл раствора мочевины, вносили 0,2 мл крови, наблюдали динамику гемолиза через каждые 10 с в течение 120 с. Оптическую плотность определяли на спектрофотометре СФ4-А при длине волн 615 нм. Для расчета количества гемолизированных эритроцитов определяли исходную оптическую плотность при добавлении 0,2 мл крови к 1,8 мл физиологического раствора, а также оптическую плотность при полном гемолизе эритроцитов, вызванном добавлением 2—3 капель раствора аммиака.

Всего проведено 600 исследований.

Результаты исследований

В контрольных опытах гемолиз эритроцитов за 10; 30 и 60 с составлял соответственно $87 \pm 0,4$, $93 \pm 0,2$ и $95 \pm 0,2\%$ и заканчивался на 90 с исследования.

В серии опытов на крысах, получающих холестирамин, в течение первых четырех дней изменений не наблюдалось и только на пятый день скармливания холестирамина появился изменения проницаемости эритроцитарных мембран. Наиболее выраженные изменения наблюдаются на шестой день (рис. 1). Количество гемолизированных эритроцитов увеличивается на $5,0 \pm 0,4$ — $3,0 \pm 0,2\%$, что указывает на повышение скорости транспорта в клетку мочевины и воды.

Дополнительное введение животным желчных кислот оказывает противоположно направленное влияние на проницаемость эритроцитов.

Наиболее выраженные изменения вызывает таурохолат натрия, который не только восстанавливает повышенную в условиях потери желчных кислот проницаемость эри-

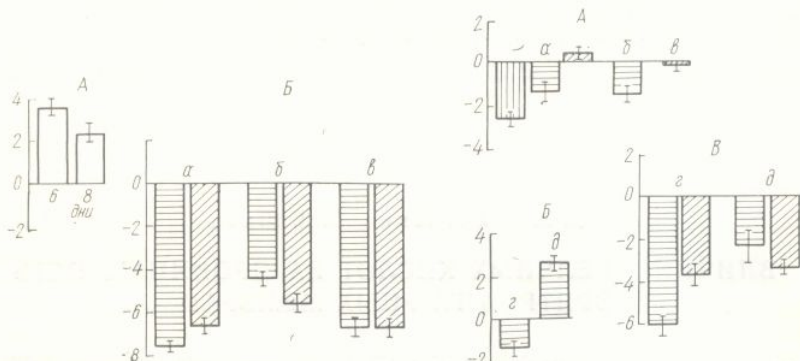


Рис. 1. Проницаемость для мочевины и воды эритроцитов крыс в условиях потери желчных кислот (A) и после введения холановых кислот на фоне потери желчных кислот организма (B).

A — на 6 и 8 дни скармливания холестирамина; B — на 6 день скармливания холестирамина через 30 мин (горизонтальная штриховка) и 60 мин (косая штриховка) после внутривенного введения 10 мг/кг таурохолата (a), холата (b) и хенодезоксихолата (c). Столбиками представлены изменения (в процентах) эритроцитов, гемолизированных в 0,3 М растворе мочевины в течение 60 с; $M \pm m$, $n=5$.

Рис. 2. Влияние холановых кислот (A) и синтетических ПАВ (B, B') на проницаемость для мочевины и воды эритроцитов крыс.

A — после введения таурохолата (a), холата (b) и хенодезоксихолата натрия (c) интактным крысам; после введения этония (d) и трилон-Х-100 (e) интактным крысам — B, и в условиях потери желчных кислот на 8 день скармливания холестирамина — B'. Доза препаратов — 10 мг/кг внутривенно. Вертикальная штриховка — через 15 мин после инъекции. Остальные обозначения см. рис. 1.

троцитов, но и снижает ее на 11—12 % по сравнению с уровнем, наблюдаемым у интактных крыс. На 60—90 с исследования гемолиза его снижение примерно в 2 раза меньше и показатели гемолиза приближаются к нормальным величинам. Спустя 1 ч после инъекции эффект таурохолата натрия несколько уменьшается, а к концу 2 ч резко ослабевает.

Сравнительное изучение действия других холановых кислот обнаружило у них несколько менее выраженное влияние. Через 30 мин после инъекции холат натрия снижает гемолиз эритроцитов в первые 30 с исследования на 13—14 %, а хенодезоксихолат натрия — на 10—13 %, причем этот эффект сохраняется в основном спустя 1 ч после инъекции. На 60—90 с гемолиза степень снижения составляет 5—7 %, т. е. гемолиз несколько ниже уровня интактных животных или не отличается от него.

Дополнительное введение нормального кругооборота и с изменения проницаемости эритроцитов наблюдается нерезкое снижение выраженное на 30—60 с исслед.

Холат натрия снижает первые 20 с. В этом периоде чем таурохолата натрия. Хенодезоксихолат натрия в течение 30 с

Поскольку синтетические подобно желчным кислотам [1] мости эритроцитов [5], предст

Установлено, что после введения в дозе 10 мг/кг могут теряющих желчные кислоты, животных заметное снижение кислот действие этония имеет 3—5 раз сильнее.

Тритон X-100 у интактных особенно в конечном периоде 30 мин после инъекции тритона X-100, в отличие от эритроцитов интактных крыс и проницаемость эритроцитов у крыс, теря

Данные опыты об увеличении кругооборота желчных амин в дозе 2 % массы корма и его действие сводится к повышенному количеству желчных кислот в организме. Желчные кислоты уменьшаются содержание холестерина, снижается порог резорбции и уменьшается содержание холановых кислот в крови отмечено, что в условиях потери может оказаться некоторое влияние на важным доказательством неподвижных изменениях являются результаты кислот в условиях их дегидратации (10 мг/кг) холановых кислот проницаемость эритроцитов

Наиболее выраженным действием является таурохолат натрия, что первичная парная тригидроксихолат кислотам крыс [2].

Совершенно понятно, что желчные кислоты в плазме кровотока направленный и менее продолжительный.

Противоположная направляемая в организме при потере кислот восстанавливать проницаемость желчных кислот, позволяя содержания в организме желчных кислот.

Значительный интерес представляет измененную дефицитом жира. Результаты опытов подтверждают синтетических ПАВ для у

Дополнительное введение холановых кислот интактным животным, в условиях нормального кругооборота и содержания в организме желчных кислот, вызывает иные изменения проницаемости эритроцитов (рис. 2). После инъекции таурохолата натрия наблюдается нерезкое снижение количества гемолизированных эритроцитов, наиболее выраженное на 30—60 с исследования.

Холат натрия снижает количество гемолизированных эритроцитов, особенно в первые 20 с. В этом периоде действие холата натрия выражено значительно сильнее, чем таурохолата натрия. Хенодезоксихолат натрия снижает гемолиз эритроцитов преимущественно в первые 30 с исследования и по степени действия занимает промежуточное место между таурохолатом и холатом натрия.

Поскольку синтетические ПАВ в ряде случаев действуют на клеточные мембранны подобно желчным кислотам [1, 4] и могут вызвать аналогичные изменения проницаемости эритроцитов [5], представляет интерес их действие в животном организме.

Установлено, что после внутрибрюшинных инъекций крысам этония или тритона X-100 в дозе 10 мг/кг могут возникать изменения проницаемости как у животных, теряющих желчные кислоты, так и у интактных крыс. Этоний вызывает у интактных животных заметное снижение гемолиза эритроцитов. В условиях дефицита желчных кислот действие этония имеет такую же направленность, но выражено в среднем в 3—5 раз сильнее.

Тритон X-100 у интактных животных заметно повышает гемолиз эритроцитов, особенно в конечном периоде исследования. В условиях потери желчных кислот через 30 мин после инъекции тритона X-100 наблюдается некоторое снижение гемолиза, которое через 30 мин в части случаев становится более выраженным. Таким образом, тритон X-100, в отличие от желчных кислот и этония, повышает проницаемость эритроцитов интактных крыс и лишь частично восстанавливает повышенную проницаемость эритроцитов у крыс, теряющих желчные кислоты.

Данные опытов об увеличении проницаемости эритроцитарных мембран у крыс на 6—8 сут скармливания холестирамина позволяют связывать эти изменения с нарушением кругооборота желчных кислот и дефицитом их в крови. Известно, что холестирамин в дозе 2 % массы корма не вызывает каких-либо нарушений в организме животных, и его действие сводится к связыванию в кишечнике и выведению с фекалиями повышенного количества желчных кислот [3]. В результате усиленного выведения из организма желчных кислот уменьшается их обратное поступление из кишечника в кровь, снижается порог резорбции гепатоцитами желчных кислот из протекающей крови и уменьшается содержание холатов в периферической крови. Снижение концентрации желчных кислот в крови отмечено при назначении холестирамина больным [7]. Не исключено, что в условиях потери желчных кислот уменьшение усвоения жиров может оказывать некоторое влияние на состав липидов эритроцитарных мембран. Поэтому важным доказательством непосредственной роли желчных кислот в обнаруженных изменениях являются результаты опытов с дополнительным введением животным желчных кислот в условиях их дефицита в организме, а именно, способность небольших доз (10 мг/кг) холановых кислот снижать повышенную в условиях потери желчных кислот проницаемость эритроцитарных мембран.

Наиболее выраженным действием на проницаемость эритроцитарных мембран обладает таурохолат натрия, что связано, очевидно, с тем, что таурохолевая кислота, как первичная парная тригидроксихолановая кислота принадлежит к основным холановым кислотам крыс [2].

Совершенно понятно, что у интактных животных с нормальным содержанием желчных кислот в плазме крови, экзогенные холановые кислоты вызывают слабо выраженный и менее продолжительный эффект.

Противоположная направленность изменений проницаемости эритроцитарных мембран в организме при потере и при введении желчных кислот, способность желчных кислот восстанавливать проницаемость эритроцитов, изменившуюся в результате потери желчных кислот, позволяют сделать заключение о зависимости этих изменений от содержания в организме желчных кислот.

Значительный интерес представляют данные о том, что проницаемость эритроцитов, измененную дефицитом желчных кислот, можно восстановить введением этония. Результаты опытов подтверждают наши предположения [1] о возможности использования синтетических ПАВ для управления проницаемостью мембран в организме.

Список литературы

- Ганиткевич Я. В. Вивчення фізіологічної дії поверхнево-активних речовин.— Фізіол. журн., 1976, 22, № 4, с. 552—560.
- Ганиткевич Я. В. Роль желчи и желчных кислот в физиологии и патологии организма.— Киев : Наук. думка. 1980.— 180 с.
- Ганиткевич Я. В. Физиологическое действие холестирамина и других секвестрантов желчных кислот.— Физиол. журн., 1980, 26, № 3, с. 376—386.
- Ганиткевич Я. В., Черненко Л. И. Изменение механических свойств эритроцитарных мембран при их взаимодействии с поверхностно-активными веществами.— Молекуляр. генетика и биофизика, 1978, вып. 3, с. 60—66.
- Ганиткевич Я. В., Швец В. И. Изменение проницаемости эритроцитарных мембран для воды и мочевины при действии синтетических поверхностно-активных веществ.— Молекуляр. генетика и биофизика, 1980, вып. 5, с. 65—71.
- Колмаков В. Н. Исследование зависимости проницаемости эритроцитарной мембраны от содержания в ней общего холестерина и его фракций и возможные сезонные влияния на эти показания.— Цитология, 1976, 18, № 1, с. 76—81.
- Логинов А. С., Крюкова Л. В. Нарушение печеночно-кишечной циркуляции желчных кислот при хронических заболеваниях печени и кишечника.— Успехи гепатологии, 1978, № 7, с. 96—111.

Кафедра физиологии человека и животных
Черновицкого университета

Поступила 27.04.81

УДК 612.314.1+616.314—073.75

П. Т. Калион, С. И. Криштаб, Н. П. Неспрядько

РАДИОАВТОГРАФИЧЕСКОЕ ИССЛЕДОВАНИЕ РОСТА ЗУБА И ФУНКЦИОНАЛЬНОЙ АКТИВНОСТИ КЛЕТОК В ПЕРИОД ПРОРЕЗЫВАНИЯ

Прорезывание зубов — сложный физиологический процесс, охватывающий обширный комплекс поэтапно происходящих событий [9]. Этот длительный процесс начинается с момента формирования корня и завершается, когда зуб проникает через слизистую в полость рта, чтобы выполнять функции, которые сформировались в процессе филогенетического развития [4].

Прорезывание зуба, по существующим представлениям, связано с развитием альвеолярной кости [1, 3, 5], дентина и цемента [3, 6], тканей зубной пульпы [7], околозубых тканей [5, 8]. Разрушение альвеолярной кости и соединительной ткани десны также является неотъемлемой частью прорезывания зуба [1, 2]. Следовательно, при построении целостных представлений о прорезывающемся зубе возникает необходимость в выявлении многообразия взаимодействий как внутри развивающегося зуба, так и в его взаимоотношениях с окружением. Одним из показателей такого взаимодействия внутри-, межтканевых, нервных, сосудистых и гуморальных факторов при нормальном прорезывании зубов является функциональная активность клеток зубо-челюстной системы, которая в значительной мере определяет интенсивность ростовых процессов в эмали, дентине и альвеолярной кости.

Мы исследовали биосинтез коллагена в костной ткани, окружающей зуб и в структурах зуба в период его прорезывания.

Методика исследований

В качестве показателя биосинтеза коллагена использована аминокислота ^{3}H -пролин. Изотоп вводили крысам линии Wistar на 10, 14 день постнатального развития в дозе 3 мкКи/г. Поскольку рост зуба сопровождается интенсивным биосинтезом эмали и дентина, эксперимент проведен с таким расчетом, чтобы проследить в динамике за процессом формирования этих структур и по особенностям распределения радиоактивной метки определить характер их перемещения относительно корневой зоны и источники образования одонтобластов. Животных забивали через 1 ч, 1; 2; 5 и 9 сут после введения изотопа. Для определения биосинтетической активности клеток ^{3}H -пролин вводили в дозе 100 мкКи/г, и исследуемые образцы фиксировали в 10 % формалине через 0,5 ч. На продольные и поперечные срезы моляров нижней челюсти наносили эмульсию типа «М», и препараты экспонировали при +4 °C в течение 25 дней.

После проявления препарата определяли интенсивность включения. С этой целью через 0,5 ч после бластами подсчитывали количество вещества — через 24 ч, ориентировочно. Полученные данные. Сопоставляли активность основания корня со стороны эмали и дентина, осажденная над вершиной зуба.

Ре

Распределение ^{3}H -пролина после его введения является. Через 0,5 и 1 ч большая



Рис. 1. Распределение ме

1 — эмаль, 2 — дентин, 3 — пу

Рис. 2. Распределение м

1 — эмаль, 2 — метка ^{3}H -пр

Метятся все клетки от основания, выявляется лишь незначительная часть их сосредоточена уже в зоне, образуя узкую зону за счет вновь сформированного вещества, а в эмали распределена адамантобластами и основа

Через 5 и 9 дней после в межклеточном веществе основы активности в межклеточном веществе еще больше увеличивается.

После проявления препаратов и окраски их гематоксилином Майера-эозином определяли интенсивность включения ^3H -пролина в клетки и межклеточное вещество. С этой целью через 0,5 ч после введения ^3H -пролина над адаманто-, одонто- и остеобластами подсчитывали количество зерен восстановленного серебра, а в межклеточном веществе — через 24 ч, ориентируясь во всех случаях на идентичную площадь гистологического среза. Полученные данные обработаны вариационно-статистическим методом. Сопоставляли активность биосинтеза в следующих зонах развивающихся моляров: основание корня со стороны пульпы, эмалево-дентинная граница, вершина зуба со стороны эмали и дентина, основание челюсти, альвеолярный гребень и кость, расположенная над вершиной зуба.

Результаты исследований

Распределение ^3H -пролина в структурах зуба через различные интервалы времени после его введения является идентичным для всех исследованных стадий развития. Через 0,5 и 1 ч большая часть радиоактивности регистрируется внутриклеточно.

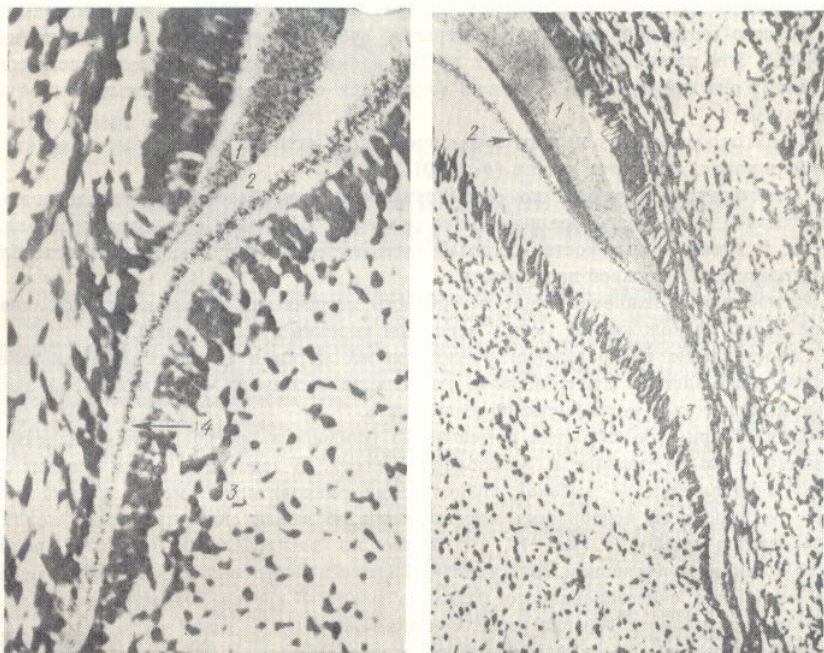


Рис. 1. Распределение метки ^3H -пролина через 48 ч после его введения 14-суточным крысам.
1 — эмаль, 2 — дентин, 3 — пульпа, 4 — метка ^3H -пролина в дентине. Гематоксилин Майера-азурэозин. Об. 25×ок. 6,3.

Рис. 2. Распределение метки ^3H -пролина через 9 дней после его введения 10-суточным крысам.
1 — эмаль, 2 — метка ^3H -пролина, 3 — вновь сформированный дентин. Гематоксилин Майера-азурэозин. Об. 10×ок. 6,3.

Метятся все клетки от основания корня до вершины зуба. Через 1 и 2 дня в клетках выявляется лишь незначительное количество зерен восстановленного серебра и большая часть их сосредоточена уже в эмали и дентине. В дентине они расположены концентрированно, образуя узкую зону радиоактивности, несколько смещенную от одонтобластов за счет вновь сформированного и не содержащего метку ^3H -пролина внеклеточного вещества, а в эмали распределение их диффузное, без четко выраженной границы между адамантобластами и основным веществом (рис. 1).

Через 5 и 9 дней после введения ^3H -пролина распределение радиоактивной метки в межклеточном веществе остается таким же, однако расстояние между зоной радиоактивности в межклеточном веществе и расположенными на его поверхности клетками еще больше увеличивается.

Иной вид имеют те участки корня зуба, которые образовались в период от 1 до 9 дней наблюдений с момента введения ^3H -пролина. За этот период сформировалась значительная часть корня зуба, представленная дентином и не содержащая введенного ранее ^3H -пролина (рис. 2). Это свидетельствует о том, что большая часть радиоактивной аминокислоты включилась в синтезированные молекулы коллагена в течение первых суток ее циркуляции в организме, и последующее формирование дентина корневой части зуба происходило лишь с участием эндогенной нерадиоактивной аминокислоты. В течение этого времени аппозиционно не образовывалась эмаль за счет дифференцировки новых адамантобластов. Ее прирост обеспечивали лишь те клетки, которые интенсивно включали ^3H -пролин в первые часы после его введения. В то же время со стороны основания пульпы зуба хорошо виден слой сформированного дентина, который не содержит ^3H -пролин. За это время дифференцировались новые одонтобlastы, которые расположены на поверхности дентина со стороны пульпы. Их цитоплазма имеет прямые контакты с дентином, источником которого они являются.

Наиболее активно ассимилируют ^3H-пролин адамантобласты, расположенные в зоне эмалево-дентинной границы. На вершине зуба их активность значительно ниже ($p<0,001$). Эти клетки отличаются от других адамантобластов и по морфологическим признакам: они приобретают округлую форму при существенном уменьшении объема цитоплазмы.

Среди одонтобластов пульпы зуба менее всего активны те, которые находятся у основания корня формируя дентин ($p<0,001$).

Существенно отличаются по своей активности остеобласти трех исследованных зон челюстной кости. Наиболее интенсивно включают ^{3}H -пролин остеобласти основания челюсти. В альвеолярных костях большая часть активно функционирующих остеобластов находится на наружной поверхности.

Интенсивно функционирующие остеобласты встречаются также в участке альвеолярной кости, расположенной между вершиной коронки зуба и десной.

Сопоставление распределения радиоактивной метки в клетках и межклеточном веществе указывает на существование корреляции между их функциональной активностью и количеством синтезированного продукта.

Следует при этом обратить внимание на особенность распределения радиоактивной метки в эмали, дентине и альвеолярной кости. В дентине и кости продукт биосинтеза определяется по высокой концентрации радиоактивной метки, имеющей вид узкого тяжа по всей поверхности этих структур. В эмали синтезированный коллаген распределяется диффузно (рис. 1), что видно по распределению метки ^3H -пролина. Поэтому при количественном сопоставлении интенсивности метки в эмали и дентине после выделения синтезированного белка за пределы клетки создается впечатление, что его концентрация в дентине выше, чем в эмали. Однако такой чисто внешне видимый эффект создает его диффузное распределение в эмали. В действительности интенсивность синтеза коллагена адамантобластами выше, чем одонтобластами ($p < 0,001$).

Выводы

1. В предфункциональный период рост зуба обеспечивается дифференцирующимися преодонтобластами корневой зоны пульпы.
 2. В процессе его роста высокая функциональная активность адаманто- и одонтобластов обеспечивает синтез коллагена и формирование эмали и дентина, при этом наибольшая активность клеток отмечается в зоне эмалево-дентинной границы. На вершине зуба их активность значительно ниже, особенно адамантобластов.
 3. Рост челюсти функционально и топографически скоррелирован с ростом зуба. Наиболее интенсивно растет апикальная и боковая части челюстной кости, а окклюзионная — подвержена резорбции.

Список литературы

1. Cahill D. R. Eruption pathway formation in the presence of experimental tooth impaction in puppies.—Anat. Rec., 1969, **164**, N 1, p. 67—77.
 2. Cahill D. R. Histological changes in the bony crypt and gubernacular canal of erupting permanent premolars during deciduous premolar exfoliation in beagles.—J. Dent. Res. 1974 **53** N 4, p. 786—791.

3. Kenney E. B., Ramfjord S. I. with development and eruption 48, N 2, p. 251—256.
 4. Litvin P. E., De Marco T. I. The Oral Surg., 1973, 35, N 2, p. 29.
 5. O'Brien C., Bhaskar S. N., Bi first molar of the rat.—J. Dent.
 6. Orban B. Oral histology and teeth, p. 229—243.
 7. Sicher H. Tooth eruption: The Res., 1942, 21, N 2, p. 201—210.
 8. Ten cate A. R., Deporter D. A. of periodontal ligament during 1976, 69, N 2, p. 155—168.
 9. Vascova I. Zmeny na sliznici Lek., 1970, 18, N 9, p. 272—277.

Кафедра ортопедической стоматологии
Киевского медицинского института

УДК 612.18—612.826.4

ИЗУЧЕНИЕ ГИП
ДЕПОНИРУ

Характерными особенностями большая емкость сосудистого снабжения — артериального и венозного, текущей через печень крови [3], не отразиться на кровенаполнении

Показано [6], что раздражительное уменьшение воротногоием давления в воротной вене вызывает повышение сопротивления стрикции. Следовательно, можно предположить, что муса сосудодвигательные реакции более, что, по данным ряда авторов, мышечные сфинктеры, также функцию печени. Однако, если с нервов на объем содержащейся в печени жидкости не влияет то по поводу участия гипотала- данных нет.

Мы изучали влияние разд

M

Работа выполнена в острый 10–18 кг под нембуталовым наркозом. Погружали в гипоталамус ординаты исследуемых образцов соавт. [9]. Раздражали паровую гипоталамическую, вентромедиальную ядерную группу. Параметры раздражительности импульса 2 мс, длительность срезах мозга уточняли локально в воротной вене регистрировали вене регистрировали с помощью расходомера производили *in* кровью с различной скоростью мощью реографа РГ 4-01 (при составляющей сопротивления на противоположные поверхности

3. Kenney E. B., Ramfjord S. P. Patterns of root and alveolarbone growth associated with development and eruption of teeth in rhesus monkeys.—J. Dental Res., 1969, 48, N 2, p. 251—256.
4. Litvin P. E., De Marco T. I. The effect of a diuretic and antidiuretic on tooth eruption.—Oral Surg., 1973, 35, N 2, p. 294—298.
5. O'Brien C., Bhaskar S. N., Brodie A. G. Eruptive mechanism and movement in the first molar of the rat.—J. Dent. Res., 1958, 34, N 3, p. 467—484.
6. Orban B. Oral histology and embryology.—St. Louis, 1944.—C. 10. Eruption of the teeth, p. 229—243.
7. Sicher H. Tooth eruption: The axial movement of continuously growing teeth.—J. Dent. Res., 1942, 21, N 2, p. 201—210.
8. Ten Cate A. R., Deporter D. A., Freeman E. The role of fibroblast in the remodelling of periodontal ligament during physiologic tooth movement.—Amer. J. Orthodontics, 1976, 69, N 2, p. 155—168.
9. Vascova I. Zmeny na sliznici dutiny ustna pri prorezavany zuby u deti.—Pract. Zubni Lek., 1970, 18, N 9, p. 272—277.

Кафедра ортопедической стоматологии
Киевского медицинского института

Поступила 06.07.82

УДК 612.18—612.826.4

П. И. Янчук

ИЗУЧЕНИЕ ГИПОТАЛАМИЧЕСКОЙ РЕГУЛЯЦИИ ДЕПОНИРУЮЩЕЙ ФУНКЦИИ ПЕЧЕНИ

Характерными особенностями печеночной гемодинамики являются прежде всего большая емкость сосудистого русла печени и наличие двух источников ее кровоснабжения — артериального и воротного. Воротная вена доставляет около 80 % протекающей через печень крови [3, 10], поэтому изменения воротного кровотока не могут не отразиться на кровенаполнении печени.

Показано [6], что раздражение некоторых структур гипоталамуса вызывает значительное уменьшение воротного кровотока наряду с довольно выраженным повышением давления в воротной вене. Сделан вывод о том, что стимуляция гипоталамуса вызывает повышение сопротивления воротных сосудов печени в результате их констрикции. Следовательно, можно ожидать, что происходящие под влиянием гипоталамуса сосудодвигательные реакции в печени отразятся и на ее кровенаполнении, тем более, что, по данным ряда авторов [1, 4], в печеночных венах собак имеются мощные мышечные сфинктеры, также способные оказывать воздействие на депонирующую функцию печени. Однако, если о влиянии некоторых веществ и стимуляции печеночных нервов на объем содержащейся в печени крови имеются сведения в литературе [2, 7], то по поводу участия гипоталамуса в регуляции объема крови в печени литературных данных нет.

Мы изучали влияние раздражения гипоталамуса на кровенаполнение печени.

Методика исследований

Работа выполнена в острых опытах на беспородных собаках обоего пола массой 10—18 кг под нембуталовым наркозом (35 мг/кг). Биполярные концентрические электроды погружали в гипоталамус с помощью стереотаксического аппарата СЭЖ-2. Координаты исследуемых образований гипоталамуса рассчитывали по атласу Лима и соавт. [9]. Раздражали паравентрикулярное, латеральное гипоталамическое, переднее гипоталамическое, вентромедиальное, заднее гипоталамическое и медиальное мамилярное ядра. Параметры раздражающего тока: 4—12 В, 0,06—0,2 мА, 50 имп/с, длительность импульса 2 мс, длительность раздражения 30—60 с. По окончании опытов на срезах мозга уточняли локализацию электродов. Артериальное давление и давление в воротной вене регистрировали электроманометром ЭМТ-31. Кровоток в воротной вене регистрировали с помощью электромагнитного расходомера РКЭ-2. Калибривку расходомера производили *in situ* по окончании опыта, перфузируя воротную вену кровью с различной скоростью. Изменения кровенаполнения печени записывали с помощью реографа РГ 4-01 (прибор модифицирован нами для регистрации постоянной составляющей сопротивления исследуемых тканей), электроды которого накладывали на противоположные поверхности дали печени и фиксировали тонкой шелковой нитью,

проходящей сквозь толщу паренхимы печени. Калибривку реографа производили по окончании эксперимента, вводя в изолированную в сосудистом отношении печень различные по объему порции крови. Опыты проводили на обездвиженных дитилином животных с применением искусственного дыхания. Запись всех показателей осуществляли на регистраторе Н-115. Статистическая обработка данных проведена на микро-ЭВМ «Электроника Б3-21».

Результаты исследований

Электрическое раздражение исследуемых структур гипоталамуса наряду с выраженным изменениями воротного кровотока и давления в воротной вене вызывало также изменения объема содержащейся в печени крови (рис. 1). При этом следует отметить, что практически во всех опытах наблюдалось уменьшение кровенаполнения

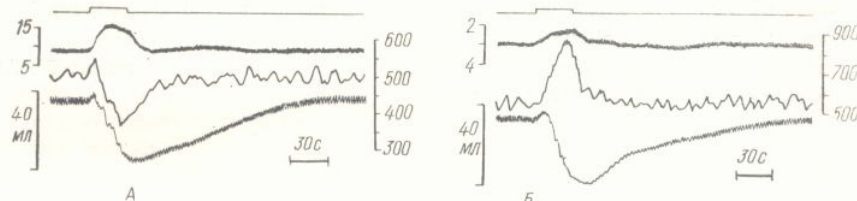


Рис. 1. Изменения кровотока и реограммы печени, вызванные раздражением гипоталамуса.

Сверху вниз: отметка раздражения, давление в воротной вене, в гПа (слева), скорость воротного кровотока, в мл/мин (справа), реограмма печени с калибровочным сигналом (слева). А — раздражение переднего гипоталамического ядра (0,08 мА, 4 В); Б — раздражение паравентрикулярного ядра (0,1 мА, 4 В).

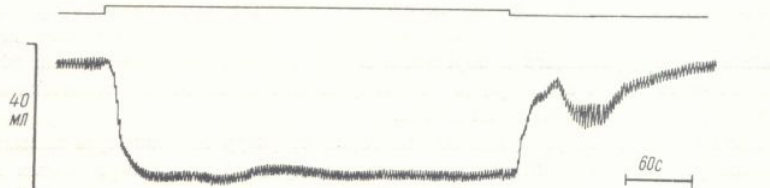


Рис. 2. Реограмма печени при длительном раздражении вентромедиального ядра гипоталамуса (0,15 мА, 7 в).

печени (в среднем на 9 мл/100 г печени), как на фоне уменьшения портального кровотока (рис. 1, А), так и на фоне его увеличения (рис. 1, Б). Это свидетельствует о том, что уменьшение количества находящейся в печени крови в ответ на раздражение гипоталамуса не зависит от объема притекающей к печени крови по воротной вене. А так как раздражение гипоталамуса обычно увеличивает кровоток в печеночной артерии [5], то становится очевидным, что и приток артериальной крови к печени не может быть причиной уменьшения ее кровенаполнения. В таком случае уместно предположить, что уменьшение объема крови в печени при раздражении гипоталамуса связано с вазомоторными процессами, происходящими в самой печени.

Многими авторами показано, что из печени может довольно быстро высвобождаться до 50 % находящейся в ней крови [3, 8]. Однако механизм изгнания крови из печени до настоящего времени окончательно не выяснен. Так, по мнению некоторых авторов [3], уменьшение объема крови в печени может осуществляться следующими путями: 1) при неизменном оттоке крови из печени сужение брызговых артерий уменьшает приток крови к портальной области, что и приводит к высвобождению крови из депо; 2) раскрывается диффузный сфинктер печени, облегчающий отток крови даже при неизменном притоке; 3) в условиях, когда диффузный сфинктер печени, начиная с выходных сфинктеров синусоидов и кончая мускулатурой печеночных вен, раскрыт, активное сужение мелких сосудов печени обеспечивает выбрасывание крови из депо.

Некоторые авторы [1, 4] указывают на наличие в печеночных венах собак мощных мышечных сфинктеров, находящихся под нейрогенным контролем. По их мнению, эти сфинктеры при определенных условиях могут почти полностью закрывать просвет

сосудов, приводя к депонированию и раскрытие этих сфинктеров способствует

На основании изложенногония печени в ответ на раздражение печеночных вен и одновременно

Установлено, что артерия регуляции, которая проявляется влияния симпатических нервов, свойством [7]. Интересно было подчинена нервному контролю. наполнения печени в одном из в течение 6 мин, уменьшив объем до конца раздражения. печени, к которым, по-видимому, не свойственно явление саморегуляции гипоталамуса.

Таким образом, изложенная структур гипоталамуса вызывает вероятно, в результате раскрытия емкостных сосудов печени.

1. Колпаков Е. В. До порівняння. 1961, 7, № 3, с. 395—408.
2. Кричевская И. П. Объем центрального кровообращения. Алма-Ата, 1976, 2, с. 20.
3. Парин В. В., Meerzon Ф. З. Медицина, 1965.— 500 с.
4. Фолков В., Ниль Э. Кровообращение печени. Цыбенко В. А., Смирнова. Кровоснабжение печени. физиология гипоталамуса, 1
5. Цыбенко В. А., Богач П. Г. —Проблемы физиологии гипоталамуса. 7. Greenway C. V., Stark R. L. in the cat liver during stimulation. p. 277—284.
8. Lautt W. W. The hepatic vasoconstrictor response. 1973, N 5, p. 1163—1169.
9. Lim R., Liu Ch., Moffit R. I. 1994 p.
10. Ungvary G. Functional and structural changes in the liver. Akad. Kiado, 1977.— 226 p.

Кафедра физиологии человека
Киевского университета

сосудов, приводя к депонированию в печени больших количеств крови. В то же время раскрытие этих сфинктеров способствует оттоку крови из печени.

На основании изложенного можно предположить, что уменьшение кровенаполнения печени в ответ на раздражение гипоталамуса обусловлено раскрытием сфинктеров печеночных вен и одновременным сужением емкостных сосудов печени.

Установлено, что артериальные сосуды печени обладают способностью к саморегуляции, которая проявляется в ускользании этих сосудов из-под констрикторного влияния симпатических нервов, в то же время воротные сосуды не обладают этим свойством [7]. Интересно было выяснить, в какой мере емкостная функция печени подчинена нервному контролю. На рис. 2 представлен фрагмент регистрации кровенаполнения печени в одном из опытов, когда непрерывная стимуляция гипоталамуса в течение 6 мин, уменьшив объем содержащейся в печени крови, сохраняла это уменьшение до конца раздражения. Это свидетельствует о том, что емкостным сосудам печени, к которым, по-видимому, можно отнести и внутрипеченочные воротные вены, не свойственно явление саморегуляторного ускользания из-под сосудосуживающего влияния гипоталамуса.

Таким образом, изложенное позволяет заключить, что раздражение некоторых структур гипоталамуса вызывает уменьшение кровенаполнения печени, происходящее, вероятно, в результате раскрытия сфинктеров печеночных вен и одновременного сужения емкостных сосудов печени.

Список литературы

1. Колпаков Е. В. До порівняльної фізіології кровообігу в печінці.—Фізіол. журн., 1961, 7, № 3, с. 395—408.
2. Кричевская И. П. Объем циркулирующей крови и депонирующая функция системы портального кровообращения.—В кн.: Венозное кровообращение и лимфообразование. Алма-Ата, 1976, 2, с. 20—26.
3. Парин В. В., Meerzon Ф. З. Очерки клинической физиологии кровообращения.—М. : Медицина, 1965.—500 с.
4. Фолков В., Нил Э. Кровообращение.—М. : Медицина, 1976.—462 с.
5. Цыбенко В. А., Смирнова Л. А. Влияние раздражения гипоталамуса на артериальное кровоснабжение печени и напряжение кислорода в ее паренхиме.—Пробл. физиологии гипоталамуса, 1981, вып. 15, с. 39—45.
6. Цыбенко В. А., Богач П. Г. Гипоталамический контроль воротного кровообращения.—Пробл. физиологии гипоталамуса, 1982, вып. 16, с. 28—35.
7. Greenway C. V., Stark R. D., Lautt W. W. Capacitance responses and fluid exchange in the cat liver during stimulation of the hepatic nerves.—Circul. Res., 1969, 25, N 3, p. 277—284.
8. Lautt W. W. The hepatic vasculature: a conceptual review.—Gastroenterology, 1977, 73, N 5, p. 1163—1169.
9. Lim R., Liu Ch., Moffit R. A stereotaxic atlas of the dogs brain.—Springfield, 1960.—94 p.
10. Ungvary G. Functional morphology of the hepatic vascular system.—Budapest : Akad. Kiado, 1977.—226 p.

Кафедра физиологии человека и животных
Киевского университета

Поступила 16.03.83

О ПОВЫШЕНИИ ИССЛЕДОВАНИЙ В ОБЛ И ВОДНО-

ВИДНЫЙ УЧЕНЫЙ И ОРГАНИЗАТОР НАУКИ

**К 80-летию со дня рождения академика АН УССР
Александра Федоровича Макарченко**



Александр Федорович Макарченко прошел нелегкий путь от лампоноса и коногона в шахте до видного ученого в области неврологии и нейрофизиологии, крупного организатора советской медицинской науки и здравоохранения, академика АН УССР.

А. Ф. Макарченко родился в г. Жданове в семье рабочего-литейщика и уже в 12 лет начал свою трудовую деятельность, работая на шахте. Его дальнейшую судьбу полностью определила победа Великого Октября. Учебу на рабфаке, в Харьковском медицинском институте, а затем в аспирантуре, А. Ф. Макарченко успешно совмешал с большой общественной, а в последующем и государственной работой, будучи заместителем министра здравоохранения СССР. В годы Великой Отечественной войны Александр Федорович, находясь на руководящей работе в ЦК Компартии Украины и системе Министерства здравоохранения, много сделал для организации врачебной помощи населению и раненым воинам Советской Армии.

В предвоенные годы научная деятельность А. Ф. Макарченко была посвящена изучению влияния коры больших полушарий головного мозга на химический состав крови и азотистый обмен в организме. В 1954 г. он завершил докторскую диссертацию, посвященную изучению влияния марганца на нервную систему человека и животных. Монография, в которую вошли полученные им данные, удостоена премии им. акад. А. А. Богомольца.

В Институте физиологии им. А. А. Богомольца А. Ф. Макарченко свыше 25 лет возглавлял отдел клинической и экспери-

ментальной неврологии (в последующем отдел физиологии межжурчного мозга). Основное направление в тематике отдела — изучение корково-подкорковых взаимоотношений и их роли в осуществлении вегетативных и обменных функций. Особое значение при этом было обращено на исследование роли гипоталамуса в интеграции корковых и вегетативно-обменных функций. Результаты проведенных А. Ф. Макарченко совместно с сотрудниками исследований обобщены в пяти монографиях, большом количестве научных статей. В проведенных исследованиях отражено характерное для А. Ф. Макарченко сочетание экспериментального и клинико-физиологического подхода, а также комплексное использование разнообразных методических подходов смежных областей науки.

А. Ф. Макарченко наряду с научной вел большую научно-организационную работу. На протяжении 10 лет он возглавлял Институт физиологии им. А. А. Богомольца АН УССР, был председателем Бюро отделения биологических наук АН УССР, вице-президентом АН УССР, руководил Научным советом АН УССР по физиологии человека и животных.

На протяжении многих лет Александр Федорович плодотворно работал как ответственный редактор «Физиологического журнала» и председатель Киевского отделения Украинского физиологического общества им. И. П. Павлова.

Характеристика Александра Федоровича как ученого и общественного деятеля была бы неполной без высокой оценки его личных качеств. Он отличался высокой принципиальностью, целеустремленностью, требовательностью к себе и сотрудникам, доступностью, простотой и чуткостью в общении с людьми.

Научные заслуги А. Ф. Макарченко были отмечены избранием его в 1957 г. членом-корреспондентом АН УССР, а в 1961 г.—академиком АН УССР. Член КПСС с 1928 г. Александр Федорович неоднократно избирался в руководящие партийные органы, депутатом Советов народных депутатов Киева и области. Партия и Правительство высоко оценили заслуги А. Ф. Макарченко перед государством и народом, наградив его двумя орденами Трудового Красного Знамени, двумя орденами «Знак Почета», медалями, Почетной Грамотой Президиума Верховного Совета УССР, знаком «Отличник здравоохранения».

А. Ф. Макарченко умер 5 июля 1979 г. Он сохранится в памяти всех, кто его знал, как видный ученый, прекрасный дальновидный организатор науки, замечательный духовный человек.

11—13 мая 1983 г. в г. Каневе склонности проводено совещание комиссий «Регуляция пищеварения» и «Водно-солевой обмен воды и электролитов» действующих проблемных комиссий Н Совета АН СССР по физиологии различных систем, посвященное повышение методического уровня и координации исследований в этих областях физиологии.

В работе совещания приняло участие научных сотрудников научно-исследовательских и кадровых институтов Москонинграда, Киева, Ашхабада, Новосибирска, Львова, Одессы, Полтавы, Чебоксар, Ворошиловграда, в том числе 12 докторов и 22 кандидата наук.

В соответствии с программой совещания было заслушано и обсуждено 11 докладов, в которых была представлена информация о современном состоянии и возможностях использования в исследованиях по логии пищеварения и водно-солевого обмена электрофизиологических (чл. канд. физ. наук М. Ф. Шуба, доктор биол. наук И. С. Магура, Киев), фармаколог (доктор биол. наук С. Д. Грайсман, радиоизотопных (доц. А. Н. Васильев), рентгенологических (проф. П. И. Мов, Ленинград), методов молекуларной биологии (канд. биол. наук А. И. Кравец, Киев), ЯМР-спектроскопии (В. Н. Кравец). Ряд сообщений был посвящен изучению плазматических (доц. В. К. Рыбальченко, Киев), образовательной функции (проф. Янкевич, Львов), энергетических связей в железистой ткани (доктор биол. наук В. В. Мацьинин, канд. биол. наук Л. А. Лилио, Киев), гормональной (проф. Климов, Ленинград) и центральных регуляций функций органов желудочно-кишечного тракта (проф. Н. Н. Лебедев, проф. А. Ф. Косенко, Киев).

Специальное заседание было по вопросам разработки и производства аппаратуры и приборов для физических исследований, на котором выступили ведущие специалисты Ленинградского производственного объединения мельницкого завода измерительных приборов (В. А. Матросов), Львовского научно-производственного объединения радиоизотопной медицинской аппаратуры (С. А. Левин) и Опытно-конструкторского центра Института физиологии им. А. А. Богомольца АН УССР (А. М. Минцес).

На заседании рабочей комиссии по «Водно-солевому обмену воды и электролитов» были подведены итоги исследований по «Роль кожи в обмене воды и электролитов» (проф. Л. Н. Иванова, Ново-Ашхабад) и «Водно-солевой обмен на пустынных в условиях аридной зоны Е. П. Серебряков, Ашхабад).

О ПОВЫШЕНИИ ЭФФЕКТИВНОСТИ И КАЧЕСТВА ИССЛЕДОВАНИЙ В ОБЛАСТИ ФИЗИОЛОГИИ ПИЩЕВАРЕНИЯ И ВОДНО-СОЛЕВОГО ОБМЕНА

11—13 мая 1983 г. в г. Каневе Черкасской области проведено совещание рабочих комиссий «Регуляция пищеварения» и «Тканевой обмен воды и электролитов» соответствующих проблемных комиссий Научного Совета АН СССР по физиологии висцеральных систем, посвященное повышению методического уровня и координации исследований в этих областях физиологии.

В работе совещания приняло участие 57 научных сотрудников научно-исследовательских и кадровых институтов Москвы, Ленинграда, Киева, Ашхабада, Новосибирска, Львова, Одессы, Полтавы, Чебоксар, Запорожья, Ворошиловграда, в том числе 27 докторов и 22 кандидата наук.

В соответствии с программой совещания было заслушано и обсуждено 11 докладов, в которых была представлена информация о современном состоянии и возможностях использования в исследованиях по физиологии пищеварения и водно-солевого обмена электрофизиологических (чл. корр. АН УССР М. Ф. Шуба, доктор биол. наук И. С. Магура, Киев), фармакологических (доктор биол. наук С. Д. Грайсман, Киев), радиоизотопных (доц. А. Н. Васильев, Киев), рентгенологических (проф. П. К. Климов, Ленинград), методов молекулярной биологии (канд. биол. наук А. И. Масюк, Киев), ЯМР-спектроскопии (В. Н. Попов, Киев). Ряд сообщений был посвящен методам изучения плазматических мембран (доц. В. К. Рыбальченко, Киев), желчеобразовательной функции (проф. Я. В. Ганикевич, Львов), энергетических процессов в железистой ткани (доктор биол. наук В. В. Мацынин, канд. биол. наук Л. И. Жалило, Киев), гормональной (проф. П. К. Климов, Ленинград) и центральной регуляции функций органов желудочно-кишечного тракта (проф. Н. Н. Лебедев, Москва; проф. А. Ф. Косенко, Киев).

Специальное заседание было посвящено вопросам разработки и производства новой аппаратуры и приборов для физиологических исследований, на котором выступили ведущие специалисты Ленинградского научно-производственного объединения и Гомельского завода измерительных приборов (В. А. Матросов), Львовского научно-производственного объединения радиоэлектронной медицинской аппаратуры (С. Е. Соколов) и Опытно-конструкторского производства Института физиологии им. А. А. Богомольца АН УССР (А. М. Минцес).

На заседании рабочей комиссии «Тканевой обмен воды и электролитов» были доложены итоги исследований по темам «Роль кожи в обмене воды и электролитов» (проф. Л. Н. Иванова, Новосибирск) и «Водно-солевой обмен у пустынных животных в условиях аридной зоны» (проф. Е. П. Серебряков, Ашхабад).

Кроме того, были заслушаны и обсуждены сообщения о направлении исследований по проблеме и их перспективах в лабораториях Института эволюционной физиологии и биохимии им. И. М. Сеченова АН СССР (проф. Ю. В. Наточин), НИИ физиологии Киевского госуниверситета им. Т. Г. Шевченко (проф. Б. Е. Есипенко), Института цитологии и генетики СО АН СССР (проф. Л. Н. Иванова), НИИ физиологии и патологии аридной зоны АН Туркменской ССР (проф. Е. П. Серебряков), Института физиологии им. А. А. Богомольца АН УССР (доктор биол. наук М. С. Яременко, канд. биол. наук А. П. Костромина), Ленинградского педагогического института (проф. В. В. Баранова), Львовского НИИ педиатрии, акушерства и наследственной патологии МЗ УССР (проф. А. И. Ступко), Львовского НПО РЭМА (С. Е. Соколов), Чувашского госуниверситета (проф. Г. Д. Анискин), Киевского педагогического института (С. В. Страшко), Одесского НИИ курортологии МЗ УССР (канд. мед. наук Н. А. Алексеенко), Одесского НИИ гигиены водного транспорта (канд. мед. наук Т. В. Стрикаленко).

В работе совещания участвовали председатель проблемной комиссии «Механизмы и закономерности деятельности систем пищеварения и всасывания» член-корр. АН СССР А. М. Уголов и председатель проблемной комиссии «Механизмы и закономерности деятельности почек и водно-солевого обмена» проф. Ю. В. Наточин.

Совещание, организованное НИИ физиологии Киевского госуниверситета им. Т. Г. Шевченко, проводилось в рамках организационных мероприятий Отделения физиологии АН СССР, долгосрочной программы «Гомеостаз», Научного Совета АН СССР по физиологии висцеральных систем, Научного Совета АН УССР «Физиология человека и животных» и правления Общества физиологов УССР.

Совещание прошло при высокой активности участников. В принятом решении отмечено, что проведенное совещание будет способствовать повышению методического уровня исследований в области физиологии пищеварения и водно-солевого обмена, комплексированию специалистов разного профиля при научной разработке актуальных вопросов этих разделов физиологии.

Обмен опытом методического обеспечения исследований, установление творческих контактов с организациями, разрабатывающими и производящими современную физиологическую аппаратуру является несомненно важным для повышения эффективности и качества проводимых научных исследований.

Б. Е. Есипенко

РЕФЕРАТЫ

УДК 612.822.5.612.821.8.

Участие гипоталамуса в регуляции Косенко А. Ф., Гушев А. М., Груздков А. А., Уголов А. М.—Физиол. журн., 1983, № 5, с. 543—548.

В хронических активность супрапарасимпатического центра и актины введении инсулина. Исследовали влияние на желудка желудочной секреции с функцией СГНС сопровождающейся гипогликемии.

УДК 577.15:591.1

Неперемешиваемые премембранные слои / Гусев В. М., Груздков А. А., Уголов А. М.—Физиол. журн., 1983, № 5, с. 515—525.

На примере эпителия тонкой кишки рассмотрены современные представления о влиянии неперемешиваемых водных слоев на процессы мембранного гидролиза и транспорта пищевых веществ (как модель обмена между внеклеточной и внутриклеточной средами). Разработаны математические модели, учитывающие наряду с диффузионными свойствами премембранных слоев трансэпителиальные потоки воды и особенности геометрии кишечной поверхности. Показано, что направление и величина трансэпителиальных водных потоков могут значительно влиять на барьерные и нутритивные функции кишечного эпителия, а также на экспериментально определяемые величины кинетических констант K_t и V . Согласно данным моделирования, аппроксимация сложной кишечной поверхности плоской мембраной представляется некорректной и может приводить к значительному завышению реальной толщины неперемешиваемого водного слоя. Ил. 5. Библиогр. 22.

УДК 612.32/33:616.33/34

Влияние серотонина на тонкого кишечника / Тонкого кишечника с. 549—554.

В хроническом внутривенное и подмоторные эффекты ными воздействиям прямой кишки. Пострата во время введением серотонина силы и характера тела. Эти же условия воздействия на тонкого тракта при содражаний усиливаются. Библиогр. 13.

УДК 591.1—612.8

Нейрофизиологические аспекты периодической деятельности пищеварительного тракта / Лебедев Н. Н.—Физиол. журн., 1983, № 5, с. 526—535.

В хронических опытах на шести собаках регистрировали периодическую моторику желудка (ПМЖ) из фистул в фундальном отделе и электрокортикограммы (ЭКоГ) с вживленных в кости черепа биполярных электродов. Анализ более 700 ЭКоГ показал, что на протяжении 6 ч дневных опытов в динамике 5 диапазонов частотного спектра ЭКоГ от 2 до 30 Гц в правом и левом полушариях обнаруживается стереотип соответственно фазам циклов ПМЖ («стационарные» пики активации) и одновременно уникальность композиции частот в каждом последовательном цикле, обусловленная феноменом «дополнительной миграющей волн» активации. У голодных, накормленных и ваготомированных собак в 90 мин циклах от двух до трех волн активации. Сделано заключение о существенной зависимости ЭКоГ от функционального состояния органов пищеварительной системы, определены новые подходы к изучению взаимосвязи ее периодической деятельности с уровнем голодной мотивации и стадиями сна. Ил. 3. Библиогр. 36.

УДК 612.3:612.014

О роли ионов Са²⁺ на гистамин / Са²⁺ на гистамин с. 555—558.

Электрическая стимуляция проводилась методом микрэлектродов, лизисных клеток: потенциал, который заметно уменьшается растворах с блока этих исследований обходимо для осуществления гистамина. Ил. 3. 1

УДК 612.826:612.828

Влияние раздражения неостриатума на желудочную секрецию / Гречишникова О. Д.—Физиол. журн., 1983, № 5, с. 536—542.

В острых и хронических опытах на кошках с фистулой желудка и с малым желудочком по И. П. Павлову изучали влияние порогового раздражения неостриатума (головки, тела хвостатого ядра и склерупы) в течение 15—120 мин на желудочную секрецию и качественный состав сока (рН и содержание пепсина) натощак и после скармливания животным мяса. Электростимуляция неостриатума оказывает слабо выраженное активирующее влияние на деятельность обкладочных клеток фундальных желез желудка, находящихся в состоянии относительного покоя (натощак). При раздражении неостриатума в хронических опытах на кошках с малым желудочком по И. П. Павлову в большинстве случаев наблюдаются статистически достоверные изменения в количестве желудочного сока на мясо, величине рН и содержании в соке пепсина. Полученные нами результаты находятся в соответствии с представлением о том, что неостриатум участвует в формировании двигательного компонента сложных поведенческих реакций и их вегетативного обеспечения. Ил. 1. Табл. 2. Библиогр. 20.

УДК 612.323:612.453

Сравнение влияния различных веществ в живом организме / Сравнение различных веществ в живом организме с. 559—564.

У собак проводилось выделение растворимых кортикостероидов, гидрокортизона и цитратов глюкокортикоидов. Дефицит глюкокортикоидов. Выделение цитратов глюкокортикоидов. Выделение цитратов глюкокортикоидов. Табл. 3. Библиогр.

УДК 612.822.5.612.821.8.612.391

Участие гипоталамуса и супраоптико-гипофизарной нейросекреторной системы в регуляции желудочной секреции, стимулированной инсулином / Косенко А. Ф., Гущинец Г. П., Кожевникова Л. А.—Физиол. журн., 1983, 29, № 5, с. 543—548.

В хронических опытах на белых крысах изучали функциональную активность супраоптико-гипофизарной нейросекреторной системы (СГНС), количество и активность желудочного сока, уровень глюкозы крови при введении инсулина. На собаках с вживленными в гипоталамус электродами исследовали влияние раздражения вентромедиальных ядер на секрецию желудочного сока, стимулированную инсулином. Установлено, что раздражение вентромедиальных ядер гипоталамуса оказывает тормозное влияние на желудочную секрецию, стимулированную инсулином. Динамика желудочной секреции, вызванной инсулином, находится в прямой зависимости с функциональной активностью СГНС — увеличение активности СГНС сопровождается усилением желудочной секреции. Табл. 3. Библиогр. 17.

УДК 612.32/33:616.33/34

Влияние серотонина на рефлекторные двигательные реакции желудка и тонкого кишечника / Коваль Л. А.—Физиол. журн., 1984, 29, № 5, с. 549—554.

В хроническом эксперименте на фистульных собаках показано, что внутривенное и подкожное введение серотонина усиливают или ослабляют моторные эффекты пищеварительного тракта, обусловленные рефлекторными воздействиями (акт еды, раздражение механоцепторов желудка и прямой кишки). Последнее зависит от исходного фона пищеварительного тракта во время введения серотонина, временного соотношения между введением серотонина и рефлекторным воздействием, дозы серотонина, силы и характера (тормозный, возбуждающий) рефлекторного раздражителя. Эти же условия играют роль при введении серотонина после рефлекторных воздействий. Однонаправленные моторные эффекты пищеварительного тракта при сочетанном применении серотонина и рефлекторных раздражений усиливаются, а разнонаправленные — ослабляются. Ил. 1. Библиогр. 13.

УДК 612.3:612.014

О роли ионов Ca в электрическом ответе железистых клеток желудка крысы на гистамин / Смирнова Ж. П.—Физиол. журн., 1983, 29, № 5, с. 555—558.

Электрическая активность железистых клеток желудка крыс регистрировалась методом внутриклеточного отведения с помощью стеклянных микрозлектродов. Применение гистамина (10^{-4} М) вызывало в ряде железистых клеток желудка гиперполяризацию мембранны или секреторный потенциал, который в гипокальциевых растворах (1 мМ и 0,5 мМ CaCl_2) заметно уменьшается по амплитуде, а в бескальциевых растворах и в растворах с блокаторами кальциевых ионов не регистрируется. Результаты этих исследований позволяют заключить, что присутствие ионов Ca необходимо для осуществления электрической реакции в ответ на применение гистамина. Ил. 3. Библиогр. 11.

УДК 612.323:612.453

Сравнение влияния глюко- и минералокортикоидов на выделение мукопротеидных веществ в желудке / Гриднева В. И., Кривова Н. А.—Физиол. журн., 1983, 29, № 5, с. 559—563.

У собак проводили билатеральную адреналэктомию и исследовали выделение растворимых и нерастворимых мукопротеидов при дефиците всех кортикостероидов. После адреналэктомии и заместительного введения гидрокортизона обнаруживали дефицит минералокортикоидов. При дефиците глюкокортикоидов увеличивается выделение видимой слизи, дефицит минералокортикоидов изменяет выделение фракций растворимых мукопротеидов. Дефицит глюко- и минералокортикоидов изменяет активность муколизинов. Выделение мукопротеидов в ответ на введение гистамина не соответствует выделению мукопротеидов в ответ на кормление животных мясом. Табл. 3. Библиогр. 8.

УДК 612.32:616.33

О природе остаточной инсулиновой секреторной реакции при селективной проксимальной ваготомии / Грайсман С. Д., Губкин В. А., Береговая Т. В.—
Физиол. журн., 1983, 29, № 5, с. 564—570.

Исследования проводили на 12 собаках массой 13—15 кг с фистулами в фундальном отделе желудка. У 6 собак была осуществлена операция селективной проксимальной ваготомии (СПВ), у 2 — стволовой ваготомии, остальные 4 собаки служили в качестве контроля. СПВ вызывает глубокое угнетение инсулиновой желудочной секреции, которое спустя 2—3 мес несколько ослабевает и затем стабилизируется на уровне, при котором дебит соляной кислоты соответствует 1/3 нормы. Секреторная реакция на пентагастрин уменьшается при этом наполовину. Уменьшение секреторной реакции на инсулин и на пентагастрин соответственно сопровождается в первом случае 15 % понижением и во втором — 10 % повышением концентрации пепсина в желудочном соке. После двухсторонней стволовой ваготомии инсулин не стимулировал желудочной секреции. Поддержанна гипотеза о гастриновой природе остаточной инсулиновой желудочной секреции после СПВ. Табл. 4. Библиогр. 15.

УДК 612.826.4:612.825+612.826;612.3:612.018

Амидало-гипоталамические влияния в регуляции моторной и эвакуаторной функций пищеварительного тракта / Добривольская З. А., Губкин В. А., Мотузный В. А.— Физиол. журн., 1983, 29, № 5, с. 571—576.

В хронических опытах на собаках с фистулами желудка, тонкого и толстого кишечника и электродами, вживленными в гипоталамус и миндалевидные ядра, установлено, что предварительное раздражение кортикомедиальных и мелкоклеточных базальных ядер миндалевидного комплекса усиливает моторные реакции и эвакуацию желудочно-кишечного тракта, вызванные последующим раздражением структур среднего гипоталамуса. Предварительная стимуляция этих миндалевидных ядер ослабляла тормозные эффекты центров заднего гипоталамуса на моторику желудочно-кишечного тракта и эвакуацию в тонких кишках. Делается вывод о существовании облегчающих влияний ядер миндалевидного комплекса на структуры среднего гипоталамуса и тормозных влияний на механизмы заднего гипоталамуса, регулирующие двигательную и эвакуаторную деятельность пищеварительного тракта. Ил. 4. Библиогр. 19.

УДК 612.31/36.015.1.31

Корреляционная зависимость медиаторно-ферментных и ионных процессов в секреторных органах пищеварительного тракта / Панасюк Е. Н., Гаталик Б. В., Онищенко Ю. В., Тимошко М. Ф., Жукова А. И., Копытко А. Н., Куцык Л. Б., Бук А. Я.— Физиол. журн., 1983, 29, № 5, с. 577—583.

Установлена разнонаправленная корреляционная зависимость между холинэстеразной активностью и содержанием ионов натрия в ткани печени и в слизистой оболочке толстого кишечника, и прямая корреляционная зависимость между холинэстеразной активностью и содержанием ионов калия в ткани печени при деятельном состоянии пищеварительного тракта. Обнаружены существенные корреляционно-зависимые изменения ферментной активности и содержания ионов в ткани печени и слизистой оболочке желудка под влиянием катехоламинов (норадреналина). Показано роль различных доз катехоламинов в изменении активности симпато-адреналовой системы.

УДК 612.33.018

Анализ действия пентагастрин и секретина на слизистую оболочку тонкого кишечника / Яремко Е. Е., Чернышева С. В., Сырцов В. К., Кривохацкая Ю. А.— Физиол. журн., 1983, 29, № 5, с. 584—589.

Пентагастрин и секретин неоднозначно влияют на функциональную активность слизистой оболочки тонкого кишечника крыс. Пентагастрин увеличивает уровень ацетилхолина, норадреналина и активность ферментов их метаболизма (холинэстеразы и моноаминооксидазы) и потенцирует свои эффекты через холин- и адренергические структуры. Он также активирует синтез РНК, накопление и выделение слизи и количество гиперсекретирующих бокаловидных клеток в слизистой оболочке кишки. Усиливая синтез РНК и белка, пентагастрин действует как трофический фактор. Секретин в применяемых дозировках подобным действием не обладает. Ил. 1. Табл. 3. Библиогр. 20.

УДК 612.35—616.36—57

Механизм желчного
лило Л. И. Кост
29, № 5, с. 590—594

В хронических ной перфузируемой циях плазматическ лоты повышают а результаце чего ув ликулярные мембр желчные каналику отделения. Желчи гирующий желчеот внутренней среды Табл. 3. Библиогр.

УДК 616.366—085.244.0

Рентгенологическая
мии / Спузик М. И

Проведено 42 ния, желчевыделен ваготомии с исполь лась 20 % раствор в паузу пищеварен. Вначале производи 10 сут производил нерв с последующим же собакам до приводит к сниже ции печени, ускоря холографии и повышению желчеоб ускоряет наполнен желчных протоков

УДК 636.4.084+612.018

Активность НАДФ
ни свиней при раза вич В. Г.— Физиол

Четырем групп скормливали корм и 2,1 %). Установлена существенное тельной мере влияние печени и поджелудо дегидрогеназы (К₁ козо-6-фосфатдеги зы (КФ 1.1.1.44) в в обратной зависи лиогр. 21.

УДК 612.3:612.015.33:6

Изменение соотношников РНК в отда ацетилхолина / Ду 29, № 5, с. 604—60

Установлено, РНК и кислотрас выше, чем в слизи крыс. Скорость по желудочной же 100 мкг/100 г сов ления метки борто и поджелудочной аккумуляции мече ние в РНК и КР зы. Обсуждаются 2. Библиогр. 22.

УДК 612.35—616.36—577.352.3

Механизм желчегонного действия желчных кислот / Есипенко Б. Е., Жалло Л. И., Костромина А. П., Синельник О. Д.—Физиол. журн., 1983, 29, № 5, с. 590—594.

В хронических и острых опытах на целостном организме, изолированной перфузируемой печени, инкубируемых срезах ткани печени и субфракциях плазматических мембран гепатоцитов установлено, что желчные кислоты повышают активность Na^+ , K^+ АТФазы мембран гепатоцитов, в результате чего увеличивается интенсивность переноса натрия через каналикулярные мембранны, а следовательно, усиливается поступление воды в желчные каналикулы по осмотическому градиенту, т. е. скорость желчеотделения. Желчные кислоты могут рассматриваться как мощный корригирующий желчеотделение фактор, который наряду с другими факторами внутренней среды организма влияет на скорость секреции желчи. Ил. 1. Табл. 3. Библиогр. 15.

УДК 616.366—085.244.085.36—073

Рентгенологические данные о наполнении желчного пузыря после ваготомии / Спузяк М. И.—Физиол. журн., 1983, 29, № 5, с. 595—599.

Проведено 42 опыта на 8 собаках с целью изучения желчеобразования, желчевыделения и характера наполнения желчного пузыря после ваготомии с использованием внутривенной холографии, которая проводилась 20 % раствором билигности в дозе 0,5 мл/кг контрастного вещества в паузу пищеварения. Перерезку блуждающих нервов производили на шее. Вначале производили перерезку правого блуждающего нерва. Спустя 4—10 сут производили холографию. Затем пересекали и левый блуждающий нерв с последующей холографией. Контрольную холографию производили тем же собакам до ваготомии. Установлено, что правосторонняя ваготомия приводит к снижению желчеобразовательной и желчевыделительной функции печени, ускорению наполнения желчного пузыря при внутривенной холографии и повышению его тонуса. Двусторонняя ваготомия ведет к усилению желчеобразовательной и желчевыделительной функции печени, ускоряет наполнение желчного пузыря, снижает тонус желчного пузыря, желчных протоков и сфинктера Одди. Ил. 1. Библиогр. 16.

УДК 636.4.084+612.015.32

Активность НАДФ Н-генерирующих дегидрогеназ в печени и жировой ткани свиней при разном содержании жира в рационе / Синтинский В. В., Янович В. Г.—Физиол. журн., 1983, 29, № 5, с. 600—603.

Четырем группам послеотъемных поросят в возрасте от 45 до 90 дней скармливали кормосмеси с различным содержанием липидов (3,9; 5,9; 0,01 и 2,1 %). Установлено, что уровень липидов в рационе поросят не оказывает существенного влияния на интенсивность их роста, однако в значительной мере влияет на активность ферментов, генерирующих НАДФ Н в печени и подкожной жировой ткани. Активность НАДФ-зависимых малатдегидрогеназы (КФ 1.1.1.40), изоцитратдегидрогеназы (КФ 1.1.1.42), глюкозо-6-фосфатдегидрогеназы (КФ 1.1.1.49) и 6-фосфоглюконатдегидрогеназы (КФ 1.1.1.44) в печени и подкожной жировой ткани поросят находится в обратной зависимости от количества жира в их рационе. Табл. 1. Библиогр. 21.

УДК 612.3:612.015.33:612.015.38

Изменение соотношения двух путей синтеза пиримидиновых предшественников РНК в отдельных органах пищеварительного тракта под влиянием ацетилхолина / Дубицкий Л. А., Шостаковская И. В.—Физиол. журн., 1983, 29, № 5, с. 604—608.

Установлено, что скорость поступления $[2\text{-}^{14}\text{C}]\text{-оротовой кислоты}$ в РНК и кислоторастворимую фракцию (КРФ) ткани печени на два порядка выше, чем в слизистой оболочке желудка и поджелудочной железе белых крыс. Скорость поступления $[2\text{-}^{14}\text{C}]\text{-уридина}$ в РНК и КРФ выше в поджелудочной железе. Внутрибрюшинное введение ацетилхолина в дозе 100 мкг/100 г совместно с 5 мкг прозерина увеличивает скорость поступления метки оротовой кислоты в РНК и КРФ слизистой оболочки желудка и поджелудочной железы, но не печени. Однако ацетилхолин способствует аккумуляции меченого уридина в КРФ печени, не влияя на его поступление в РНК и КРФ слизистой оболочки желудка и поджелудочной железы. Обсуждаются возможные механизмы выявленных сдвигов. Ил. 2. Табл. 2. Библиогр. 22.

СОДЕРЖАНИЕ

<p><i>Гусев В. М., Груздков А. А., Уголев А. М.</i> Неперемешиваемые премембранные слои <i>Лебедев Н. Н.</i> Нейрофизиологические аспекты периодической деятельности пищеварительного тракта</p> <p><i>Гречишкина О. Д.</i> Влияние раздражения неостриатума на желудочную сечацию</p> <p><i>Косенко А. Ф., Гущинец Г. П., Кожевникова Л. А.</i> Участие гипоталамуса и ной секреции, стимулированной инсулином</p> <p><i>Коваль Л. А.</i> Влияние серотонина на рефлекторные двигательные реакции желудка и тонкого кишечника</p> <p><i>Смирнова Ж. П.</i> О роли ионов Са в электрическом ответе железнистых клеток желудка крысы на гистамин</p> <p><i>Гридинева В. И., Кривова Н. А.</i> Сравнение влияния глюко- и минералокортикоидов на выделение мукопидных веществ в желудке</p> <p><i>Гроисман С. Д., Губкин В. А., Береговая Т. В.</i> О природе остаточной инсулиновой секреторной реакции при селективной проксимальной ваготомии</p> <p><i>Добровольская З. А., Губкин В. А., Мотузный В. А.</i> Амингдало-гипоталамические влияния в регуляции моторной и эвакуаторной функции пищеварительного тракта</p> <p><i>Панасюк Е. Н., Гаталяк Б. В., Онищенко Ю. В., Тимошко М. Ф., Жукова А. И., Колытко А. Н., Куцый Л. Б., Бук А. Я.</i> Корреляционная зависимость медиаторно-ферментных процессов в секреторных органах пищеварительного тракта</p> <p><i>Яремко Е. Е., Чернышева С. В., Сырцов В. К., Кривохатская Ю. А.</i> Анализ действия пентагастрина и секрецина на слизистую оболочку тонкого кишечника</p> <p><i>Есипенко Б. Е., Жалило Л. И., Костромина А. П., Синельник О. Д.</i> Механизм желчегонного действия желчных кислот</p> <p><i>Спузяк М. И.</i> Рентгенологические данные о наполнении желчного пузыря после ваготомии</p> <p><i>Снигинский В. В., Янович В. Г.</i> Активность НАДФ -Н-генерирующих дегидрогеназ в печени и жировой ткани свиней при разном содержании жира в рационе</p> <p><i>Дубицкий Л. А., Шостаковская И. В.</i> Изменение соотношения двух путей синтеза пиримидиновых предшественников РНК в отдельных органах пищеварительного тракта под влиянием ацетилхолина</p> <p><i>Вовчук С. В., Коленда Ю. В., Львов И. Ф., Левицкий А. П., Сыновец А. С.</i> Влияние калликреин-кининовой системы на функции желудка</p> <p><i>Малюк В. И., Брук Э. И., Киреева Л. М.</i> Влияние сукцинатата натрия на кислотообразующую и секреторную функцию желудка</p> <p><i>Корпачев В. В.</i> Особенности динамики всасывания хлодитана в желудочно-кишечном тракте морских свинок и собак</p> <p><i>Бутусова И. А., Яременко М. С.</i> Влияние минеральной воды «Нафтуся» разных сроков хранения на всасывающую функцию желчного пузыря лягушки</p> <p><i>Степанова Л. Н., Розанов А. Я.</i> Исследования кишечно-печечной рециркуляции некоторых функционально связанных витаминов группы В у крыс</p> <p><i>Ганиткевич Я. В., Швец В. И.</i> Влияние желчных кислот на проницаемость эритроцитарных мембран</p> <p><i>Калион П. Т., Криштаб С. И., Неспрядько Н. П.</i> Радиоавтографическое исследование роста зуба и функциональной активности клеток в период прорезывания</p> <p><i>Янчук П. И.</i> Изучение гипоталамической регуляции депонирующей функции печени</p> <p><i>Хроника</i></p> <p>Видный ученый и организатор науки. К 80-летию со дня рождения академика АН УССР Александра Федоровича Макарченко</p> <p><i>Есипенко Б. Е.</i> О повышении эффективности и качества исследований в области физиологии пищеварения и водно-солевого обмена</p>	<p>515</p> <p>526</p> <p>536</p> <p>536</p> <p>543</p> <p>549</p> <p>555</p> <p>559</p> <p>564</p> <p>571</p> <p>577</p> <p>584</p> <p>590</p> <p>595</p> <p>600</p> <p>604</p> <p>609</p> <p>616</p> <p>618</p> <p>620</p> <p>622</p> <p>625</p> <p>628</p> <p>631</p> <p>634</p> <p>635</p>
--	---

Gusev V. M., Gruzdkov A. A., Ug Lebedev N. N. Neurophysiologic Tract
Grechishkina O. D. Effect of Neos Kosenko A. F., Gushinet G. P., K and Supraopticohypophyseal Related Secretion Regulation .
Koval L. A. Serotonin Effect on the Intestine .
Smirnova Zh. P. The Role of Ca Stomach Cells of Rat to Histamine .
Gridneva V. I., Krivova N. A. A Corticoids on the Secretion of Acetylcholin Secretory Reaction Under Influence in Regulations of Motor and Endocrine .
Panasyuk E. N., Gatalayak B. V., Ova A. I., Copytko A. N., Kutsyzyn of Mediator-Enzyme and Ion Potent Tract .
Yaremko E. E., Chernysheva S. V. Sythesis of Pentagastrin and Secretin .
Esipenko B. E., Zhalilo L. I., Kostromina Choleretic Effect of the Cholic Acid .
Spuzjak M. N. X-Ray Data of Gallbladder .
Snitynsky V. V., Yanovich V. G. NAD Liver and Adipose Tissue of Pigs .
Dubitsky L. A., Shostakovskaya I. V. of RNA Pyrimidine Precursor Synthesis Tract Under Acetylcholine Influence .
Vovchuk S. V., Kolenda Yu. V., Lvov I. of Kallikrein-Kinin System on the Brain .
Malyuk V. I., Bruk E. I., Kireeva L. M. and Secretory Function of the Stomach .
Korpachev V. V. Peculiarities of Dynamic Enteric Tract of Guinea Pigs and Dog .
Butusova I. A., Yaremko M. S. Effect of Terms of Storage on the Absorption Function .
Stepanova L. N., Rozanov A. Ya. A Study of Functionally Related Group B Vitamins .
Ganitkевич Ya. V., Shveц V. I. Effect of Permeability .
Kalion P. T., Krishtab S. I., Nesprjadko N. Growth and Functional Activity of Cell Function .
Yanchuk P. I. A Study of Hypothalamic Function .
News

A Prominent Scientist and Science Organizer
Alexandr Fedorovich Makarchenko, Ukrainian SSR .

CONTENTS

<i>Gusev V. M., Gruzdkov A. A., Ugolev A. M.</i>	<i>Unstirred Premembrane Layers</i>	515
<i>Lebedev N. N.</i>	<i>Neurophysiological Aspects of Periodic Activity of Digestive Tract</i>	526
<i>Grechishkina O. D.</i>	<i>Effect of Neostriatum Irritation on Stomach Secretion</i>	536
<i>Kosenko A. F., Gushinetz G. P., Kozhevnikova L. A.</i>	<i>Participation of Hypothalamus and Supraopticohypophyseal Neurosecretory System in Gastric Insulin-Stimulated Secretion Regulation</i>	543
<i>Koval L. A.</i>	<i>Serotonin Effect on the Reflex Motor Reactions of Stomach and Small Intestine</i>	549
<i>Smirnova Zh. P.</i>	<i>The Role of Ca Ions in the Electrical Response of Glandular Stomach Cells of Rat to Histamine</i>	555
<i>Gridneva V. I., Krivova N. A.</i>	<i>A Comparison of the Effect of Gluco- and Mineralocorticoids on the Secretion of Mucoid Substances in the Stomach</i>	559
<i>Groisman S. D., Gubkin V. A., Beregovaya T. V.</i>	<i>On the Nature of Residual Insulin Secretory Reaction Under the Selective Proximal Vagotomy</i>	564
<i>Dobrovolskaya Z. A., Gubkin V. A., Motuzny V. A.</i>	<i>Amygdalo-Hypothalamic Effects in Regulations of Motor and Evacuatory Functions of the Digestive Tract</i>	571
<i>Panasyuk E. N., Gatalyak B. V., Onishchenko Yu. V., Timochko M. F., Zhukova A. I., Copytko A. N., Kutsyk L. B., Buk A. Ya.</i>	<i>Correlation Dependence of Mediator-Enzyme and Ion Processes in Secretory Organs of Alimentary Tract</i>	577
<i>Yaremenko E. E., Chernysheva S. V., Syrtsov V. K., Krivokhat'skaya Yu. A.</i>	<i>An Analysis of Pentagastrin and Secretin Effect on Small Intestine Mucosa</i>	584
<i>Esipenko B. E., Zhalilo L. I., Kostromina A. P., Sinelnik O. D.</i>	<i>Mechanism of the Choleretic Effect of the Cholic Acids</i>	590
<i>Spuzjak M. N.</i>	<i>X-Ray Data of Gallbladder Filling After Vagotomy</i>	595
<i>Snitynsky V. V., Yanovich V. G.</i>	<i>NADP H-Generating Dehydrogenase Activity in Liver and Adipose Tissue of Pigs Under Different Content of Lipids in Diet</i>	600
<i>Dubitsky L. A., Shostakovskaya I. V.</i>	<i>Changes in Correlation of Two Pathways of RNA Pyrimidine Precursor Synthesis in Certain Organs of the Digestive Tract Under Acetylcholine Influence</i>	604

Reviews

<i>Vovchuk S. V., Kolenda Yu. V., Lvov I. F., Levitsky A. P., Synovets A. S.</i>	<i>Effect of Kallicrein-Kinin System on the Stomach Function</i>	609
--	--	-----

Brief Notes

<i>Matyuk V. I., Bruk E. I., Kireeva L. M.</i>	<i>Sodium Succinate Effect on Acid-Forming and Secretory Function of the Stomach</i>	616
<i>Korpachev V. V.</i>	<i>Peculiarities of Dynamics of Chloditan Absorption by Gastroenteric Tract of Guinea Pigs and Dogs</i>	618
<i>Butusova I. A., Yaremenko M. S.</i>	<i>Effect of Mineral Water «Naftusya» with Different Terms of Storage on the Absorption Function of Frog Gallbladder</i>	620
<i>Stepanova L. N., Rozanov A. Ya.</i>	<i>A Study of Hepatoenteric Recirculation of Certain Functionally Related Group B Vitamins in Rats</i>	622
<i>Ganitkevich Ya. V., Shvets V. I.</i>	<i>Effect of Bile Acids on Erythrocyte Membranes Permeability</i>	625
<i>Kalion P. T., Krishتاب S. I., Nesprjadko N. P.</i>	<i>A Radioautographic Study of Tooth Growth and Functional Activity of Cells in the Period of Dental Eruption</i>	628
<i>Yanchuk P. I.</i>	<i>A Study of Hypothalamic Regulation of the Deposition of Liver Function</i>	631

News Items

<i>A Prominent Scientist and Science Organizer. On the 80th Birth Anniversary of Alexandre Fedorovich Makarchenko, Member Academy of Sciences, Ukrainian SSR</i>	634
--	-----

л. р. 40 к.

74523

НАУКОВА ДУМКА

Физиол. журн., 1983, т. XXIX, № 5, 513—640